

Adopted Levels, Gammas

Type	Author	History Citation	Literature Cutoff Date
Full Evaluation	C. W. Reich	NDS 110, 2257 (2009)	1-May-2008

S(n)=13441 (syst) 424; S(p)=1586 (syst) 335; Q( $\alpha$ )=3543 (syst) 424 [2017Wa10](#)

Q( $\epsilon$ )=7045 (syst) 358; S(2p)=978 (syst) 335; Q( $\epsilon$ p)=7249 (syst) 358 [2017Wa10](#)

[Additional information 1.](#)

[Additional information 2.](#)

The data on the excited states are all from the study of the  $^{154}\text{Hf}$  IT decay ([1993Mc03,1989Mc07](#)).

 $^{154}\text{Hf}$  LevelsCross Reference (XREF) Flags

- A**  $^{154}\text{Hf}$  IT decay (9  $\mu\text{s}$ )  
**B**  $^{155}\text{Ta}$  p decay  
**C**  $^{158}\text{W}$   $\alpha$  decay (1.25 ms)  
**D**  $^{158}\text{W}$   $\alpha$  decay (0.143 ms)

E(level) <sup>†</sup>	J $\pi$ <sup>‡</sup>	T <sub>1/2</sub>	XREF	Comments
0	0 <sup>+</sup>	2 s <i>I</i>	<a href="#">ABCD</a>	$\% \epsilon + \% \beta^+ \approx 100$ ; $\% \alpha \approx 0$ T <sub>1/2</sub> : from growth and decay characteristics of its daughter, $^{154}\text{Yb}$ , in $\alpha$ decay studies ( <a href="#">1981Ho10</a> ). $\% \epsilon + \% \beta^+$ : estimated by evaluators from failure to observe $\alpha$ decay ( <a href="#">1981Ho10</a> ) and the agreement of deduced half-life of 2 s with the estimate for $\epsilon + \beta^+$ decay of 1-3 s ( <a href="#">1973Ta30</a> ). $\alpha$ systematics suggest $\% \alpha \approx 2 \times 10^{-11}$ . From theoretical calculations, <a href="#">1997Mo25</a> estimate T <sub>1/2</sub> =0.479 s.
1513	(2 <sup>+</sup> )		<a href="#">A</a>	
2011	(3 <sup>-</sup> )		<a href="#">A</a>	
2146	(5 <sup>-</sup> )		<a href="#">A</a>	
2457	(7 <sup>-</sup> )		<a href="#">A</a>	
2671	(8 <sup>+</sup> ) <sup>#</sup>		<a href="#">A</a>	
2671+x	(10 <sup>+</sup> ) <sup>@</sup>	9 $\mu\text{s}$ 4	<a href="#">A</a>	$\% \text{IT} = 100$

<sup>†</sup> The ordering of the  $\gamma$ 's and thus the level energies are based on the systematics of the levels in the lighter-mass N=82 nuclides  $^{148}\text{Dy}$ ,  $^{150}\text{Er}$  and  $^{154}\text{Yb}$  (see the  $^{154}\text{Hf}$  IT decay data set).

<sup>‡</sup> Based on the systematics of the lighter-mass doubly even N=82 nuclides.

<sup>#</sup> Configuration=( $\pi$  h<sub>11/2</sub>)<sup>6</sup>( $\pi$  h<sub>11/2</sub>)<sub>8+</sub><sup>2</sup>, seniority=2.

<sup>@</sup> Configuration=( $\pi$  h<sub>11/2</sub>)<sup>6</sup>( $\pi$  h<sub>11/2</sub>)<sub>10+</sub><sup>2</sup>, seniority=2.

 $\gamma(^{154}\text{Hf})$ 

E <sub>i</sub> (level)	J $\pi$ <sub>i</sub>	E $\gamma$	E <sub>f</sub>	J $\pi$ <sub>f</sub>	Mult.	Comments
1513	(2 <sup>+</sup> )	1513	0	0 <sup>+</sup>		
2011	(3 <sup>-</sup> )	498	1513	(2 <sup>+</sup> )		
2146	(5 <sup>-</sup> )	135	2011	(3 <sup>-</sup> )		
2457	(7 <sup>-</sup> )	311	2146	(5 <sup>-</sup> )		
2671	(8 <sup>+</sup> )	214	2457	(7 <sup>-</sup> )		
2671+x	(10 <sup>+</sup> )	x	2671	(8 <sup>+</sup> )	[E2]	B(E2)(W.u.)=0.051 +42-15 E $\gamma$ : x=42 28 from <a href="#">1989Mc07</a> and based on systematics.

Continued on next page (footnotes at end of table)

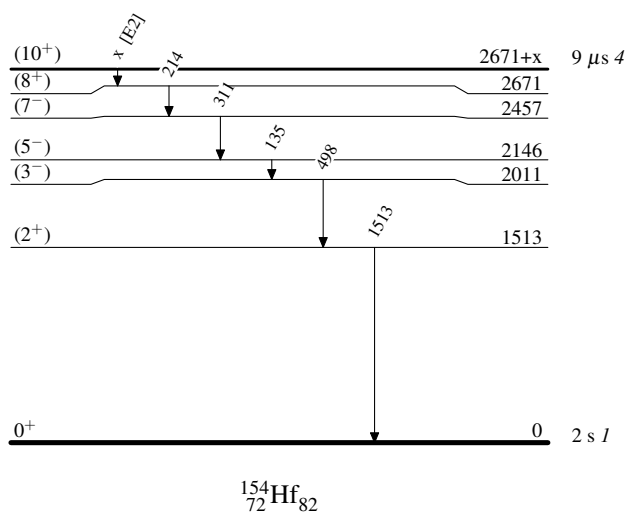
# Adopted Levels, Gammas (continued)

$\gamma(^{154}\text{Hf})$  (continued)

<u><math>E_i(\text{level})</math></u>	<u><math>E_\gamma</math></u>	Comments
		value.

## Adopted Levels, Gammas

### Level Scheme



Adopted Levels, Gammas

Type	Author	History Citation	Literature Cutoff Date
Update	Balraj Singh	ENSDF	31-Mar-2015

$Q(\beta^-) = -5070$  40;  $S(n) = 9040$  40;  $S(p) = 5861$  25;  $Q(\alpha) = 2754$  25    [2012Wa38](#)

$S(2n) = 16290$  40,  $S(2p) = 10215$  25 ([2012Wa38](#)).

[Additional information 1.](#)

Cross section data for  $^{176}\text{Yb}(\alpha, xn\gamma)$ : [1992Ro24](#) (E=threshold–84.3 MeV), [1983Ma32](#) (E=50–120 MeV).

Nuclear structure calculations: [1994Ze07](#), [1994Ze06](#), [1994Sa13](#), [1994Ja03](#), [1992Wu05](#), [1992Sa16](#), [1991Su08](#), [1991Ha11](#), [1991Ha09](#), [1991Ch49](#), [1989Hu05](#), [1988Ku21](#), [1987Ku24](#), [1987Ba82](#), [1984El04](#), [1981Mi07](#), [1980Xu01](#), [1980Ku01](#), [1980Du05](#), [1980An13](#), [1979Li04](#), [1979Ha44](#), [1978Ab07](#), [1977Mo03](#), [1976Ra04](#), [1976Mo31](#), [1974St06](#), [1972Wa14](#), [1972Sk04](#), [1972Pr17](#), [1971Gu20](#), [1971Fr02](#), [1964Ha44](#).

 $^{172}\text{Hf}$  Levels

g factor = +0.14 4 ([1975Sk01](#)) for levels above  $8^+$ , 1037 and  $T_{1/2} \approx 0.5$  ps. Technique: IMPAC.

While the triaxiality in SD bands is not ruled out, it remains unclear whether the SD bands observed in  $^{172}\text{Hf}$  should be associated with a triaxial SD minimum as suggested by UC (ultimate cranked code) calculations or with a near-prolate SD minimum suggested by the CRMF calculations in  $^{175}\text{Hf}$ .

Cross Reference (XREF) Flags

<b>A</b>	$^{172}\text{Hf}$ IT decay (163 ns)	<b>D</b>	$^{181}\text{Ta}(\pi^-, 9n\gamma)$
<b>B</b>	$^{172}\text{Ta}$ $\varepsilon$ decay (36.8 min)	<b>E</b>	$\text{Yb}(\alpha, xn\gamma)$
<b>C</b>	$^{128}\text{Te}(^{48}\text{Ca}, 4n\gamma)$ :SD	<b>F</b>	( $\text{Hf}, xn\gamma$ )

E(level) <sup>†</sup>	$J^\pi$ <sup>‡</sup>	$T_{1/2}$	XREF	Comments
0.0 <sup>#</sup>	0 <sup>+</sup>	1.87 y 3	<b>AB DEF</b>	$\% \varepsilon = 100$ $T_{1/2}$ : from <a href="#">1971Ch57</a> . Others: 1.90 y 30 ( <a href="#">1973Or02</a> ), $\approx 5$ y ( <a href="#">1960Na11</a> , <a href="#">1951Wi08</a> ). $\Delta \langle r^2 \rangle (^{172}\text{Hf} - ^{178}\text{Hf}) = -0.242$ fm <sup>2</sup> 16 (isotope-shift measurement, <a href="#">1992Ri04</a> ).
95.22 <sup>#</sup> 4	2 <sup>+</sup>	1.55 ns 10	<b>AB DEF</b>	$\mu = 0.50$ 10 ( <a href="#">2009Be42</a> ) $g = 0.25$ 5 ( <a href="#">2009Be42</a> ) $\mu$ : from g factor = 0.25 5, weighted average of 0.23 6 and 0.28 8 at two different magnetic fields ( <a href="#">2009Be42</a> ), perturbed angular correlation in a magnetic field. $J^\pi$ : E2 $\gamma$ to g.s. $T_{1/2}$ : (95 $\gamma$ )(214 $\gamma$ )(t) ( <a href="#">1967Ab06</a> ).
309.24 <sup>#</sup> 5	4 <sup>+</sup>		<b>AB DEF</b>	$J^\pi$ : $\Delta J = 2$ , E2 $\gamma$ to 2 <sup>+</sup> .
628.33 <sup>#</sup> 7	6 <sup>+</sup>		<b>AB DEF</b>	$J^\pi$ : $\Delta J = 2$ , E2 $\gamma$ to 4 <sup>+</sup> .
871.30 <sup>@</sup> 12	0 <sup>+</sup>		<b>B</b>	$J^\pi$ : E0 transition to g.s.
952.43 <sup>@</sup> 8	2 <sup>+</sup>		<b>B</b>	$J^\pi$ : E0+M1+E2 $\gamma$ to 2 <sup>+</sup> .
1031.06 18	(4 <sup>+</sup> , 5, 6 <sup>+</sup> )		<b>B</b>	$J^\pi$ : $\gamma$ 's to 4 <sup>+</sup> and 6 <sup>+</sup> .
1037.47 <sup>#</sup> 8	8 <sup>+</sup>		<b>A DEF</b>	$\mu = 1.1$ 3 ( <a href="#">1989Ra17</a> ) $J^\pi$ : $\Delta J = 2$ , E2 $\gamma$ to 6 <sup>+</sup> . $\mu$ : Transient magnetic field IMPAC, average value for prerotational states above 1037-keV 8 <sup>+</sup> level.
1075.29 <sup>&amp;</sup> 8	(2) <sup>+</sup>		<b>B</b>	$J^\pi$ : M1, E2 $\gamma$ to g.s. Possible $\gamma$ -band bandhead.
1129.52 <sup>@</sup> 10	4 <sup>+</sup>		<b>B E</b>	$J^\pi$ : E0+M1+E2 $\gamma$ to 4 <sup>+</sup> .
1180.87 <sup>&amp;</sup> 8	(3 <sup>+</sup> )		<b>B</b>	$J^\pi$ : (E2) $\gamma$ to 2 <sup>+</sup> , $\gamma$ to 4 <sup>+</sup> and E1 $\gamma$ from (4 <sup>-</sup> ).
1295.6 4	0 <sup>+</sup>		<b>B</b>	$J^\pi$ : E0 transition to g.s.

Continued on next page (footnotes at end of table)

**Adopted Levels, Gammas (continued)** $^{172}\text{Hf}$  Levels (continued)

E(level) <sup>†</sup>	J <sup>π</sup> <sup>‡</sup>	T <sub>1/2</sub>	XREF	Comments
1304.66 <sup>&amp;</sup> 9	(4 <sup>+</sup> )		AB F	J <sup>π</sup> : γ's to 2 <sup>+</sup> and 4 <sup>+</sup> , γ from (6 <sup>+</sup> ).
1335.66 <sup>a</sup> 11	0 <sup>+</sup>		B	J <sup>π</sup> : E0 transition to g.s.
1359.33 14	(2 <sup>+</sup> ,3,4 <sup>+</sup> )		B	J <sup>π</sup> : γ's to 2 <sup>+</sup> and 4 <sup>+</sup> .
1372.85? 7			B	J <sup>π</sup> : possible 2 <sup>-</sup> state similar to that in $^{176}\text{Hf}$ and $^{178}\text{W}$ (1973Ca10).
1394.0 3			E	
1397.48 <sup>a</sup> 7	2 <sup>+</sup>		B	J <sup>π</sup> : E0+M1+E2 γ's to 2 <sup>+</sup> .
1418.55 <sup>b</sup> 7	(4 <sup>-</sup> )	≈1 ns	B EF	J <sup>π</sup> : ΔJ=(0), (E1) γ to 4 <sup>+</sup> . T <sub>1/2</sub> : from γ(t) (1977HaXK).
1462.88 <sup>&amp;</sup> 13	(5 <sup>+</sup> )		AB F	J <sup>π</sup> : γ's to 4 <sup>+</sup> and 6 <sup>+</sup> . Possible band member.
1471.73 8	(4 <sup>+</sup> ,5)		B	J <sup>π</sup> : γ's to 4 <sup>+</sup> and 6 <sup>+</sup> . Possible ε feeding from (3 <sup>-</sup> ).
1482.27 7	(2 <sup>+</sup> ,3,4 <sup>+</sup> )		B	J <sup>π</sup> : γ's to 2 <sup>+</sup> and 4 <sup>+</sup> .
1495.78 7	(2 to 5)		B	J <sup>π</sup> : γ's to 4 <sup>+</sup> . Possible γ to (2) <sup>+</sup> disfavors J=5,6. Possible ε feeding from (3 <sup>-</sup> ).
1503.51 <sup>c</sup> 7	(5 <sup>-</sup> )		AB EF	J <sup>π</sup> : ΔJ=1 γ to 4 <sup>+</sup> , γ to 6 <sup>+</sup> .
1521.22 <sup>#</sup> 10	10 <sup>+</sup>		DEF	J <sup>π</sup> : ΔJ=2, E2 γ to 8 <sup>+</sup> .
1534.37 <sup>a</sup> 4	(4 <sup>+</sup> )		B	J <sup>π</sup> : (E0+M1+E2) γ to 4 <sup>+</sup> .
1574.9 2	(2 <sup>+</sup> ,3,4 <sup>+</sup> )		B	J <sup>π</sup> : γ's to 2 <sup>+</sup> and 4 <sup>+</sup> .
1597.62 <sup>b</sup> 9	(6 <sup>-</sup> )		A EF	J <sup>π</sup> : ΔJ=(2) γ to (4 <sup>-</sup> ), γ to (5 <sup>-</sup> ).
1600.63 8	4 <sup>+</sup>		B	J <sup>π</sup> : E0+M1+E2 γ to 4 <sup>+</sup> .
1621.5 <sup>&amp;</sup> 2	(6 <sup>+</sup> )		A F	
1639.69 7	(3 <sup>-</sup> )		B	J <sup>π</sup> : M1+E2 γ to (4 <sup>-</sup> ), γ to 2 <sup>+</sup> .
1677.0 3	(6,7,8 <sup>+</sup> )		E	J <sup>π</sup> : γ to 6 <sup>+</sup> .
1684.46 7	(2 to 5)		B	J <sup>π</sup> : γ to 4 <sup>+</sup> . Possible ε feeding from (3 <sup>-</sup> ) suggests 2,3,4,5 <sup>+</sup> .
1684.73 <sup>d</sup> 9	(6 <sup>+</sup> )	4.8 ns 4	A EF	μ=+5.6 6 (1989Ra17,1980Wa23) The γ-ray branching ratios suggest that there are two separate levels within ≈0.2 keV near this energy, one populated in $^{172}\text{Ta}$ ε decay and the other in (HI,xnγ) and (α,xnγ). J <sup>π</sup> : γ's to 4 <sup>+</sup> and 8 <sup>+</sup> . A 2-quasiparticle isomer with J <sup>π</sup> =6 <sup>+</sup> is observed from $^{170}\text{Hf}$ to $^{182}\text{Hf}$ (1977Wa16). Possible configuration=((π 7/2[404])(π 5/2[402])). T <sub>1/2</sub> : from γ(t) (1980Wa23). Others: 4.5 ns 10 (1976HaXB), ≤16 ns (1977Wa16). T <sub>1/2</sub> >200 ns (1973Re16) corresponds to that of the 2006 level. μ: from γ(θ,H,t) (1980Wa23).
1722.8? 3	(6,7,8 <sup>+</sup> )		F	J <sup>π</sup> : γ to 6 <sup>+</sup> .
1727.49 <sup>c</sup> 11	(7 <sup>-</sup> )		A EF	J <sup>π</sup> : ΔJ=(1) γ to 6 <sup>+</sup> , γ to 8 <sup>+</sup> .
1738.9 3	(8,9,10 <sup>+</sup> )		E	J <sup>π</sup> : γ to 8 <sup>+</sup> .
1791.04 19	(2 <sup>+</sup> ,3,4 <sup>+</sup> )		B	J <sup>π</sup> : γ's to 2 <sup>+</sup> and 4 <sup>+</sup> .
1852.48 <sup>b</sup> 11	(8 <sup>-</sup> )		EF	J <sup>π</sup> : ΔJ=(2) γ to (6 <sup>-</sup> ), γ to (7 <sup>-</sup> ).
1856.78 <sup>f</sup> 12	(6 <sup>-</sup> )	<16 ns	A EF	J <sup>π</sup> : γ's to (6 <sup>+</sup> ) and (5 <sup>-</sup> ). γ from (8 <sup>-</sup> ). Possible 2-quasineutron with configuration=((ν 7/2[633])(ν 5/2[512])) (1994Wa07). T <sub>1/2</sub> : from γ(t) (1977Wa16).
1878.16 <sup>d</sup> 12	(7 <sup>+</sup> ,8 <sup>+</sup> ,9 <sup>+</sup> )		A EF	J <sup>π</sup> : (E1) γ from (8 <sup>-</sup> ).
1965.15 <sup>f</sup> 15			EF	
1968.09 <sup>c</sup> 13	(9 <sup>-</sup> )		EF	J <sup>π</sup> : ΔJ=1 γ to 8 <sup>+</sup> , γ to 10 <sup>+</sup> and possible ΔJ=(2) γ to (7 <sup>-</sup> ).
2005.84 <sup>e</sup> 11	(8 <sup>-</sup> )	163 ns 3	A EF	μ=+7.95 7 (1989Ra17,1980Wa23) J <sup>π</sup> : γ's to 8 <sup>+</sup> , (6 <sup>+</sup> ) and (6 <sup>-</sup> ). A 2-quasiparticle isomer with J <sup>π</sup> =8 <sup>-</sup> is observed from $^{170}\text{Hf}$ to $^{182}\text{Hf}$ (1977Wa16). Possible configuration=((π 7/2[404])(π 9/2[514])). T <sub>1/2</sub> : from γ(t) (1980Wa23). Others: 155 ns 20 from γγ(t) in (α,xnγ) (1976HaXC); 163 ns 6 in (HI,xnγ) (1977Wa16). μ: γ(θ,H,t) in (α,xnγ)(1980Wa23). The corrections for diamagnetism and

Continued on next page (footnotes at end of table)

**Adopted Levels, Gammas (continued)** $^{172}\text{Hf}$  Levels (continued)

E(level) <sup>†</sup>	J <sup>π</sup> <sup>‡</sup>	XREF	Comments
Knight shift are not included.			
2034.4 <sup>g</sup> 3	(8,9,10 <sup>+</sup> )	E	J <sup>π</sup> : γ to 8 <sup>+</sup> .
2064.67 <sup>#</sup> 13	12 <sup>+</sup>	DEF	J <sup>π</sup> : ΔJ=2, E2 γ to 10 <sup>+</sup> .
2093.68 <sup>d</sup> 19	(8 <sup>+</sup> )	F	
2095.5 <sup>f</sup> 2		EF	
2155.5 4		E	J <sup>π</sup> : γ to 10 <sup>+</sup> .
2186.28 <sup>b</sup> 14	(10 <sup>-</sup> )	EF	J <sup>π</sup> : ΔJ=(2) γ to (8 <sup>-</sup> ).
2235.94 <sup>e</sup> 14		EF	
2246.5 <sup>f</sup> 2		F	
2329.83 <sup>d</sup> 24	(9 <sup>+</sup> )	F	
2336.94 <sup>c</sup> 13	(11 <sup>-</sup> )	EF	J <sup>π</sup> : ΔJ=(2), (E2) γ to (9 <sup>-</sup> ) and ΔJ=1 γ to 10 <sup>+</sup> .
2416.40 <sup>f</sup> 23		EF	
2426.36 <sup>g</sup> 23		EF	
2450.80 22	(2 <sup>+</sup> ,3,4 <sup>+</sup> )	B	J <sup>π</sup> : γ's to 2 <sup>+</sup> and 4 <sup>+</sup> .
2488.20 <sup>e</sup> 16		EF	
2584.6 <sup>d</sup> 4	(10 <sup>+</sup> )	F	
2598.26 <sup>b</sup> 17	(12 <sup>-</sup> )	EF	
2607.7 10		E	
2611.91 <sup>f</sup> 25		EF	
2654.11 <sup>#</sup> 16	14 <sup>+</sup>	DEF	J <sup>π</sup> : ΔJ=2, E2 γ to 12 <sup>+</sup> .
2760.25 <sup>e</sup> 18		EF	
2777.50 <sup>c</sup> 20	(13 <sup>-</sup> )	EF	J <sup>π</sup> : ΔJ=(2) γ to (11 <sup>-</sup> ) and ΔJ=1 γ to 12 <sup>+</sup> .
2823.1 <sup>f</sup> 3		F	
2855.2 <sup>d</sup> 5	(11 <sup>+</sup> )	F	
2900.4 <sup>g</sup> 4		EF	
3050.23 <sup>e</sup> 21		EF	
3060.0 <sup>f</sup> 3		F	
3085.50 <sup>b</sup> 23	(14 <sup>-</sup> )	EF	
3277.20 <sup>#</sup> 19	(16 <sup>+</sup> )	DEF	J <sup>π</sup> : ΔJ=2, (E2) γ to 14 <sup>+</sup> .
3285.7 <sup>c</sup> 3	(15 <sup>-</sup> )	EF	J <sup>π</sup> : ΔJ=(2) γ to (13 <sup>-</sup> ).
3305.1 <sup>f</sup> 4		F	
3355.75 <sup>e</sup> 23		F	
3449.0 <sup>g</sup> 6		EF	
3643.1 <sup>b</sup> 3	(16 <sup>-</sup> )	EF	
3673.0 <sup>e</sup> 3		F	
3858.1 <sup>c</sup> 4	(17 <sup>-</sup> )	EF	J <sup>π</sup> : ΔJ=2, (E2) γ to (15 <sup>-</sup> ).
3919.4 <sup>#</sup> 3	(18 <sup>+</sup> )	EF	J <sup>π</sup> : ΔJ=2, E2 γ to (16 <sup>+</sup> ).
3997.4 <sup>e</sup> 4		F	
4061.8 <sup>g</sup> 7		F	
4264.2 <sup>b</sup> 5	(18 <sup>-</sup> )	EF	
4492.3 <sup>c</sup> 5	(19 <sup>-</sup> )	F	J <sup>π</sup> : ΔJ=2, (E2) γ to (17 <sup>-</sup> ).
4575.9 <sup>#</sup> 6	(20 <sup>+</sup> )	EF	J <sup>π</sup> : ΔJ=2, (E2) γ to (18 <sup>+</sup> ).
4730.8 <sup>g</sup> 12		F	
4942.1 <sup>b</sup> 5	(20 <sup>-</sup> )	F	
5183.9 <sup>c</sup> 5	(21 <sup>-</sup> )	F	J <sup>π</sup> : ΔJ=(2) γ to (19 <sup>-</sup> ).
5274.3 <sup>#</sup> 6	(22 <sup>+</sup> )	F	J <sup>π</sup> : ΔJ=2, (E2) γ to (20 <sup>+</sup> ).
5670.2 <sup>b</sup> 7	(22 <sup>-</sup> )	F	
5931.0 <sup>c</sup> 7	(23 <sup>-</sup> )	F	J <sup>π</sup> : ΔJ=(2) γ to (21 <sup>-</sup> ).

Continued on next page (footnotes at end of table)

**Adopted Levels, Gammas (continued)** $^{172}\text{Hf}$  Levels (continued)

E(level) <sup>†</sup>	J <sup>π</sup> <sup>‡</sup>	XREF	Comments
6032.3 <sup>#</sup> 8	(24 <sup>+</sup> )	F	J <sup>π</sup> : ΔJ=(2) γ to (22 <sup>+</sup> ).
6445.2 <sup>b</sup> 13	(24 <sup>-</sup> )	F	
6724.9 <sup>c</sup> 9	(25 <sup>-</sup> )	F	
6849.0 <sup>#</sup> 9	(26 <sup>+</sup> )	F	J <sup>π</sup> : ΔJ=(2) γ to (24 <sup>+</sup> ).
7275.2 <sup>b</sup> 16	(26 <sup>-</sup> )	F	
7312.1 <sup>c</sup> 10	(27 <sup>-</sup> )	F	
7724.7 <sup>#</sup> 11	(28 <sup>+</sup> )	F	J <sup>π</sup> : ΔJ=(2) γ to (26 <sup>+</sup> ).
8106.4 <sup>c</sup> 10	(29 <sup>-</sup> )	F	
8149.2 <sup>b</sup> 19	(28 <sup>-</sup> )	F	
8642.7 <sup>#</sup> 15	(30 <sup>+</sup> )	F	
8954.3 <sup>c</sup> 10	(31 <sup>-</sup> )	F	
9070.2 <sup>b</sup> 22	(30 <sup>-</sup> )	F	
9600.7 <sup>#</sup> 18	(32 <sup>+</sup> )	F	
9860.0 <sup>c</sup> 11	(33 <sup>-</sup> )	F	
10594.7 <sup>#</sup> 20	(34 <sup>+</sup> )	F	
10823.0 <sup>c</sup> 15	(35 <sup>-</sup> )	F	
11611.7 <sup>#</sup> 23	(36 <sup>+</sup> )	F	
11841.0 <sup>c</sup> 18	(37 <sup>-</sup> )	F	
12643.7 <sup>#</sup> 25	(38 <sup>+</sup> )	F	
x <sup>h</sup>	J	A	
776+x <sup>h</sup>	J+2	A	
1589+x <sup>h</sup>	J+4	A	
2447+x <sup>h</sup>	J+6	A	
3356+x <sup>h</sup>	J+8	A	
4317+x <sup>h</sup>	J+10	A	
5335+x <sup>h</sup>	J+12	A	
6414+x <sup>h</sup>	J+14	A	
7553+x <sup>h</sup>	J+16	A	
8756+x <sup>h</sup>	J+18	A	
10024+x <sup>h</sup>	J+20	A	
11356+x <sup>h</sup>	J+22	A	
12753+x <sup>h</sup>	J+24	A	
14212+x <sup>h</sup>	J+26	A	
y <sup>i</sup>	J1	A	
793+y <sup>i</sup>	J1+2	A	
1633+y <sup>i</sup>	J1+4	A	
2519+y <sup>i</sup>	J1+6	A	
3451+y <sup>i</sup>	J1+8	A	
4433+y <sup>i</sup>	J1+10	A	
5470+y <sup>i</sup>	J1+12	A	
6563+y <sup>i</sup>	J1+14	A	
7712+y <sup>i</sup>	J1+16	A	
8914+y <sup>i</sup>	J1+18	A	
10156+y <sup>i</sup>	J1+20	A	
11443+y <sup>i</sup>	J1+22	A	
z <sup>j</sup>	J2	A	
877+z <sup>j</sup>	J2+2	A	

Continued on next page (footnotes at end of table)

**Adopted Levels, Gammas (continued)** $^{172}\text{Hf}$  Levels (continued)

<u>E(level)<sup>†</sup></u>	<u>J<sup>π</sup><sup>‡</sup></u>	<u>XREF</u>	<u>E(level)<sup>†</sup></u>	<u>J<sup>π</sup><sup>‡</sup></u>	<u>XREF</u>	<u>E(level)<sup>†</sup></u>	<u>J<sup>π</sup><sup>‡</sup></u>	<u>XREF</u>
1809+z <sup>j</sup>	J2+4	<b>A</b>	4936+z <sup>j</sup>	J2+10	<b>A</b>	8603+z <sup>j</sup>	J2+16	<b>A</b>
2795+z <sup>j</sup>	J2+6	<b>A</b>	6097+z <sup>j</sup>	J2+12	<b>A</b>	9951+z <sup>j</sup>	J2+18	<b>A</b>
3833+z <sup>j</sup>	J2+8	<b>A</b>	7319+z <sup>j</sup>	J2+14	<b>A</b>	11364+z <sup>j</sup>	J2+20	<b>A</b>

<sup>†</sup> From least-squares fit to E<sub>γ</sub> data, 0.2 or 1 keV uncertainty on E<sub>γ</sub> values when not given.

<sup>‡</sup> For levels populated in (HI,xnγ) and/or (α,xnγ), ascending spins are assumed as the excitation energy increases. When no γ(θ) or γγ(θ) data are available, J<sup>π</sup>'s are tentative and are based on probable band assignments to levels observed in a cascade of γ-ray transitions. In such cases no J<sup>π</sup> arguments are given.

# Band(A): (π=+,α=0) g.s. band.

@ Band(B): K<sup>π</sup>=0<sup>+</sup> band.

& Band(C): K<sup>π</sup>=2<sup>+</sup> γ band.

<sup>a</sup> Band(D): K<sup>π</sup>=0<sup>+</sup> band.

<sup>b</sup> Band(E): (π=-,α=0) band.

<sup>c</sup> Band(F): (π=-,α=1) band.

<sup>d</sup> Band(G): ΔJ=(1), K<sup>π</sup>=(6<sup>+</sup>) band.

<sup>e</sup> Band(H): ΔJ=(1), K<sup>π</sup>=(8<sup>-</sup>) band.

<sup>f</sup> Band(I): band 1, ΔJ=(1).

<sup>g</sup> Band(J): band 2, ΔJ=(2).

<sup>h</sup> Band(K): SD-1 band. Q(transition)=13.6 9 (2011Mu02) from DSAM measurements. Percent population=0.7 2 (2007Zh46).

<sup>i</sup> Band(L): SD-2 band. Q(transition)=11.6 10 (2011Mu02) from DSAM measurements. Percent population=0.5 1 (2007Zh46).

<sup>j</sup> Band(M): SD-3 band. F(τ) curve was obtained for four members of this band, but due to low intensity it could not be fitted well to obtain quadrupole moment. Percent population=0.4 1 (2007Zh46).

**Adopted Levels, Gammas (continued)**

$\gamma(^{172}\text{Hf})$

No linking transitions between SD bands were found, thus no indication of wobbling mode in these bands.

$E_i(\text{level})$	$J_i^\pi$	$E_\gamma$	$I_\gamma$	$E_f$	$J_f^\pi$	Mult.	$\alpha^{\&}$	$I_{(\gamma+ce)}$	Comments
95.22	2 <sup>+</sup>	95.23 4	100	0.0	0 <sup>+</sup>	E2 <sup>‡‡</sup>	4.34		B(E2)(W.u.)=154 11
309.24	4 <sup>+</sup>	214.02 4	100	95.22	2 <sup>+</sup>	E2 <sup>‡</sup>	0.232		
628.33	6 <sup>+</sup>	319.09 4	100	309.24	4 <sup>+</sup>	E2 <sup>‡‡</sup>	0.067		
871.30	0 <sup>+</sup>	776.08 11	100 2	95.22	2 <sup>+</sup>	(E2) <sup>‡</sup>			
		871.5 10		0.0	0 <sup>+</sup>	E0 <sup>‡</sup>		2.8 4	X(E0/E2)=0.121 18 (1973Ca10).
952.43	2 <sup>+</sup>	643.26 13	52 2	309.24	4 <sup>+</sup>				
		857.21 10	100 3	95.22	2 <sup>+</sup>	E0+M1+E2 <sup>‡</sup>	0.058 3		X(E0/E2)=0.156 21 (1973Ca10).
		952.25 17	44 2	0.0	0 <sup>+</sup>				
1031.06	(4 <sup>+</sup> ,5,6 <sup>+</sup> )	402.0 8	63 9	628.33	6 <sup>+</sup>				
		721.90 20	100 12	309.24	4 <sup>+</sup>				
1037.47	8 <sup>+</sup>	409.16 4	100	628.33	6 <sup>+</sup>	E2 <sup>‡</sup>			
1075.29	(2) <sup>+</sup>	980.01 10	100.0 14	95.22	2 <sup>+</sup>				
		1075.30 12	94.2 23	0.0	0 <sup>+</sup>	M1,E2 <sup>‡</sup>			
1129.52	4 <sup>+</sup>	500.7 10	24 4	628.33	6 <sup>+</sup>				
		820.44 13	100 4	309.24	4 <sup>+</sup>	E0+M1+E2 <sup>‡</sup>	0.062 3		X(E0/E2)=0.154 32 (1973Ca10).
		1034.39 21	64 3	95.22	2 <sup>+</sup>				
1180.87	(3 <sup>+</sup> )	872.1 7	18 7	309.24	4 <sup>+</sup>				
		1085.58 9	100 3	95.22	2 <sup>+</sup>	(E2) <sup>‡</sup>			
1295.6	0 <sup>+</sup>	424.7 5		871.30	0 <sup>+</sup>	E0 <sup>‡</sup>		22 4	
		1199.8 5	100 15	95.22	2 <sup>+</sup>				
		1296.2 10		0.0	0 <sup>+</sup>	E0 <sup>‡</sup>		74 7	X(E0/E2)=19 4 (1973Ca10).
1304.66	(4 <sup>+</sup> )	995.50 15	100 6	309.24	4 <sup>+</sup>				
		1209.9 5	73 30	95.22	2 <sup>+</sup>				
1335.66	0 <sup>+</sup>	260.6 <sup>a</sup> 10	7 7	1075.29	(2) <sup>+</sup>	[E2]	0.123		
		382.6 4	19 2	952.43	2 <sup>+</sup>				
		464.1 5		871.30	0 <sup>+</sup>	E0 <sup>‡</sup>		7.2 3	
		1240.49 10	100 5	95.22	2 <sup>+</sup>				
		1334.5 12		0.0	0 <sup>+</sup>	E0 <sup>‡</sup>		20.8 13	X(E0/E2)=6.0 7 (1973Ca10).
1359.33	(2 <sup>+</sup> ,3,4 <sup>+</sup> )	1050.06 14	100 3	309.24	4 <sup>+</sup>				
		1264.2 4	89 6	95.22	2 <sup>+</sup>				
1372.85?		1277.62 <sup>a</sup> 5	100	95.22	2 <sup>+</sup>				
1394.0		765.7	100	628.33	6 <sup>+</sup>				
1397.48	2 <sup>+</sup>	445.0 4	23 4	952.43	2 <sup>+</sup>	E0+M1+E2 <sup>‡</sup>	0.20 3		
		1302.25 5	100 3	95.22	2 <sup>+</sup>	E0+M1+E2 <sup>‡</sup>	0.098 3		
		1398.0 <sup>a</sup> 5	3 3	0.0	0 <sup>+</sup>				



Adopted Levels, Gammas (continued)

$\gamma(^{172}\text{Hf})$ (continued)									
$E_i(\text{level})$	$J_i^\pi$	$E_\gamma$	$I_\gamma$	$E_f$	$J_f^\pi$	Mult.	$\delta$	$\alpha^{\&}$	Comments
1418.55	(4 <sup>-</sup> )	113.9 <sup>a</sup> 7	1.5 15	1304.66 (4 <sup>+</sup> )		[E1]		0.26	B(E1)(W.u.) $\approx 1.74 \times 10^{-6}$
		237.63 11	13.4 3	1180.87 (3 <sup>+</sup> )		E1 <sup>‡</sup>		0.038	B(E1)(W.u.) $\approx 1.71 \times 10^{-6}$
		289.29 15	11.4 3	1129.52 4 <sup>+</sup>		[E1]			B(E1)(W.u.) $\approx 8.06 \times 10^{-7}$
		790.8 <sup>a</sup> 6	0.6 6	628.33 6 <sup>+</sup>		[M2]			B(M2)(W.u.) $\approx 0.015$
1462.88	(5 <sup>+</sup> )	1109.27 9	100 4	309.24 4 <sup>+</sup>		(E1) <sup>‡</sup>			B(E1)(W.u.) $\approx 1.25 \times 10^{-7}$
		834.3 2	62 25	628.33 6 <sup>+</sup>					
		1153.67 18	100 7	309.24 4 <sup>+</sup>					
1471.73	(4 <sup>+</sup> ,5)	843.8 3	84 6	628.33 6 <sup>+</sup>					
		1162.47 6	100 11	309.24 4 <sup>+</sup>					
1482.27	(2 <sup>+</sup> ,3,4 <sup>+</sup> )	1172.8 4	21 3	309.24 4 <sup>+</sup>					
		1387.04 5	100 6	95.22 2 <sup>+</sup>					
1495.78	(2 to 5)	366.1 4	12.1 8	1129.52 4 <sup>+</sup>					
		419.7 9	$\leq 5$	1075.29 (2) <sup>+</sup>					
		1186.54 5	100 4	309.24 4 <sup>+</sup>					
1503.51	(5 <sup>-</sup> )	875.5 <sup>@</sup> 3	85 <sup>@</sup> 11	628.33 6 <sup>+</sup>					
		1194.25 5	100 7	309.24 4 <sup>+</sup>		D <sup>†</sup>			
		1408.9 <sup>a</sup> 10	4 4	95.22 2 <sup>+</sup>					E <sub><math>\gamma</math></sub> : from <sup>172</sup> Ta $\varepsilon$ decay only. $\Delta J^\pi$ requires mult=[E3].
1521.22	10 <sup>+</sup>	483.79 7	100	1037.47 8 <sup>+</sup>		E2 <sup>†</sup>			
1534.3?	(4 <sup>+</sup> )	1225.1 <sup>a</sup> 4	100	309.24 4 <sup>+</sup>		(E0+M1+E2) <sup>‡</sup>		$\leq 0.09$	
1574.9	(2 <sup>+</sup> ,3,4 <sup>+</sup> )	1266.0 5	100 6	309.24 4 <sup>+</sup>					
		1479.57 25	92 5	95.22 2 <sup>+</sup>					
1597.62	(6 <sup>-</sup> )	94.15 10	24 12	1503.51 (5 <sup>-</sup> )		[M1]			
		179.16 10	100 60	1418.55 (4 <sup>-</sup> )		[E2] <sup>#</sup>		0.42	
1600.63	4 <sup>+</sup>	1291.39 6	100	309.24 4 <sup>+</sup>		E0+M1+E2 <sup>‡</sup>		0.049 18	
1621.5	(6 <sup>+</sup> )	993.1	100	628.33 6 <sup>+</sup>					
1639.69	(3 <sup>-</sup> )	221.13 15	16.5 7	1418.55 (4 <sup>-</sup> )		M1+E2 <sup>‡</sup>	0.6 3	0.38 4	$\delta$ : from ce data.
		280.0 <sup>a</sup> 6	2 2	1359.33 (2 <sup>+</sup> ,3,4 <sup>+</sup> )					
		335.2 4	8.6 7	1304.66 (4 <sup>+</sup> )					
		458.7 3	6.9 5	1180.87 (3 <sup>+</sup> )					
		564.19 24	7.8 5	1075.29 (2) <sup>+</sup>					
		1330.41 6	100 4	309.24 4 <sup>+</sup>					
		1544.60 10	81 4	95.22 2 <sup>+</sup>					
		1048.4	100	628.33 6 <sup>+</sup>					
1677.0	(6,7,8 <sup>+</sup> )	379.79 20	43 3	1304.66 (4 <sup>+</sup> )					
1684.46	(2 to 5)	503.0 5	64 6	1180.87 (3 <sup>+</sup> )					
		653.6 <sup>a</sup> 6	24 24	1031.06 (4 <sup>+</sup> ,5,6 <sup>+</sup> )					
		1375.22 5	100 6	309.24 4 <sup>+</sup>					
1684.73	(6 <sup>+</sup> )	63.2	$\approx 0.5$	1621.5 (6 <sup>+</sup> )		[M1]		2.62	B(M1)(W.u.) $\approx 2.5 \times 10^{-5}$
		87.5	4.4 15	1597.62 (6 <sup>-</sup> )		[E1]		0.51	B(E1)(W.u.) $= 3.0 \times 10^{-6}$ 11
		180.9	4.6 7	1503.51 (5 <sup>-</sup> )		[E1]		0.077	B(E1)(W.u.) $= 3.5 \times 10^{-7}$ 7

Adopted Levels, Gammas (continued)

$\gamma(^{172}\text{Hf})$ (continued)									
$E_i(\text{level})$	$J_i^\pi$	$E_\gamma$	$I_\gamma$	$E_f$	$J_f^\pi$	Mult.	$\delta$	$\alpha^{\&}$	Comments
1684.73	(6 <sup>+</sup> )	221.6	1.9 5	1462.88 (5 <sup>+</sup> )		[M1]		0.44	B(M1)(W.u.)=8.0×10 <sup>-6</sup> 23
		380.0	2.7 6	1304.66 (4 <sup>+</sup> )		[E2]		0.040	B(E2)(W.u.)=0.0071 17
		647.4	4.0 9	1037.47 8 <sup>+</sup>					B(E2)(W.u.)=0.00073 18
		1056.26 16	100 5	628.33 6 <sup>+</sup>		D+Q <sup>†</sup>			If M1, B(M1)(W.u.)=3.9×10 <sup>-6</sup> 4. If E2, B(E2)(W.u.)=0.0016 2.
		1375.5 3	54 4	309.24 4 <sup>+</sup>					B(E2)(W.u.)=0.00023 3
1722.8?	(6,7,8 <sup>+</sup> )	1094.46 25	100	628.33 6 <sup>+</sup>					
1727.49	(7 <sup>-</sup> )	690.3 4	35 8	1037.47 8 <sup>+</sup>					
		1099.05 15	100 12	628.33 6 <sup>+</sup>		D <sup>†</sup>			
1738.9	(8,9,10 <sup>+</sup> )	701.4	100	1037.47 8 <sup>+</sup>					
1791.04	(2 <sup>+</sup> ,3,4 <sup>+</sup> )	839.0 3	49 8	952.43 2 <sup>+</sup>					
		1481.6 8	41 6	309.24 4 <sup>+</sup>					
		1695.58 24	100 13	95.22 2 <sup>+</sup>					
1852.48	(8 <sup>-</sup> )	124.98 10	25 7	1727.49 (7 <sup>-</sup> )		[M1]		2.17	
		175.4 3		1677.0 (6,7,8 <sup>+</sup> )					E <sub>γ</sub> : from (α,xnγ) only.
		254.86 10	100 50	1597.62 (6 <sup>-</sup> )		[E2] <sup>#</sup>		0.132	
1856.78	(6 <sup>-</sup> )	171.92 20	37 10	1684.73 (6 <sup>+</sup> )		[E1]		0.087	B(E1)(W.u.)>6.5×10 <sup>-7</sup>
		353.32 15	100 28	1503.51 (5 <sup>-</sup> )		[M1]		0.123	B(M1)(W.u.)>2.0×10 <sup>-5</sup>
1878.16	(7 <sup>+</sup> ,8 <sup>+</sup> ,9 <sup>+</sup> )	193.41 10	100	1684.73 (6 <sup>+</sup> )		[M1]		0.63	
1965.15		108.27 10	100	1856.78 (6 <sup>-</sup> )					
1968.09	(9 <sup>-</sup> )	242.0 10	<28	1727.49 (7 <sup>-</sup> )		[E2] <sup>#</sup>		0.156	
		447.5 4	51 18	1521.22 10 <sup>+</sup>					
		930.65 15	100 8	1037.47 8 <sup>+</sup>		D(+Q) <sup>†</sup>	<0.14		
2005.84	(8 <sup>-</sup> )	127.67 10	100	1878.16 (7 <sup>+</sup> ,8 <sup>+</sup> ,9 <sup>+</sup> )		(E1) <sup>†</sup>		0.19	B(E1)(W.u.)=4.9×10 <sup>-7</sup> 1
									Mult.: from α(exp) deduced from delayed γ-ray intensities in (HI,xnγ).
		149.4	0.6 3	1856.78 (6 <sup>-</sup> )		[E2]		0.80	B(E2)(W.u.)=0.0038 19
		278.2	2.0 5	1727.49 (7 <sup>-</sup> )		[M1]		0.23	B(M1)(W.u.)=9.6×10 <sup>-8</sup> 24
		321.0	2.3 6	1684.73 (6 <sup>+</sup> )		[M2]		0.61	B(M2)(W.u.)=0.032 9
		408.4	3.3 11	1597.62 (6 <sup>-</sup> )		[E2]		0.033	B(E2)(W.u.)=0.00014 5
		968.2	1.3 4	1037.47 8 <sup>+</sup>		[E1]			B(E1)(W.u.)=1.5×10 <sup>-11</sup> 5
		996.9	100	1037.47 8 <sup>+</sup>					
		543.43 9	100	1521.22 10 <sup>+</sup>		E2 <sup>†</sup>			
		215.52 15	100	1878.16 (7 <sup>+</sup> ,8 <sup>+</sup> ,9 <sup>+</sup> )					
2095.5		128.3 <sup>a</sup>		1968.09 (9 <sup>-</sup> )					E <sub>γ</sub> : from (α,xnγ) only.
		130.03 15	100 44	1965.15					
2155.5		634.3	100	1521.22 10 <sup>+</sup>					
2186.28	(10 <sup>-</sup> )	218.25 20	9 3	1968.09 (9 <sup>-</sup> )					
		333.79 10	100 4	1852.48 (8 <sup>-</sup> )		[E2] <sup>#</sup>		0.058	
2235.94		230.08 10	100	2005.84 (8 <sup>-</sup> )					
2246.5		150.84 14	100	2095.5					
		281.8		1965.15					E <sub>γ</sub> : from (α,xnγ) only.

Adopted Levels, Gammas (continued)

$\gamma(^{172}\text{Hf})$ (continued)									
$E_i(\text{level})$	$J_i^\pi$	$E_\gamma$	$I_\gamma$	$E_f$	$J_f^\pi$	Mult.	$\delta$	$\alpha^\&$	Comments
2329.83	(9 <sup>+</sup> )	236.16 15	100	2093.68	(8 <sup>+</sup> )				
2336.94	(11 <sup>-</sup> )	368.7 2	75 3	1968.09	(9 <sup>-</sup> )	(E2) <sup>†</sup>		0.044	
		815.76 9	100 7	1521.22	10 <sup>+</sup>	D(+Q) <sup>†</sup>	$\approx -0.07$		
2416.40		169.90 10	100	2246.5					
2426.36		391.9		2034.4	(8,9,10 <sup>+</sup> )				$E_\gamma$ : from ( $\alpha$ ,xn $\gamma$ ) only.
		905.20 25	100	1521.22	10 <sup>+</sup>				
2450.80	(2 <sup>+</sup> ,3,4 <sup>+</sup> )	988.9 10	42 9	1462.88	(5 <sup>+</sup> )				
		1147.2 5	36 9	1304.66	(4 <sup>+</sup> )				
		1419.8 4	93 75	1031.06	(4 <sup>+</sup> ,5,6 <sup>+</sup> )				
		2141.2 8	49 16	309.24	4 <sup>+</sup>				
		2355.1 3	100 14	95.22	2 <sup>+</sup>				
2488.20		252.26 10	100 25	2235.94					
		482.42 20	20 10	2005.84	(8 <sup>-</sup> )				
2584.6	(10 <sup>+</sup> )	254.8 3	100	2329.83	(9 <sup>+</sup> )				
2598.26	(12 <sup>-</sup> )	411.98 10	100	2186.28	(10 <sup>-</sup> )				
2607.7		543 <sup>a</sup>	100	2064.67	12 <sup>+</sup>				
2611.91		195.49 10	100 46	2416.40					
		365.8 3	69 15	2246.5					
2654.11	14 <sup>+</sup>	589.42 9	100	2064.67	12 <sup>+</sup>	E2 <sup>†</sup>			
2760.25		272.04 10	100 25	2488.20					
		524.26 25	19 13	2235.94					
2777.50	(13 <sup>-</sup> )	440.65 20	100 5	2336.94	(11 <sup>-</sup> )	#			
		712.68 25	23 6	2064.67	12 <sup>+</sup>	D(+Q) <sup>†</sup>	$<0.14$		
2823.1		211.23 15	100 50	2611.91					
		406.5 3	70 30	2416.40					
2855.2	(11 <sup>+</sup> )	270.6 3	100	2584.6	(10 <sup>+</sup> )				
2900.4		474.1 4	100 22	2426.36		(E2) <sup>†</sup>			
		835.8 5	71 36	2064.67	12 <sup>+</sup>				
3050.23		289.87 15	100 27	2760.25					
		562.13 25	27 18	2488.20					
3060.0		237.02 20	86 43	2823.1					
		448.0 3	100 43	2611.91					
3085.50	(14 <sup>-</sup> )	487.24 15	100	2598.26	(12 <sup>-</sup> )	#			
3277.20	(16 <sup>+</sup> )	623.09 10	100	2654.11	14 <sup>+</sup>	(E2) <sup>†</sup>			
3285.7	(15 <sup>-</sup> )	508.2 2	100	2777.50	(13 <sup>-</sup> )	#			
3305.1		245.2 3	44 22	3060.0					
		482.0 3	100 44	2823.1					
3355.75		305.47 20	100 33	3050.23					
		595.62 20	67 22	2760.25					
3449.0		548.9 5		2900.4					
		794		2654.11	14 <sup>+</sup>				

**Adopted Levels, Gammas (continued)**

$\gamma(^{172}\text{Hf})$  (continued)

$E_i(\text{level})$	$J_i^\pi$	$E_\gamma$	$I_\gamma$	$E_f$	$J_f^\pi$	Mult.	$E_i(\text{level})$	$J_i^\pi$	$E_\gamma$	$E_f$	$J_f^\pi$
3643.1	(16 <sup>-</sup> )	557.6 2	100	3085.50	(14 <sup>-</sup> )	(E2) <sup>†</sup>	12643.7	(38 <sup>+</sup> )	1032 <sup>a</sup>	11611.7	(36 <sup>+</sup> )
3673.0		317.62 25	100 40	3355.75			776+x	J+2	776	x	J
		622.6 3	100 40	3050.23			1589+x	J+4	813	776+x	J+2
3858.1	(17 <sup>-</sup> )	572.4 3	100	3285.7	(15 <sup>-</sup> )	(E2) <sup>†</sup>	2447+x	J+6	858	1589+x	J+4
3919.4	(18 <sup>+</sup> )	642.2 2	100	3277.20	(16 <sup>+</sup> )	E2 <sup>†</sup>	3356+x	J+8	909	2447+x	J+6
3997.4		324.9 4	100 60	3673.0			4317+x	J+10	961	3356+x	J+8
		641.2 4	80 40	3355.75			5335+x	J+12	1018	4317+x	J+10
4061.8		612.8 4	100	3449.0			6414+x	J+14	1079	5335+x	J+12
4264.2	(18 <sup>-</sup> )	621.1 3	100	3643.1	(16 <sup>-</sup> )		7553+x	J+16	1139	6414+x	J+14
4492.3	(19 <sup>-</sup> )	634.2 2	100	3858.1	(17 <sup>-</sup> )	(E2) <sup>†</sup>	8756+x	J+18	1203	7553+x	J+16
4575.9	(20 <sup>+</sup> )	656.5 5	100	3919.4	(18 <sup>+</sup> )	(E2) <sup>†</sup>	10024+x	J+20	1268	8756+x	J+18
4730.8		669	100	4061.8			11356+x	J+22	1332	10024+x	J+20
4942.1	(20 <sup>-</sup> )	677.9 2	100	4264.2	(18 <sup>-</sup> )	#	12753+x	J+24	1397	11356+x	J+22
5183.9	(21 <sup>-</sup> )	691.6 2	100	4492.3	(19 <sup>-</sup> )	#	14212+x	J+26	1459	12753+x	J+24
5274.3	(22 <sup>+</sup> )	698.4 2	100	4575.9	(20 <sup>+</sup> )	(E2) <sup>†</sup>	793+y	J1+2	793	y	J1
5670.2	(22 <sup>-</sup> )	728.1 5	100	4942.1	(20 <sup>-</sup> )		1633+y	J1+4	840	793+y	J1+2
5931.0	(23 <sup>-</sup> )	747.1 5	100	5183.9	(21 <sup>-</sup> )	#	2519+y	J1+6	886	1633+y	J1+4
6032.3	(24 <sup>+</sup> )	758.0 4	100	5274.3	(22 <sup>+</sup> )	#	3451+y	J1+8	932	2519+y	J1+6
6445.2?	(24 <sup>-</sup> )	775.0 10	100	5670.2	(22 <sup>-</sup> )	#	4433+y	J1+10	982	3451+y	J1+8
6724.9	(25 <sup>-</sup> )	793.9 5	100	5931.0	(23 <sup>-</sup> )		5470+y	J1+12	1037	4433+y	J1+10
6849.0	(26 <sup>+</sup> )	816.7 5	100	6032.3	(24 <sup>+</sup> )	#	6563+y	J1+14	1093	5470+y	J1+12
7275.2	(26 <sup>-</sup> )	830		6445.2?	(24 <sup>-</sup> )		7712+y	J1+16	1149	6563+y	J1+14
7312.1	(27 <sup>-</sup> )	587.2		6724.9	(25 <sup>-</sup> )		8914+y	J1+18	1202	7712+y	J1+16
7724.7	(28 <sup>+</sup> )	875.7 5	100	6849.0	(26 <sup>+</sup> )	#	10156+y	J1+20	1242 <sup>a</sup>	8914+y	J1+18
8106.4	(29 <sup>-</sup> )	794.3		7312.1	(27 <sup>-</sup> )		11443+y	J1+22	1287 <sup>a</sup>	10156+y	J1+20
8149.2	(28 <sup>-</sup> )	874		7275.2	(26 <sup>-</sup> )		877+z	J2+2	877	z	J2
8642.7	(30 <sup>+</sup> )	918.0 10	100	7724.7	(28 <sup>+</sup> )		1809+z	J2+4	932	877+z	J2+2
8954.3	(31 <sup>-</sup> )	847.9		8106.4	(29 <sup>-</sup> )		2795+z	J2+6	986	1809+z	J2+4
9070.2	(30 <sup>-</sup> )	921 <sup>a</sup>		8149.2	(28 <sup>-</sup> )		3833+z	J2+8	1038	2795+z	J2+6
9600.7	(32 <sup>+</sup> )	958		8642.7	(30 <sup>+</sup> )		4936+z	J2+10	1103	3833+z	J2+8
9860.0	(33 <sup>-</sup> )	905.7		8954.3	(31 <sup>-</sup> )		6097+z	J2+12	1161	4936+z	J2+10
10594.7	(34 <sup>+</sup> )	994		9600.7	(32 <sup>+</sup> )		7319+z	J2+14	1222	6097+z	J2+12
10823.0	(35 <sup>-</sup> )	963 <sup>a</sup>		9860.0	(33 <sup>-</sup> )		8603+z	J2+16	1284	7319+z	J2+14
11611.7	(36 <sup>+</sup> )	1017 <sup>a</sup>		10594.7	(34 <sup>+</sup> )		9951+z	J2+18	1348	8603+z	J2+16
11841.0	(37 <sup>-</sup> )	1018 <sup>a</sup>		10823.0	(35 <sup>-</sup> )		11364+z	J2+20	1413	9951+z	J2+18

<sup>†</sup> From  $\gamma(\theta)$  and/or  $\gamma\gamma(\theta)$  (DCO) in (HI,xn $\gamma$ ).  $\Delta J=2$  transitions are assigned E2 from RUL (for E2 and M2), assuming timing resolution of a few nanoseconds in  $\gamma\gamma$  coin.

**Adopted Levels, Gammas (continued)** $\gamma(^{172}\text{Hf})$  (continued)

‡ From ce data in  $^{172}\text{Ta}$   $\varepsilon$  decay.

#  $I_{\gamma}(30^{\circ})/I_{\gamma}(90^{\circ})$  relative to that of  $214\gamma$  (assumed E2) is consistent with  $\Delta J=2$  transition.

@ From (HI,xn $\gamma$ ). In  $^{172}\text{Ta}$   $\varepsilon$  decay, the 871.2  $\gamma$ -ray peak was seen as a wide structure and was interpreted (1973Ca10) as mixed with an impurity. It is possible that the broadening was partly due to 875 $\gamma$ . It is assumed that the 1503 level is the same in the two studies ( $^{172}\text{Ta}$   $\varepsilon$  decay and (HI,xn $\gamma$ )).

& Total theoretical internal conversion coefficients, calculated using the BrIcc code (2008Ki07) with Frozen orbital approximation based on  $\gamma$ -ray energies, assigned multipolarities, and mixing ratios, unless otherwise specified.

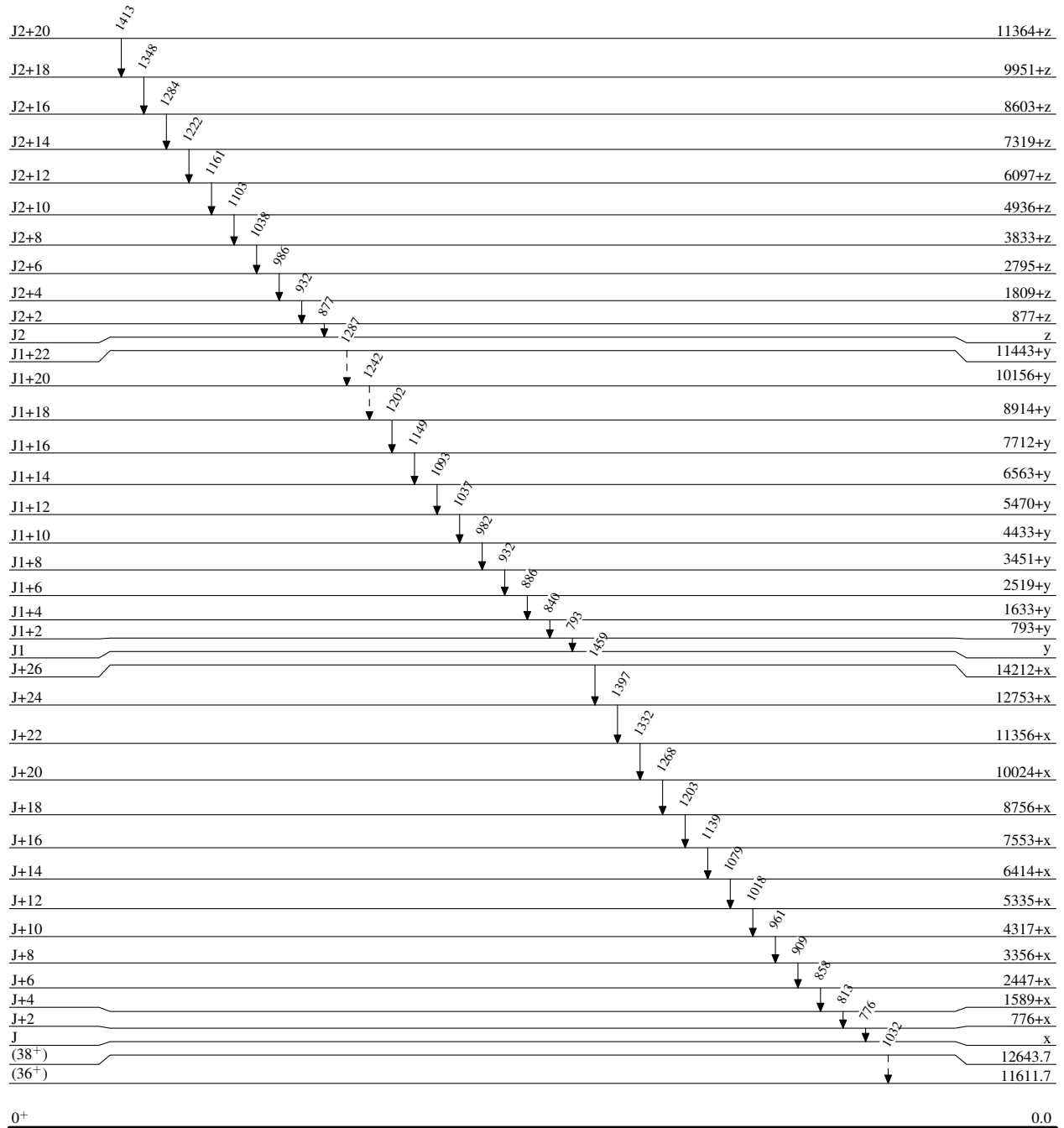
<sup>a</sup> Placement of transition in the level scheme is uncertain.

# Adopted Levels, Gammas

Legend

## Level Scheme

Intensities: Relative photon branching from each level

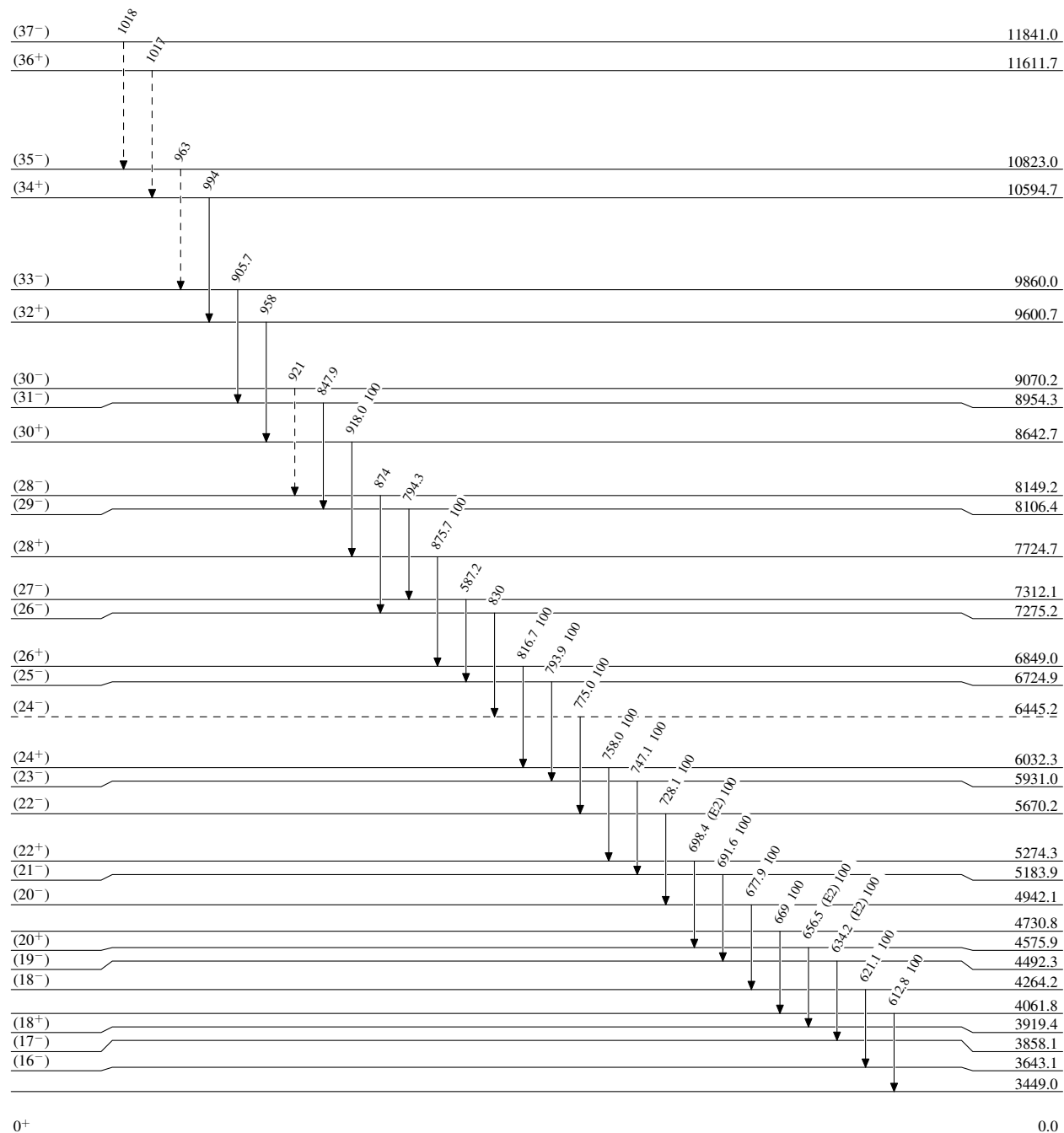
-----►  $\gamma$  Decay (Uncertain)


# Adopted Levels, Gammas

Legend

## Level Scheme (continued)

Intensities: Relative photon branching from each level

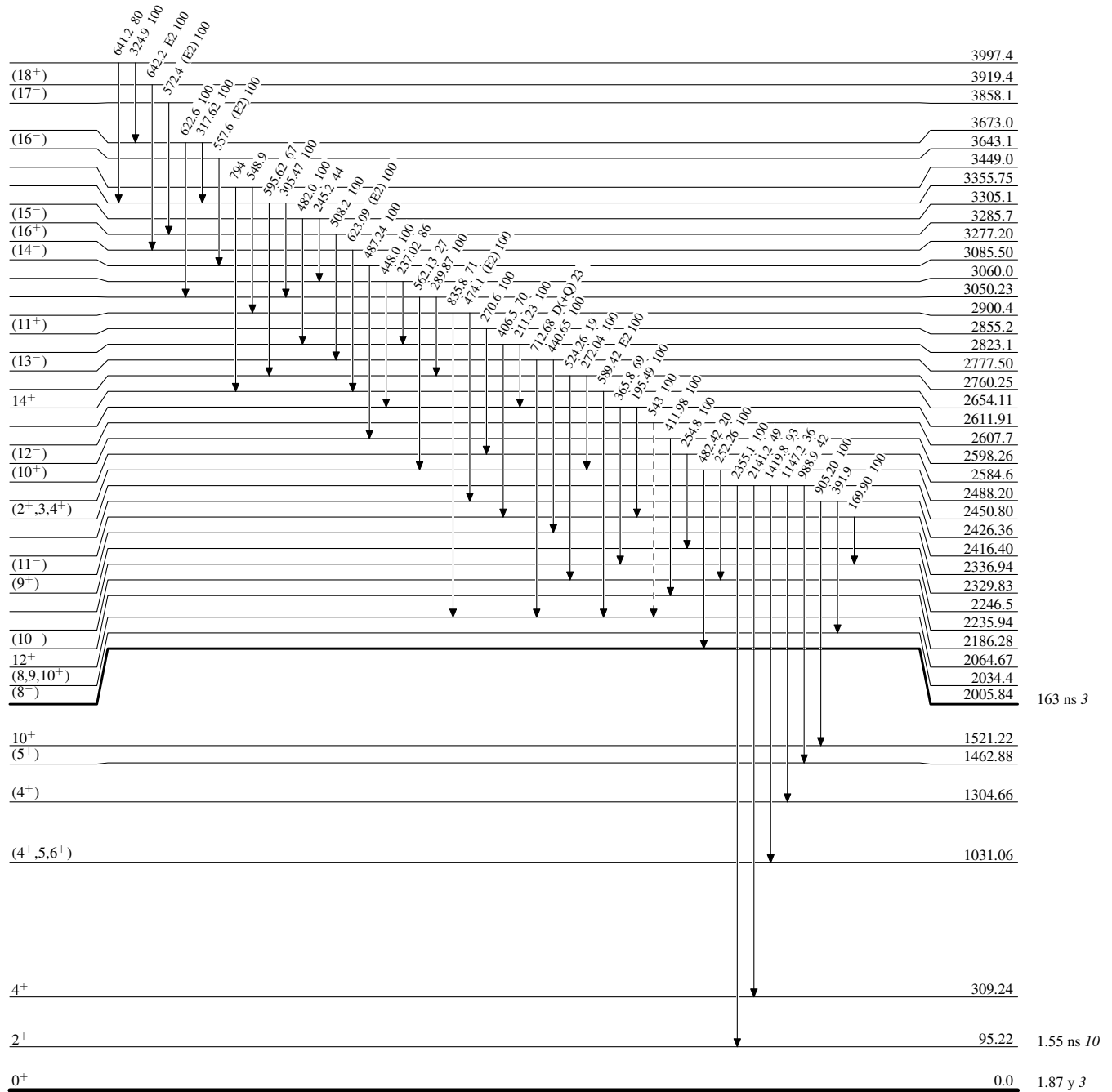
-----►  $\gamma$  Decay (Uncertain)


**Adopted Levels, Gammas**

Legend

**Level Scheme (continued)**

Intensities: Relative photon branching from each level

-----►  $\gamma$  Decay (Uncertain)

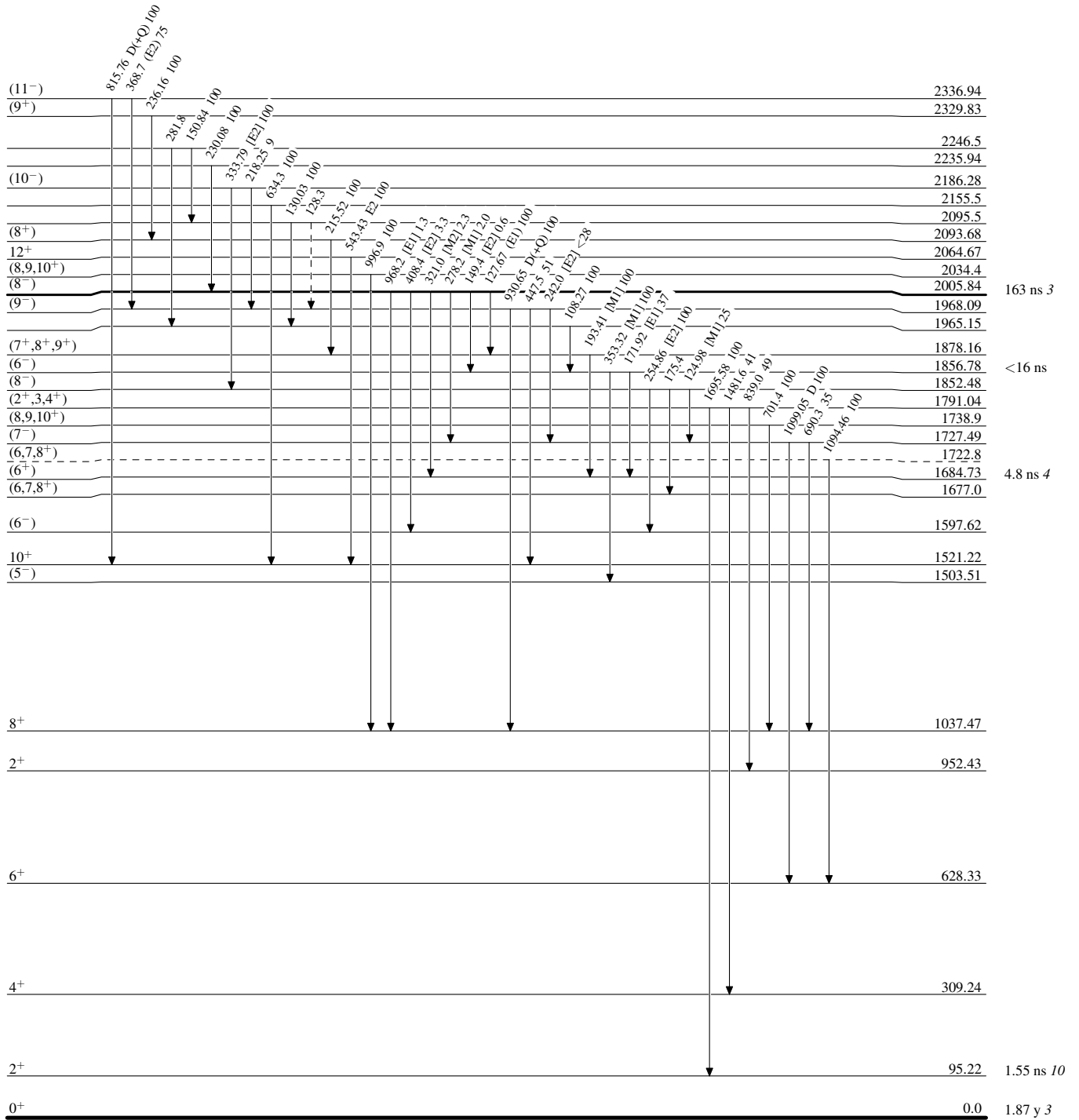


Adopted Levels, Gammas

Legend

Level Scheme (continued)

Intensities: Relative photon branching from each level

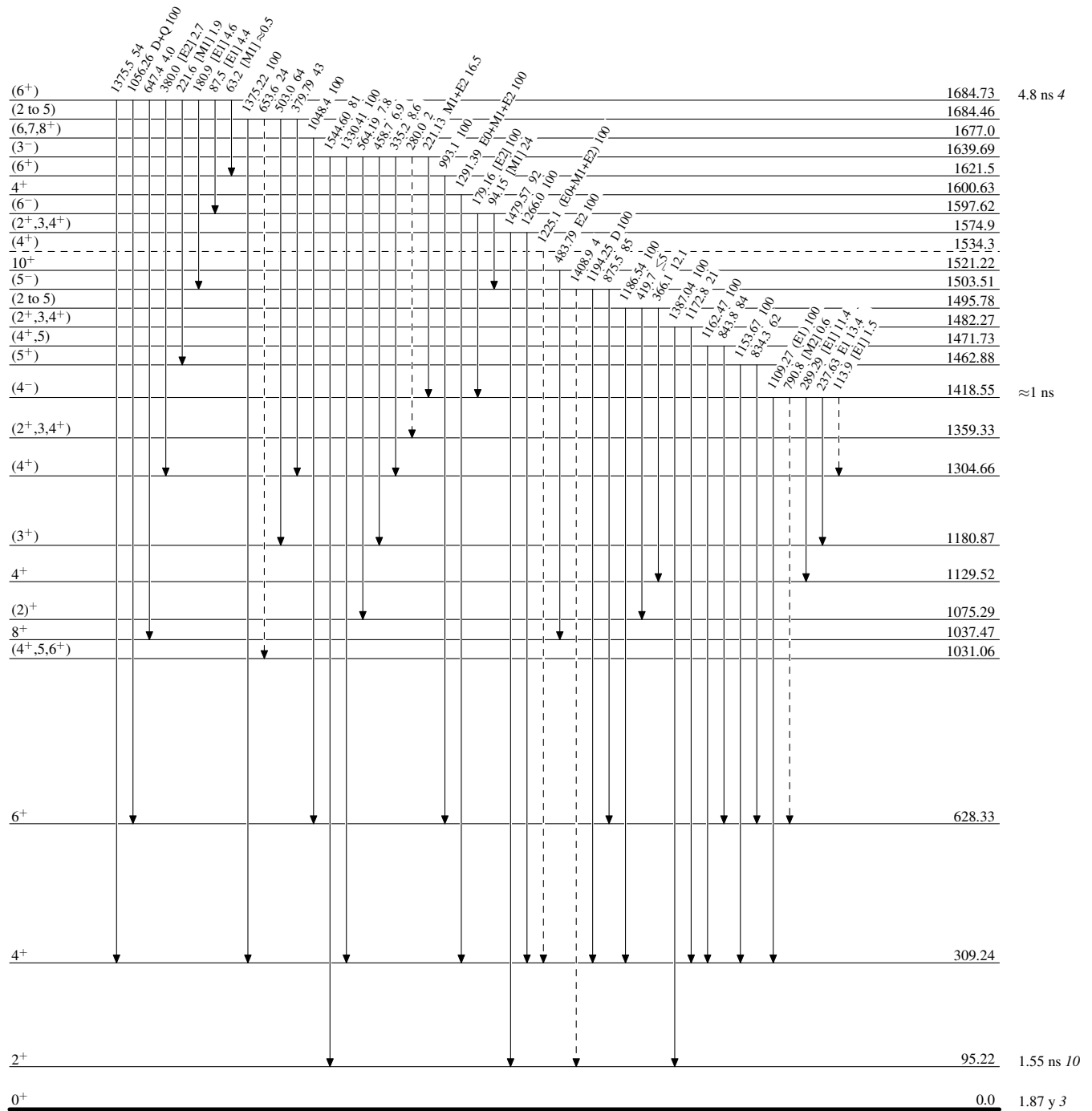
-----►  $\gamma$  Decay (Uncertain)

**Adopted Levels, Gammas**

Legend

**Level Scheme (continued)**

Intensities: Relative photon branching from each level

-----►  $\gamma$  Decay (Uncertain)

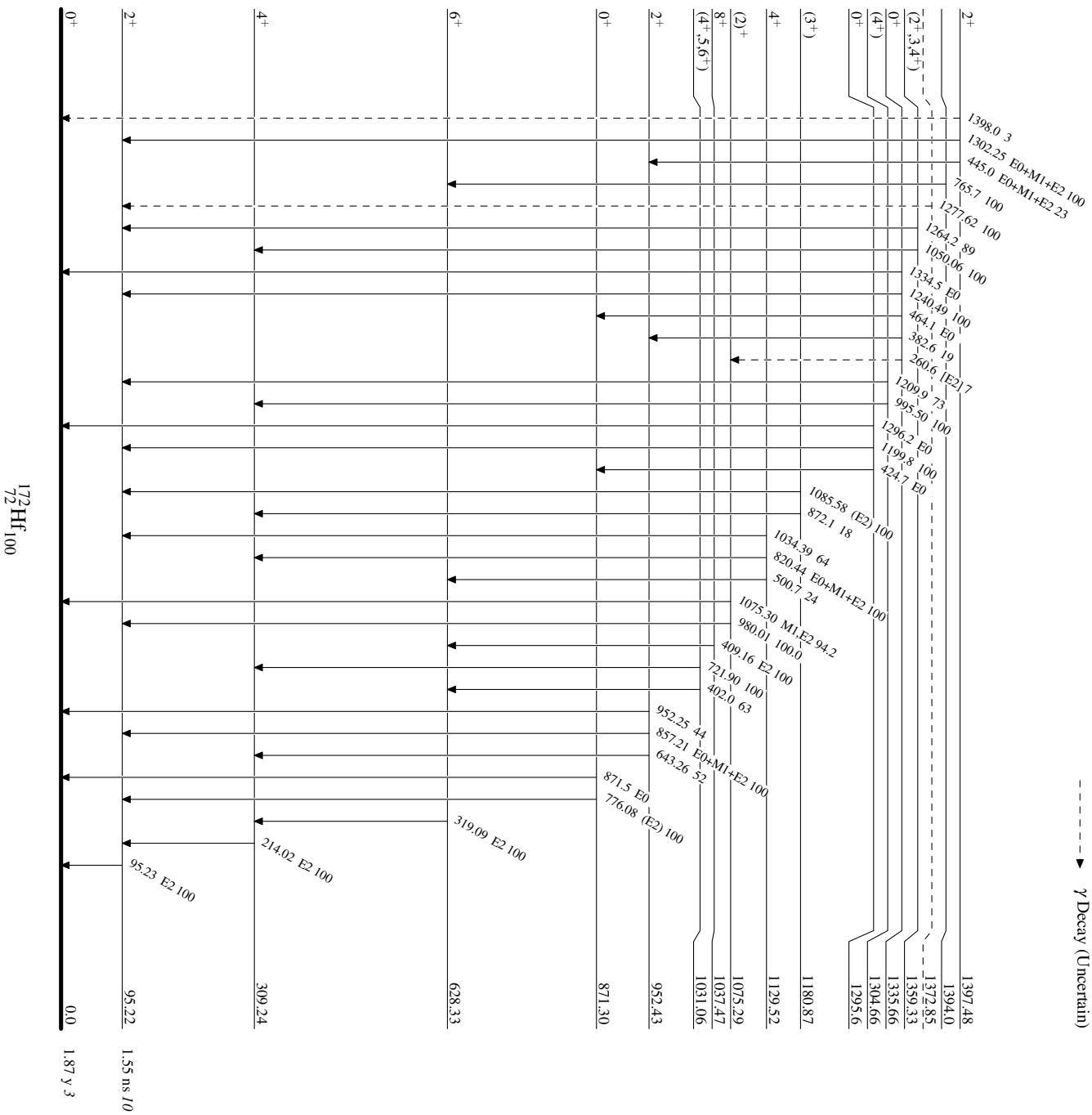
### Adopted Levels, Gammas

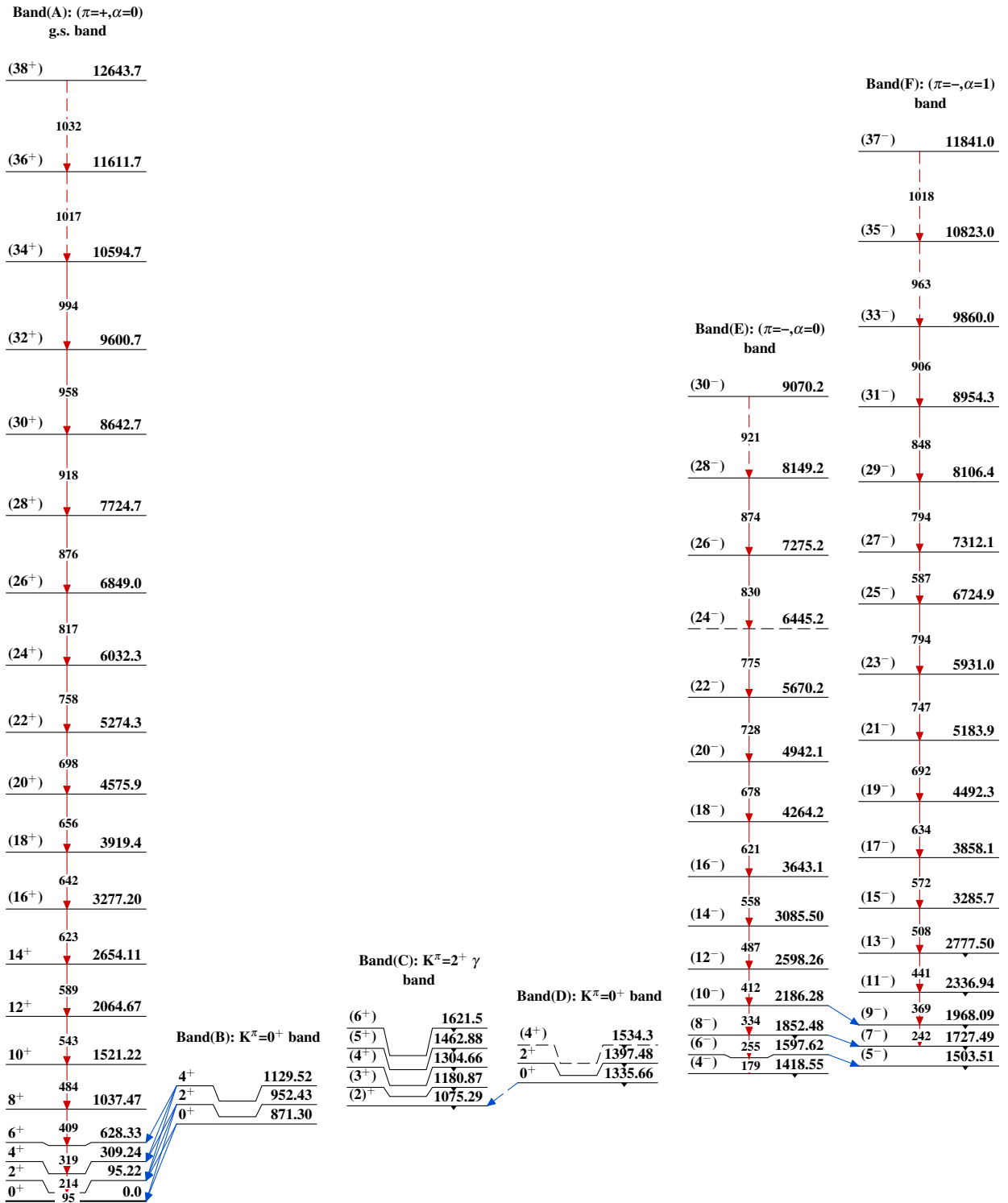
### Legend

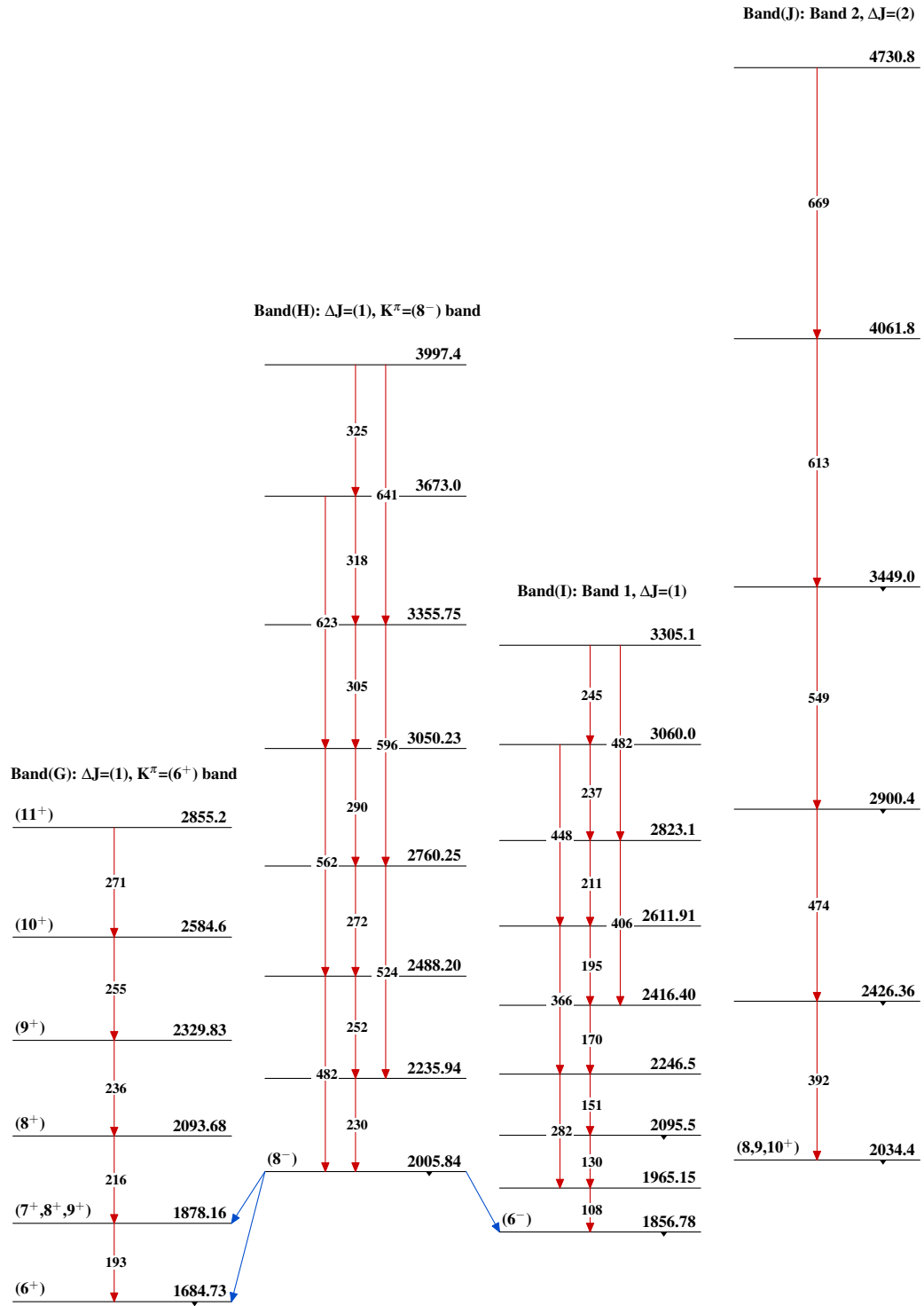
## Level Scheme (continued)

Intensities: Relative photon branching from each level

---►  $\gamma$  Decay (Uncertain)



Adopted Levels, Gammas

Adopted Levels, Gammas (continued)

Adopted Levels, Gammas (continued)

			Band(M): SD-3 band		
			J2+20	11364+z	
			J2+18	1413 ↓	9951+z
			J2+16	1348 ↓	8603+z
			J2+14	1284 ↓	7319+z
			J2+12	1222 ↓	6097+z
			J2+10	1161 ↓	4936+z
			J2+8	1103 ↓	3833+z
			J2+6	1038 ↓	2795+z
			J2+4	986 ↓	1809+z
			J2+2	932 ↓	877+z
			J2	877 ↓	z
			Band(L): SD-2 band		
			J1+22	11443+y	
			J1+20	1287 ↓	10156+y
			J1+18	1242 ↓	8914+y
			J1+16	1202 ↓	7712+y
			J1+14	1149 ↓	6563+y
			J1+12	1093 ↓	5470+y
			J1+10	1037 ↓	4433+y
			J1+8	982 ↓	3451+y
			J1+6	932 ↓	2519+y
			J1+4	886 ↓	1633+y
			J1+2	840 ↓	793+y
			J1	793 ↓	y
			Band(K): SD-1 band		
			J+26	14212+x	
			J+24	1459 ↓	12753+x
			J+22	1397 ↓	11356+x
			J+20	1332 ↓	10024+x
			J+18	1268 ↓	8756+x
			J+16	1203 ↓	7553+x
			J+14	1139 ↓	6414+x
			J+12	1079 ↓	5335+x
			J+10	1018 ↓	4317+x
			J+8	961 ↓	3356+x
			J+6	909 ↓	2447+x
			J+4	858 ↓	1589+x
			J+2	813 ↓	776+x
			J	776 ↓	x

Adopted Levels, Gammas

Type	Author	History Citation	Literature Cutoff Date
Update	Balraj Singh		26-Jul-2005

$Q(\beta^-) = -4.11 \times 10^3$  3;  $S(n) = 8.51 \times 10^3$  3;  $S(p) = 6253.0$  22;  $Q(\alpha) = 2493.1$  24 [2012Wa38](#)

Note: Current evaluation has used the following Q record -3844 808640 SY6252.0 222494.8 25 [1995Au04](#).

$Q(\beta^-)$ : from  $E_{\beta^+} = 2525$  80 to 297 level from  $^{174}\text{Ta}$   $\varepsilon + \beta^+$  decay ([1971Ch26](#)).

[Additional information 1](#).

Isotope shift: [1999Le11](#), [1995Ga38](#), [1994Zi04](#), [1994Ji07](#), [1994BoZR](#), [1994An14](#), [1994An09](#), [1992Be07](#).

 $^{174}\text{Hf}$  LevelsCross Reference (XREF) Flags

<b>A</b>	$^{174}\text{Ta}$ $\varepsilon$ decay	<b>E</b>	$^{130}\text{Te}(^{48}\text{Ca}, 4n\gamma)$ :SD
<b>B</b>	$^{172}\text{Yb}(\alpha, 2n\gamma)$ , $^{160}\text{Gd}(^{18}\text{O}, 4n\gamma)$	<b>F</b>	Coulomb excitation
<b>C</b>	$^{175}\text{Lu}(p, 2n\gamma)$ , (d, 3n $\gamma$ )	<b>G</b>	$^{174}\text{Hf}(d, d')$
<b>D</b>	$^{130}\text{Te}(^{48}\text{Ca}, 4n\gamma)$		

E(level) <sup>#</sup>	J <sup><math>\pi</math></sup>	T <sub>1/2</sub>	XREF	Comments
0.0 <sup>@</sup>	0 <sup>+</sup>	2.0 $\times 10^{15}$ y 4	ABCD F	% $\alpha$ =100 T <sub>1/2</sub> : from <a href="#">1961Ma05</a> , value recommended by <a href="#">1990Ho28</a> . Other value: 4.3 $\times 10^{15}$ y ( <a href="#">1959Ri34</a> ).
90.985 <sup>@</sup> 19	2 <sup>+</sup>	1.66 ns 7	ABCD F	T <sub>1/2</sub> : weighted average of 1.68 ns 8 ( <a href="#">1971Ch26</a> ) and 1.64 ns 10 ( <a href="#">1965Ab02</a> , <a href="#">1967Ab06</a> ) from $^{174}\text{Ta}$ $\varepsilon$ decay. Other value: 1.38 ns 9, Coul. ex. ( <a href="#">1971Ej01</a> , <a href="#">1963Bj04</a> ). J <sup><math>\pi</math></sup> : 91.00 E2 $\gamma$ to 0 <sup>+</sup> .
297.38 <sup>@</sup> 4	4 <sup>+</sup>		ABCD F	J <sup><math>\pi</math></sup> : 206.5 E2 $\gamma$ to 2 <sup>+</sup> .
608.26 <sup>@</sup> 5	6 <sup>+</sup>		ABCD F	J <sup><math>\pi</math></sup> : 310.9 E2 $\gamma$ to 4 <sup>+</sup> .
828.13 <sup>&amp;</sup> 24	0 <sup>+</sup>		ABCD G	J <sup><math>\pi</math></sup> : 828.0 E0 transition to 0 <sup>+</sup> .
900.24 <sup>&amp;</sup> 4	2 <sup>+</sup>	2.2 ps 5	ABCD FG	T <sub>1/2</sub> : from Coul. ex. ( <a href="#">1971Ej01</a> ). J <sup><math>\pi</math></sup> : 809.33 E0+M1+E2 $\gamma$ to 2 <sup>+</sup> .
1009.6 <sup>@</sup>	8 <sup>+</sup>		BCD F	J <sup><math>\pi</math></sup> : 401.0 stretched E2 $\gamma$ to 6 <sup>+</sup> .
1062.17 <sup>&amp;</sup> 4	4 <sup>+</sup>		ABCD G	J <sup><math>\pi</math></sup> : 764.8 E0+M1+E2 $\gamma$ to 4 <sup>+</sup> .
1226.77 <sup>a</sup> 7	2 <sup>+</sup>	0.36 ps 6	A FG	T <sub>1/2</sub> : from Coul. ex. ( <a href="#">1971Ej01</a> ). J <sup><math>\pi</math></sup> : 1227.0 $\gamma$ to 0 <sup>+</sup> . Observed in Coul. ex.
1303.36 <sup>b</sup> 8	(3 <sup>+</sup> )		AB D	J <sup><math>\pi</math></sup> : 1006.2 $\gamma$ to 4 <sup>+</sup> , 1212.3 $\gamma$ to 2 <sup>+</sup> . State is possibly mixed with $K^\pi=2^+$ $\gamma$ -vibrational band.
1307.4 <sup>&amp;</sup>	6 <sup>+</sup>		BCD	J <sup><math>\pi</math></sup> : 699 M1+E2 $\gamma$ to 6 <sup>+</sup> , 245 $\gamma$ to 4 <sup>+</sup> , 298 $\gamma$ to 8 <sup>+</sup> .
1308.69 <sup>c</sup> 10	(2 <sup>-</sup> )		A G	
1319.40 <sup>d</sup> 5	2 <sup>+</sup>	$\leq 5$ ns	A	J <sup><math>\pi</math></sup> : 419.0 $\gamma$ and 1228.3 $\gamma$ to 2 <sup>+</sup> are E0+M1+E2. T <sub>1/2</sub> : from $^{174}\text{Ta}$ $\varepsilon$ decay, $\gamma\gamma(t)$ ( <a href="#">1975Ca11</a> ).
1321 <sup>c</sup>	(3 <sup>-</sup> )		G	
1336.48 <sup>a</sup> 7	(3 <sup>+</sup> )		A	J <sup><math>\pi</math></sup> : 1245.5 M1+E2 $\gamma$ to 2 <sup>+</sup> , 1038.9 $\gamma$ to 4 <sup>+</sup> .
1394.60 <sup>b</sup> 8	(4 <sup>+</sup> )		AB D G	J <sup><math>\pi</math></sup> : 1097.3 M1+E2 $\gamma$ to 4 <sup>+</sup> , 1303.5 $\gamma$ to 2 <sup>+</sup> .
1425.24 <sup>c</sup> 8	(4 <sup>-</sup> )		AB D	J <sup><math>\pi</math></sup> : 1127.8 (E1) $\gamma$ to 4 <sup>+</sup> , 996.6 M1+E2 $\gamma$ from 3 <sup>-</sup> .
1442.66 <sup>c</sup> 11	(5 <sup>-</sup> )		A G	XREF: G(1443). J <sup><math>\pi</math></sup> : 1145.2 $\gamma$ to 4 <sup>+</sup> , 834.3 $\gamma$ to 6 <sup>+</sup> , 979.3 $\gamma$ from 3 <sup>-</sup> .
1448.85 <sup>a</sup> 6	4 <sup>+</sup>		A D G	XREF: G(1449). J <sup><math>\pi</math></sup> : 840.8 $\gamma$ to 6 <sup>+</sup> , 1151.4 $\gamma$ (E2) to 4 <sup>+</sup> , 1357.9 $\gamma$ to 2 <sup>+</sup> .
1485.9 <sup>@</sup>	(10 <sup>+</sup> )		BCD	J <sup><math>\pi</math></sup> : 476.4 $\gamma$ to 8 <sup>+</sup> .
1496.36 11	2 <sup>+</sup>		A	J <sup><math>\pi</math></sup> : 1496.5 $\gamma$ to 0 <sup>+</sup> , 1198.9 $\gamma$ to 4 <sup>+</sup> .

Continued on next page (footnotes at end of table)

**Adopted Levels, Gammas (continued)**

$^{174}\text{Hf}$ Levels (continued)				
E(level) <sup>#</sup>	J <sup>π</sup> <sup>‡</sup>	T <sub>1/2</sub>	XREF	Comments
1503.29 <sup>d</sup> 5	(4) <sup>+</sup>	≤5 ns	A	T <sub>1/2</sub> : from $^{174}\text{Ta}$ ε decay (1975Ca11). J <sup>π</sup> : 1205.9 M1+E2 γ to 4 <sup>+</sup> , 1412.5γ to 2 <sup>+</sup> .
1508.2 <sup>b</sup>	(5 <sup>+</sup> )		B	J <sup>π</sup> : 900.0γ to 6 <sup>+</sup> , 1210.8γ to 4 <sup>+</sup> .
1549.3 <sup>e</sup>	(6 <sup>+</sup> )	138 ns 4	BC	μ=+5.42 5 T <sub>1/2</sub> : from (α,2nγ) (1980Wa23). Other value: 133 ns (1983Wa21,1976KhZR). J <sup>π</sup> : 941.1γ to 6 <sup>+</sup> , 1251.8γ to 4 <sup>+</sup> . μ: From g-factor=0.892 8, does not include a Knight-shift correction (1989Ra17,1980Wa23).
1561.72 <sup>m</sup> 14	4 <sup>-</sup>		D	
1626.0 3	4 <sup>+</sup>		A	J <sup>π</sup> : 1534.7γ to 2 <sup>+</sup> , 1018.5γ to 6 <sup>+</sup> .
1627.4 <sup>m</sup> 3	5 <sup>-</sup>		D	J <sup>π</sup> : 1019.3γ to 6 <sup>+</sup> , 1330.0γ to 4 <sup>+</sup> .
1630.5 <sup>&amp;</sup>	(8 <sup>+</sup> )		BCD	J <sup>π</sup> : 323.1γ to 6 <sup>+</sup> , 620.9γ to 8 <sup>+</sup> .
1634.4 <sup>c</sup>	(6 <sup>-</sup> )		B D	J <sup>π</sup> : 1026.2γ to 6 <sup>+</sup> .
1642.15 <sup>b</sup> 9	6 <sup>+</sup>		D	
1648.33 <sup>h</sup> 18	4 <sup>-</sup>		A D	
1650.6 <sup>c</sup>	(7 <sup>-</sup> )		B D	J <sup>π</sup> : 1042.4γ to 6 <sup>+</sup> .
1658.41 <sup>a</sup> 7	(5 <sup>+</sup> )		A	J <sup>π</sup> : 1361.0γ to 4 <sup>+</sup> , 1050.2γ to 6 <sup>+</sup> . J <sup>π</sup> =(5 <sup>+</sup> ) assignment is not consistent with log ft=7.45 from $^{174}\text{Ta}$ (J <sup>π</sup> =3 <sup>(+)</sup> ) ε+β <sup>+</sup> decay.
1713.5 <sup>i</sup>	(6 <sup>-</sup> )	0.45 ns 10	B	J <sup>π</sup> : 164.3γ and 1105.1γ to 6 <sup>+</sup> states. T <sub>1/2</sub> : from γ(t) in (α,2nγ) (1987AnZR).
1722.43 <sup>m</sup> 19	6 <sup>-</sup>		D	
1737.4 <sup>e</sup>	(7 <sup>+</sup> )		B D	J <sup>π</sup> : 188.1γ to (6 <sup>+</sup> ).
1767.66 <sup>h</sup> 11	5 <sup>-</sup>		D	
1779.9 2	(2 <sup>+</sup> ,3,4 <sup>+</sup> ) <sup>†</sup>		A	
1797.5 <sup>f</sup>	(8 <sup>-</sup> )	2.39 μs 4	B D F	T <sub>1/2</sub> : from $^{172}\text{Yb}(\alpha,2n\gamma)$ , $^{160}\text{Gd}(^{18}\text{O},4n\gamma)$ (1974KhZW). Other: 2.5 μs 6 (2002Pf01). Consistent with Weisskopf estimate of T <sub>1/2</sub> (1 μs) for 248 (M2) γ. Competition between 60.1 (E1) γ and 248 (M2) γ is possible because of the additional ΔK=2 hindrance for the 60.1 (E1) γ. J <sup>π</sup> : 60.1 (E1) γ to (7 <sup>+</sup> ), 248.2 (M2) γ to (6 <sup>+</sup> ).
1798.0 <sup>b</sup>	(7 <sup>+</sup> )		B D	J <sup>π</sup> : 289.8γ to (5 <sup>+</sup> ).
1827.4 <sup>i</sup>	(7 <sup>-</sup> )		B D	J <sup>π</sup> : 113.9γ to (6 <sup>-</sup> ).
1838.14 <sup>m</sup> 17	7 <sup>-</sup>		D	
1861.78 15	(2 <sup>+</sup> ,3,4 <sup>+</sup> ) <sup>†</sup>		A	
1904.4 3	(6 <sup>+</sup> )		A	J <sup>π</sup> : 1295.3γ to 6 <sup>+</sup> , 1607.2γ to 4 <sup>+</sup> .
1910.0 <sup>k</sup> 3	(6 <sup>-</sup> )		D	
1928.4 <sup>c</sup>	(8 <sup>-</sup> )		B D	J <sup>π</sup> : 918.8γ to 8 <sup>+</sup> .
1937.46 <sup>h</sup> 14	6 <sup>-</sup>		D	
1943.9 <sup>c</sup>	(9 <sup>-</sup> )		B D	J <sup>π</sup> : 934.3γ to 8 <sup>+</sup> .
1948.1 <sup>e</sup>	(8 <sup>+</sup> )		B D	J <sup>π</sup> : 210.7γ to (7 <sup>+</sup> ), 399.4γ to (6 <sup>+</sup> ).
1963.4 <sup>i</sup>	(8 <sup>-</sup> )		B D	J <sup>π</sup> : 136.1γ to (7 <sup>-</sup> ).
1972.06 <sup>b</sup> 10	8 <sup>+</sup>		D	
1981.50 <sup>m</sup> 21	8 <sup>-</sup>		D	
2016.7 3	6 <sup>-</sup>		D	
2020.5 <sup>@</sup>	(12 <sup>+</sup> )		BCD	J <sup>π</sup> : 534.6 stretched (E2) γ to (10 <sup>+</sup> ).
2026.3 <sup>&amp;</sup>	(10 <sup>+</sup> )		BCD	XREF: B(2026.3 ). J <sup>π</sup> : 395.9γ to (8 <sup>+</sup> ), 540.3γ to (10 <sup>+</sup> ).
2028.0 <sup>f</sup>	(9 <sup>-</sup> )	0.5 ps 3	B D F	Coulomb excitation of $^{174}\text{Hf}(J^{\pi}=(8^{-}), 2.39 \mu\text{s})$ . T <sub>1/2</sub> : deduced by evaluator from B(E2)↑(8 <sup>-</sup> to 9 <sup>-</sup> )=2 I.

Continued on next page (footnotes at end of table)



**Adopted Levels, Gammas (continued)** $^{174}\text{Hf}$  Levels (continued)

E(level) <sup>#</sup>	J <sup>π</sup> <sup>‡</sup>	XREF	Comments
2030.25 <i>15</i>	4(+)	A	J <sup>π</sup> : 230.5γ to (8 <sup>-</sup> ).
2084.35 <i>h</i> 9	7 <sup>-</sup>	D	J <sup>π</sup> : 1939.2γ to 2 <sup>+</sup> , 1732.9γ to 4 <sup>+</sup> , 1421.9γ to 6 <sup>+</sup> .
2119.0 <i>i</i>	(9 <sup>-</sup> )	B D	J <sup>π</sup> : 155.6γ to (8 <sup>-</sup> ), 292.4γ to (7 <sup>-</sup> ).
2124.56 <i>k</i> 20	(8 <sup>-</sup> )	D	
2135.43 <i>m</i> 25	9 <sup>-</sup>	D	
2167.1 <i>b</i>	(9 <sup>+</sup> )	B D	J <sup>π</sup> : 369.1γ to (7 <sup>+</sup> ).
2180.0 <i>e</i>	(9 <sup>+</sup> )	B D	J <sup>π</sup> : 231.9γ to (8 <sup>+</sup> ), 442.4γ to (7 <sup>+</sup> ).
2276.87 <i>h</i> 9	8 <sup>-</sup>	D	
2279.2 <i>f</i>	(10 <sup>-</sup> )	B D	J <sup>π</sup> : 251.4γ to (9 <sup>-</sup> ), 481γ to (8 <sup>-</sup> ).
2295.7 <i>i</i>	(10 <sup>-</sup> )	B D	J <sup>π</sup> : 176.7γ to (9 <sup>-</sup> ), 332.2γ to (8 <sup>-</sup> ).
2299.4 <i>c</i>	(10 <sup>-</sup> )	B D	J <sup>π</sup> : 371.0γ to (8 <sup>-</sup> ).
2319.2 <i>c</i>	(11 <sup>-</sup> )	B D	J <sup>π</sup> : 375.2γ to (9 <sup>-</sup> ).
2331.5 <i>m</i> 4	10 <sup>-</sup>	D	
2338.51 <i>13</i>	(2 <sup>+</sup> , 3, 4 <sup>+</sup> ) <sup>†</sup>	A	
2353.99 25	(3, 4 <sup>+</sup> ) <sup>†</sup>	A	
2379.22 <i>b</i> 10	10 <sup>+</sup>	D	
2402.80 7	2 <sup>+</sup>	A	J <sup>π</sup> : 1083.3 E0+M1+E2 γ to 2 <sup>+</sup> .
2421.98 <i>10</i>	(3) <sup>-</sup>	A	J <sup>π</sup> : 996.6 M1+E2 γ to (4) <sup>-</sup> , 2331.5γ to 2 <sup>+</sup> .
2429.6 <i>k</i> 3	(10 <sup>-</sup> )	D	
2431.2 <i>e</i>	(10 <sup>+</sup> )	B D	J <sup>π</sup> : 251.0γ to (9 <sup>+</sup> ), 483.4γ to (8 <sup>+</sup> ).
2441.85 23	(2 <sup>+</sup> , 3, 4 <sup>+</sup> ) <sup>†</sup>	A	
2447.41 <i>h</i> 14	9 <sup>-</sup>	D	
2486.1 4	2(+)	A	J <sup>π</sup> : 2486.8γ to 0 <sup>+</sup> , 2189.2γ to 4 <sup>+</sup> .
2487.73 <i>i</i> 10	11 <sup>-</sup>	B D	J 192.0γ to (10 <sup>-</sup> ), 368.9γ to (9 <sup>-</sup> ).
2489.35 <i>&amp;</i> 8	12 <sup>+</sup>	B D	J <sup>π</sup> : 462.8γ to (10 <sup>+</sup> ), 468.6γ to (12 <sup>+</sup> ).
2491.7 3	(2 <sup>+</sup> , 3, 4 <sup>+</sup> ) <sup>†</sup>	A	
2505.25 <i>15</i>	2(+)	A	J <sup>π</sup> : 2505.4γ to 0 <sup>+</sup> , 2208.1γ to 4 <sup>+</sup> .
2515.6 <i>m</i> 3	11 <sup>-</sup>	D	
2529.97 17	2 <sup>+</sup>	A	J <sup>π</sup> : 1210.9 E0+M1+E2 γ to 2 <sup>+</sup> .
2554.6 <i>f</i>	(11 <sup>-</sup> )	B D	J <sup>π</sup> : 275.4γ to (10 <sup>-</sup> ), 527γ to (9 <sup>-</sup> ).
2592.21 20	(3, 4 <sup>+</sup> ) <sup>†</sup>	A	
2597.5 <i>@</i>	(14 <sup>+</sup> )	B D	J <sup>π</sup> : 577.0γ to (12 <sup>+</sup> ).
2609.5 <i>b</i>	(11 <sup>+</sup> )	B	J <sup>π</sup> : 442.4γ to (9 <sup>+</sup> ).
2641.0 4	4(+)	A	J <sup>π</sup> : 2549.5γ to 2 <sup>+</sup> , 2031.9γ to 6 <sup>+</sup> .
2653.82 <i>h</i> 8	10 <sup>-</sup>	D	
2684.85 <i>l</i> 9	(12 <sup>+</sup> )	D	
2700.3 <i>e</i>	(11 <sup>+</sup> )	B D	J <sup>π</sup> : 269.1γ to (10 <sup>+</sup> ), 520.2γ to (9 <sup>+</sup> ).
2700.8 <i>i</i>	(12 <sup>-</sup> )	B	XREF: B(2700.8 ).
			J <sup>π</sup> : 212.8γ to (11 <sup>-</sup> ), 404.7γ to (10 <sup>-</sup> ).
2729.84 <i>12</i>		A	
2744.2 <i>c</i>	(12 <sup>-</sup> )	B D	J <sup>π</sup> : 444.8γ to (10 <sup>-</sup> ).
2767.9 <i>m</i> 5	12 <sup>-</sup>	D	
2772.0 <i>c</i>	(13 <sup>-</sup> )	B D	J <sup>π</sup> : 452.0γ to (11 <sup>-</sup> ), 751.5γ to (12 <sup>+</sup> ).
2791.42 <i>17</i>	(2 <sup>+</sup> , 3, 4 <sup>+</sup> ) <sup>†</sup>	A	
2792.98 <i>n</i> 8	10 <sup>-</sup>	D	
2823.6 <i>k</i> 4	(12 <sup>-</sup> )	D	
2847.4 <i>f</i>	(12 <sup>-</sup> )	B D	J <sup>π</sup> : 292.4γ to (11 <sup>-</sup> ), 568γ to (10 <sup>-</sup> ).

Continued on next page (footnotes at end of table)

**Adopted Levels, Gammas (continued)** $^{174}\text{Hf}$  Levels (continued)

E(level) <sup>#</sup>	J <sup>π</sup> <sup>‡</sup>	T <sub>1/2</sub>	XREF	Comments
2854.35 <sup>b</sup> 10	12 <sup>+</sup>		D	
2859.21 <sup>h</sup> 16	11 <sup>-</sup>		D	
2931.76 25	2 <sup>(+)</sup>		A	J <sup>π</sup> : 2931.8γ to 0 <sup>+</sup> , 2632.6γ to 4 <sup>+</sup> .
2932.7 <sup>i</sup>	(13 <sup>-</sup> )		B D	J <sup>π</sup> : 232.5γ to (12 <sup>-</sup> ), 445.0γ to (11 <sup>-</sup> ).
2958.72 7	(11 <sup>-</sup> )		D	Other K <sup>π</sup> =(11 <sup>-</sup> ) band head, see 1995Gj01.
2972.4 <sup>m</sup> 3	13 <sup>-</sup>		D	
2983.3 <sup>e</sup>	(12 <sup>+</sup> )		B D	J <sup>π</sup> : 282.9γ to (11 <sup>+</sup> ), 552.1γ to (10 <sup>+</sup> ).
2992.5 <sup>&amp;</sup>	(14 <sup>+</sup> )		B D	J <sup>π</sup> : 503.6γ to (12 <sup>+</sup> ), 394.8γ to (14 <sup>+</sup> ).
3046.24 <sup>j</sup> 11	(11 <sup>-</sup> )		D	
3087.9 3	4 <sup>(+)</sup>		A	J <sup>π</sup> : 2999.7γ to 2 <sup>+</sup> , 2479.2γ to 6 <sup>+</sup> .
3090.16 <sup>o</sup> 7	12 <sup>-</sup>		D	
3106.0 5	(2,3,4) <sup>‡</sup>		A	
3117.4 <sup>b</sup>	(13 <sup>+</sup> )		B	J <sup>π</sup> : 507.9γ to (11 <sup>+</sup> ).
3157.02 <sup>f</sup> 11	(13 <sup>-</sup> )		D	
3180.7 <sup>i</sup>	(14 <sup>-</sup> )		B	J <sup>π</sup> : 247.3γ to (13 <sup>-</sup> ), 479.7γ to (12 <sup>-</sup> ).
3191.1 5	(2,3,4) <sup>‡</sup>		A	
3208.9 <sup>@</sup>	(16 <sup>+</sup> )		B D	J <sup>π</sup> : 611.4γ to (14 <sup>+</sup> ).
3230.06 <sup>j</sup> 16	12 <sup>-</sup>		D	
3248.01 16			A	
3260.2 <sup>c</sup>	(14 <sup>-</sup> )		B D	J <sup>π</sup> : 516.0γ to (12 <sup>-</sup> ).
3269.0 <sup>e</sup>	(13 <sup>+</sup> )		B D	J <sup>π</sup> : 285.7γ to (12 <sup>+</sup> ), 568.4γ to (11 <sup>+</sup> ).
3280.2 <sup>m</sup> 4	14 <sup>-</sup>		D	
3296.3 <sup>c</sup>	(15 <sup>-</sup> )		B D	J <sup>π</sup> : 524.3γ to (13 <sup>-</sup> ), 698.4γ to (14 <sup>+</sup> ).
3300.24 <sup>o</sup> 13	13 <sup>-</sup>		D	
3301.8 <sup>k</sup> 5	(14 <sup>-</sup> )		D	
3311.7 <sup>g</sup>	(14 <sup>+</sup> )	3.7 μs 2	B D	T <sub>1/2</sub> : from $^{172}\text{Yb}(\alpha, 2n\gamma)$ , $^{160}\text{Gd}(^{18}\text{O}, 4n\gamma)$ (1974KhZW). J <sup>π</sup> : 328.3γ to (12 <sup>+</sup> ).
3449.7 <sup>i</sup>	(15 <sup>-</sup> )		B	J <sup>π</sup> : 267.7γ to (14 <sup>-</sup> ), 514.4γ to (13 <sup>-</sup> ).
3500.4 <sup>&amp;</sup>	(16 <sup>+</sup> )		B D	J <sup>π</sup> : 507.9γ to (14 <sup>+</sup> ).
3545.5 <sup>g</sup>	(15 <sup>+</sup> )		B	J <sup>π</sup> : 233.8γ to (14 <sup>+</sup> ).
3680.5 <sup>b</sup>	(15 <sup>+</sup> )		B	J <sup>π</sup> : 563.1γ to (13 <sup>+</sup> ).
3795.6 <sup>g</sup>	(16 <sup>+</sup> )		B	J <sup>π</sup> : 250.1γ to (15 <sup>+</sup> ).
3857.3 <sup>@</sup>	(18 <sup>+</sup> )		B D	J <sup>π</sup> : 648.3γ to (16 <sup>+</sup> ).
3885.9 <sup>c</sup>	(17 <sup>-</sup> )		B	J <sup>π</sup> : 589.6γ to (15 <sup>-</sup> ).
4048 <sup>&amp;</sup>	(18 <sup>+</sup> )		D	
4065.7 <sup>g</sup>	(17 <sup>+</sup> )		B	J <sup>π</sup> : 269.5γ to (16 <sup>+</sup> ).
4358.1 <sup>g</sup>	(18 <sup>+</sup> )		B	J <sup>π</sup> : 293.0γ to (17 <sup>+</sup> ).
4550.8 <sup>@</sup>	(20 <sup>+</sup> )		B D	J <sup>π</sup> : 693.5γ to (18 <sup>+</sup> ).
4656 <sup>&amp;</sup>	(20 <sup>+</sup> )		D	
5291 <sup>@</sup>	(22 <sup>+</sup> )		D	
5359 <sup>&amp;</sup>	(22 <sup>+</sup> )		D	
6062.7 <sup>@</sup> 15	(24 <sup>+</sup> )		D	
6164.7 <sup>&amp;</sup> 15	(24 <sup>+</sup> )		D	
6890? <sup>@</sup>	(26 <sup>+</sup> )		D	
7027? <sup>&amp;</sup>	(26 <sup>+</sup> )		D	
x <sup>P</sup>	J>23		E	
726+x <sup>P</sup>	J+2		E	
1490+x <sup>P</sup>	J+4		E	

Continued on next page (footnotes at end of table)

**Adopted Levels, Gammas (continued)** $^{174}\text{Hf}$  Levels (continued)

E(level) <sup>#</sup>	J $\pi^{\ddagger}$	XREF	E(level) <sup>#</sup>	J $\pi^{\ddagger}$	XREF	E(level) <sup>#</sup>	J $\pi^{\ddagger}$	XREF
2310+x <sup>P</sup>	J+6	E	6960+z <sup>r</sup>	J2+16	E	1661+w <sup>u</sup>	J5+4	E
3177+x <sup>P</sup>	J+8	E	8065+z <sup>r</sup>	J2+18	E	2550+w <sup>u</sup>	J5+6	E
4095+x <sup>P</sup>	J+10	E	9291+z <sup>r</sup>	J2+20	E	3491+w <sup>u</sup>	J5+8	E
5065+x <sup>P</sup>	J+12	E	10578+z <sup>r</sup>	J2+22	E	4493+w <sup>u</sup>	J5+10	E
6090+x <sup>P</sup>	J+14	E	11927+z <sup>r</sup>	J2+24	E	5558+w <sup>u</sup>	J5+12	E
7172+x <sup>P</sup>	J+16	E	13339+z <sup>r</sup>	J2+26	E	6684+w <sup>u</sup>	J5+14	E
8313+x <sup>P</sup>	J+18	E	14814+z? <sup>r</sup>	J2+28	E	7884+w <sup>u</sup>	J5+16	E
9515+x <sup>P</sup>	J+20	E	u <sup>s</sup>	J3>28	E	9146+w <sup>u</sup>	J5+18	E
10779+x <sup>P</sup>	J+22	E	855+u <sup>s</sup>	J3+2	E	10476+w <sup>u</sup>	J5+20	E
12105+x? <sup>P</sup>	J+24	E	1759+u <sup>s</sup>	J3+4	E	11871+w <sup>u</sup>	J5+22	E
13495+x <sup>P</sup>	J+26	E	2708+u <sup>s</sup>	J3+6	E	13331+w? <sup>u</sup>	J5+24	E
14948+x <sup>P</sup>	J+28	E	3703+u <sup>s</sup>	J3+8	E	s <sup>v</sup>	J6	E
16460+x? <sup>P</sup>	J+30	E	4748+u <sup>s</sup>	J3+10	E	810+s <sup>v</sup>	J6+2	E
y <sup>q</sup>	J1>24	E	5846+u <sup>s</sup>	J3+12	E	1650+s <sup>v</sup>	J6+4	E
755+y <sup>q</sup>	J1+2	E	7001+u <sup>s</sup>	J3+14	E	2543+s <sup>v</sup>	J6+6	E
1548+y <sup>q</sup>	J1+4	E	8217+u <sup>s</sup>	J3+16	E	3489+s <sup>v</sup>	J6+8	E
2394+y <sup>q</sup>	J1+6	E	9495+u <sup>s</sup>	J3+18	E	4491+s <sup>v</sup>	J6+10	E
3293+y <sup>q</sup>	J1+8	E	10839+u <sup>s</sup>	J3+20	E	5549+s <sup>v</sup>	J6+12	E
4248+y <sup>q</sup>	J1+10	E	12250+u <sup>s</sup>	J3+22	E	6666+s <sup>v</sup>	J6+14	E
5263+y <sup>q</sup>	J1+12	E	13728+u? <sup>s</sup>	J3+24	E	7844+s <sup>v</sup>	J6+16	E
6340+y <sup>q</sup>	J1+14	E	v <sup>t</sup>	J4	E	9086+s <sup>v</sup>	J6+18	E
7480+y <sup>q</sup>	J1+16	E	723+v <sup>t</sup>	J4+2	E	10389+s <sup>v</sup>	J6+20	E
8684+y <sup>q</sup>	J1+18	E	1492+v <sup>t</sup>	J4+4	E	11755+s <sup>v</sup>	J6+22	E
9953+y <sup>q</sup>	J1+20	E	2309+v <sup>t</sup>	J4+6	E	t <sup>w</sup>	J7	E
11288+y <sup>q</sup>	J1+22	E	3177+v <sup>t</sup>	J4+8	E	818+t <sup>w</sup>	J7+2	E
12688+y <sup>q</sup>	J1+24	E	4096+v <sup>t</sup>	J4+10	E	1672+t <sup>w</sup>	J7+4	E
14154+y <sup>q</sup>	J1+26	E	5069+v <sup>t</sup>	J4+12	E	2570+t <sup>w</sup>	J7+6	E
15684+y <sup>q</sup>	J1+28	E	6099+v <sup>t</sup>	J4+14	E	3512+t <sup>w</sup>	J7+8	E
z <sup>r</sup>	J2>22	E	7186+v <sup>t</sup>	J4+16	E	4502+t <sup>w</sup>	J7+10	E
702+z? <sup>r</sup>	J2+2	E	8333+v <sup>t</sup>	J4+18	E	5550+t <sup>w</sup>	J7+12	E
1456+z <sup>r</sup>	J2+4	E	9542+v <sup>t</sup>	J4+20	E	6660+t <sup>w</sup>	J7+14	E
2237+z <sup>r</sup>	J2+6	E	10810+v <sup>t</sup>	J4+22	E	7837+t <sup>w</sup>	J7+16	E
3078+z <sup>r</sup>	J2+8	E	12150+v <sup>t</sup>	J4+24	E	9079+t <sup>w</sup>	J7+18	E
3968+z <sup>r</sup>	J2+10	E	13541+v <sup>t</sup>	J4+26	E	10387+t <sup>w</sup>	J7+20	E
4909+z <sup>r</sup>	J2+12	E	w <sup>u</sup>	J5	E	11740+t <sup>w</sup>	J7+22	E
5905+z <sup>r</sup>	J2+14	E	802+w <sup>u</sup>	J5+2	E			

<sup>†</sup> From  $\gamma$ -ray decay pattern in  $^{174}\text{Ta}$   $\varepsilon$ + $\beta^+$  decay.

<sup>‡</sup> Assignment of levels to different bands is based on level spacings and rotational parameters. Specific arguments are given with individual levels. Values of the rotational parameters shown for each band have been obtained from least-squares fit to the adopted experimental energies.  $\gamma$  rays from  $^{174}\text{Ta}$   $\varepsilon$  decay used for spin-parity assignments have been assumed to be M1, E1, or E2, unless otherwise specified. Limiting spins for bandheads in SD bands are based on comparison of relative alignments for the sequences with respect to the normal-deformed structures in  $^{174}\text{Hf}$ , the SD bands in  $^{168}\text{Hf}$  and  $^{163}\text{Lu}$ .

<sup>#</sup> From  $^{174}\text{Ta}$   $\varepsilon$  decay. Energies of levels not observed in  $^{174}\text{Ta}$   $\varepsilon$  decay are from in-beam reaction data.

@ Band(A): g.s. band. Rotational parameters: A=15.0, B=-14.0. Spin members of the band used in the fit: 0 to 10.

& Band(B):  $\beta$ -vibrational band. Rotational parameters: A=11.7, B=-7.2. Spin members of the band used in the fit: 0 to 10.

<sup>a</sup> Band(C):  $K^\pi=2^+$ ,  $\gamma$ -vibrational band.

<sup>b</sup> Band(D):  $K^\pi=(3^+)$  band. Probable configuration= $(\nu 1/2[521])+(\nu 5/2[512])$ . Rotational parameters: A=11.5, B=-4.3. Spin members of the band used in the fit: 3 to 15.

Continued on next page (footnotes at end of table)

**Adopted Levels, Gammas (continued)** $^{174}\text{Hf}$  Levels (continued)

- <sup>c</sup> Band(E):  $K^\pi=(1^-)$ , octupole band.
- <sup>d</sup> Band(F):  $K^\pi=(0^+)$  band.
- <sup>e</sup> Band(G):  $K^\pi=(6^+)$  band. Probable configuration= $(\pi\ 7/2[404])+(\pi\ 5/2[402])$ . Rotational parameters: A=14.3, B=-8.5. Spin members of the band used in the fit: 6 to 12.
- <sup>f</sup> Band(H):  $K^\pi=(8^-)$  band. Probable configuration= $(\pi\ 9/2[514])+(\pi\ 7/2[404])$ . Rotational parameters: A=13.5, B=-4.3. Spin members of the band used in the fit: 8 to 12.
- <sup>g</sup> Band(I):  $K^\pi=(14^+)$  band. Rotational parameters: A=7.0, B=1.8. Spin members of the band used in the fit: 14 to 18.
- <sup>h</sup> Band(J):  $K^\pi=(2^-)$  band.
- <sup>i</sup> Band(K):  $K^\pi=(6^-)$  band. Probable configuration= $(\nu\ 7/2[633])+(\nu\ 5/2[512])$ . Rotational parameters: A=8.4, B=1.4. Spin members of the band used in the fit: 6 to 15.
- <sup>j</sup> Band(L):  $K^\pi=(11^-)$  band.
- <sup>k</sup> Band(M):  $K^\pi=(6^-)$  band.
- <sup>l</sup> Band(N):  $K^\pi=(12^+)$  band.
- <sup>m</sup> Band(O):  $K^\pi=4^-$  band.
- <sup>n</sup> Band(P):  $K^\pi=10^-$  band.
- <sup>o</sup> Band(Q):  $K^\pi=12^-$  band.
- <sup>p</sup> Band(R): Triaxial (?) SD-1 band (2005Ha05,2003Dj01). Q(transition)=13.8 +3-4 (2005Ha05). Band intensity=1.1 3 of the total population of  $^{174}\text{Hf}$  channel (2003Dj01). The transitions in this band are in coincidence with g.s. band transitions up to  $12^+$ .
- <sup>q</sup> Band(S): Triaxial (?) SD-2 band (2005Ha05,2003Dj01). Q(transition)=13.5 +2-3 (2005Ha05). SD-2 and SD-3 bands have a combined intensity of 0.9 4 of the total population of  $^{174}\text{Hf}$  channel (2003Dj01). The transitions in this band are in coincidence with g.s. band transitions up to  $12^+$ .
- <sup>r</sup> Band(T): Triaxial (?) SD-3 band (2005Ha05,2003Dj01). Q(transition)=13.0 +8-4 (2005Ha05). SD-2 and SD-3 bands have a combined intensity of 0.9 4 of the total population of  $^{174}\text{Hf}$  channel (2003Dj01). The transitions in this band are in coincidence with g.s. band transitions up to  $12^+$ .
- <sup>s</sup> Band(U): Triaxial (?) SD-4 band (2005Ha05,2003Dj01). Q(transition)=12.6 8 (2005Ha05). Band intensity=0.3 2 of the total population of  $^{174}\text{Hf}$  channel (2003Dj01). Due to the low intensity and contamination in the coincidence gates, this band was tentatively assigned to  $^{174}\text{Hf}$  by 2003Dj01. Higher statistics from the experiments in 2005Ha05 confirm the assignment of SD-4 band to this nucleus. The transitions in this band are in coincidence with the yrast sequence of transitions up to spin 18.
- <sup>t</sup> Band(V): Triaxial (?) SD-5 band (2005Ha05).
- <sup>u</sup> Band(W): Triaxial (?) SD-6 band (2005Ha05).
- <sup>v</sup> Band(X): Triaxial (?) SD-7 band (2005Ha05).
- <sup>w</sup> Band(Y): Triaxial (?) SD-8 band (2005Ha05).

Adopted Levels, Gammas (continued)

$\gamma(^{174}\text{Hf})$										
$E_i(\text{level})$	$J_i^\pi$	$E_\gamma$	$I_\gamma$	$E_f$	$J_f^\pi$	Mult. <sup>#</sup>	$\delta$	$\alpha^C$	$I_{(\gamma+ce)}$	Comments
90.985	2 <sup>+</sup>	91.00 2	100	0.0	0 <sup>+</sup>	E2		5.21		B(E2)(W.u.)=152 8
297.38	4 <sup>+</sup>	206.50 4	100	90.985	2 <sup>+</sup>	E2		0.261		
608.26	6 <sup>+</sup>	310.90 4	100	297.38	4 <sup>+</sup>	E2		0.0718		
828.13	0 <sup>+</sup>	737.25 36	100	90.985	2 <sup>+</sup>					
		828.0 <sup>a</sup> 10	<sup>a</sup>	0.0	0 <sup>+</sup>	E0			≈2.5	Mult.: from ce data, <sup>174</sup> Ta $\varepsilon$ decay.
900.24	2 <sup>+</sup>	602.91 7	59 6	297.38	4 <sup>+</sup>	E2		0.01238		$I_{(\gamma+ce)}$ : from <sup>172</sup> Yb( $\alpha, 2n\gamma$ ) (1971Ej01).
		809.33 6	100 6	90.985	2 <sup>+</sup>	E0+M1+E2	-2 +2-2	0.09 <sup>@</sup>		B(E2)(W.u.)=13 4
		900.15 5	73 7	0.0	0 <sup>+</sup>	[E2]				$\delta$ : from $\gamma(\theta)$ .
1009.6	8 <sup>+</sup>	401.05 <sup>‡</sup> 20	100	608.26	6 <sup>+</sup>	(E2)				B(E2)(W.u.)=2.1 6
1062.17	4 <sup>+</sup>	163 <sup>‡</sup> 1	40 13	900.24	2 <sup>+</sup>					Mult.: from $\gamma(\theta)$ .
		454.07 9	17 3	608.26	6 <sup>+</sup>					
		764.79 5	100 5	297.38	4 <sup>+</sup>	E0+M1+E2	-2.9 10	0.10 <sup>@</sup> 1		$\delta$ : from $\gamma(\theta)$ .
		971.06 5	87 7	90.985	2 <sup>+</sup>					
1226.77	2 <sup>+</sup>	1135.81 7	100 8	90.985	2 <sup>+</sup>	(E2)				B(E2)(W.u.)=7.4 15
		1227.0 10	97 44	0.0	0 <sup>+</sup>	[E2]				B(E2)(W.u.)=4.8 22
1303.36	(3 <sup>+</sup> )	1006.21 13	11 5	297.38	4 <sup>+</sup>					
		1212.29 9	100 50	90.985	2 <sup>+</sup>					
1307.4	6 <sup>+</sup>	245 <sup>‡</sup> 1	18 4	1062.17	4 <sup>+</sup>					
		298 <sup>‡</sup> 1	10 6	1009.6	8 <sup>+</sup>					
		699 <sup>‡</sup> 1	100	608.26	6 <sup>+</sup>	D+Q	-0.92 18			Mult., $\delta$ : from $\gamma(\theta)$ .
		1010 <sup>‡</sup> 1	54 14	297.38	4 <sup>+</sup>					
1308.69	(2 <sup>-</sup> )	408.37 54	11 4	900.24	2 <sup>+</sup>					
		1217.67 13	100 13	90.985	2 <sup>+</sup>					
1319.40	2 <sup>+</sup>	418.99 12	12.0 17	900.24	2 <sup>+</sup>	E0+M1+E2		0.17 <sup>@</sup>		
		491.16 36	2.8 8	828.13	0 <sup>+</sup>					
		1022.07 6	58 5	297.38	4 <sup>+</sup>	E2		0.00395		B(E2)(W.u.)>0.00038
		1228.33 7	100 25	90.985	2 <sup>+</sup>	E0+M1+E2		0.03 <sup>@</sup>		
		1319.33 32	90.8 13	0.0	0 <sup>+</sup>					
1336.48	(3 <sup>+</sup> )	1038.93 18	25 4	297.38	4 <sup>+</sup>					
		1245.54 8	100 9	90.985	2 <sup>+</sup>	M1+E2				
1394.60	(4 <sup>+</sup> )	1097.26 9	100 7	297.38	4 <sup>+</sup>	M1+E2				
		1303.53 12	71 24	90.985	2 <sup>+</sup>					
1425.24	(4 <sup>-</sup> )	362.95 34	7.9 20	1062.17	4 <sup>+</sup>					
		1127.81 8	100 9	297.38	4 <sup>+</sup>	(E1)				
1442.66	(5 <sup>-</sup> )	834.35 20	72 13	608.26	6 <sup>+</sup>					
		1145.20 15	100 13	297.38	4 <sup>+</sup>					
1448.85	4 <sup>+</sup>	222.80 <sup>d</sup> 50	≤1.7 <sup>d</sup>	1226.77	2 <sup>+</sup>					

Adopted Levels, Gammas (continued)

$\gamma(^{174}\text{Hf})$ (continued)						
$E_i(\text{level})$	$J_i^\pi$	$E_\gamma^\dagger$	$I_\gamma^\dagger$	$E_f$	$J_f^\pi$	Mult. <sup>#</sup>
1448.85	4 <sup>+</sup>	840.79 <i>34</i>	7 <i>3</i>	608.26	6 <sup>+</sup>	(E2)
		1151.41 <i>6</i>	100 <i>11</i>	297.38	4 <sup>+</sup>	
		1357.94 <i>8</i>	78 <i>14</i>	90.985	2 <sup>+</sup>	
1485.9	(10 <sup>+</sup> )	476.4 <sup>‡</sup> <i>4</i>	100	1009.6	8 <sup>+</sup>	M1+E2
1496.36	2 <sup>+</sup>	596.19 <sup>d</sup> <i>12</i>	≤85 <sup>d</sup>	900.24	2 <sup>+</sup>	
		1198.94 <i>35</i>	100 <i>20</i>	297.38	4 <sup>+</sup>	
		1405.23 <i>51</i>	31 <i>10</i>	90.985	2 <sup>+</sup>	
		1496.50 <i>89</i>	47 <i>17</i>	0.0	0 <sup>+</sup>	
1503.29	(4) <sup>+</sup>	440.88 <i>12</i>	4.3 <i>5</i>	1062.17	4 <sup>+</sup>	
		1205.92 <i>4</i>	100 <i>5</i>	297.38	4 <sup>+</sup>	
		1412.55 <i>24</i>	4.4 <i>8</i>	90.985	2 <sup>+</sup>	
1508.2	(5 <sup>+</sup> )	113.8 <sup>a</sup> <i>5</i>	100 <sup>a</sup> <i>32</i>	1394.60	(4) <sup>+</sup>	
		204.2 <sup>a</sup> <i>9</i>	24 <sup>a</sup> <i>13</i>	1303.36	(3 <sup>+</sup> )	
		900.1 <sup>a</sup> <i>20</i>	11 <sup>a</sup> <i>11</i>	608.26	6 <sup>+</sup>	
		1210.88 <sup>a</sup> <i>19</i>	61 <sup>a</sup> <i>3</i>	297.38	4 <sup>+</sup>	
1549.3	(6 <sup>+</sup> )	100.10 <sup>a</sup> <i>22</i>	2.5 <sup>a</sup> <i>13</i>	1448.85	4 <sup>+</sup>	
		154.71 <sup>a</sup> <i>13</i>	3.4 <sup>a</sup> <i>13</i>	1394.60	(4) <sup>+</sup>	
		241.97 <sup>a</sup> <i>19</i>	1.08 <sup>a</sup> <i>21</i>	1307.4	6 <sup>+</sup>	
		486.61 <sup>a</sup> <i>25</i>	0.6 <sup>a</sup> <i>4</i>	1062.17	4 <sup>+</sup>	
		539.67 <sup>a</sup> <i>25</i>	2.20 <sup>a</sup> <i>14</i>	1009.6	8 <sup>+</sup>	
		941.02 <sup>a</sup> <i>5</i>	100.0 <sup>a</sup> <i>8</i>	608.26	6 <sup>+</sup>	
		1251.81 <sup>a</sup> <i>7</i>	71.8 <sup>a</sup> <i>11</i>	297.38	4 <sup>+</sup>	
1561.72	4 <sup>-</sup>	1264.28 <sup>a</sup> <i>21</i>	100 <sup>a</sup>	297.38	4 <sup>+</sup>	
1626.0	4 <sup>+</sup>	1018.5 <i>10</i>	100	608.26	6 <sup>+</sup>	
		1328.95 <i>50</i>	48 <i>13</i>	297.38	4 <sup>+</sup>	
		1534.71 <i>39</i>	100 <i>19</i>	90.985	2 <sup>+</sup>	
1627.4	5 <sup>-</sup>	1019.3 <i>4</i>	85 <i>13</i>	608.26	6 <sup>+</sup>	
		1330.0 <i>3</i>	100 <i>15</i>	297.38	4 <sup>+</sup>	
1630.5	(8 <sup>+</sup> )	323.1 <sup>‡</sup>		1307.4	6 <sup>+</sup>	
		620.9 <sup>‡</sup>	36 <i>13</i>	1009.6	8 <sup>+</sup>	
		1022.1 <sup>‡</sup>	100	608.26	6 <sup>+</sup>	
1634.4	(6 <sup>-</sup> )	209 <sup>a</sup> <i>5</i>	10 <sup>a</sup> <i>5</i>	1425.24	(4) <sup>-</sup>	
		1025.97 <sup>a</sup> <i>16</i>	100 <sup>a</sup> <i>9</i>	608.26	6 <sup>+</sup>	
1642.15	6 <sup>+</sup>	133.9 <sup>a</sup> <i>3</i>	1.0×10 <sup>2a</sup> <i>10</i>	1508.2	(5 <sup>+</sup> )	
		247.7 <sup>a</sup> <i>4</i>	100 <sup>a</sup> <i>40</i>	1394.60	(4) <sup>+</sup>	
		1034.0 <sup>a</sup> <i>3</i>	30 <sup>a</sup> <i>10</i>	608.26	6 <sup>+</sup>	
		1344.77 <sup>a</sup> <i>18</i>	37 <sup>a</sup> <i>17</i>	297.38	4 <sup>+</sup>	
1648.33	4 <sup>-</sup>	222.80 <sup>d</sup> <i>50</i>	≤10 <sup>d</sup>	1425.24	(4) <sup>-</sup>	

## Adopted Levels, Gammas (continued)

 $\gamma(^{174}\text{Hf})$  (continued)

$E_i(\text{level})$	$J_i^\pi$	$E_\gamma^\dagger$	$I_\gamma^\dagger$	$E_f$	$J_f^\pi$
1648.33	4 <sup>-</sup>	1351.17 28	100 17	297.38	4 <sup>+</sup>
1650.6	(7 <sup>-</sup> )	1042.4 $\ddagger$	100	608.26	6 <sup>+</sup>
1658.41	(5 <sup>+</sup> )	596.19 $^d$ 12	$\leq 16^d$	1062.17	4 <sup>+</sup>
		1050.18 28	19 4	608.26	6 <sup>+</sup>
		1361.04 8	100 9	297.38	4 <sup>+</sup>
1713.5	(6 <sup>-</sup> )	151.8 $^a$ 4	19 $^a$ 9	1561.72	4 <sup>-</sup>
		164.22 $^a$ 16	100 $^a$ 4	1549.3	(6 <sup>+</sup> )
		1105.24 $^a$ 12	86 $^a$ 7	608.26	6 <sup>+</sup>
1722.43	6 <sup>-</sup>	160.7 $^a$ 19	9 $^a$ 9	1561.72	4 <sup>-</sup>
		1114.2 $^a$ 3	100 $^a$ 16	608.26	6 <sup>+</sup>
1737.4	(7 <sup>+</sup> )	188.1 $\ddagger$	100	1549.3	(6 <sup>+</sup> )
1767.66	5 <sup>-</sup>	705 $^a$ 4	10 $^a$ 10	1062.17	4 <sup>+</sup>
		1159.42 $^a$ 18	100 $^a$ 30	608.26	6 <sup>+</sup>
1779.9	(2 <sup>+</sup> ,3,4 <sup>+</sup> )	471.10 37	32 8	1308.69	(2 <sup>-</sup> )
		1482.51 29	100 25	297.38	4 <sup>+</sup>
		1689.66 65	55 20	90.985	2 <sup>+</sup>
1797.5	(8 <sup>-</sup> )	60.18 $^a$ 13	100 $^a$ 4	1737.4	(7 <sup>+</sup> )
		248.3 $^a$ 5	14 $^a$ 2	1549.3	(6 <sup>+</sup> )
		788.0 $^a$ 12	0.13 $^a$ 6	1009.6	8 <sup>+</sup>
1798.0	(7 <sup>+</sup> )	155.8 $\ddagger$ 4		1642.15	6 <sup>+</sup>
		289.70 $\ddagger$ 16		1508.2	(5 <sup>+</sup> )
1827.4	(7 <sup>-</sup> )	114.14 $^a$ 22	100 $^a$ 19	1713.5	(6 <sup>-</sup> )
		818.0 $^a$ 4	7 $^a$ 2	1009.6	8 <sup>+</sup>
		1219.4 $^a$ 11	5 $^a$ 1	608.26	6 <sup>+</sup>
1838.14	7 <sup>-</sup>	210.7 $^a$ 6	100 $^a$ 30	1627.4	5 <sup>-</sup>
		828.6 $^a$ 6	27 $^a$ 6	1009.6	8 <sup>+</sup>
		1229.9 $^a$ 3	45 $^a$ 15	608.26	6 <sup>+</sup>
1861.78	(2 <sup>+</sup> ,3,4 <sup>+</sup> )	366.2 14	6 4	1496.36	2 <sup>+</sup>
		1564.40 32	82 14	297.38	4 <sup>+</sup>
		1770.95 30	100 18	90.985	2 <sup>+</sup>
1904.4	(6 <sup>+</sup> )	1295.27 75	39 6	608.26	6 <sup>+</sup>
		1607.15 28	100 20	297.38	4 <sup>+</sup>
1910.0	(6 <sup>-</sup> )	261.2 $^a$ 10	31 $^a$ 8	1648.33	4 <sup>-</sup>
		1301.7 $^a$ 5	100 $^a$ 8	608.26	6 <sup>+</sup>
1928.4	(8 <sup>-</sup> )	293.9 $\ddagger$		1634.4	(6 <sup>-</sup> )
		918.8 $\ddagger$		1009.6	8 <sup>+</sup>
1937.46	6 <sup>-</sup>	288.7 $^a$ 4	100 $^a$ 23	1648.33	4 <sup>-</sup>
		1329.2 $^a$ 3	87 $^a$ 8	608.26	6 <sup>+</sup>

Adopted Levels, Gammas (continued)

$\gamma(^{174}\text{Hf})$ (continued)						
$E_i(\text{level})$	$J_i^\pi$	$E_\gamma$ <sup>†</sup>	$I_\gamma$ <sup>†</sup>	$E_f$	$J_f^\pi$	Mult. <sup>#</sup>
1943.9	(9 <sup>-</sup> )	293.2 <sup>‡</sup> 5		1650.6	(7 <sup>-</sup> )	
		934.3 <sup>‡</sup>		1009.6	8 <sup>+</sup>	
1948.1	(8 <sup>+</sup> )	210.7 <sup>‡</sup>		1737.4	(7 <sup>+</sup> )	
		399.4 <sup>‡</sup>		1549.3	(6 <sup>+</sup> )	
1963.4	(8 <sup>-</sup> )	135.87 <sup>a</sup> 19	100 <sup>a</sup> 11	1827.4	(7 <sup>-</sup> )	
		250.0 <sup>a</sup> 3	29 <sup>a</sup> 2	1713.5	(6 <sup>-</sup> )	
1972.06	8 <sup>+</sup>	174.1 <sup>a</sup> 3	20 <sup>a</sup> 8	1798.0	(7 <sup>+</sup> )	
		329.91 <sup>a</sup> 15	100 <sup>a</sup> 25	1642.15	6 <sup>+</sup>	
1981.50	8 <sup>-</sup>	259.1 <sup>a</sup> 3	100 <sup>a</sup> 50	1722.43	6 <sup>-</sup>	
		971.9 <sup>a</sup> 4	78 <sup>a</sup> 17	1009.6	8 <sup>+</sup>	
2016.7	6 <sup>-</sup>	367.9 <sup>a</sup> 13	100 <sup>a</sup> 20	1648.33	4 <sup>-</sup>	
		1408.5 <sup>a</sup> 6	100 <sup>a</sup> 40	608.26	6 <sup>+</sup>	
2020.5	(12 <sup>+</sup> )	534.6 <sup>‡</sup>	100	1485.9	(10 <sup>+</sup> )	(E2) Mult.: stretched Q $\gamma(\theta)$ .
2026.3	(10 <sup>+</sup> )	395.9 <sup>‡</sup>		1630.5	(8 <sup>+</sup> )	
		540.3 <sup>‡</sup>		1485.9	(10 <sup>+</sup> )	
2028.0	(9 <sup>-</sup> )	230.5 <sup>‡</sup>	100	1797.5	(8 <sup>-</sup> )	
2030.25	4 <sup>(+)</sup>	371.68 65	8 3	1658.41	(5 <sup>+</sup> )	
		1421.9 <sup>d</sup> 12	$\leq 8.3$ <sup>d</sup>	608.26	6 <sup>+</sup>	
		1732.87 19	100 13	297.38	4 <sup>+</sup>	
		1939.25 <sup>d</sup> 25	$\leq 83$ <sup>d</sup>	90.985	2 <sup>+</sup>	
2084.35	7 <sup>-</sup>	316.71 <sup>a</sup> 18	100 <sup>a</sup> 40	1767.66	5 <sup>-</sup>	
		777.1 <sup>a</sup> 4	40 <sup>a</sup> 40	1307.4	6 <sup>+</sup>	
		1074.79 <sup>a</sup> 16	100 <sup>a</sup> 50	1009.6	8 <sup>+</sup>	
		1476.1 <sup>a</sup> 4	21 <sup>a</sup> 8	608.26	6 <sup>+</sup>	
2119.0	(9 <sup>-</sup> )	155.6 <sup>‡</sup>		1963.4	(8 <sup>-</sup> )	E $\gamma$ : from in-beam reaction data.
		292.4		1827.4	(7 <sup>-</sup> )	
2124.56	(8 <sup>-</sup> )	214.6 <sup>a</sup> 5	90 <sup>a</sup> 60	1910.0	(6 <sup>-</sup> )	
		1115.0 <sup>a</sup> 3	1.0 $\times$ 10 <sup>2</sup> <sup>a</sup> 10	1009.6	8 <sup>+</sup>	
2135.43	9 <sup>-</sup>	297.3 <sup>a</sup> 4	100 <sup>a</sup> 23	1838.14	7 <sup>-</sup>	
		1125.9 <sup>a</sup> 9	11 <sup>a</sup> 4	1009.6	8 <sup>+</sup>	
2167.1	(9 <sup>+</sup> )	195.0 <sup>a</sup> 5	19 <sup>a</sup> 10	1972.06	8 <sup>+</sup>	
		369.08 <sup>a</sup> 15	100 <sup>a</sup> 33	1798.0	(7 <sup>+</sup> )	
2180.0	(9 <sup>+</sup> )	231.9 <sup>‡</sup>		1948.1	(8 <sup>+</sup> )	E $\gamma$ : from in-beam reaction data.
		442.4		1737.4	(7 <sup>+</sup> )	
2276.87	8 <sup>-</sup>	192.5 <sup>a</sup> 3	42 <sup>a</sup> 12	2084.35	7 <sup>-</sup>	
		260.2 <sup>a</sup> 5	15 <sup>a</sup> 4	2016.7	6 <sup>-</sup>	



Adopted Levels, Gammas (continued)

$\gamma(^{174}\text{Hf})$ (continued)							
$E_i(\text{level})$	$J_i^\pi$	$E_\gamma^\dagger$	$I_\gamma^\dagger$	$E_f$	$J_f^\pi$	Mult.#	$\alpha^c$
2276.87	8 <sup>-</sup>	339.4 <sup>a</sup> 3	100 <sup>a</sup> 19	1937.46	6 <sup>-</sup>		
		348.6 <sup>a</sup> 4	45 <sup>a</sup> 9	1928.4	(8 <sup>-</sup> )		
		367 <sup>a</sup> 3	3.3 <sup>a</sup> 17	1910.0	(6 <sup>-</sup> )		
		625.8 <sup>a</sup> 5	20 <sup>a</sup> 5	1650.6	(7 <sup>-</sup> )		
		1267.3 <sup>a</sup> 4	58 <sup>a</sup> 10	1009.6	8 <sup>+</sup>		
2279.2	(10 <sup>-</sup> )	160.0 <sup>a</sup> 3	3.6 <sup>a</sup> 7	2119.0	(9 <sup>-</sup> )		
		250.93 <sup>a</sup> 5	100 <sup>a</sup> 4	2028.0	(9 <sup>-</sup> )		
		481.35 <sup>a</sup> 21	8.9 <sup>a</sup> 10	1797.5	(8 <sup>-</sup> )		
2295.7	(10 <sup>-</sup> )	176.78 <sup>a</sup> 15	65 <sup>a</sup> 7	2119.0	(9 <sup>-</sup> )		
		267.70 <sup>a</sup> 17	100 <sup>a</sup> 10	2028.0	(9 <sup>-</sup> )		
		332.2 <sup>a</sup> 3	24 <sup>a</sup> 5	1963.4	(8 <sup>-</sup> )		
2299.4	(10 <sup>-</sup> )	371.0 <sup>‡</sup>	100	1928.4	(8 <sup>-</sup> )		
2319.2	(11 <sup>-</sup> )	375.2 <sup>‡</sup>		1943.9	(9 <sup>-</sup> )		
		833.4 <sup>‡</sup>		1485.9	(10 <sup>+</sup> )		
2331.5	10 <sup>-</sup>	350.0 <sup>a</sup> 5	100 <sup>a</sup>	1981.50	8 <sup>-</sup>		
2338.51	(2 <sup>+</sup> , 3, 4 <sup>+</sup> )	835.16 20	100 18	1503.29	(4 <sup>+</sup> )		
		1029.81 14	10 7	1308.69	(2 <sup>-</sup> )		
		1112.2 14	13 6	1226.77	2 <sup>+</sup>		
		2040.53 77	100 40	297.38	4 <sup>+</sup>		
		2248.21 95	48 15	90.985	2 <sup>+</sup>		
2353.99	(3, 4 <sup>+</sup> )	574.14 23	77 14	1779.9	(2 <sup>+</sup> , 3, 4 <sup>+</sup> )		
		929.08 <sup>d</sup> 87	≤29 <sup>d</sup>	1425.24	(4 <sup>-</sup> )		
		1291.54 49	100 24	1062.17	4 <sup>+</sup>		
		2056.6 13	59 24	297.38	4 <sup>+</sup>		
		2262.76 91	41 12	90.985	2 <sup>+</sup>		
2379.22	10 <sup>+</sup>	212.2 <sup>a</sup> 4	39 <sup>a</sup> 14	2167.1	(9 <sup>+</sup> )		
		407.16 <sup>a</sup> 12	100 <sup>a</sup> 20	1972.06	8 <sup>+</sup>		
2402.80	2 <sup>+</sup>	1066.37 9	42 8	1336.48	(3 <sup>+</sup> )	E2	
		1083.30 8	50 9	1319.40	2 <sup>+</sup>	E0+M1+E2	0.010 @ 5
		1176.05 10	100 9	1226.77	2 <sup>+</sup>	(E2)	
		1502.96 <sup>d</sup> 30	≤19 <sup>d</sup>	900.24	2 <sup>+</sup>		
2421.98	(3) <sup>-</sup>	560.28 18	32 5	1861.78	(2 <sup>+</sup> , 3, 4 <sup>+</sup> )		
		979.25 13	63 9	1442.66	(5 <sup>-</sup> )		
		996.61 17	100 12	1425.24	(4 <sup>-</sup> )	M1+E2	
		1102.06 36	12.9 23	1319.40	2 <sup>+</sup>		
		2124.95 20	48 6	297.38	4 <sup>+</sup>		
		2331.51 76	4.6 14	90.985	2 <sup>+</sup>		
2429.6	(10 <sup>-</sup> )	305.07 <sup>a</sup> 25	100 <sup>a</sup>	2124.56	(8 <sup>-</sup> )		

Adopted Levels, Gammas (continued)

$\gamma(^{174}\text{Hf})$ (continued)							
$E_i(\text{level})$	$J_i^\pi$	$E_\gamma^\dagger$	$I_\gamma^\dagger$	$E_f$	$J_f^\pi$	Mult. <sup>#</sup>	$\alpha^c$
2431.2	(10 <sup>+</sup> )	251.0 <sup>‡</sup>		2180.0	(9 <sup>+</sup> )		
		483.4 <sup>‡</sup>		1948.1	(8 <sup>+</sup> )		
		945 <sup>‡</sup> 6		1485.9	(10 <sup>+</sup> )		
2441.85	(2 <sup>+</sup> ,3,4 <sup>+</sup> )	1104.99 36	26 6	1336.48	(3 <sup>+</sup> )		
		1139.14 36	43 8	1303.36	(3 <sup>+</sup> )		
		2143.43 51	100 23	297.38	4 <sup>+</sup>		
		2352.09 82	66 14	90.985	2 <sup>+</sup>		
2447.41	9 <sup>-</sup>	363.08 <sup>a</sup> 21	100 <sup>a</sup> 28	2084.35	7 <sup>-</sup>		
		816.9 <sup>a</sup> 5	29 <sup>a</sup> 15	1630.5	(8 <sup>+</sup> )		
2486.1	2 <sup>(+)</sup>	1166.55 <sup>d</sup> 36	≤64 <sup>d</sup>	1319.40	2 <sup>+</sup>		
		2189.19 72	100 50	297.38	4 <sup>+</sup>		
		2486.8 17	90 50	0.0	0 <sup>+</sup>		
2487.73	11 <sup>-</sup>	192.01 <sup>a</sup> 23	100 <sup>a</sup> 8	2295.7	(10 <sup>-</sup> )		
		368.79 <sup>a</sup> 18	70 <sup>a</sup> 16	2119.0	(9 <sup>-</sup> )		
2489.35	12 <sup>+</sup>	462.85 <sup>a</sup> 19	66 <sup>a</sup> 7	2026.3	(10 <sup>+</sup> )		
		468.62 <sup>a</sup> 15	100 <sup>a</sup> 7	2020.5	(12 <sup>+</sup> )		
2491.7	(2 <sup>+</sup> ,3,4 <sup>+</sup> )	1429.62 <sup>d</sup> 73	≤16 <sup>d</sup>	1062.17	4 <sup>+</sup>		
		1591.59 <sup>d</sup> 54	≤19 <sup>d</sup>	900.24	2 <sup>+</sup>		
		2194.21 57	100 14	297.38	4 <sup>+</sup>		
		2400.86 69	72 12	90.985	2 <sup>+</sup>		
2505.25	2 <sup>(+)</sup>	1185.84 14	100 10	1319.40	2 <sup>+</sup>		
		2208.1 15	15 3	297.38	4 <sup>+</sup>		
		2414.2 12	7.1 21	90.985	2 <sup>+</sup>		
		2505.4 21	12 5	0.0	0 <sup>+</sup>		
2515.6	11 <sup>-</sup>	380.2 <sup>a</sup> 3	100 <sup>a</sup>	2135.43	9 <sup>-</sup>		
2529.97	2 <sup>+</sup>	1210.91 30	67 11	1319.40	2 <sup>+</sup>	E0+M1+E2	0.20 <sup>@</sup>
		1221.18 36	14 3	1308.69	(2 <sup>-</sup> )		
		1629.53 28	78 14	900.24	2 <sup>+</sup>		
		2232.37 66	56 8	297.38	4 <sup>+</sup>		
		2438.78 59	100 14	90.985	2 <sup>+</sup>		
		2530.2 15	10 3	0.0	0 <sup>+</sup>		
2554.6	(11 <sup>-</sup> )	259.0 <sup>a</sup> 3	7 <sup>a</sup> 2	2295.7	(10 <sup>-</sup> )		
		275.74 <sup>a</sup> 23	100 <sup>a</sup> 5	2279.2	(10 <sup>-</sup> )		
		526.67 <sup>a</sup> 20	22 <sup>a</sup> 2	2028.0	(9 <sup>-</sup> )		
2592.21	(3,4 <sup>+</sup> )	933.62 92	≤19	1658.41	(5 <sup>+</sup> )		
		1166.55 <sup>d</sup> 36	≤26 <sup>d</sup>	1425.24	(4 <sup>-</sup> )		
		1289.03 36	18 6	1303.36	(3 <sup>+</sup> )		
		2294.81 88	68 18	297.38	4 <sup>+</sup>		

Adopted Levels, Gammas (continued)

$\gamma(^{174}\text{Hf})$ (continued)					
$E_i(\text{level})$	$J_i^\pi$	$E_\gamma^\dagger$	$I_\gamma^\dagger$	$E_f$	$J_f^\pi$
2592.21	(3,4 <sup>+</sup> )	2500.98 60	100	90.985	2 <sup>+</sup>
2597.5	(14 <sup>+</sup> )	577.0 $\ddagger$	100	2020.5	(12 <sup>+</sup> )
2609.5	(11 <sup>+</sup> )	229.9 <sup>a</sup> 4	76 <sup>a</sup> 45	2379.22	10 <sup>+</sup>
		442.12 <sup>a</sup> 19	100 <sup>a</sup> 3	2167.1	(9 <sup>+</sup> )
2641.0	4 <sup>(+)</sup>	301.62 70	26 7	2338.51	(2 <sup>+</sup> ,3,4 <sup>+</sup> )
		1192.66 50	100 30	1448.85	4 <sup>+</sup>
		2031.9 <sup>d</sup> 14	$\leq 83^d$	608.26	6 <sup>+</sup>
		2344.5 10	40 13	297.38	4 <sup>+</sup>
		2549.5 11	25 5	90.985	2 <sup>+</sup>
2653.82	10 <sup>-</sup>	206.4 <sup>a</sup> 12	30.2 <sup>a</sup> 23	2447.41	9 <sup>-</sup>
		354.4 <sup>a</sup> 3	11 <sup>a</sup> 4	2299.4	(10 <sup>-</sup> )
		376.95 <sup>a</sup> 11	100 <sup>a</sup> 8	2276.87	8 <sup>-</sup>
		709.5 <sup>a</sup> 3	11 <sup>a</sup> 4	1943.9	(9 <sup>-</sup> )
		1167.7 <sup>a</sup> 4	5 <sup>a</sup> 6	1485.9	(10 <sup>+</sup> )
2684.85	(12 <sup>+</sup> )	195.5 <sup>a</sup> 5	20 <sup>a</sup> 7	2489.35	12 <sup>+</sup>
		664.10 <sup>a</sup> 18	100 <sup>a</sup> 11	2020.5	(12 <sup>+</sup> )
2700.3	(11 <sup>+</sup> )	269.1 $\ddagger$		2431.2	(10 <sup>+</sup> )
		520.2 $\ddagger$		2180.0	(9 <sup>+</sup> )
2700.8	(12 <sup>-</sup> )	212.8 $\ddagger$		2487.73	11 <sup>-</sup>
		404.7 $\ddagger$		2295.7	(10 <sup>-</sup> )
2729.84		1233.59 21	61 5	1496.36	2 <sup>+</sup>
		1421.9 <sup>d</sup> 12	$\leq 6.4^d$	1308.69	(2 <sup>-</sup> )
		1502.96 <sup>d</sup> 30	$\leq 34^d$	1226.77	2 <sup>+</sup>
		1829.54 14	100 10	900.24	2 <sup>+</sup>
2744.2	(12 <sup>-</sup> )	444.8 $\ddagger$	100	2299.4	(10 <sup>-</sup> )
2767.9	12 <sup>-</sup>	436.4 <sup>a</sup> 7	100 <sup>a</sup>	2331.5	10 <sup>-</sup>
2772.0	(13 <sup>-</sup> )	452.0 $\ddagger$		2319.2	(11 <sup>-</sup> )
		751.5 $\ddagger$		2020.5	(12 <sup>+</sup> )
2791.42	(2 <sup>+</sup> ,3,4 <sup>+</sup> )	929.08 <sup>d</sup> 87	$\leq 58^d$	1861.78	(2 <sup>+</sup> ,3,4 <sup>+</sup> )
		2494.2 16	75 13	297.38	4 <sup>+</sup>
		2699.2 12	100 30	90.985	2 <sup>+</sup>
2792.98	10 <sup>-</sup>	238.3 <sup>a</sup> 5	4.7 <sup>a</sup> 13	2554.6	(11 <sup>-</sup> )
		497.3 <sup>a</sup> 3	10.1 <sup>a</sup> 11	2295.7	(10 <sup>-</sup> )
		514.04 <sup>a</sup> 15	92 <sup>a</sup> 5	2279.2	(10 <sup>-</sup> )
		764.97 <sup>a</sup> 14	100 <sup>a</sup> 7	2028.0	(9 <sup>-</sup> )
		995.4 <sup>a</sup> 4	69 <sup>a</sup> 8	1797.5	(8 <sup>-</sup> )
2823.6	(12 <sup>-</sup> )	394.0 <sup>a</sup> 3	100 <sup>a</sup>	2429.6	(10 <sup>-</sup> )

Adopted Levels, Gammas (continued)

$\gamma(^{174}\text{Hf})$ (continued)						Comments
$E_i(\text{level})$	$J_i^\pi$	$E_\gamma^\dagger$	$I_\gamma^\dagger$	$E_f$	$J_f^\pi$	
2847.4	(12 <sup>-</sup> )	292.32 <sup>a</sup> 19	100 <sup>a</sup> 10	2554.6	(11 <sup>-</sup> )	$E_\gamma$ : from in-beam reaction data.
		568.1 <sup>a</sup> 6	52 <sup>a</sup> 16	2279.2	(10 <sup>-</sup> )	
2854.35	12 <sup>+</sup>	245.2 <sup>a</sup> 8	17 <sup>a</sup> 10	2609.5	(11 <sup>+</sup> )	
		475.11 <sup>a</sup> 12	100 <sup>a</sup> 25	2379.22	10 <sup>+</sup>	
2859.21	11 <sup>-</sup>	411.8 <sup>a</sup> 3	100 <sup>a</sup> 22	2447.41	9 <sup>-</sup>	
		832.7 <sup>a</sup> 3	90 <sup>a</sup> 30	2026.3	(10 <sup>+</sup> )	
2931.76	2 <sup>(+)</sup>	339.33 29	100 14	2592.21	(3,4 <sup>+</sup> )	
		1435.86 51	44 11	1496.36	2 <sup>+</sup>	
		2031.9 <sup>d</sup> 14	$\leq 53^d$	900.24	2 <sup>+</sup>	
		2104.28 63	23 6	828.13	0 <sup>+</sup>	
		2632.6 14	16 3	297.38	4 <sup>+</sup>	
		2840.7 14	22 6	90.985	2 <sup>+</sup>	
		2931.8 12	36 8	0.0	0 <sup>+</sup>	
2932.7	(13 <sup>-</sup> )	232.5 <sup>‡</sup>		2700.3	(11 <sup>+</sup> )	
		445.0 <sup>‡</sup>		2487.73	11 <sup>-</sup>	
2958.72	(11 <sup>-</sup> )	165.75 <sup>a</sup> 13	100 <sup>a</sup> 5	2792.98	10 <sup>-</sup>	
		404.05 <sup>a</sup> 10	50.0 <sup>a</sup> 21	2554.6	(11 <sup>-</sup> )	
		663.02 <sup>a</sup> 16	12.9 <sup>a</sup> 12	2295.7	(10 <sup>-</sup> )	
		679.79 <sup>a</sup> 9	67 <sup>a</sup> 3	2279.2	(10 <sup>-</sup> )	
		932.12 <sup>a</sup> 22	3.0 <sup>a</sup> 10	2026.3	(10 <sup>+</sup> )	
		1472.6 <sup>a</sup> 5	0.46 <sup>a</sup> 16	1485.9	(10 <sup>+</sup> )	
2972.4	13 <sup>-</sup>	456.80 <sup>a</sup> 24	100 <sup>a</sup>	2515.6	11 <sup>-</sup>	
2983.3	(12 <sup>+</sup> )	283.04 <sup>a</sup> 4	100 <sup>a</sup> 2	2700.3	(11 <sup>+</sup> )	
		552.14 <sup>a</sup> 6	80 <sup>a</sup> 1	2431.2	(10 <sup>+</sup> )	
		962.96 <sup>a</sup> 25	0.7 <sup>a</sup> 3	2020.5	(12 <sup>+</sup> )	
2992.5	(14 <sup>+</sup> )	394.8 <sup>‡</sup>		2597.5	(14 <sup>+</sup> )	
		503.6 <sup>‡</sup>		2489.35	12 <sup>+</sup>	
3046.24	(11 <sup>-</sup> )	87.6 <sup>a</sup> 4	100 <sup>a</sup> 40	2958.72	(11 <sup>-</sup> )	
		726.7 <sup>a</sup> 3	7.9 <sup>a</sup> 18	2319.2	(11 <sup>-</sup> )	
		1019.71 <sup>a</sup> 17	16 <sup>a</sup> 4	2026.3	(10 <sup>+</sup> )	
		1102.0 <sup>a</sup> 4	3.3 <sup>a</sup> 25	1943.9	(9 <sup>-</sup> )	
		1560.2 <sup>a</sup> 4	1.3 <sup>a</sup> 4	1485.9	(10 <sup>+</sup> )	
3087.9	4 <sup>(+)</sup>	1429.62 <sup>d</sup> 73	$\leq 30^d$	1658.41	(5 <sup>+</sup> )	
		1439.37 49	81 25	1648.33	4 <sup>-</sup>	
		1591.59 <sup>d</sup> 54	$\leq 36^d$	1496.36	2 <sup>+</sup>	
		1785.6 <sup>d</sup> 14	$\leq 23^d$	1303.36	(3 <sup>+</sup> )	
		2479.22 75	100 23	608.26	6 <sup>+</sup>	

## Adopted Levels, Gammas (continued)

 $\gamma(^{174}\text{Hf})$  (continued)

$E_i(\text{level})$	$J_i^\pi$	$E_\gamma$ $^\dagger$	$I_\gamma$ $^\dagger$	$E_f$	$J_f^\pi$	$E_i(\text{level})$	$J_i^\pi$	$E_\gamma$ $^\dagger$	$I_\gamma$ $^\dagger$	$E_f$	$J_f^\pi$
3087.9	4 <sup>(+)</sup>	2790.2 <i>19</i>	30 <i>4</i>	297.38	4 <sup>+</sup>	3269.0	(13 <sup>+</sup> )	568.4 $^\ddagger$		2700.3	(11 <sup>+</sup> )
		2999.7 <i>18</i>	10 <i>4</i>	90.985	2 <sup>+</sup>	3280.2	14 <sup>-</sup>	512.4 <i>a</i> <i>12</i>	100 <i>a</i>	2767.9	12 <sup>-</sup>
3090.16	12 <sup>-</sup>	131.46 <i>a</i> <i>10</i>	100 <i>a</i> <i>5</i>	2958.72	(11 <sup>-</sup> )	3296.3	(15 <sup>-</sup> )	524.3 $^\ddagger$		2772.0	(13 <sup>-</sup> )
		230.9 <i>a</i> <i>5</i>	1.55 <i>a</i> <i>19</i>	2859.21	11 <sup>-</sup>			698.4 $^\ddagger$		2597.5	(14 <sup>+</sup> )
		243.2 <i>a</i> <i>5</i>	3.9 <i>a</i> <i>6</i>	2847.4	(12 <sup>-</sup> )	3300.24	13 <sup>-</sup>	210.10 <i>a</i> <i>22</i>	100 <i>a</i>	3090.16	12 <sup>-</sup>
		297.2 <i>a</i> <i>4</i>	1.9 <i>a</i> <i>5</i>	2792.98	10 <sup>-</sup>	3301.8	(14 <sup>-</sup> )	478.2 <i>a</i> <i>7</i>	100 <i>a</i>	2823.6	(12 <sup>-</sup> )
		346.1 <i>a</i> <i>4</i>	0.59 <i>a</i> <i>16</i>	2744.2	(12 <sup>-</sup> )	3311.7	(14 <sup>+</sup> )	10.3 <i>a</i> <i>10</i>	0.14 <i>a</i> <i>9</i>	3301.8	(14 <sup>-</sup> )
		436.33 <i>a</i> <i>8</i>	12.4 <i>a</i> <i>10</i>	2653.82	10 <sup>-</sup>			11.87 <i>a</i> <i>25</i>	33.0 <i>a</i> <i>13</i>	3300.24	13 <sup>-</sup>
		535.51 <i>a</i> <i>22</i>	9.7 <i>a</i> <i>8</i>	2554.6	(11 <sup>-</sup> )			15.7 <i>a</i> <i>7</i>	0.27 <i>a</i> <i>13</i>	3296.3	(15 <sup>-</sup> )
		770.6 <i>a</i> <i>4</i>	0.50 <i>a</i> <i>19</i>	2319.2	(11 <sup>-</sup> )			31.9 <i>a</i> <i>5</i>	0.14 <i>a</i> <i>8</i>	3280.2	14 <sup>-</sup>
		811.25 <i>a</i> <i>25</i>	2.5 <i>a</i> <i>6</i>	2279.2	(10 <sup>-</sup> )			42.69 <i>a</i> <i>14</i>	100.0 <i>a</i> <i>11</i>	3269.0	(13 <sup>+</sup> )
3106.0	(2,3,4)	614.82 <i>91</i>	60 <i>22</i>	2491.7	(2 <sup>+</sup> ,3,4 <sup>+</sup> )			54 <i>a</i> <i>5</i>	0.14 <i>a</i> <i>15</i>	3260.2	(14 <sup>-</sup> )
		703.16 <i>73</i>	64 <i>18</i>	2402.80	2 <sup>+</sup>			82.0 <i>a</i> <i>3</i>	0.14 <i>a</i> <i>9</i>	3230.06	12 <sup>-</sup>
		1785.6 <i>d</i> <i>14</i>	$\leq 45$ <i>d</i>	1319.40	2 <sup>+</sup>			132.4 <i>a</i> <i>14</i>	0.63 <i>a</i> <i>17</i>	3180.7	(14 <sup>-</sup> )
		2808.6 <i>17</i>	100 <i>30</i>	297.38	4 <sup>+</sup>			155.09 <i>a</i> <i>16</i>	2.33 <i>a</i> <i>24</i>	3157.02	(13 <sup>-</sup> )
		3014.0 <i>22</i>	23 <i>8</i>	90.985	2 <sup>+</sup>			194.8 <i>a</i> <i>12</i>	0.05 <i>a</i> <i>6</i>	3117.4	(13 <sup>+</sup> )
3117.4	(13 <sup>+</sup> )	262.9 <i>a</i> <i>7</i>	19 <i>a</i> <i>14</i>	2854.35	12 <sup>+</sup>			221.97 <i>a</i> <i>22</i>	44.6 <i>a</i> <i>18</i>	3090.16	12 <sup>-</sup>
		508.0 <i>a</i> <i>3</i>	100 <i>a</i> <i>67</i>	2609.5	(11 <sup>+</sup> )			318.8 <i>a</i> <i>3</i>	0.4 <i>a</i> <i>5</i>	2992.5	(14 <sup>+</sup> )
3157.02	(13 <sup>-</sup> )	310.1 <i>a</i> <i>3</i>	100 <i>a</i> <i>11</i>	2847.4	(12 <sup>-</sup> )			328.36 <i>a</i> <i>5</i>	64.9 <i>a</i> <i>9</i>	2983.3	(12 <sup>+</sup> )
		602.4 <i>a</i> <i>3</i>	49 <i>a</i> <i>10</i>	2554.6	(11 <sup>-</sup> )			339.7 <i>a</i> <i>5</i>	0.18 <i>a</i> <i>18</i>	2972.4	13 <sup>-</sup>
3180.7	(14 <sup>-</sup> )	247.3 $^\ddagger$		2932.7	(13 <sup>-</sup> )			379.38 <i>a</i> <i>12</i>	5.6 <i>a</i> <i>4</i>	2932.7	(13 <sup>-</sup> )
		479.7 $^\ddagger$		2700.8	(12 <sup>-</sup> )			457.70 <i>a</i> <i>14</i>	1.4 <i>a</i> <i>4</i>	2854.35	12 <sup>+</sup>
3191.1	(2,3,4)	259.36 <i>82</i>	48 <i>9</i>	2931.76	2 <sup>(+)</sup>			539.3 <i>a</i> <i>6</i>	0.23 <i>a</i> <i>9</i>	2772.0	(13 <sup>-</sup> )
		1742.49 <i>73</i>	100 <i>23</i>	1448.85	4 <sup>+</sup>			627.22 <i>a</i> <i>14</i>	1.27 <i>a</i> <i>15</i>	2684.85	(12 <sup>+</sup> )
		1886.8 <i>11</i>	59 <i>23</i>	1303.36	(3 <sup>+</sup> )			714.2 <i>a</i> <i>3</i>	1.86 <i>a</i> <i>11</i>	2597.5	(14 <sup>+</sup> )
		2893.8 <i>12</i>	45 <i>12</i>	297.38	4 <sup>+</sup>			822.70 <i>a</i> <i>15</i>	1.1 <i>a</i> <i>3</i>	2489.35	12 <sup>+</sup>
		3100.0 <i>18</i>	15 <i>5</i>	90.985	2 <sup>+</sup>			1291.32 <i>a</i> <i>24</i>	0.48 <i>a</i> <i>22</i>	2020.5	(12 <sup>+</sup> )
3208.9	(16 <sup>+</sup> )	611.4 $^\ddagger$	100	2597.5	(14 <sup>+</sup> )	3449.7	(15 <sup>-</sup> )	267.7 $^\ddagger$		3180.7	(14 <sup>-</sup> )
3230.06	12 <sup>-</sup>	183.8 <i>a</i> <i>3</i>	100 <i>a</i> <i>18</i>	3046.24	(11 <sup>-</sup> )			514.4 $^\ddagger$		2932.7	(13 <sup>-</sup> )
		271.4 <i>a</i> <i>7</i>	52 <i>a</i> <i>11</i>	2958.72	(11 <sup>-</sup> )	3500.4	(16 <sup>+</sup> )	507.9 $^\ddagger$	100	2992.5	(14 <sup>+</sup> )
3248.01		1599.79 <i>21</i>	68 <i>11</i>	1648.33	4 <sup>-</sup>	3545.5	(15 <sup>+</sup> )	233.8 $^\ddagger$	100	3311.7	(14 <sup>+</sup> )
		1853.27 <i>56</i>	29 <i>7</i>	1394.60	(4 <sup>+</sup> )	3680.5	(15 <sup>+</sup> )	563.1 $^\ddagger$	100	3117.4	(13 <sup>+</sup> )
		1927.9 <i>20</i>	32 <i>11</i>	1319.40	2 <sup>+</sup>	3795.6	(16 <sup>+</sup> )	250.1 $^\ddagger$	100	3545.5	(15 <sup>+</sup> )
		1939.25 <i>d</i> <i>25</i>	$\leq 100$ <i>d</i>	1308.69	(2 <sup>-</sup> )	3857.3	(18 <sup>+</sup> )	648.3 $^\ddagger$	100	3208.9	(16 <sup>+</sup> )
		1944.53 <i>24</i>	100 <i>14</i>	1303.36	(3 <sup>+</sup> )	3885.9	(17 <sup>-</sup> )	589.6 $^\ddagger$	100	3296.3	(15 <sup>-</sup> )
		2022.6 <i>15</i>	10 <i>3</i>	1226.77	2 <sup>+</sup>	4048	(18 <sup>+</sup> )	547	100	3500.4	(16 <sup>+</sup> )
3260.2	(14 <sup>-</sup> )	516.0 $^\ddagger$	100	2744.2	(12 <sup>-</sup> )	4065.7	(17 <sup>+</sup> )	269.5 $^\ddagger$		3795.6	(16 <sup>+</sup> )
3269.0	(13 <sup>+</sup> )	285.7 $^\ddagger$		2983.3	(12 <sup>+</sup> )			519.7 $^\ddagger$		3545.5	(15 <sup>+</sup> )

## Adopted Levels, Gammas (continued)

 $\gamma(^{174}\text{Hf})$  (continued)

$E_i(\text{level})$	$J_i^\pi$	$E_\gamma^\dagger$	$I_\gamma^\dagger$	$E_f$	$J_f^\pi$	$E_i(\text{level})$	$J_i^\pi$	$E_\gamma^\dagger$	$I_\gamma^\dagger$	$E_f$	$J_f^\pi$
4358.1	(18 <sup>+</sup> )	293.0 <sup>‡</sup>	100	4065.7	(17 <sup>+</sup> )	8684+y	J1+18	1204 <sup>b</sup>	0.50 <sup>b</sup> 15	7480+y	J1+16
4550.8	(20 <sup>+</sup> )	693.5 <sup>‡</sup>	100	3857.3	(18 <sup>+</sup> )	9953+y	J1+20	1269 <sup>b</sup>	0.30 <sup>b</sup> 20	8684+y	J1+18
4656	(20 <sup>+</sup> )	608 <sup>&amp;</sup>	100	4048	(18 <sup>+</sup> )	11288+y	J1+22	1335	0.20 20	9953+y	J1+20
5291	(22 <sup>+</sup> )	741 <sup>&amp;</sup>	100	4550.8	(20 <sup>+</sup> )	12688+y	J1+24	1400		11288+y	J1+22
5359	(22 <sup>+</sup> )	703 <sup>‡</sup>		4656	(20 <sup>+</sup> )	14154+y	J1+26	1466		12688+y	J1+24
		809 <sup>‡</sup>		4550.8	(20 <sup>+</sup> )	15684+y	J1+28	1530		14154+y	J1+26
6062.7	(24 <sup>+</sup> )	771 <sup>&amp;</sup>	100	5291	(22 <sup>+</sup> )	702+z?	J2+2	702 <sup>be</sup>	0.30 <sup>b</sup> 20	z	J2>22
6164.7	(24 <sup>+</sup> )	805 <sup>&amp;</sup>	100	5359	(22 <sup>+</sup> )	1456+z	J2+4	754 <sup>b</sup>	0.52 <sup>b</sup> 15	702+z?	J2+2
6890?	(26 <sup>+</sup> )	828 <sup>&amp;e</sup>	100	6062.7	(24 <sup>+</sup> )	2237+z	J2+6	781 <sup>b</sup>	0.60 <sup>b</sup> 15	1456+z	J2+4
7027?	(26 <sup>+</sup> )	863 <sup>&amp;e</sup>	100	6164.7	(24 <sup>+</sup> )	3078+z	J2+8	841 <sup>b</sup>	1.00 <sup>b</sup> 10	2237+z	J2+6
726+x	J+2	726 <sup>b</sup>	0.45 <sup>b</sup> 10	x	J>23	3968+z	J2+10	890 <sup>b</sup>	0.90 <sup>b</sup> 10	3078+z	J2+8
1490+x	J+4	764 <sup>b</sup>	0.67 <sup>b</sup> 10	726+x	J+2	4909+z	J2+12	941 <sup>b</sup>	0.80 <sup>b</sup> 10	3968+z	J2+10
2310+x	J+6	820 <sup>b</sup>	1.00 <sup>b</sup> 10	1490+x	J+4	5905+z	J2+14	996 <sup>b</sup>	0.80 <sup>b</sup> 10	4909+z	J2+12
3177+x	J+8	867 <sup>b</sup>	0.85 <sup>b</sup> 10	2310+x	J+6	6960+z	J2+16	1055 <sup>b</sup>	0.50 <sup>b</sup> 15	5905+z	J2+14
4095+x	J+10	918 <sup>b</sup>	1.00 <sup>b</sup> 20	3177+x	J+8	8065+z	J2+18	1105 <sup>b</sup>	0.27 <sup>b</sup> 20	6960+z	J2+16
5065+x	J+12	970 <sup>b</sup>	0.87 <sup>b</sup> 10	4095+x	J+10	9291+z	J2+20	1226		8065+z	J2+18
6090+x	J+14	1025 <sup>b</sup>	0.92 <sup>b</sup> 10	5065+x	J+12	10578+z	J2+22	1287		9291+z	J2+20
7172+x	J+16	1082 <sup>b</sup>	0.73 <sup>b</sup> 10	6090+x	J+14	11927+z	J2+24	1349		10578+z	J2+22
8313+x	J+18	1141 <sup>b</sup>	0.62 <sup>b</sup> 15	7172+x	J+16	13339+z	J2+26	1412		11927+z	J2+24
9515+x	J+20	1202 <sup>b</sup>	0.40 <sup>b</sup> 15	8313+x	J+18	14814+z?	J2+28	1475 <sup>e</sup>		13339+z	J2+26
10779+x	J+22	1264 <sup>b</sup>	0.28 <sup>b</sup> 15	9515+x	J+20	855+u	J3+2	855 <sup>b</sup>	0.60 <sup>b</sup> 20	u	J3>28
12105+x?	J+24	1326 <sup>be</sup>	0.17 <sup>b</sup> 17	10779+x	J+22	1759+u	J3+4	904 <sup>b</sup>	0.85 <sup>b</sup> 15	855+u	J3+2
13495+x	J+26	1390		12105+x?	J+24	2708+u	J3+6	949 <sup>b</sup>	0.75 <sup>b</sup> 15	1759+u	J3+4
14948+x	J+28	1453		13495+x	J+26	3703+u	J3+8	995 <sup>b</sup>	1.00 <sup>b</sup> 15	2708+u	J3+6
16460+x?	J+30	1512 <sup>e</sup>		14948+x	J+28	4748+u	J3+10	1045 <sup>b</sup>	0.70 <sup>b</sup> 15	3703+u	J3+8
755+y	J1+2	755 <sup>b</sup>	0.60 <sup>b</sup> 10	y	J1>24	5846+u	J3+12	1098 <sup>b</sup>	0.75 <sup>b</sup> 15	4748+u	J3+10
1548+y	J1+4	793 <sup>b</sup>	0.75 <sup>b</sup> 10	755+y	J1+2	7001+u	J3+14	1155 <sup>b</sup>	0.45 <sup>b</sup> 20	5846+u	J3+12
2394+y	J1+6	846 <sup>b</sup>	0.85 <sup>b</sup> 20	1548+y	J1+4	8217+u	J3+16	1216 <sup>b</sup>	0.25 <sup>b</sup> 20	7001+u	J3+14
3293+y	J1+8	899 <sup>b</sup>	0.90 <sup>b</sup> 10	2394+y	J1+6	9495+u	J3+18	1278		8217+u	J3+16
4248+y	J1+10	955 <sup>b</sup>	0.95 <sup>b</sup> 10	3293+y	J1+8	10839+u	J3+20	1344		9495+u	J3+18
5263+y	J1+12	1015 <sup>b</sup>	1.00 <sup>b</sup> 10	4248+y	J1+10	12250+u	J3+22	1411		10839+u	J3+20
6340+y	J1+14	1077 <sup>b</sup>	0.77 <sup>b</sup> 10	5263+y	J1+12	13728+u?	J3+24	1478 <sup>e</sup>		12250+u	J3+22
7480+y	J1+16	1140 <sup>b</sup>	0.55 <sup>b</sup> 15	6340+y	J1+14	723+v	J4+2	723		v	J4

# Adopted Levels, Gammas (continued)

## $\gamma(^{174}\text{Hf})$ (continued)

E <sub>i</sub> (level)	J <sup><math>\pi</math></sup> <sub>i</sub>	E <sub><math>\gamma</math></sub> <sup>†</sup>	E <sub>f</sub>	J <sup><math>\pi</math></sup> <sub>f</sub>	E <sub>i</sub> (level)	J <sup><math>\pi</math></sup> <sub>i</sub>	E <sub><math>\gamma</math></sub> <sup>†</sup>	E <sub>f</sub>	J <sup><math>\pi</math></sup> <sub>f</sub>	E <sub>i</sub> (level)	J <sup><math>\pi</math></sup> <sub>i</sub>	E <sub><math>\gamma</math></sub> <sup>†</sup>	E <sub>f</sub>	J <sup><math>\pi</math></sup> <sub>f</sub>
1492+v	J4+4	769	723+v	J4+2	4493+w	J5+10	1002	3491+w	J5+8	9086+s	J6+18	1242	7844+s	J6+16
2309+v	J4+6	817	1492+v	J4+4	5558+w	J5+12	1065	4493+w	J5+10	10389+s	J6+20	1303	9086+s	J6+18
3177+v	J4+8	868	2309+v	J4+6	6684+w	J5+14	1126	5558+w	J5+12	11755+s	J6+22	1366	10389+s	J6+20
4096+v	J4+10	919	3177+v	J4+8	7884+w	J5+16	1200	6684+w	J5+14	818+t	J7+2	818	t	J7
5069+v	J4+12	973	4096+v	J4+10	9146+w	J5+18	1262	7884+w	J5+16	1672+t	J7+4	854	818+t	J7+2
6099+v	J4+14	1030	5069+v	J4+12	10476+w	J5+20	1330	9146+w	J5+18	2570+t	J7+6	898	1672+t	J7+4
7186+v	J4+16	1087	6099+v	J4+14	11871+w	J5+22	1395	10476+w	J5+20	3512+t	J7+8	942	2570+t	J7+6
8333+v	J4+18	1147	7186+v	J4+16	13331+w?	J5+24	1460 <sup>e</sup>	11871+w	J5+22	4502+t	J7+10	990	3512+t	J7+8
9542+v	J4+20	1209	8333+v	J4+18	810+s	J6+2	810	s	J6	5550+t	J7+12	1048	4502+t	J7+10
10810+v	J4+22	1268	9542+v	J4+20	1650+s	J6+4	840	810+s	J6+2	6660+t	J7+14	1110	5550+t	J7+12
12150+v	J4+24	1340	10810+v	J4+22	2543+s	J6+6	893	1650+s	J6+4	7837+t	J7+16	1177	6660+t	J7+14
13541+v	J4+26	1391	12150+v	J4+24	3489+s	J6+8	946	2543+s	J6+6	9079+t	J7+18	1242	7837+t	J7+16
802+w	J5+2	802	w	J5	4491+s	J6+10	1002	3489+s	J6+8	10387+t	J7+20	1308	9079+t	J7+18
1661+w	J5+4	859	802+w	J5+2	5549+s	J6+12	1058	4491+s	J6+10	11740+t	J7+22	1353	10387+t	J7+20
2550+w	J5+6	889	1661+w	J5+4	6666+s	J6+14	1117	5549+s	J6+12					
3491+w	J5+8	941	2550+w	J5+6	7844+s	J6+16	1178	6666+s	J6+14					

<sup>†</sup> From <sup>174</sup>Ta  $\epsilon$  decay, unless otherwise specified. Intensities for SD bands are relative intensities within each band. All other intensities are relative photon branchings.

<sup>‡</sup> From in-beam reaction data.

# From  $\alpha(\text{K})\text{exp}$ , <sup>174</sup>Ta  $\epsilon$  decay, except where noted otherwise.

@ Experimental value from <sup>174</sup>Ta  $\epsilon$  decay.

& From <sup>130</sup>Te(<sup>48</sup>Ca,4n $\gamma$ ) ([1986Wa07](#)).

<sup>a</sup> E $\gamma$ , I $\gamma$ (1+ $\alpha$ ) from [1995Gj01](#).

<sup>b</sup> From <sup>130</sup>Te(<sup>48</sup>Ca,4n $\gamma$ ):SD.

<sup>c</sup> Total theoretical internal conversion coefficients, calculated using the BrIcc code ([2008Ki07](#)) with Frozen orbital approximation based on  $\gamma$ -ray energies, assigned multipolarities, and mixing ratios, unless otherwise specified.

<sup>d</sup> Multiply placed with undivided intensity.

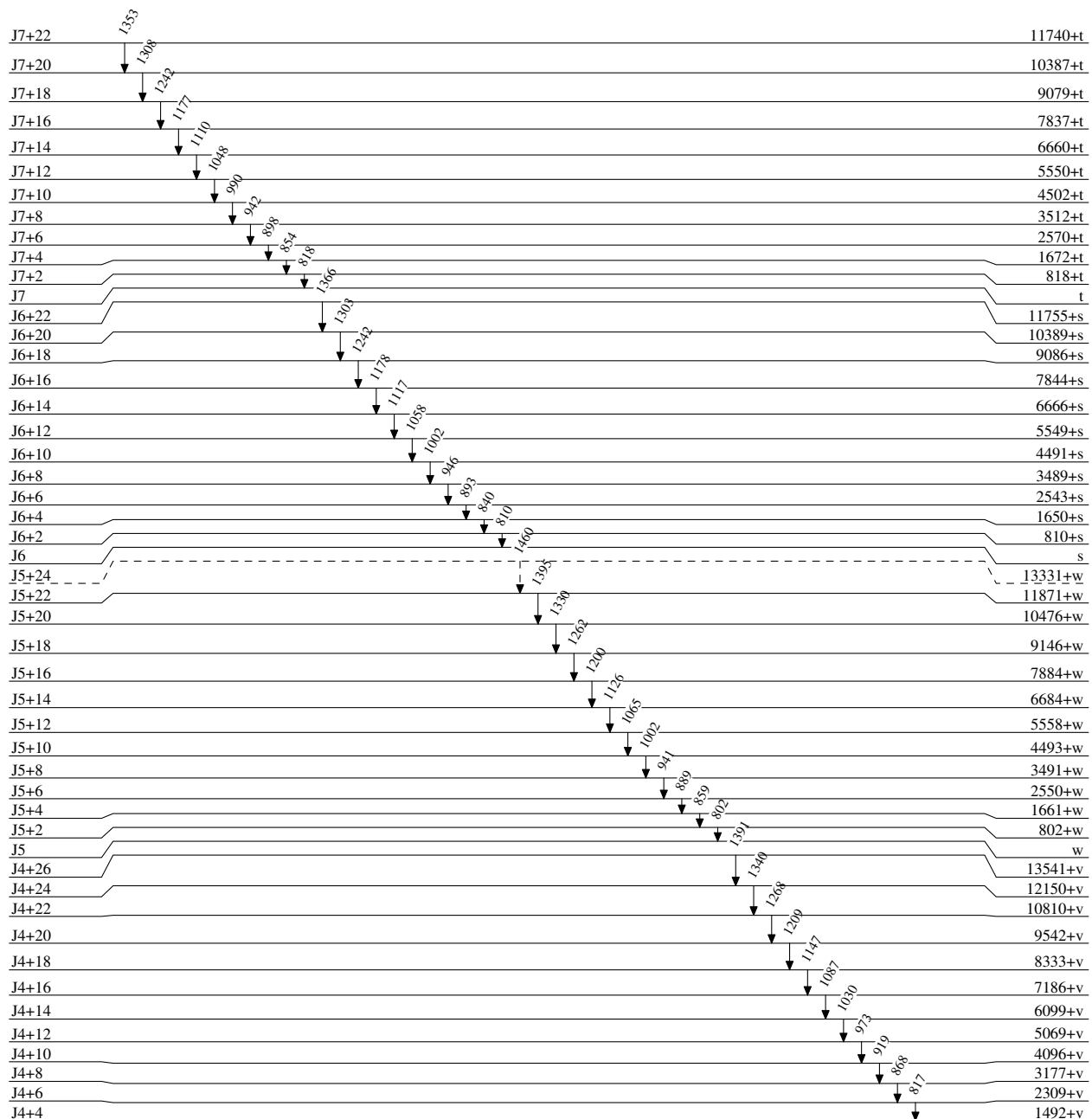
<sup>e</sup> Placement of transition in the level scheme is uncertain.

# Adopted Levels, Gammas

Legend

## Level Scheme

Intensities: Relative photon branching from each level

-----►  $\gamma$  Decay (Uncertain)


0+

0.0

 $2.0 \times 10^{15} \text{ y } 4$

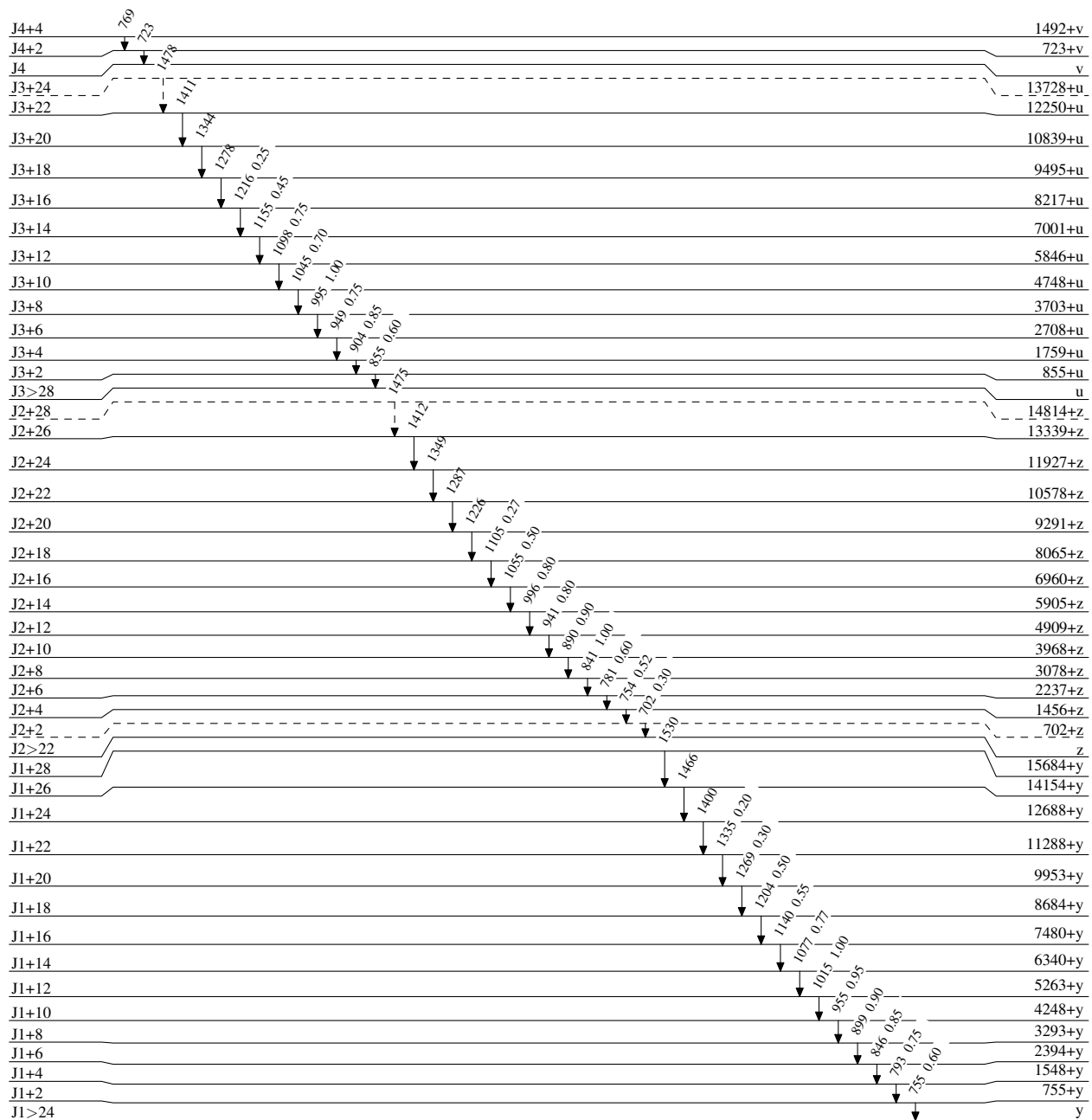


**Adopted Levels, Gammas**

Legend

**Level Scheme (continued)**

Intensities: Relative photon branching from each level

-----►  $\gamma$  Decay (Uncertain)

0+

0.0

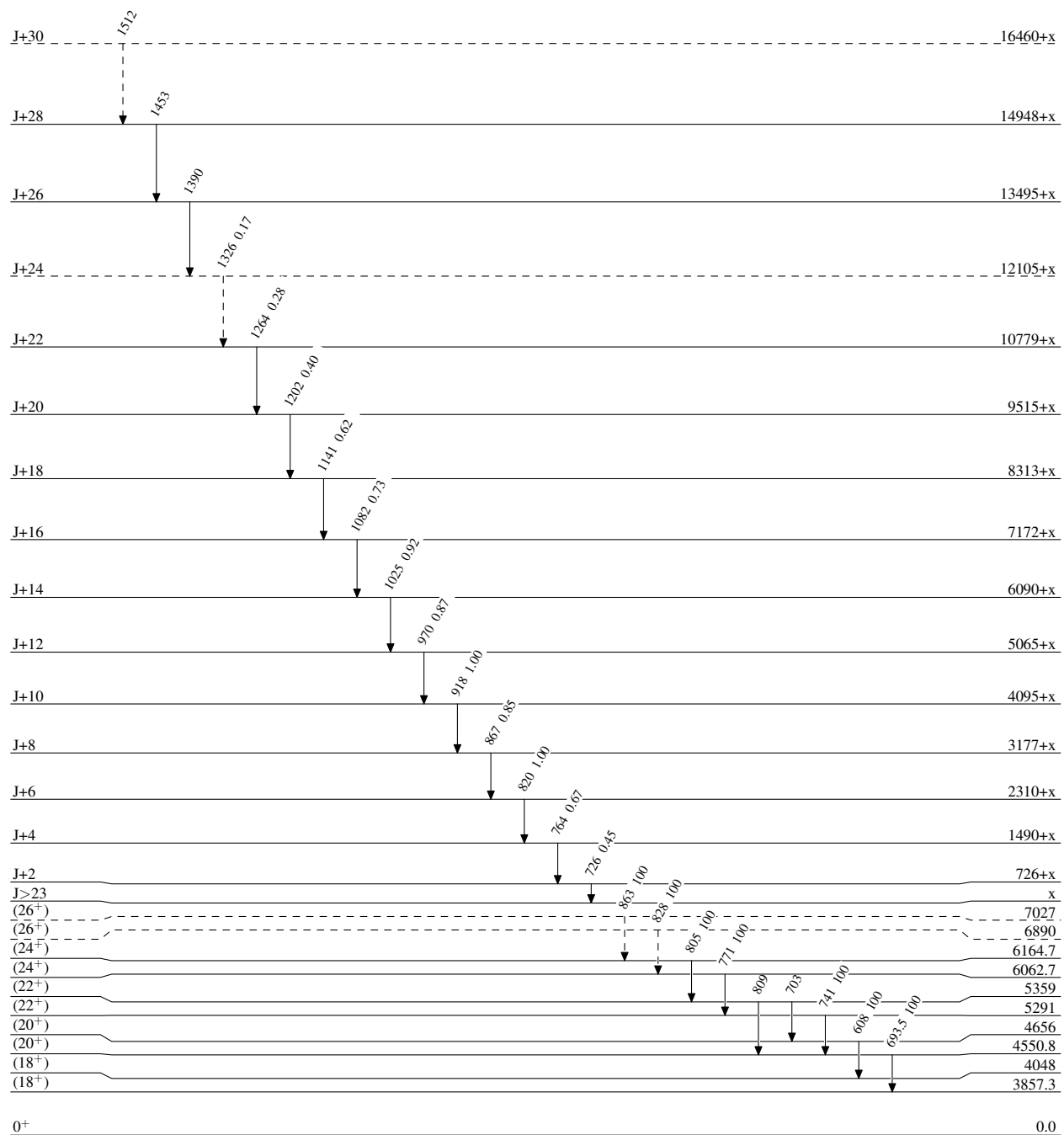
 $2.0 \times 10^{15} \text{ y } 4$  $^{174}_{72}\text{Hf}_{102}$

**Adopted Levels, Gammas**

Legend

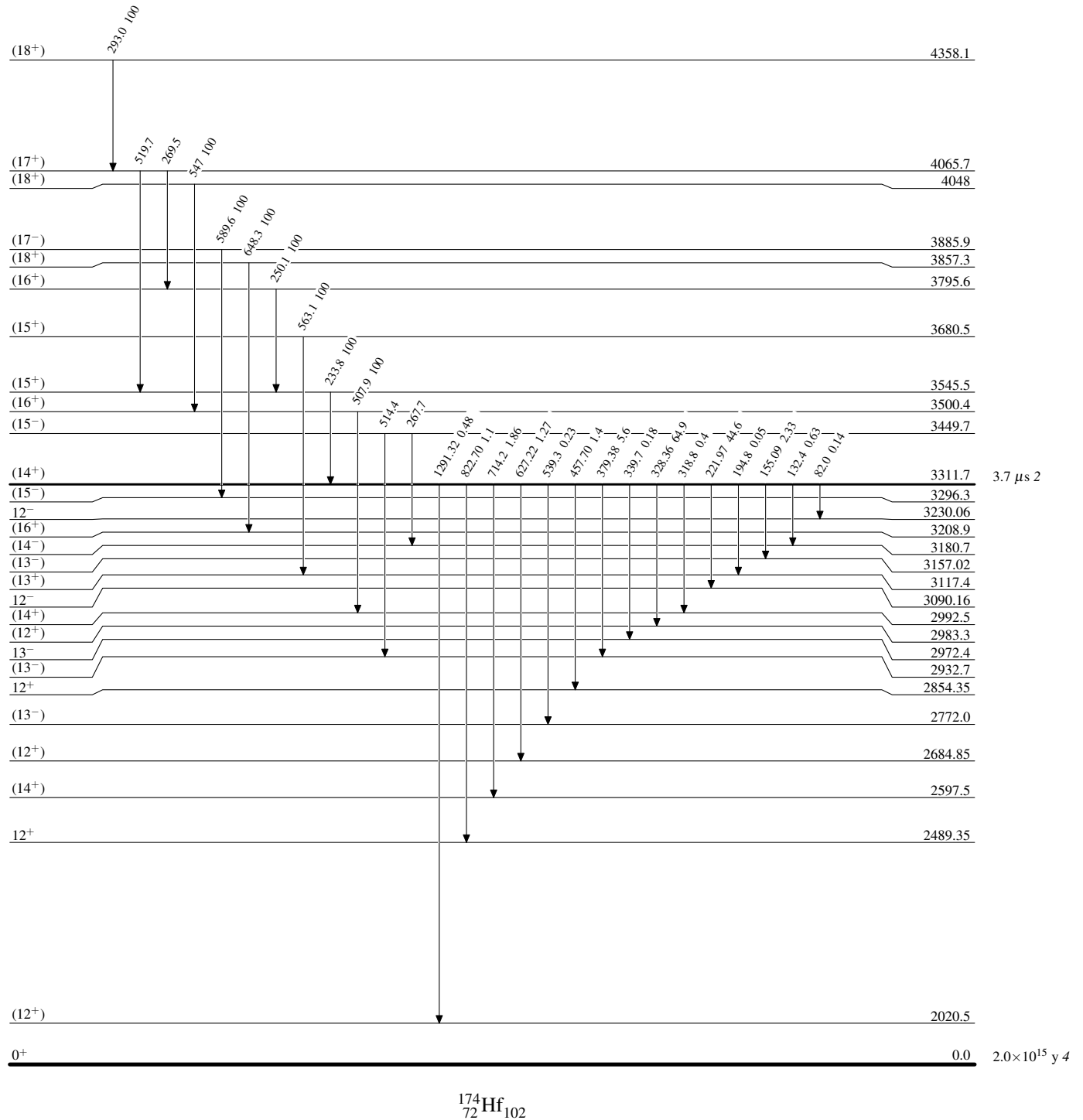
**Level Scheme (continued)**

Intensities: Relative photon branching from each level

-----►  $\gamma$  Decay (Uncertain)

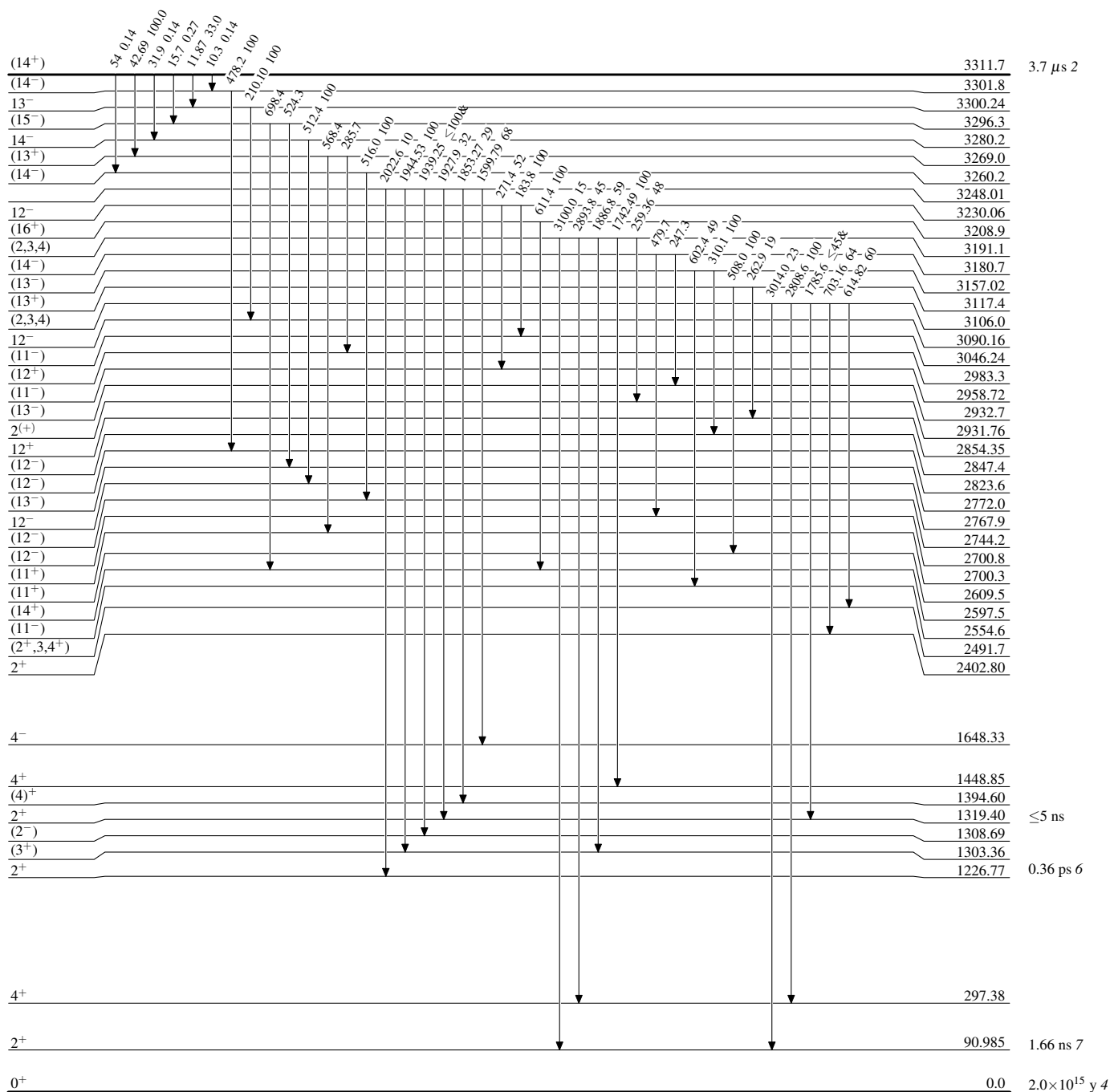
**Adopted Levels, Gammas****Level Scheme (continued)**

Intensities: Relative photon branching from each level



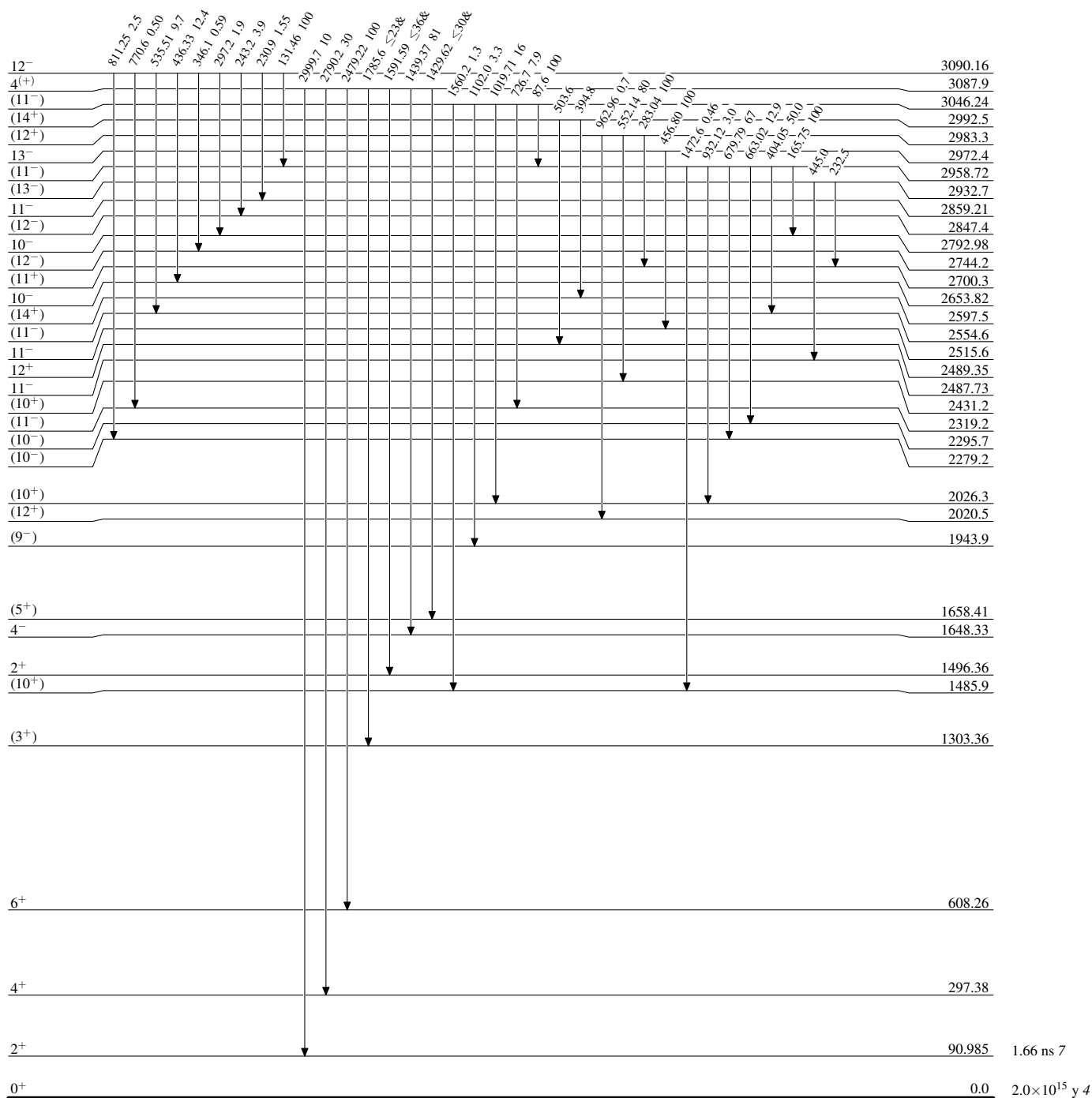
**Adopted Levels, Gammas****Level Scheme (continued)**

Intensities: Relative photon branching from each level  
& Multiply placed: undivided intensity given



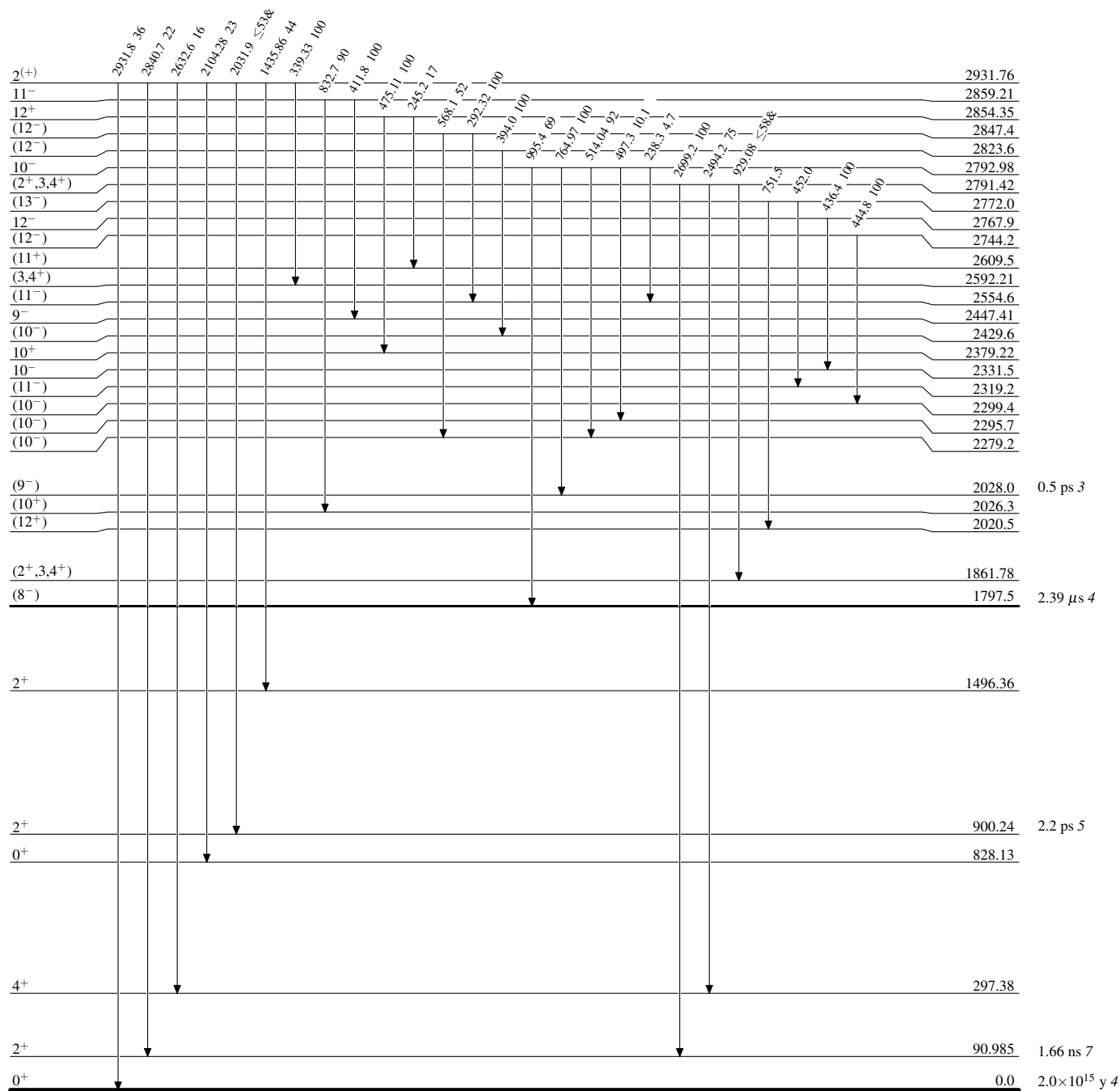
Adopted Levels, GammasLevel Scheme (continued)

Intensities: Relative photon branching from each level  
& Multiplied placed: undivided intensity given



**Adopted Levels, Gammas****Level Scheme (continued)**

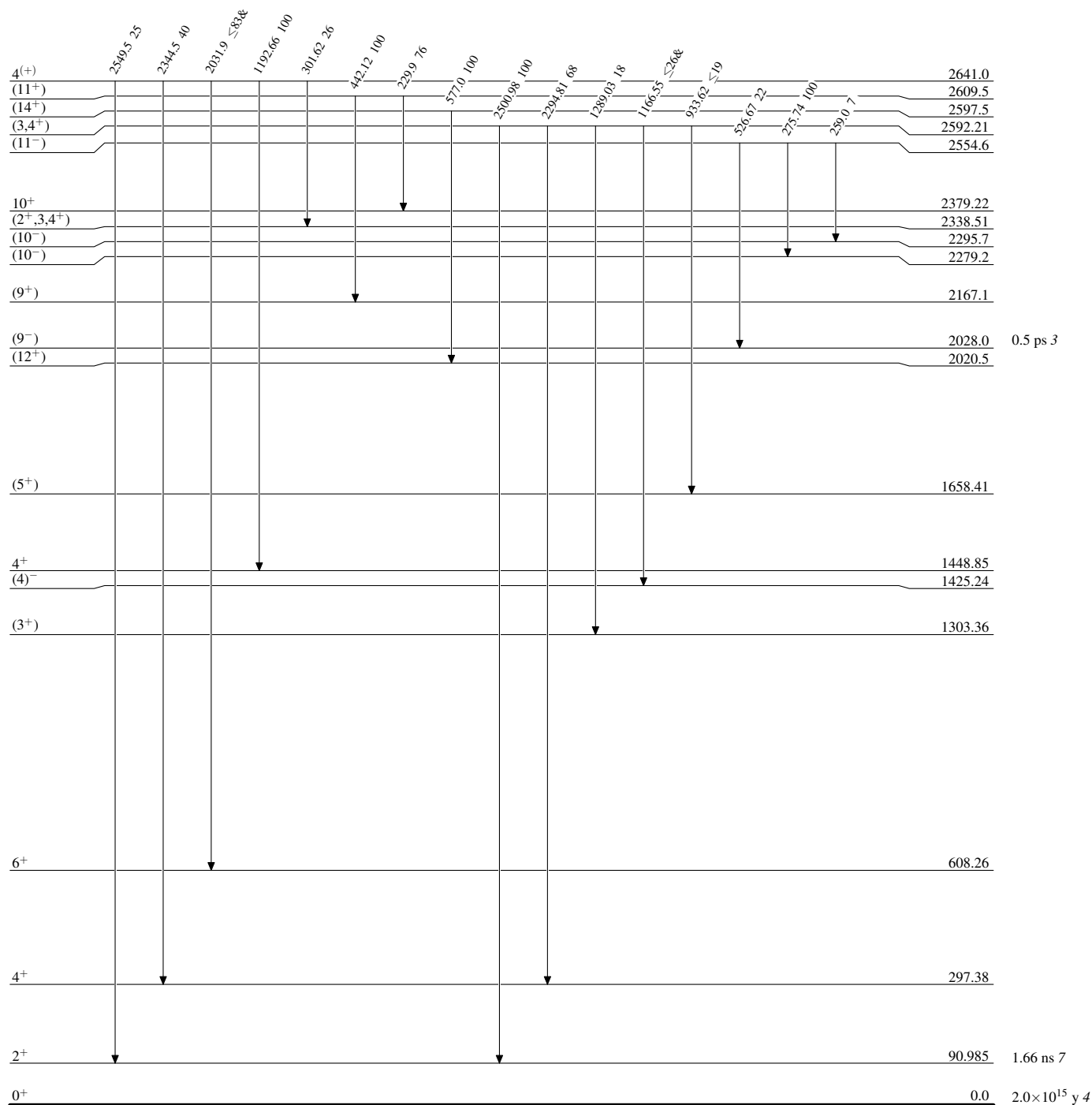
Intensities: Relative photon branching from each level  
& Multiply placed: undivided intensity given





**Adopted Levels, Gammas****Level Scheme (continued)**

Intensities: Relative photon branching from each level  
& Multiply placed: undivided intensity given

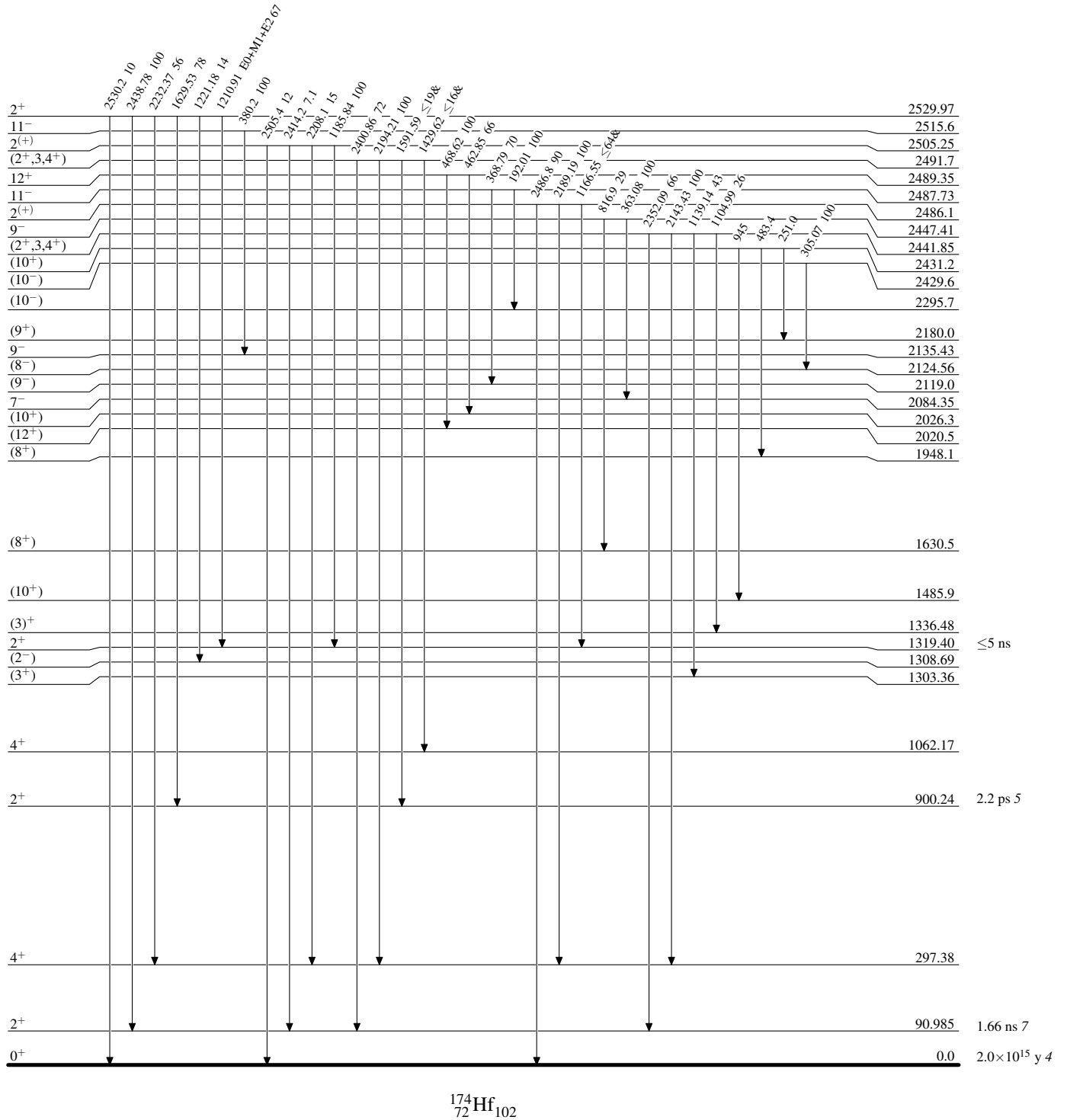




# Adopted Levels, Gammas

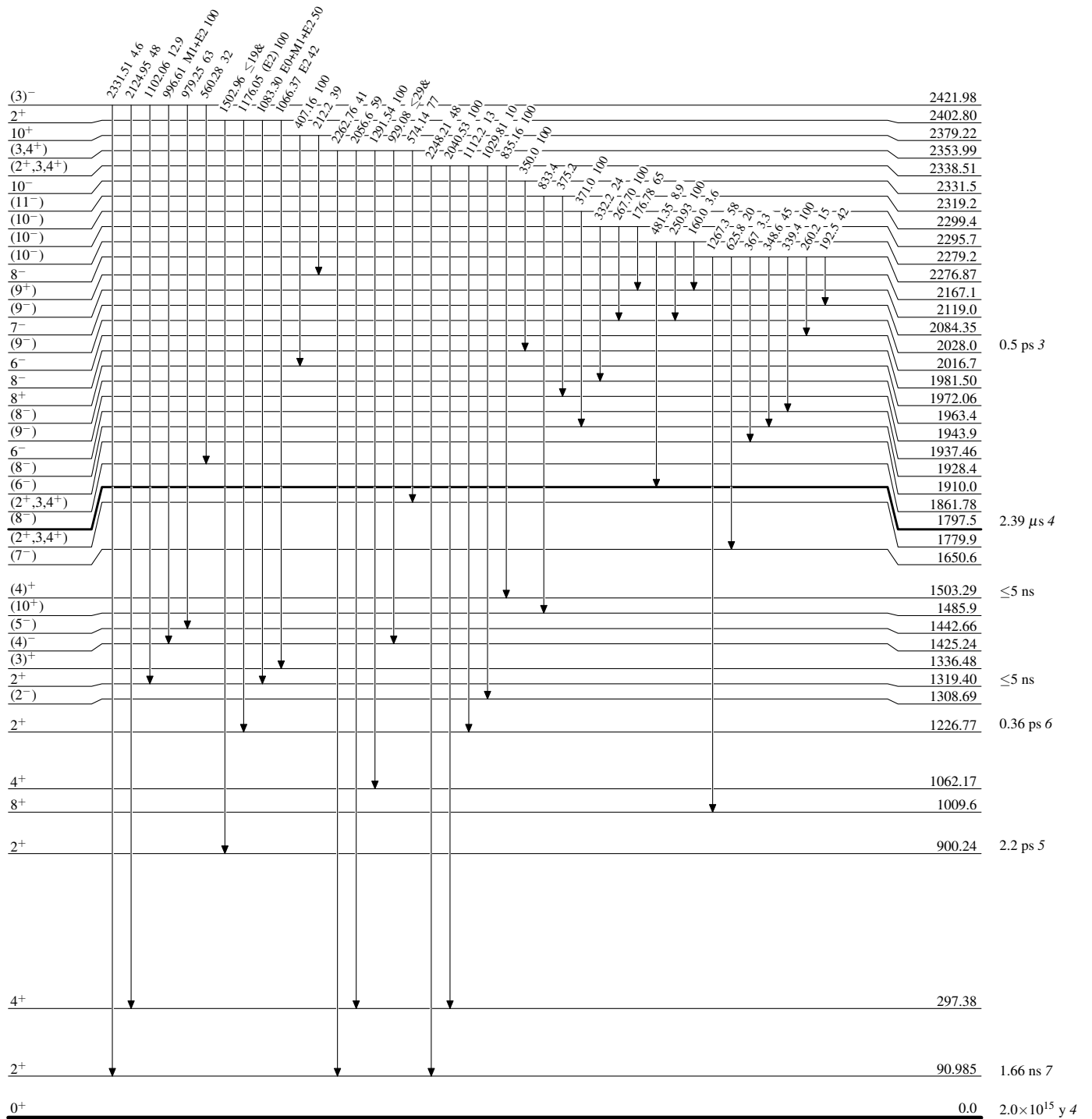
## Level Scheme (continued)

Intensities: Relative photon branching from each level  
& Multiply placed: undivided intensity given



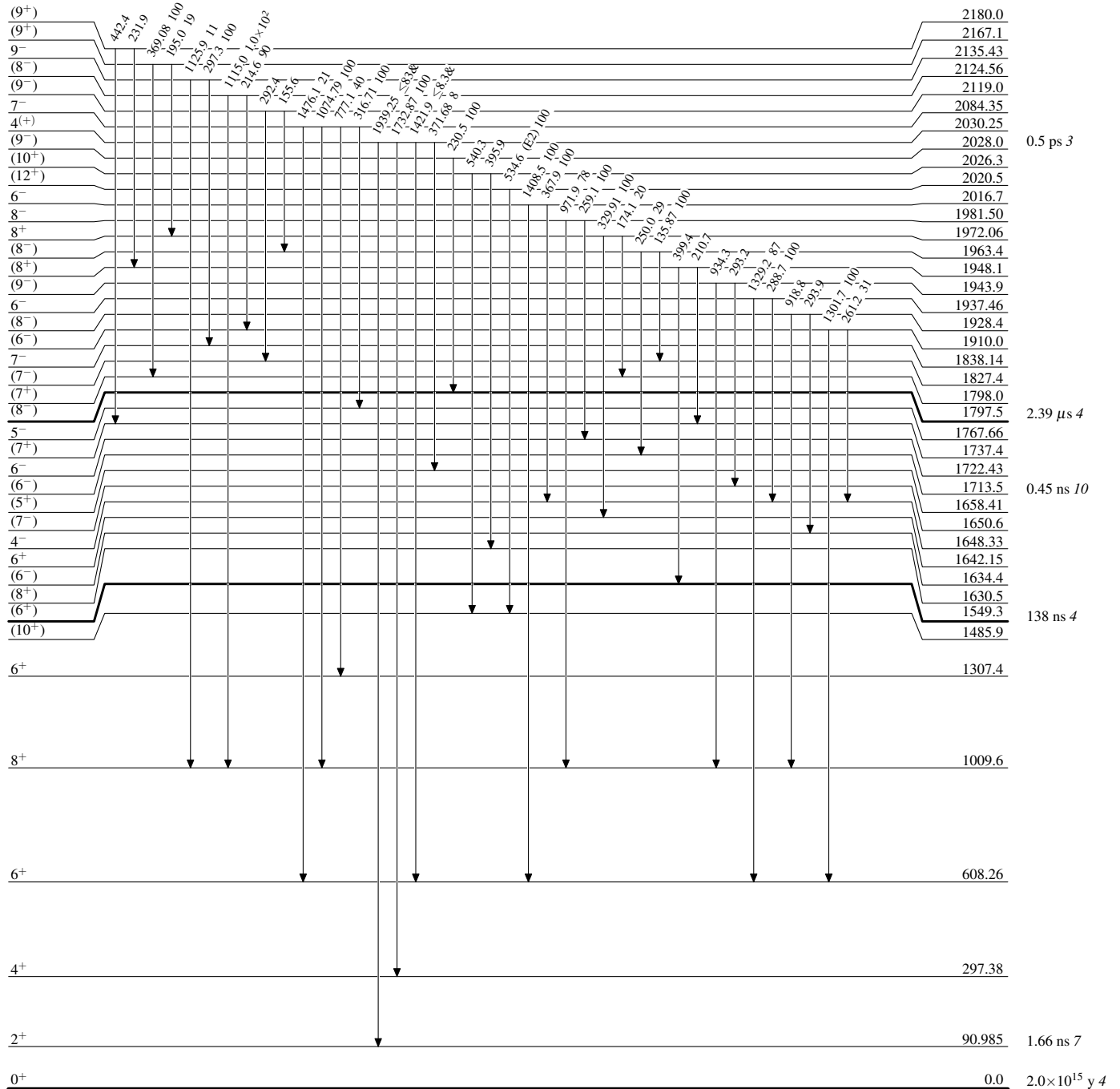
Adopted Levels, GammasLevel Scheme (continued)

Intensities: Relative photon branching from each level  
& Multiplied: undivided intensity given



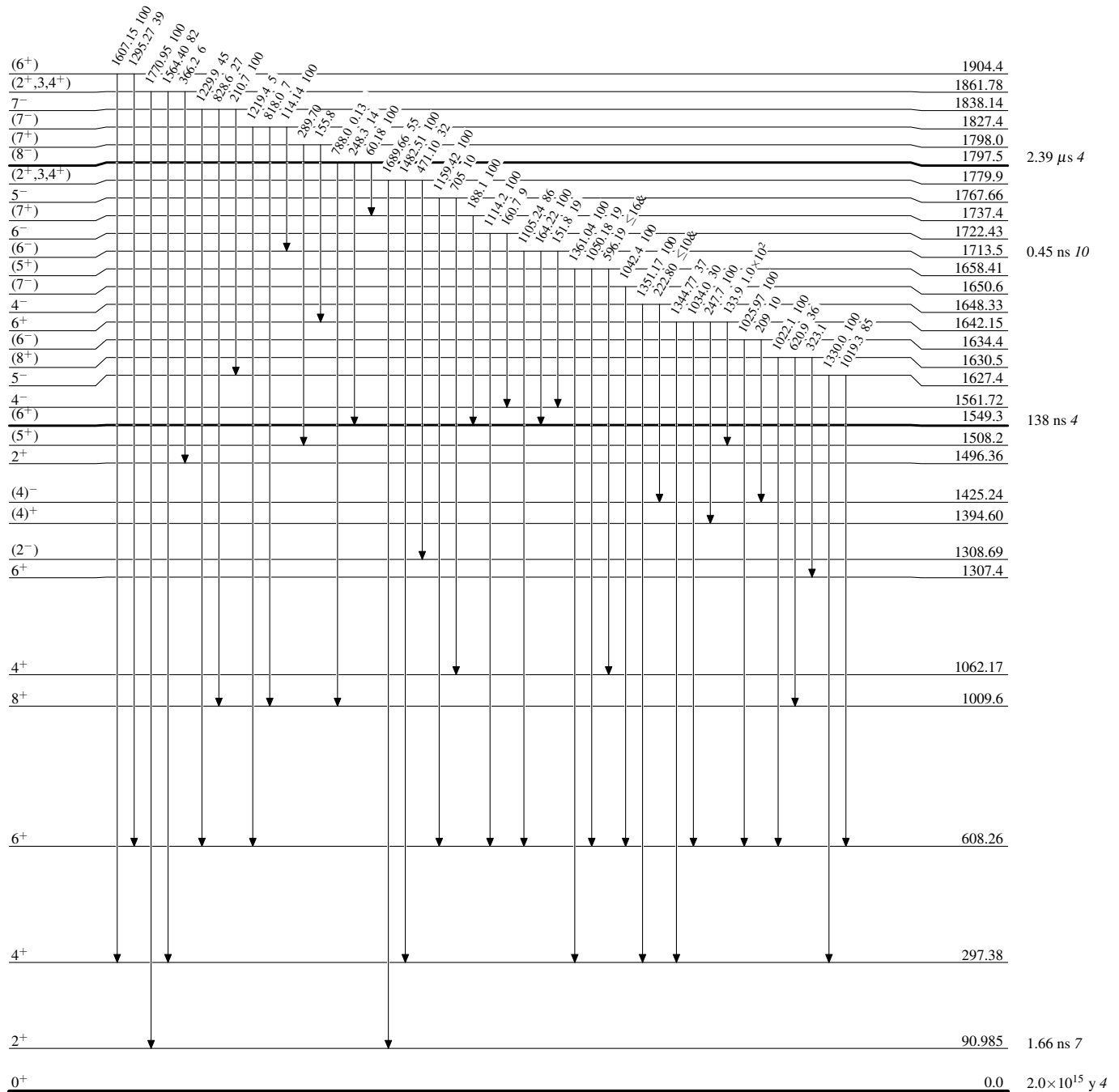
**Adopted Levels, Gammas****Level Scheme (continued)**

Intensities: Relative photon branching from each level  
& Multiply placed: undivided intensity given



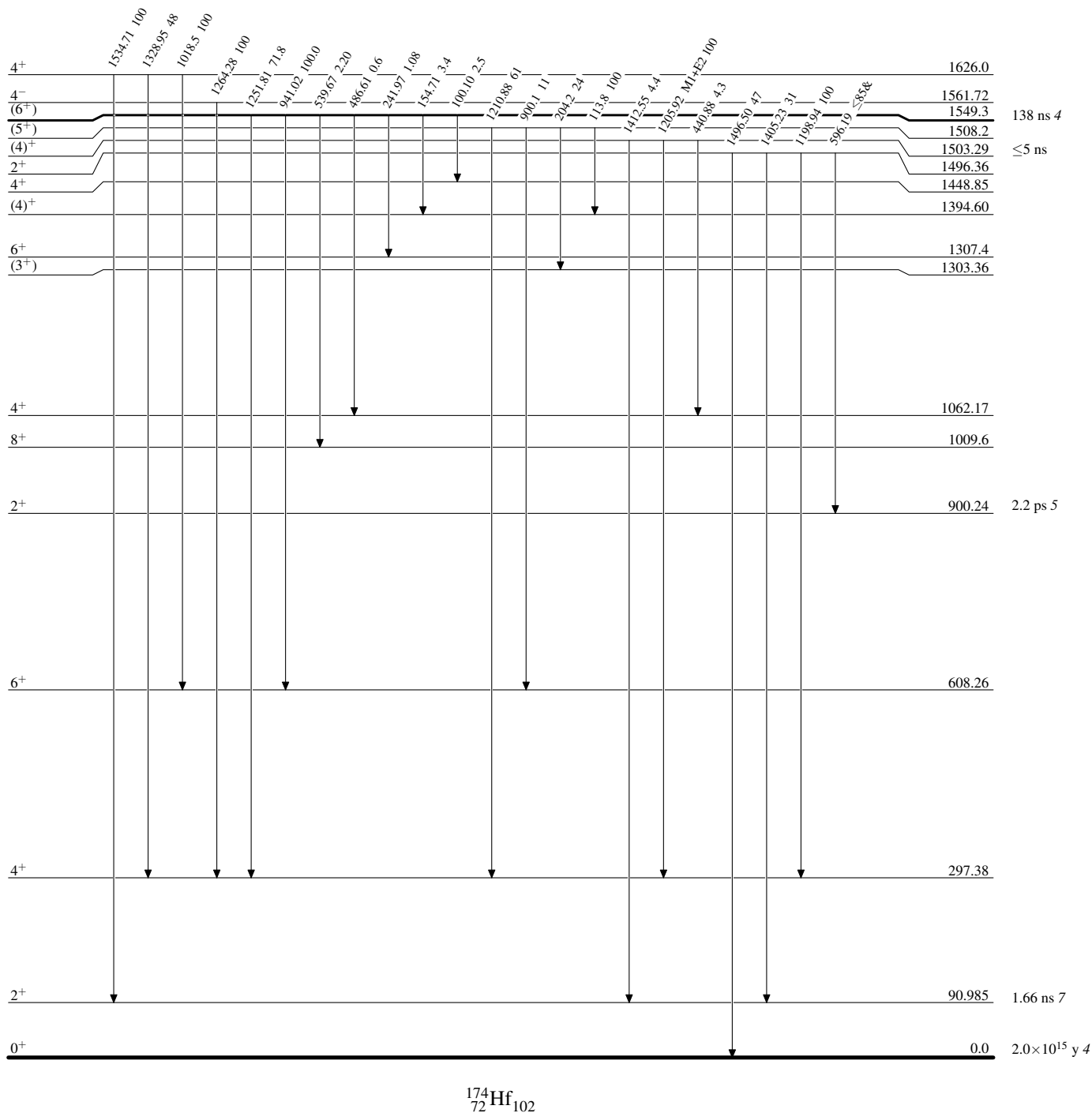
**Adopted Levels, Gammas****Level Scheme (continued)**

Intensities: Relative photon branching from each level  
& Multiply placed: undivided intensity given



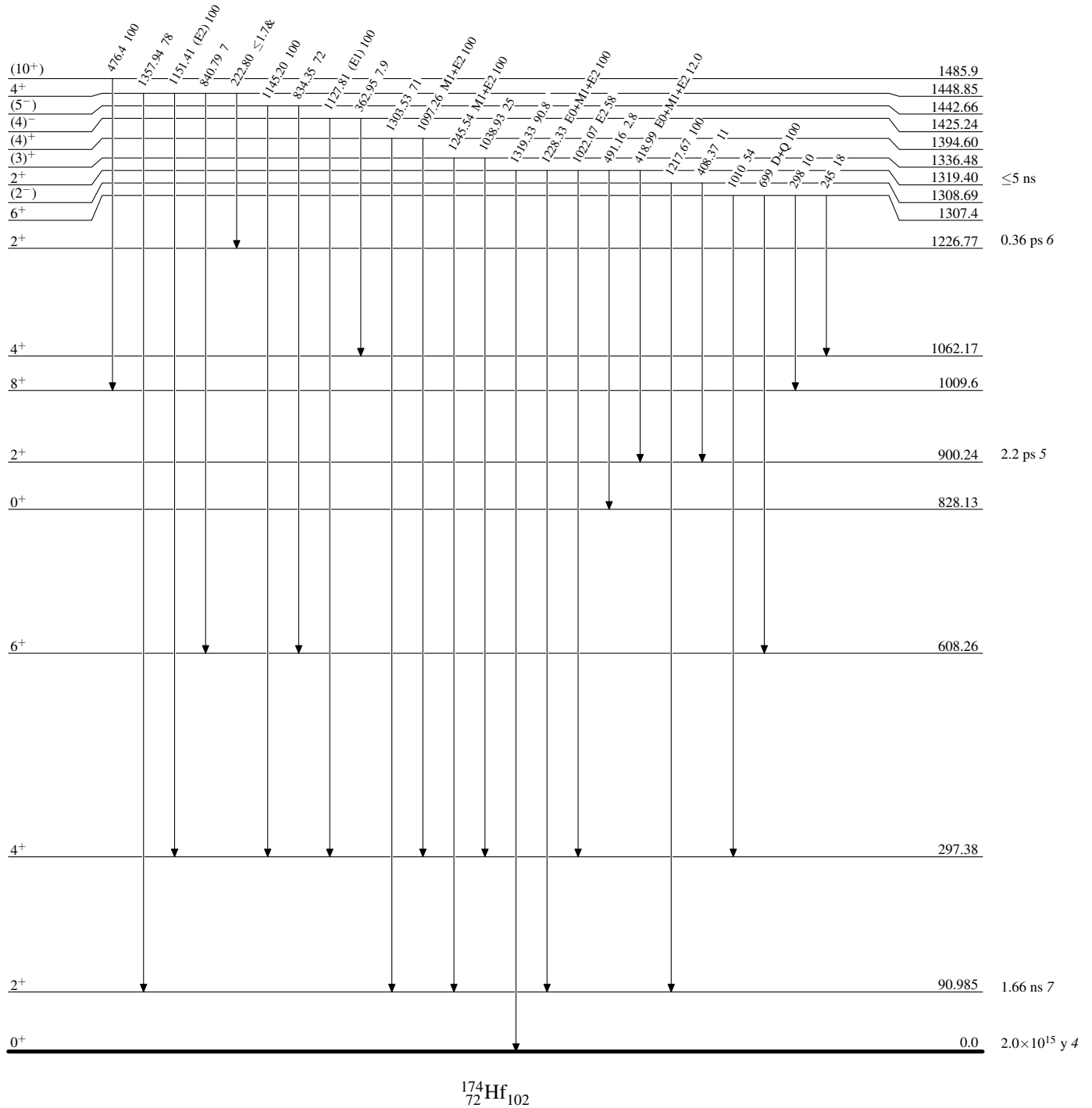
**Adopted Levels, Gammas****Level Scheme (continued)**

Intensities: Relative photon branching from each level  
& Multiply placed: undivided intensity given



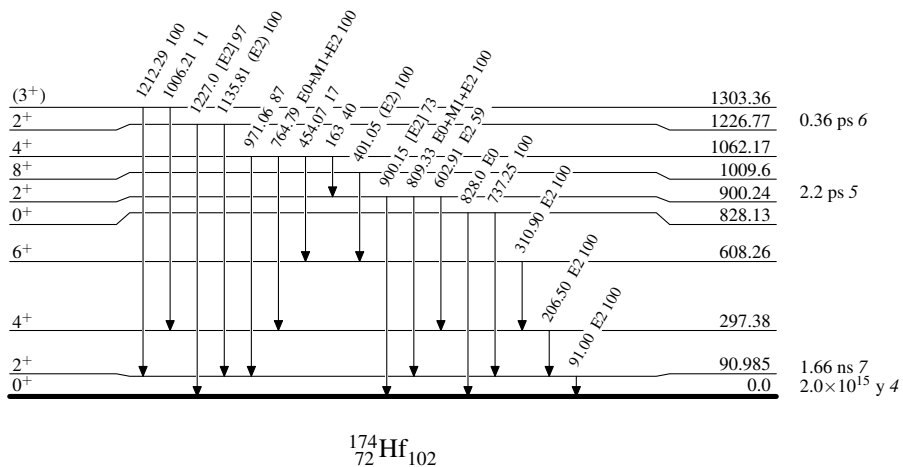
**Adopted Levels, Gammas****Level Scheme (continued)**

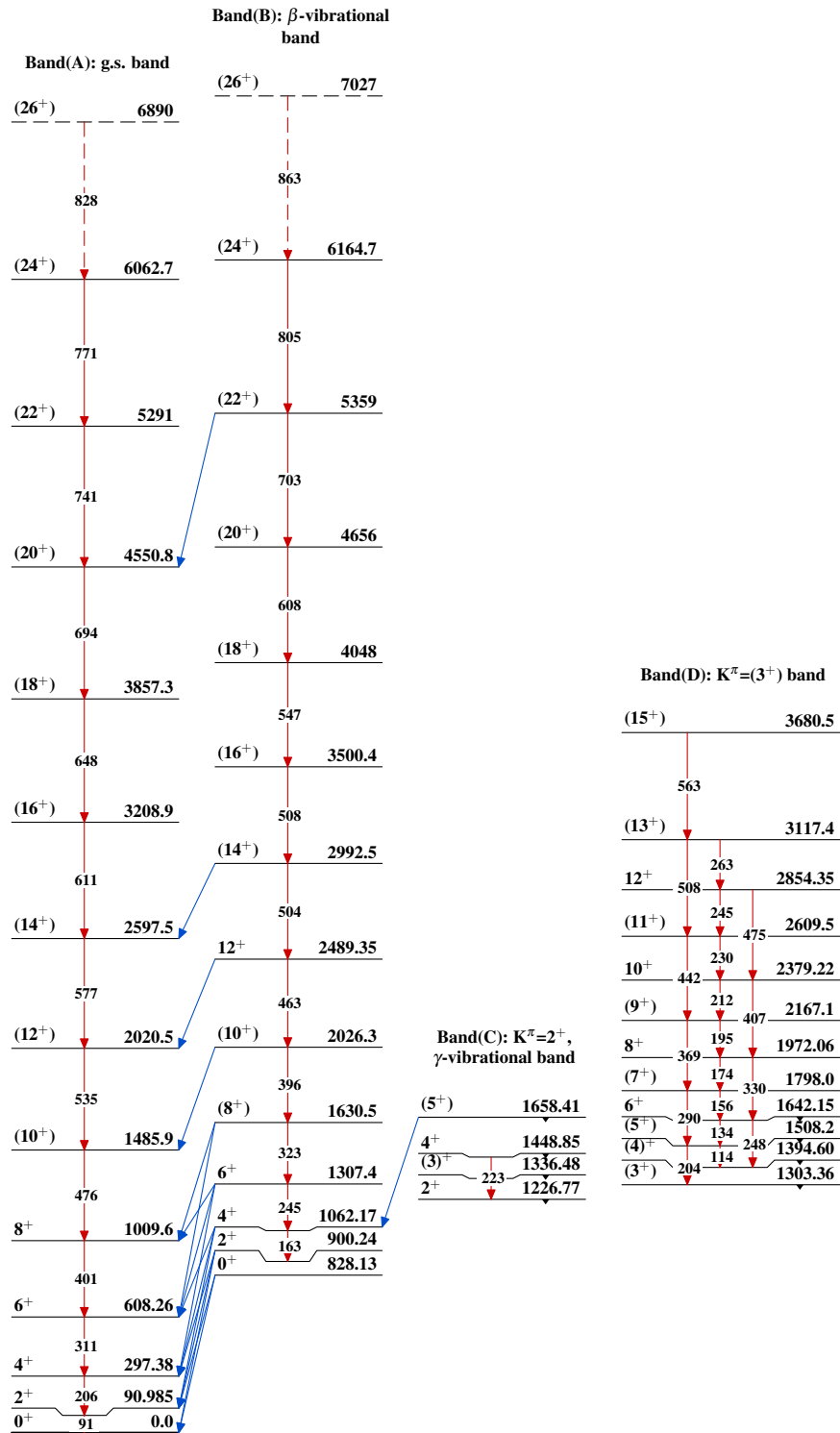
Intensities: Relative photon branching from each level  
& Multiply placed: undivided intensity given



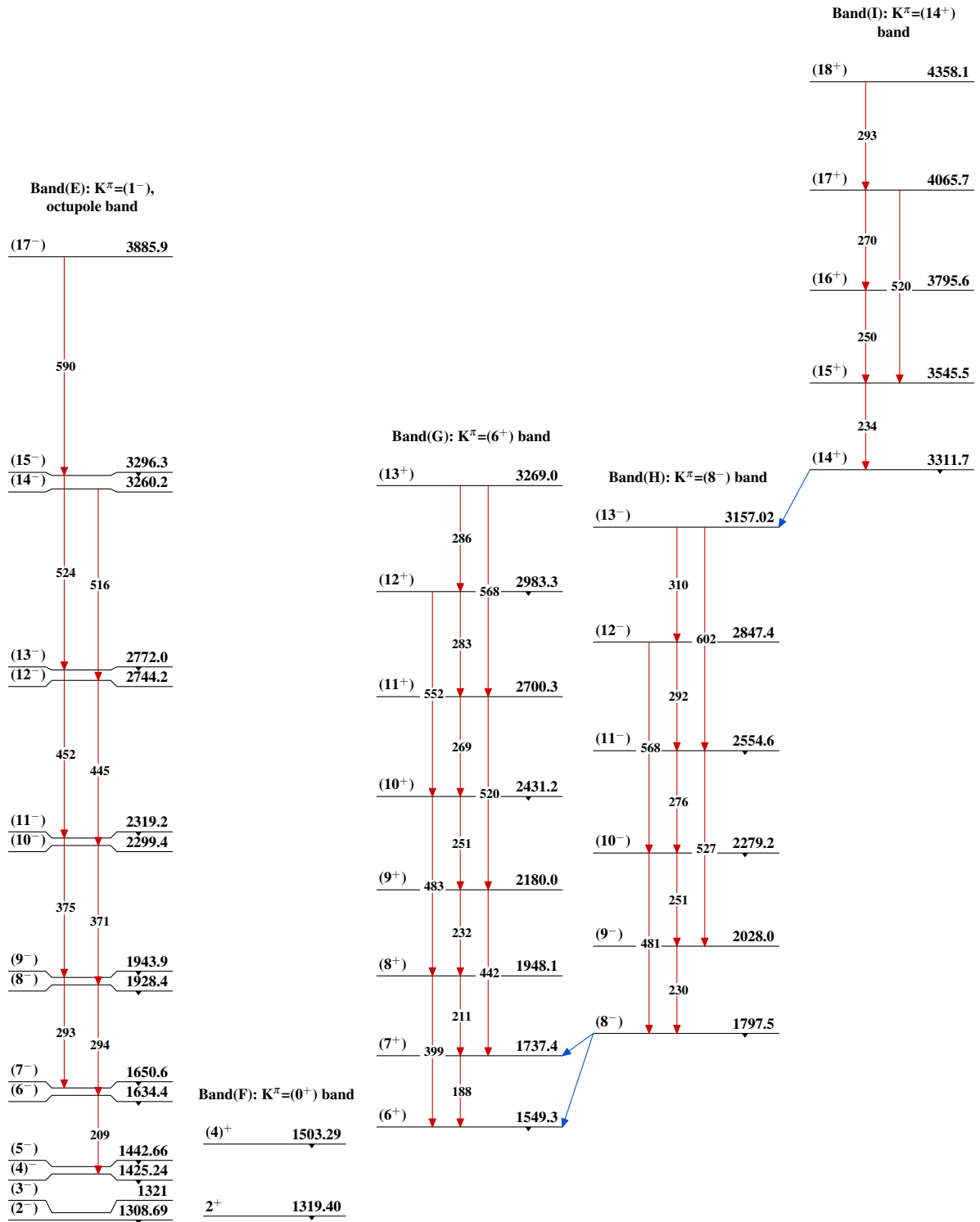
**Adopted Levels, Gammas****Level Scheme (continued)**

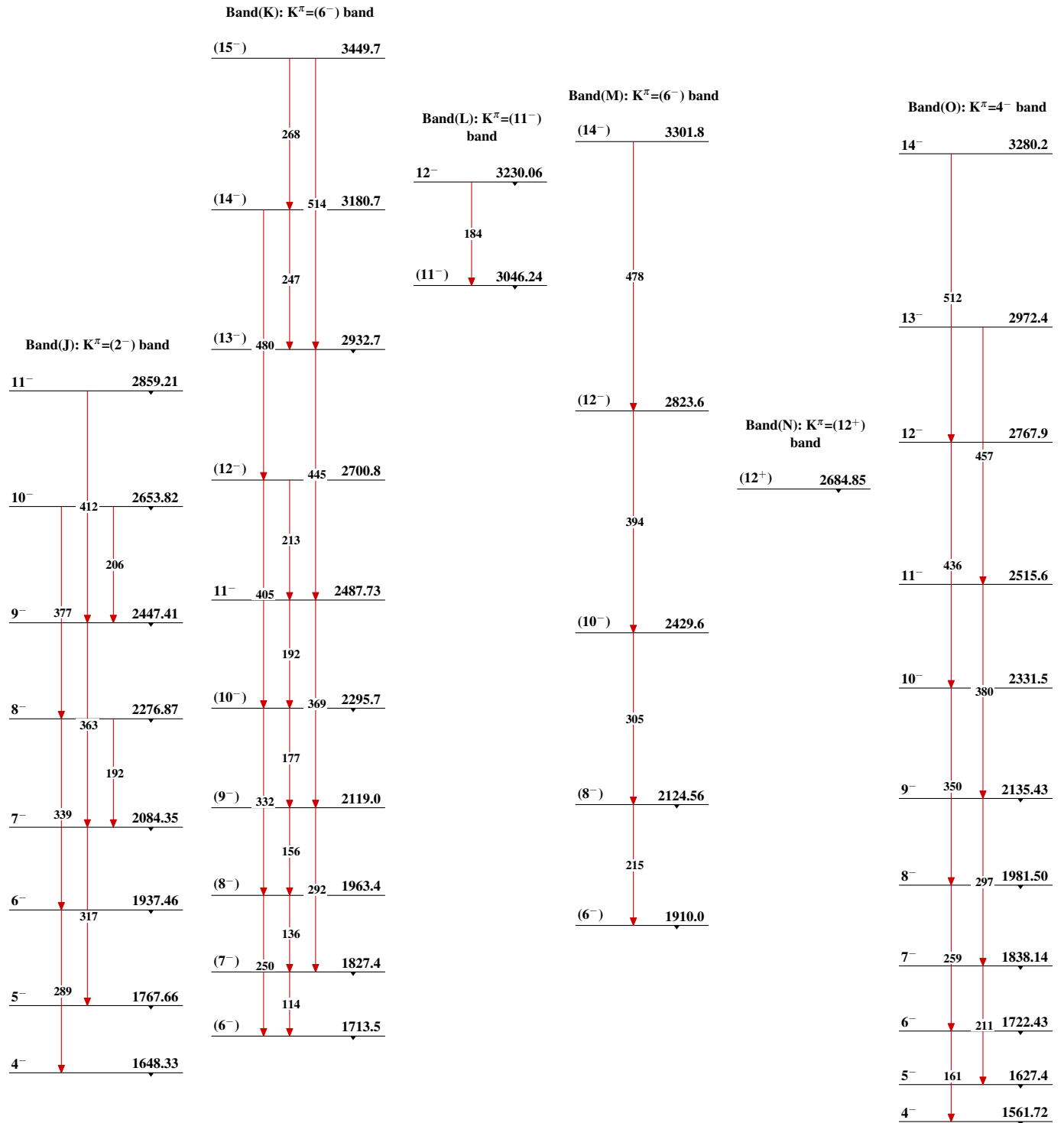
Intensities: Relative photon branching from each level  
& Multiply placed: undivided intensity given



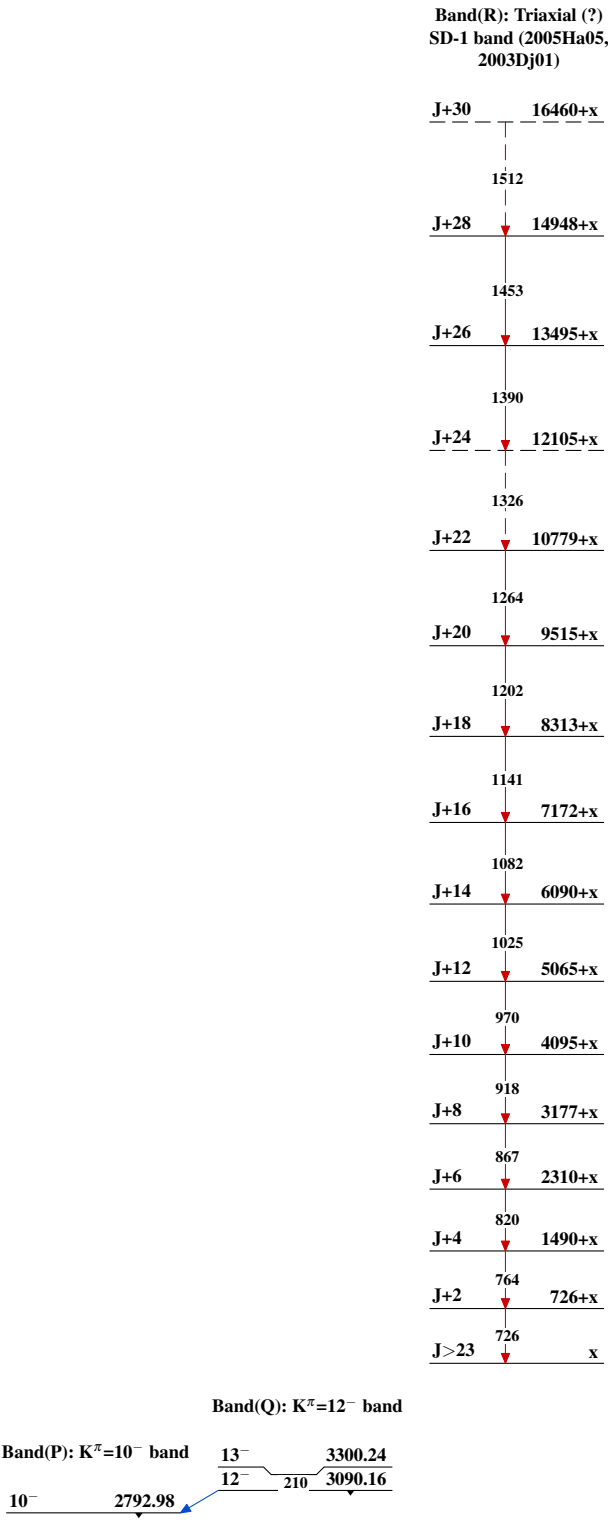
Adopted Levels, Gammas



Adopted Levels, Gammas (continued)

Adopted Levels, Gammas (continued)

Adopted Levels, Gammas (continued)



**Adopted Levels, Gammas (continued)**

		Band(V): Triaxial (?) SD-5 band (2005Ha05)	
		J4+26	13541+v
		J4+24	1391 12150+v
		J4+22	1340 10810+v
		J4+20	1268 9542+v
		J4+18	1209 8333+v
		J4+16	1209 7186+v
		J4+14	1147 6099+v
		J4+12	1087 5069+v
		J4+10	1030 4096+v
		J4+8	973 3177+v
		J4+6	919 2309+v
		J4+4	868 1492+v
		J4+2	817 723+v
		J4	723 v
		Band(U): Triaxial (?) SD-4 band (2005Ha05, 2003Dj01)	
		J3+24	13728+u
		J3+22	1478 12250+u
		J3+20	1411 10839+u
		J3+18	1344 9495+u
		J3+16	1278 8217+u
		J3+14	1216 7001+u
		J3+12	1155 5846+u
		J3+10	1098 4748+u
		J3+8	1045 3703+u
		J3+6	995 2708+u
		J3+4	949 1759+u
		J3+2	904 855+u
		J3>28	855 u
		Band(T): Triaxial (?) SD-3 band (2005Ha05, 2003Dj01)	
		J2+28	14814+z
		J2+26	1475 13339+z
		J2+24	1412 11927+z
		J2+22	1349 10578+z
		J2+20	1287 9291+z
		J2+18	1226 8065+z
		J2+16	1105 6960+z
		J2+14	1055 5905+z
		J2+12	996 4909+z
		J2+10	941 3968+z
		J2+8	890 3078+z
		J2+6	841 2237+z
		J2+4	781 1456+z
		J2+2	754 702+z
		J2>22	702 z
		Band(S): Triaxial (?) SD-2 band (2005Ha05, 2003Dj01)	
		J1+28	15684+y
		J1+26	1530 14154+y
		J1+24	1466 12688+y
		J1+22	1400 11288+y
		J1+20	1335 9953+y
		J1+18	1269 8684+y
		J1+16	1204 7480+y
		J1+14	1140 6340+y
		J1+12	1077 5263+y
		J1+10	1015 4248+y
		J1+8	955 3293+y
		J1+6	899 2394+y
		J1+4	846 1548+y
		J1+2	793 755+y
		J1>24	755 y

**Adopted Levels, Gammas (continued)**

			Band(Y): Triaxial (?) SD-8 band (2005Ha05)		
			J7+22	11740+t	
			J7+20	1353	10387+t
			J7+18	1308	9079+t
			J7+16	1242	7837+t
			J7+14	1177	6660+t
			J7+12	1110	5550+t
			J7+10	1048	4502+t
			J7+8	990	3512+t
			J7+6	942	2570+t
			J7+4	898	1672+t
			J7+2	854	818+t
			J7	818	t
			Band(X): Triaxial (?) SD-7 band (2005Ha05)		
			J6+22	11755+s	
			J6+20	1366	10389+s
			J6+18	1303	9086+s
			J6+16	1242	7844+s
			J6+14	1178	6666+s
			J6+12	1117	5549+s
			J6+10	1058	4491+s
			J6+8	1002	3489+s
			J6+6	946	2543+s
			J6+4	893	1650+s
			J6+2	840	810+s
			J6	810	s
			Band(W): Triaxial (?) SD-6 band (2005Ha05)		
			J5+24	13331+w	
			J5+22	1460	11871+w
			J5+20	1395	10476+w
			J5+18	1330	9146+w
			J5+16	1262	7884+w
			J5+14	1200	6684+w
			J5+12	1126	5558+w
			J5+10	1065	4493+w
			J5+8	1002	3491+w
			J5+6	941	2550+w
			J5+4	889	1661+w
			J5+2	859	802+w
			J5	802	w

Adopted Levels, Gammas

Type	Author	History Citation	Literature Cutoff Date
Full Evaluation	M. S. Basunia	NDS 107,791 (2006)	15-Sep-2005

$Q(\beta^-) = -3.21 \times 10^3$  3;  $S(n) = 8165.9$  18;  $S(p) = 6699.9$  9;  $Q(\alpha) = 2252.8$  16    2012Wa38

Note: Current evaluation has used the following Q record  $-3.21\text{E}+03$  308165.0 186695.8 82257.9 15    2003Au03.

Isotope shifts: 2000Bo03, 1999Le11, 1994BoZR, 1994An14, 1994An09, 1992Ri04, 1992Be07, 1992An17, 1987Au07, 1970Ca10.

Giant dipole resonance: 1994Zi04, 1994Ji07, 1994Ca11, 1993Br09.

 $^{176}\text{Hf}$  LevelsCross Reference (XREF) Flags

<b>A</b>	$^{176}\text{Ta}$ $\varepsilon$ decay	<b>G</b>	$^{176}\text{Hf}(n, n'\gamma)$	<b>M</b>	$^{178}\text{Hf}(p, t); ^{178}\text{Hf}(31 \text{ y})$
<b>B</b>	$^{176}\text{Lu}$ $\beta^-$ decay	<b>H</b>	$^{181}\text{Ta}(\pi^-, 5n\gamma)$	<b>N</b>	$^{176}\text{Hf}(\gamma, \gamma')$
<b>C</b>	$^{176}\text{Lu}$ $\beta^-$ decay (3.664 h)	<b>I</b>	$^{176}\text{Lu}(p, n\gamma)$	<b>O</b>	$^{186}\text{W}(n, 2p9n\gamma)$
<b>D</b>	$^{174}\text{Yb}(\alpha, 2n\gamma)$	<b>J</b>	$^{178}\text{Hf}(p, t)$	<b>P</b>	$^{130}\text{Te}(^{48}\text{Ca}, 2n\gamma)$
<b>E</b>	$^{176}\text{Yb}(\alpha, 4n\gamma)$	<b>K</b>	$^{175}\text{Lu}(\alpha, t), (^3\text{He}, d),$		
<b>F</b>	Coulomb excitation	<b>L</b>	$^{177}\text{Hf}(d, t)$		

E(level) <sup>†</sup>	$J^\pi$ <sup>‡</sup>	$T_{1/2}$	XREF	Comments
0.0 <sup>f</sup>	0 <sup>+</sup>	stable	ABCDEFGHIJ L NO	$J^\pi$ : L=0 in (p,t). $\Delta\langle r^2 \rangle(^{176}\text{Hf}) = -0.084$ 2 fm <sup>2</sup> (1999Le11), charge radii normalized to $\Delta\langle r^2 \rangle(^{178}\text{Hf}, ^{180}\text{Hf}) = 0.098$ fm <sup>2</sup> (1994Zi04), a 10% systematic normalization error is not included. Other: 2002Ca47.
88.349 <sup>f</sup> 24	2 <sup>+</sup>	1.43 ns 4	ABCDEFGHIJ L NO	$\mu = +0.539$ 41; $Q = -2.10$ 2 $T_{1/2}$ : weighted average of 1.39 ns 4 from $\beta^-$ ce(t) (1963Fo02) and 1.47 ns 4 Coul. ex. $J^\pi$ : 88.3 $\gamma$ E2 to 0 <sup>+</sup> state. $\mu$ : Coul. ex. (1968Be04, 1989Ra17). $\mu$ : $\mu = +0.63$ 6, integral perturbed angular correlations (1996Al20). $Q$ : Meson hfs (1984Ta10, 1989Ra17).
290.18 <sup>f</sup> 3	4 <sup>+</sup>		ABCDEFGHIJ L NO	$\mu = 1.34$ 15 $J^\pi$ : 201.8 $\gamma$ E2 to 2 <sup>+</sup> state. $\mu$ : Integral perturbed angular correlations (1996Al20).
596.82 <sup>f</sup> 5	6 <sup>+</sup>		B DE GHIJ L NO	$J^\pi$ : 306.8 $\gamma$ E2 to 4 <sup>+</sup> state.
997.73 <sup>f</sup> 6	8 <sup>+</sup>		B DE GH O	$J^\pi$ : 401.0 $\gamma$ E2 to 6 <sup>+</sup> state.
1149.94 <sup>g</sup> 6	0 <sup>+</sup>		A CD G J	$J^\pi$ : 1150 $\gamma$ E0 to 0 <sup>+</sup> state. L=0 in (p,t).
1226.63 <sup>g</sup> 5	2 <sup>+</sup>	0.8 ps 1	A CD FG J	$T_{1/2}$ : from Coulomb excitation. $J^\pi$ : 1138 $\gamma$ E0+E2 to 2 <sup>+</sup> state.
1247.70 <sup>h</sup> 4	2 <sup>-#</sup>	4.66 ns 17	A CD G L	$T_{1/2}$ : from $^{176}\text{Ta}$ $\varepsilon$ decay. $J^\pi$ : 1247 $\gamma$ M2 to 0 <sup>+</sup> state.
1293.12 <sup>j</sup> 8	0 <sup>+</sup>		A CD G J	$J^\pi$ : 1293 $\gamma$ E0 to 0 <sup>+</sup> state. L=0 in (p,t).
1313.31 <sup>h</sup> 4	3 <sup>-#</sup>		A D FG J	$J^\pi$ : 1023 $\gamma$ E1 to 4 <sup>+</sup> state, 1225 $\gamma$ E1 to 2 <sup>+</sup> state.
1333.07 <sup>p</sup> 7	6 <sup>+ab</sup>	9.6 $\mu\text{s}$ 3	DE G I KL N	$J^\pi$ : 1043 $\gamma$ E2 to 4 <sup>+</sup> state. $T_{1/2}$ : weighted average of 9.5 $\mu\text{s}$ 2 from ( $\alpha, 2n\gamma$ ) (1973Kh02), and 10.5 $\mu\text{s}$ 7 from ( $\gamma, n$ ) (1964Br27). Other value: 13.0 $\mu\text{s}$ 5 from (p,n $\gamma$ ) (1967Bo08).
1341.31 <sup>i</sup> 4	2 <sup>+</sup>	0.29 ps 3	A D FG J N	$T_{1/2}$ : from Coulomb excitation. $J^\pi$ : 1341 $\gamma$ E2 to 0 <sup>+</sup> state.
1362 10			J	
1379.38 <sup>j</sup> 5	2 <sup>+</sup>		A D G J	XREF: J(1387). $J^\pi$ : 1291 $\gamma$ (E2+E0) to 2 <sup>+</sup> state.

Continued on next page (footnotes at end of table)

**Adopted Levels, Gammas (continued)** $^{176}\text{Hf}$  Levels (continued)

E(level) <sup>†</sup>	J <sup>π</sup> <sup>‡</sup>	T <sub>1/2</sub>	XREF				Comments
1390.19 <sup>g</sup> 14	4 <sup>+</sup>			D	G		J <sup>π</sup> : 1100γ E0+E2(+M1) to 4 <sup>+</sup> state.
1404.56 <sup>h</sup> 4	4 <sup>-</sup> #		A	D	G		J <sup>π</sup> : 157γ E2 to 2 <sup>-</sup> state, 1115γ E1 to 4 <sup>+</sup> state.
1412.93 8			A				
1445.79 <sup>i</sup> 5	3 <sup>+</sup>		A	D	G		J <sup>π</sup> : 1155.5γ M1 to 4 <sup>+</sup> state, 1357.5 M1+E2 to 2 <sup>+</sup> state.
1481.06 <sup>f</sup> 8	10 <sup>+</sup>			DE	H	0	J <sup>π</sup> : 483.3γ E2 to 8 <sup>+</sup> state.
1505.81 <sup>p</sup> 8	7 <sup>+</sup> <sup>a</sup>			DE		KL	J <sup>π</sup> : 172.7γ (M1+E2) to 6 <sup>+</sup> state. 53.5γ (E1) from 8 <sup>-</sup> state.
1508.61 <sup>h</sup> 7	5 <sup>-</sup> #			D	G	J	J <sup>π</sup> : 912γ E1 to 6 <sup>+</sup> state.
1532.6 5				D			
1540.3 <sup>i</sup> 4	(4 <sup>+</sup> )			D	G	J	J <sup>π</sup> : 1250γ (M1+E2) to 4 <sup>+</sup> state.
1559.31 <sup>q</sup> 9	8 <sup>-</sup> <sup>b</sup>	9.9 μs 2		DE	I	K	J <sup>π</sup> : 226.2γ M2 to 6 <sup>+</sup> state. T <sub>1/2</sub> : weighted average of 9.8 μs 2 from (α,2nγ) (1973Kh02), and 10.3 μs 5 from (γ,n) (1967Bo08).
1577.61 <sup>k</sup> 5	(3 <sup>+</sup> )@		A	D	G	L	
1591.51 <sup>j</sup> 5	(4 <sup>+</sup> )		A	D	G		J <sup>π</sup> : 1301.1γ (E2) to 4 <sup>+</sup> state.
1609.3				D		J	
1628.55 <sup>g</sup> 14	6 <sup>+</sup>			D			J <sup>π</sup> : 1031.7γ E0+E2(+M1) to 6 <sup>+</sup> state.
1643.43 <sup>l</sup> 5	1 <sup>-</sup>		A	D	G	N	J <sup>π</sup> : 1555γ E1 to 2 <sup>+</sup> state, 1643γ E1 to 0 <sup>+</sup> state.
1653.11 <sup>h</sup> 6	(6 <sup>+</sup> ) <sup>-</sup> #			D			J <sup>π</sup> : 248.6γ E2 to (4 <sup>-</sup> ) state, 1056γ to 6 <sup>+</sup> state.
1672.34 <sup>m</sup> 4	(1 <sup>+</sup> )		A		G		J <sup>π</sup> : 1584γ M1+E2 to 2 <sup>+</sup> state.
1675.96 <sup>k</sup> 16	(4 <sup>+</sup> )			D	G	J L	J <sup>π</sup> : 1385.7γ (E2) to 4 <sup>+</sup> state. Band assignment.
1692.0 10	(2 <sup>+</sup> ) <sup>e</sup>					N	
1699.92 8	(8 <sup>+</sup> )			D			J <sup>π</sup> : 194γ (M1) to (7 <sup>+</sup> ) state.
1704.60 <sup>m</sup> 6	(2 <sup>+</sup> )		A	D	G	L N	J <sup>π</sup> : 1616γ (M1) to 2 <sup>+</sup> state, 1705γ (E2) to 0 <sup>+</sup> state.
1710.44 <sup>l</sup> 5	(3 <sup>-</sup> )		A	D	G		J <sup>π</sup> : 1420γ (E1) to 4 <sup>+</sup> state.
1722.05 5	1 <sup>-</sup>		A		G	L N	J <sup>π</sup> : 1722γ E1 to 0 <sup>+</sup> state.
1727.80 <sup>i</sup> 19	(5 <sup>+</sup> )			D		L	J <sup>π</sup> : Band assignment.
1732.46 10	(5 <sup>+</sup> ,6 <sup>+</sup> ,7 <sup>+</sup> )			D			J <sup>π</sup> : 399.4γ (M1) to 6 <sup>+</sup> state.
1749 10	0 <sup>+</sup>					J	J <sup>π</sup> : L=0 in (p,t).
1761.47 <sup>s</sup> 10	(6 <sup>+</sup> ) <sup>a</sup>			D		K	J <sup>π</sup> : 428γ (M1) to 6 <sup>+</sup> state. Band assignment.
1766.89 21	(3,4,5) <sup>+</sup>			D		L	J <sup>π</sup> : 1476.7γ M1+E2 to 4 <sup>+</sup> state.
1767.52 7	2 <sup>-</sup> ,3 <sup>-</sup>		A				J <sup>π</sup> : 679γ E1 to 2 <sup>+</sup> state, 362.7γ to (4 <sup>-</sup> ) state.
1783.79 <sup>h</sup> 9	(7 <sup>-</sup> ) <sup>#</sup>			D			J <sup>π</sup> : 1188γ E1 to 6 <sup>+</sup> state, 787γ E1 to 8 <sup>+</sup> state.
1785.09 <sup>q</sup> 12	9 <sup>-</sup>			DE		K	XREF: D(1785.15 ). J <sup>π</sup> : L=4,5 in ( <sup>3</sup> He,d), 226γ (M1) to 8 <sup>-</sup> state.
1786.11 9			A			J	
1793.61 5			A			J	
1797.99 <sup>t</sup> 9	(7 <sup>-</sup> )			D			XREF: D(1798.05 ). J <sup>π</sup> : 464.9γ (E1) to 6 <sup>+</sup> state. Band assignment.
1798.5 <sup>k</sup> 6	(5 <sup>+</sup> )@			D		L	XREF: D(1798.4).
1815.2 5				D			
1818.92 <sup>l</sup> 6	(0 <sup>-</sup> )		A				J <sup>π</sup> : 175.5γ M1 to 1 <sup>-</sup> state.
1830.4	5			D		L	XREF: L(1828).
1853.96 7	(3 <sup>+</sup> ,4 <sup>+</sup> ,5 <sup>+</sup> )		A	D		J L	J <sup>π</sup> : 1563γ (M1+E2) to 4 <sup>+</sup> state.
1856.99 <sup>l</sup> 5	(2 <sup>-</sup> )		A			J	J <sup>π</sup> : 213γ M1(+E2) to 1 <sup>-</sup> state, 146.7γ M1(+E2) to (3 <sup>-</sup> ) state.
1860.08 <sup>r</sup> 11	(8 <sup>-</sup> )			DE		K	XREF: K(1860). J <sup>π</sup> : 300.8γ (M1) to 8 <sup>-</sup> state.
1862.0 <sup>i</sup> 5	(6 <sup>+</sup> )			D			J <sup>π</sup> : 1571.6γ (E2) to 4 <sup>+</sup> state. Band assignment.
1862.80 <sup>n</sup> 4	1 <sup>+</sup>		A			JK	XREF: K(1860). J <sup>π</sup> : 1862.7γ M1(+E2) to 0 <sup>+</sup> state, 1774.6γ M1(+E2) to 2 <sup>+</sup> state.
1866.6 5				D		J	
1878? 1	(5 <sup>+</sup> ,6 <sup>+</sup> ,7 <sup>+</sup> )			D			J <sup>π</sup> : 1281γ (M1+E2) to 6 <sup>+</sup> state.

Continued on next page (footnotes at end of table)

**Adopted Levels, Gammas (continued)** $^{176}\text{Hf}$  Levels (continued)

E(level) <sup>†</sup>	J <sup>π</sup> <sup>‡</sup>	XREF		Comments
1886 3			L	
1902.28 9	(3 <sup>-</sup> , 4 <sup>-</sup> , 5 <sup>-</sup> )	D		J <sup>π</sup> : 1614.2γ (E1) to 4 <sup>+</sup> state.
1912.02 <sup>n</sup> 4	2 <sup>+</sup>	A		J <sup>π</sup> : 239.6γ M1 to (1) <sup>+</sup> state, 1823.7γ M1 to 2 <sup>+</sup> state.
1914.13 9	(9 <sup>+</sup> )	D		J <sup>π</sup> : 214γ (M1+E2) to (8 <sup>+</sup> ) state.
1924.56 5	(2,3) <sup>-</sup>	A D	L	J <sup>π</sup> : 611γ M1 to 3 <sup>-</sup> state, 1836γ (E1) to 2 <sup>+</sup> state.
1926.68 <sup>s</sup> 11	(7 <sup>+</sup> ) <sup>a</sup>	D	K	J <sup>π</sup> : 421γ (M1) to (7 <sup>+</sup> ) state. Band assignment.
1930.78 <sup>t</sup> 9	(8 <sup>-</sup> )	D		J <sup>π</sup> : 425γ (E1) to (7 <sup>+</sup> ) state. Band assignment.
1932.7 <sup>g</sup> 3	(8 <sup>+</sup> )	D		J <sup>π</sup> : 934.8γ E0+E2(+M1) to 8 <sup>+</sup> state.
1944.48 <sup>k</sup> 16	(6 <sup>+</sup> )	D	L	XREF: L(1938). J <sup>π</sup> : 1347.4γ (M1+E2) to 6 <sup>+</sup> state. Band assignment.
1949.71 5		A	J	
1958.18 5	2 <sup>-</sup>	A	J L	J <sup>π</sup> : 236γ M1(+E2) to 1 <sup>-</sup> state, 644.9γ M1 to 3 <sup>-</sup> state. Possible member of a K <sup>π</sup> =2 <sup>-</sup> -band.
1964.2 3	(5,6,7) <sup>-</sup>	D	J L	J <sup>π</sup> : 311γ M1 to (6) <sup>-</sup> state.
1977.0? 6		D		
1978.0 10	(1) <sup>e</sup>		N	
1984 3	(6 <sup>+</sup> )		L	J <sup>π</sup> : From theoretical and experimental cross section comparison and rotational structure in (d,t).
1992.70 <sup>h</sup> 10	(8) <sup>-#</sup>	D		J <sup>π</sup> : 339.6γ E2 to (6) <sup>-</sup> state.
2014.27 <sup>r</sup> 13	(9) <sup>-</sup>	DE	K	J <sup>π</sup> : 229γ (M1) to (9) <sup>-</sup> state.
2023.92 21	( <sup>+</sup> )	D	L	XREF: L(2018). J <sup>π</sup> : 1427γ (M1+E2) to 6 <sup>+</sup> state.
2031.05 <sup>q</sup> 12	10 <sup>-</sup>	DE		J <sup>π</sup> : 246γ (M1) to (9) <sup>-</sup> state.
2034.66 <sup>f</sup> 13	(12 <sup>+</sup> )	DE H	O	J <sup>π</sup> : Band assignment.
2044.78 6	(1 <sup>+</sup> )	A	J N	J <sup>π</sup> : 1956.5γ (M1,E2) to 2 <sup>+</sup> state, 2045γ (M1,E2) to 0 <sup>+</sup> state.
2048.48 8	(2,3,4) <sup>-</sup>	D	J	J <sup>π</sup> : 337γ (M1+E2) to (3 <sup>-</sup> ) state.
2066.25 7	(1,2,3) <sup>+</sup>	A	J	XREF: J(2069 ). J <sup>π</sup> : 1978γ (M1,E2) to 2 <sup>+</sup> state.
2085.68 <sup>t</sup> 10	(9 <sup>-</sup> )	D		J <sup>π</sup> : Band assignment.
2085.83 20	(5,6,7) <sup>+</sup>	D	J	XREF: D(2086.01)J(2089 ). J <sup>π</sup> : 1489γ M1+E2 to 6 <sup>+</sup> state.
2096.8 5	(5,6,7) <sup>+</sup>	D	J L	XREF: J(2089). J <sup>π</sup> : 1500γ (M1) to 6 <sup>+</sup> state.
2106.5 <sup>i</sup> 5	(7) <sup>+</sup>	D	L	J <sup>π</sup> : Band assignment.
2112.89 <sup>s</sup> 20	(8 <sup>+</sup> ) <sup>a</sup>	D		J <sup>π</sup> : Band assignment.
2116.8 <sup>k</sup> 3	(7 <sup>+</sup> )	D		J <sup>π</sup> : Band assignment.
2136.42 <sup>h</sup> 24	(9) <sup>-#</sup>	D	J 1	XREF: l(2142). J <sup>π</sup> : 1139.4γ E1 to 8 <sup>+</sup> state, 655.3γ to (10) <sup>+</sup> state.
2147.62 11	(10 <sup>+</sup> )	D	1	XREF: l(2142). J <sup>π</sup> : 233.5γ (M1+E2) to (9 <sup>+</sup> ) state.
2160.5 6		D		
2172.9? 6		D		
2173.8 8	(7 <sup>+</sup> )	D	1	XREF: l(2175). J <sup>π</sup> : From theoretical and experimental cross section comparison and rotational structure in (d,t).
2194.02 <sup>r</sup> 20	(10 <sup>-</sup> )	DE	K	J <sup>π</sup> : 409γ (M1) to (9) <sup>-</sup> state.
2258.7 5	(6 <sup>-</sup> , 7 <sup>-</sup> , 8 <sup>-</sup> )	D		J <sup>π</sup> : 460.7γ to (7) <sup>-</sup> state.
2261.55 <sup>t</sup> 12	(10 <sup>-</sup> )	D		J <sup>π</sup> : 330γ (E2) to (8 <sup>-</sup> ) state. Band assignment.
2265.27 5	(2) <sup>-</sup>	A D		J <sup>π</sup> : 924γ E1 to 2 <sup>+</sup> state, 543γ to 1 <sup>-</sup> , 861γ to (4) <sup>-</sup> state.
2280.83 10	(2) <sup>e</sup>	A	J L N	XREF: J(2286).
2284.8 <sup>i</sup> 5	(8 <sup>+</sup> )	D		J <sup>π</sup> : Band assignment.
2293.85 <sup>q</sup> 14	11 <sup>-</sup>	DE		J <sup>π</sup> : 263γ (M1) to 10 <sup>-</sup> state. Band assignment.
2294.8 <sup>g</sup> 3	(10) <sup>+</sup>	D		XREF: D(2295.0).

Continued on next page (footnotes at end of table)



**Adopted Levels, Gammas (continued)** $^{176}\text{Hf}$  Levels (continued)

E(level) <sup>†</sup>	J <sup>π</sup> <sup>‡</sup>	T <sub>1/2</sub>	XREF			Comments
2304.7 <sup>k</sup> 8	(8 <sup>+</sup> )		D			J <sup>π</sup> : 813.8γ E0+E2(+M1) to (10) <sup>+</sup> state.
2307.76 6			A	J		Band assignment.
2308.34 5	1 <sup>-</sup> , 2 <sup>-</sup> , 3 <sup>-</sup>		A			XREF: J(2304).
2318.7 <sup>s</sup> 5	(9 <sup>+</sup> ) <sup>a</sup>		D			J <sup>π</sup> : 350γ M1(+E2) to 2 <sup>-</sup> state.
2361.0 10	(1) <sup>e</sup>		D	J	N	J <sup>π</sup> : Band assignment.
2389 10				J		XREF: J(2348).
2398.97 13	(11 <sup>+</sup> )		D			E(level): possible doublet in (p,t).
2399.01 <sup>r</sup> 19	(11 <sup>-</sup> )		DE			XREF: D(2399.03).
2405.35 7	1 <sup>e</sup>		A		N	XREF: D(2399.06).
2415 10				J		
2432.34 7	-		A	D		J <sup>π</sup> : 508γ M1 to (2,3) <sup>-</sup> state.
2446.9 6				D	j	XREF: j(2448).
2452.47 10			A		j	XREF: j(2448).
2470.84 5	2 <sup>-</sup>		A			J <sup>π</sup> : 1223γ E2+M1+E0 to 2 <sup>-</sup> state.
2482.87 6	(1) <sup>e</sup>		A		N	XREF: N(2484).
2514.0 7	1 <sup>(+)</sup> <sup>e</sup>				N	
2530.0 7	1 <sup>e</sup>				N	
2540.9 <sup>s</sup> 5	(10 <sup>+</sup> ) <sup>a</sup>		D			J <sup>π</sup> : Band assignment.
2548.0 7	1 <sup>e</sup>				N	
2563.54 <sup>q</sup> 22	12 <sup>-</sup>		DE			XREF: D(2563.60 ).
2568.45 22			D			J <sup>π</sup> : Band assignment.
2602.16 9			A			
2638.1 <sup>r</sup> 5	(12 <sup>-</sup> )		DE			J <sup>π</sup> : Band assignment.
2646.6 <sup>f</sup> 4	(14 <sup>+</sup> )		DE	H		J <sup>π</sup> : Band assignment.
2690.0 7	1 <sup>e</sup>				N	
2722.0 7	1 <sup>(+)</sup> <sup>e</sup>				N	
2762.51 8			A			
2791.62 7			A			
2817.55 5	(2) <sup>+</sup>		A			J <sup>π</sup> : 1476γ E2 to 2 <sup>+</sup> state, log ft=6.4 from $^{176}\text{Ta}$ (J <sup>π</sup> =1 <sup>-</sup> ).
2827.0 <sup>q</sup> 5	13 <sup>-</sup>		DE			J <sup>π</sup> : Band assignment.
2831.0 10	1 <sup>e</sup>				N	
2865.8 <sup>u</sup> 7	14 <sup>-c</sup>	401 μs 6	E		P	J <sup>π</sup> : Band assignment. 38.7γ (M1) to 13 <sup>-</sup> state.
2878.21 7			A			T <sub>1/2</sub> : from (α,4nγ) (1975Kh04).
2885.52 7	1 <sup>(+)</sup> <sup>e</sup>		A		N	
2905.67 7			A			
2912.26 <sup>o</sup> 6	(0) <sup>-</sup> &		A			J <sup>π</sup> : 1190γ M1 to 1 <sup>-</sup> state.
2920.26 <sup>o</sup> 7	1 <sup>-</sup> &		A			J <sup>π</sup> : 2920γ E1 to 0 <sup>+</sup> state.
2921.03 8	1 <sup>+</sup> , 2 <sup>+</sup>		A			J <sup>π</sup> : 1580γ M1+E2 to 2 <sup>+</sup> state, log ft=5.9 from $^{176}\text{Ta}$ (J <sup>π</sup> =1 <sup>-</sup> ).
2940.0 7	1 <sup>(+)</sup> <sup>e</sup>				N	
2944.17 5	2 <sup>-</sup>		A			J <sup>π</sup> : 1630γ M1 to 3 <sup>-</sup> state, 1696γ M1 to 2 <sup>-</sup> state. log ft≤6.2 from $^{176}\text{Ta}$ (J <sup>π</sup> =1 <sup>-</sup> ) ε decay. Possible member of a K <sup>π</sup> =2 <sup>-</sup> band.
2969.07 <sup>o</sup> 6	(2 <sup>-</sup> )&		A			
2994.0 7	1 <sup>(+)</sup> <sup>e</sup>				N	
3044.0 7	1 <sup>(-)</sup> <sup>e</sup>				N	
3059.0 10	1 <sup>e</sup>				N	
3080.2 12	15 <sup>+</sup>	0.20 ns +12-8	E		P	T <sub>1/2</sub> : Measured in (α,2nγ) (1982Ko08).
						J <sup>π</sup> : 214γ E1 to 14 <sup>-</sup> . Level energy agrees with predicted

Continued on next page (footnotes at end of table)

**Adopted Levels, Gammas (continued)** $^{176}\text{Hf}$  Levels (continued)

E(level) <sup>†</sup>	J <sup>π</sup> <sup>‡</sup>	XREF		Comments
value of 3190 keV for $K^\pi=15^+$ , configuration= $((\pi\ 7/2[404])(\pi\ 9/2[514]) (\nu\ 9/2[624])(\nu\ 5/2[512]))$ ( <a href="#">1976Kh03</a> ).				
3098.0 10	(1) <sup>e</sup>		N	
3107.0 7	1 <sup>(+)</sup> <sup>e</sup>		N	
3115.0 7	1 <sup>(-)</sup> <sup>e</sup>		N	
3159.0 7	1 <sup>(+)</sup> <sup>e</sup>		N	
3160.5 <sup>u</sup> 10	15 <sup>-</sup> <sup>c</sup>	E	P	J <sup>π</sup> : Band assignment. 294.7γ (M1+E2) to 14 <sup>-</sup> state.
3200.0 10	1 <sup>e</sup>		N	
3218.0 10	1 <sup>e</sup>		N	
3222.0 7	1 <sup>(+)</sup> <sup>e</sup>		N	
3232.0 7	1 <sup>(+)</sup> <sup>e</sup>		N	
3261.0 7	1 <sup>(+)</sup> <sup>e</sup>		N	
3266.2 <sup>v</sup> 14	16 <sup>+</sup> <sup>d</sup>	E	M P	J <sup>π</sup> : L=0 in <sup>178</sup> Hf(31 y, J <sup>π</sup> =16 <sup>+</sup> )(p,t). 186.0γ M1 to (15 <sup>+</sup> ) state in (α,4nγ).
3306.0 10	(1) <sup>e</sup>		N	
3307.7 <sup>f</sup> 11	(16 <sup>+</sup> )	E		J <sup>π</sup> : 661γ E2 to (14 <sup>+</sup> ) state. Band assignment.
3322.0 10	1 <sup>e</sup>		N	
3343.0 7	1 <sup>e</sup>		N	
3361.0 7	1 <sup>(-)</sup> <sup>e</sup>		N	
3372.0 7	1 <sup>(-)</sup> <sup>e</sup>		N	
3385.0 7	1 <sup>e</sup>		N	
3406.0 10	(1) <sup>e</sup>		N	
3438.0 10	1 <sup>e</sup>		N	
3454.0 10	1 <sup>e</sup>		N	
3467.4 <sup>u</sup> 10	16 <sup>-</sup> <sup>c</sup>	E	P	J <sup>π</sup> : Band assignment.
3485.0 7	1 <sup>e</sup>		N	
3490.0 10	1 <sup>e</sup>		N	
3519.0 10	(1) <sup>e</sup>		N	
3540.1 <sup>v</sup> 16	17 <sup>+</sup> <sup>d</sup>	E	P	J <sup>π</sup> : 274γ M1+E2 to 16 <sup>+</sup> state.
3550.0 7	1 <sup>(+)</sup> <sup>e</sup>		N	
3580.0 10	(1) <sup>e</sup>		N	
3602.0 7	1 <sup>e</sup>		N	
3608.0 10	1 <sup>e</sup>		N	
3627.0 7	1 <sup>(+)</sup> <sup>e</sup>		N	
3662.0 7	1 <sup>(+)</sup> <sup>e</sup>		N	
3671.0 7	1 <sup>(+)</sup> <sup>e</sup>		N	
3689.0 10	(1) <sup>e</sup>		N	
3695.0 10	(2) <sup>e</sup>		N	
3722.0 10	(1) <sup>e</sup>		N	
3746.0 7	1 <sup>e</sup>		N	
3767.0 7	1 <sup>(+)</sup> <sup>e</sup>		N	
3774.0 10	1 <sup>e</sup>		N	
3787.1 <sup>u</sup> 12	17 <sup>-</sup> <sup>c</sup>	E	P	J <sup>π</sup> : Band assignment. 319.7γ (M1+E2) to 16 <sup>-</sup> state.
3805.0 7	1 <sup>(+)</sup> <sup>e</sup>		N	
3816.0 7	1 <sup>(+)</sup> <sup>e</sup>		N	
3824.0 10	(1) <sup>e</sup>		N	
3838.0 7	1 <sup>(-)</sup> <sup>e</sup>		N	
3844.0 10	(1) <sup>e</sup>		N	
3847.4 <sup>v</sup> 16	18 <sup>+</sup> <sup>d</sup>	E	P	J <sup>π</sup> : Band assignment. 307.2γ (M1+E2) to 17 <sup>+</sup> state.
3856.0 10	(1) <sup>e</sup>		N	
3916.0 10	(1) <sup>e</sup>		N	

Continued on next page (footnotes at end of table)

**Adopted Levels, Gammas (continued)**

$^{176}\text{Hf}$ Levels (continued)					
E(level) <sup>†</sup>	$J^\pi$ <sup>‡</sup>	$T_{1/2}$	XREF	Comments	
4010.5 <sup>f</sup> 15	(18 <sup>+</sup> )		E	$J^\pi$ : 702.8 $\gamma$ E2 to (16 <sup>+</sup> ) state. Band assignment.	
4120.3 <sup>u</sup> 14	18 <sup>-c</sup>		E	$J^\pi$ : Band assignment. 333.2 $\gamma$ (M1+E2) to 17 <sup>-</sup> state.	P
4179.3 <sup>v</sup> 17	19 <sup>+</sup> <sup>d</sup>		E	$J^\pi$ : 331.8 $\gamma$ (M1+E2) to 18 <sup>+</sup> state. Band assignment.	P
4376.6 16	(19) <sup>+</sup>	34 ns	E	$T_{1/2}$ : From ( $\alpha$ ,4n $\gamma$ ) (1976Kh03). E(level): $K^\pi=19^+$ in ( $^{48}\text{Ca}$ ,2n $\gamma$ ) [2001Ch89]. $J^\pi$ : 529.1 $\gamma$ (M1) to (18) <sup>+</sup> state. $T_{1/2}=34$ ns suggests K forbiddenness. Possible $K^\pi=19^+$ six-quasiparticle configuration= $((\pi 7/2[404])(\pi 9/2[514])(\nu 7/2[514])(\nu 9/2[624])(\nu 5/2[512])(\nu 1/2[521]))$ is predicted at $\approx 4600$ keV (1976Kh03).	P
4466.6 <sup>u</sup> 16	(19 <sup>-</sup> ) <sup>c</sup>		E	$J^\pi$ : Band assignment.	P
4532.2 <sup>v</sup> 20	20 <sup>+</sup> <sup>d</sup>		E	$J^\pi$ : Band assignment.	P
4766.4 16	(20) <sup>-</sup>		E	E(level): $K^\pi=20^-$ in ( $^{48}\text{Ca}$ ,2n $\gamma$ ) [2001Ch89]. $J^\pi$ : 389.8 $\gamma$ E1 decay through 4376.7 ( $J^\pi=K^\pi=(19)^+$ ) level, instead of through the energetically favored 4179.4 ( $J^\pi=(19)^+$ , $K^\pi=16^+$ ) level, is consistent with a $K^\pi=(20)^-$ assignment. A possible $K^\pi=20^-$ six-quasiparticle configuration= $((\pi 7/2[404])(\pi 9/2[514])(\nu 7/2[514])(\nu 9/2[624])(\nu 7/2[633])(\nu 1/2[521]))$ is predicted at $\approx 5000$ keV (1976Kh03).	P
4826.4 <sup>u</sup> 15	(20 <sup>-</sup> ) <sup>c</sup>		E	$J^\pi$ : Band assignment.	P
4863.5 16	(22) <sup>-</sup>	43 $\mu$ s	E	$T_{1/2}$ : from ( $\alpha$ ,4n $\gamma$ ) (1976Kh03). E(level): $K^\pi=22^-$ in ( $^{48}\text{Ca}$ ,2n $\gamma$ ) [2001Ch89]. $J^\pi$ : 97.1 $\gamma$ E2 to (20) <sup>-</sup> . Possible $K^\pi=22^-$ six-quasiparticle configuration= $((\pi 7/2[404])(\pi 9/2[514])(\nu 7/2[514])(\nu 9/2[624])(\nu 7/2[633])(\nu 5/2[512]))$ . $T_{1/2}=43$ $\mu$ s may be explained in terms of the 97-keV $\nu 5/2[512]$ to $\nu 1/2[521]$ single-particle E2 transition, which has been observed to be slow in neighboring odd-A hafnium nuclei.	P

<sup>†</sup> Deduced by evaluator from a least-squares fit to adopted  $\gamma$ -ray energies.

<sup>‡</sup> J, K, and  $\pi$  assignments are mostly based on rotational band structure, and on  $\gamma$ -ray multipolarities and decay patterns. This includes comparisons of experimental branching ratios with theoretical values predicted by Alaga rules. Specific arguments, as well as quasiparticle configuration assignments, are given with individual levels.

<sup>#</sup> Member of a  $K^\pi=2^-$  octupole-vibrational band. Assignment was based on a comparison between experimental and theoretical B(E1) values for the transitions to the g.s. ( $K^\pi=0^+$ ) rotational band (1973Kh03).

<sup>@</sup> Assignment based on a comparison between experimental and theoretical cross sections in  $^{177}\text{Hf}(\text{d},\text{t})$ .

<sup>&</sup> Assignment agrees with Alaga rules for log  $ft$  values from  $^{176}\text{Ta}$   $\varepsilon$  decay to the  $J^\pi=0, 1$ , and 2 members of this band.

<sup>a</sup> Intraband transitions between the bands built on 1333 keV and 1761 keV suggest configuration mixing. The following admixtures were deduced from particle transfer reactions and  $\gamma$ -ray decay rates: 61% proton configuration and 39% neutron configuration for the band built on 1333 keV; 39% proton configuration and 61% neutron configuration for the band built on 1761 keV.

<sup>b</sup>  $J^\pi=6^+$  and  $8^-$  for the 1333- and 1559-keV levels, respectively, are based on ( $^3\text{He}$ ,d) transfers of L=2 for the 1333-keV level, and L=5,(4) for the 1559-keV level, and on the 226 $\gamma$  M2 between these levels.

<sup>c</sup> Deduced intrinsic g-factor of 0.57 4 agrees with configuration assignment (1976Kh03).

<sup>d</sup> Deduced intrinsic g-factor of 0.54 5 agrees with configuration assignment (1976Kh03). Members of this band up to J=20 become yrast.

<sup>e</sup> From angular distribution in  $^{176}\text{Hf}(\gamma,\gamma')$ .

<sup>f</sup> Band(A):  $K^\pi=0^+$  g.s. rotational band. Rotational parameters: A=14.4, B=-8.7. Spin members of the band used in the fit: 0 to 14.

<sup>g</sup> Band(B):  $K^\pi=0^+$   $\beta$ -vibrational band. Rotational parameters: A=11.8, B=-13.5. Spin members of the band used in the fit: 0 to 10.

<sup>h</sup> Band(C):  $K^\pi=2^-$  octupole-vibrational band.

<sup>i</sup> Band(D):  $K^\pi=2^+$  mixed  $\gamma$ -vibrational band.

<sup>j</sup> Band(E):  $K^\pi=0^+$  band. Rotational parameters: A=14.1, B=40.7. Spin members of the band used in the fit: 0 to 4.

<sup>k</sup> Band(F):  $K^\pi=(3^+)$  band. Rotational parameters: A=12.5, B=-4.6. Spin members of the band used in the fit: 3 to 8.

Continued on next page (footnotes at end of table)

**Adopted Levels, Gammas (continued)** $^{176}\text{Hf}$  Levels (continued)

- <sup>l</sup> Band(G):  $K^\pi=(0^-)$  band: Possible configuration= $\nu 7/2[633]-\nu 7/2[514]$  93% wave function (2005Gr21).
- <sup>m</sup> Band(H):  $K^\pi=1^+$  band.
- <sup>n</sup> Band(I):  $K^\pi=(1^+)$  band.
- <sup>o</sup> Band(J):  $K^\pi=(0^-)$  band: Possible Configuration= $(\pi 7/2[404]-\nu 5/2[512])-(\pi 9/2[514]-\nu 7/2[514])$  (2005Gr21).
- <sup>p</sup> Band(K):  $K^\pi=6^+$  band. configuration= $61\%((p, 7/2[404])(p, 5/2[402])+39\%(n, 7/2[514])(n, 5/2[512]))$ . Rotational parameters: A=12.9, B=-6.3. Spin members of the band used in the fit: 6 to 11.
- <sup>q</sup> Band(L):  $K^\pi=8^-$  Coriolis-mixed band. configuration= $98-38\%((p, 7/2[404])(p, 9/2[514])+2-62\%(n, 7/2[514])(n, 9/2[624]))$ . Rotational parameters: A=15.1, B=-13.8. Spin members of the band used in the fit: 8 to 13.
- <sup>r</sup> Band(M):  $K^\pi=7^-, 8^-$  Coriolis-mixed band. Configuration= $((\pi 7/2[404])(\pi 9/2[514])+(\nu 7/2[514])(\nu 7/2[633])+(\nu 7/2[514])(\nu 9/2[624]))$ . 20-50% mixture of the  $K^\pi=7^-$  mixture to  $K^\pi=8^-$ . Rotational parameters: A=6.8, B=10.7. Spin members of the band used in the fit: 8 to 12.
- <sup>s</sup> Band(N):  $K^\pi=6^+$  band. configuration= $39\%((p, 7/2[404])(p, 5/2[402])+61\%(n, 7/2[514])(n, 5/2[512]))$ . Rotational parameters: A=12.4, B=-5.8. Spin members of the band used in the fit: 6 to 9.
- <sup>t</sup> Band(O):  $K^\pi=6^-, 7^-$  band. Configuration= $((\nu 7/2[633])(\nu 5/2[512])+(\nu 9/2[624])(\nu 5/2[512]))$ . Rotational parameters: A=7.1, B=9.5. Spin members of the band used in the fit: 7 to 9.
- <sup>u</sup> Band(P):  $K^\pi=(14^-)$  band. Configuration= $((\pi 7/2[404])(\pi 9/2[514])(\nu 7/2[514])(\nu 5/2[512]))$ .
- <sup>v</sup> Band(Q):  $K^\pi=(16^+)$  band. Configuration= $((\pi 7/2[404])(\pi 9/2[514])(\nu 7/2[514])(\nu 9/2[624]))$ .

Adopted Levels, Gammas (continued)

$\gamma(^{176}\text{Hf})$										
$E_i(\text{level})$	$J_i^\pi$	$E_\gamma$	$I_\gamma$	$E_f$	$J_f^\pi$	Mult.	$\delta^k$	$\alpha^i$	$I_{(\gamma+ce)}$	Comments
88.349	2 <sup>+</sup>	88.34 $\frac{+}{-}$ 3	100	0.0	0 <sup>+</sup>	E2 $\frac{f}{g}$		5.86		B(E2)(W.u.)=183 7
290.18	4 <sup>+</sup>	201.83 $\frac{+}{-}$ 3	100	88.349	2 <sup>+</sup>	E2 $\frac{f}{g}$		0.282		
596.82	6 <sup>+</sup>	306.78 $\frac{+}{-}$ 4	100	290.18	4 <sup>+</sup>	E2 $\frac{g}{f}$		0.0747		
997.73	8 <sup>+</sup>	400.99 $\frac{+}{-}$ 4	100	596.82	6 <sup>+</sup>	E2 $\frac{g}{f}$		0.0347		
1149.94	0 <sup>+</sup>	1061.61 $\frac{+}{-}$ 9	100	88.349	2 <sup>+</sup>	E2 $\frac{f}{g}$				
		1150.00 $\frac{+}{-}$ 10		0.0	0 <sup>+</sup>	E0 $\frac{f}{g}$			0.9 2	$I_\gamma$ : not reported.
1226.63	2 <sup>+</sup>	936.41 $\frac{+}{-}$ 8	82 7	290.18	4 <sup>+</sup>	E2 $\frac{f}{g}$				B(E2)(W.u.)=5.7 10
		1138.26 $\frac{+}{-}$ 8	100 8	88.349	2 <sup>+</sup>	E0+E2 $\frac{f}{g}$		$\approx 0.037$		$\alpha$ : experimental value from $^{176}\text{Ta}$ $\varepsilon$ decay.
		1226.89 $\frac{+}{-}$ 24	54 7	0.0	0 <sup>+</sup>	(E2) $\frac{g}{f}$				B(E2)(W.u.)=0.98 19
1247.70	2 <sup>-</sup>	957.40 $\frac{+}{-}$ 8	2.31 18	290.18	4 <sup>+</sup>	M2+E3 $\frac{f}{g}$	$\geq 1.87$	0.0115 16		B(M2)(W.u.)<0.0014; B(E3)(W.u.)>2.9 $\delta$ : from 1972Lo03. Additional information 1.
		1159.28 $\frac{+}{-}$ 9	100 8	88.349	2 <sup>+</sup>	E1+M2+E3 $\frac{f}{g}$		0.0034		B(E1)(W.u.)=2.01 $\times 10^{-8}$ 16; B(M2)(W.u.)=0.0088 19; B(E3)(W.u.)=9.6 20
		1247.68 $\frac{+}{-}$ 15	1.86 20	0.0	0 <sup>+</sup>	M2 $\frac{f}{g}$		0.0119		$\alpha$ : experimental value from $^{176}\text{Ta}$ $\varepsilon$ decay. Mult.: $\delta(\text{M2/E1})=0.36$ 5, $\delta(\text{E3/E1})=0.53$ 7 (1972Lo03). B(M2)(W.u.)=0.00124 17 $\Delta J=0,1$ transitions from members of the octupole band ( $K^\pi=2^-$ ) to those of the g.s. rotational band ( $K^\pi=0^+$ ) are expected to have a significant E3 multipolarity component (1972Lo03).
1293.12	0 <sup>+</sup>	1204.85 $\frac{+}{-}$ 10	100 8	88.349	2 <sup>+</sup>					
		1292.9 $\frac{+}{-}$ 3		0.0	0 <sup>+</sup>	E0 $\frac{f}{g}$			30 5	$I_\gamma$ : not reported.
1313.31	3 <sup>-</sup>	1023.05 $\frac{+}{-}$ 7	47 4	290.18	4 <sup>+</sup>	E1 $\frac{f}{g}$				
		1224.93 $\frac{+}{-}$ 7	100 8	88.349	2 <sup>+</sup>	E1 $\frac{f}{g}$				
1333.07	6 <sup>+</sup>	736.20 $\frac{+}{-}$ 7	100 $\frac{f}{g}$	596.82	6 <sup>+</sup>	E2 $\frac{g}{f}$				B(E2)(W.u.)=2.82 $\times 10^{-6}$ 9
		1043.0 $\frac{+}{-}$ 1	64 $\frac{f}{g}$	290.18	4 <sup>+</sup>	E2 $\frac{g}{f}$				B(E2)(W.u.)=3.16 $\times 10^{-7}$ 10
1341.31	2 <sup>+</sup>	1051.03 $\frac{+}{-}$ 11	3.2 3	290.18	4 <sup>+</sup>					
		1252.87 $\frac{+}{-}$ 10	93 7	88.349	2 <sup>+</sup>	M1+E2 $\frac{f}{g}$				$I_\gamma$ : From $(\gamma, \gamma')$ , 95 in $\varepsilon$ decay.
		1341.33 $\frac{+}{-}$ 10	100 8	0.0	0 <sup>+</sup>	E2 $\frac{f}{g}$				B(E2)(W.u.)=3.9 6 Mult.: ce data allow some M1 admixture, but level scheme requires pure E2.
1379.38	2 <sup>+</sup>	1089.06 10	14.8 12	290.18	4 <sup>+</sup>					
		1290.97 $\frac{+}{-}$ 9	100 8	88.349	2 <sup>+</sup>	(E2+E0) $\frac{f}{g}$		0.022		$\alpha$ : experimental value from $^{176}\text{Ta}$ $\varepsilon$ decay.
		1379.29 15	4.0 12	0.0	0 <sup>+</sup>					
1390.19	4 <sup>+</sup>	793.5 $\frac{+}{-}$ 3	36 $\frac{f}{g}$	596.82	6 <sup>+</sup>					

**Adopted Levels, Gammas (continued)** $\gamma(^{176}\text{Hf})$  (continued)

$E_i(\text{level})$	$J_i^\pi$	$E_\gamma^\dagger$	$I_\gamma^\dagger$	$E_f$	$J_f^\pi$	Mult.	$\alpha^i$	Comments
1390.19	4 <sup>+</sup>	1099.9 $\& 3$ 1301.8 3	100 $\&$ 81	290.18 88.349	4 <sup>+</sup> 2 <sup>+</sup>	E0+E2(+M1) $^g$ (E2) $^g$	$\approx 0.03$	$\alpha$ : experimental value from $^{174}\text{Yb}(\alpha, 2n\gamma)$ .
1404.56	4 <sup>-</sup>	91.19 $\ddagger 25$ 156.83 $\ddagger 3$	17 1 100 8	1313.31 1247.70	3 <sup>-</sup> 2 <sup>-</sup>	E2(+M1) $^f$ E2 $^f$	5.27 11 0.671	
1412.93		1114.2 $m\ddagger 1$ 1122.80 9	85 $m 7$ 100 16	290.18 290.18	4 <sup>+</sup> 4 <sup>+</sup>	E1 $^g$		$I_\gamma$ : from $^{174}\text{Yb}(\alpha, 2n\gamma)$ . Doublet in $^{176}\text{Ta}$ $\varepsilon$ decay.
1445.79	3 <sup>+</sup>	1412.84 $l 11$ 198.07 12	$\leq 111^l$ 1.9 4	0.0 1247.70	0 <sup>+</sup> 2 <sup>-</sup>			
		1155.52 $\ddagger 18$ 1357.52 $\ddagger 10$	32 4 100 8	290.18 88.349	4 <sup>+</sup> 2 <sup>+</sup>	M1 $^g$ M1+E2 $^g$		
1481.06	10 <sup>+</sup>	483.33 $@ 5$	100	997.73	8 <sup>+</sup>	E2 $^g$	0.0212	
1505.81	7 <sup>+</sup>	172.73 $@ 4$	100	1333.07	6 <sup>+</sup>	(M1+E2) $^g$	0.67 20	
1508.61	5 <sup>-</sup>	196.0 $\& 5$ 911.8 $\& 3$ 1218.4 $\& 1$	$\approx 4\&$ 36 $\&$ 100 $\&$	1313.31 596.82 290.18	3 <sup>-</sup> 6 <sup>+</sup> 4 <sup>+</sup>	E1 $^g$		
1532.6		935.8 $@ 5$	100	596.82	6 <sup>+</sup>			
1540.3	(4 <sup>+</sup> )	1250.1 $@ 4$	100	290.18	4 <sup>+</sup>	(M1+E2) $^g$		
1559.31	8 <sup>-</sup>	53.49 $\& 7$ 226.25 $\& 6$	100 $\&$ 31 $\& 6$	1505.81 1333.07	7 <sup>+</sup> 6 <sup>+</sup>	(E1) $^g$ M2 $^g$		B(E1)(W.u.)= $6.2 \times 10^{-8}$ 5 B(M2)(W.u.)=0.023 5
1577.61	(3 <sup>+</sup> )	173.00 7 264.08 $\ddagger 24$ 1287.38 $m 12$	2.1 3 10.4 8 13 $me 1$	1404.56 1313.31 290.18	4 <sup>-</sup> 3 <sup>-</sup> 4 <sup>+</sup>		1.99	
		1489.30 $\ddagger 10$	100 8	88.349	2 <sup>+</sup>	(E2) $^f$		
1591.51	(4 <sup>+</sup> )	1301.2 $\ddagger 5$	100	290.18	4 <sup>+</sup>	(E2) $^g$		
1609.3		611.4 $@n 4$	100	997.73	8 <sup>+</sup>			
1628.55	6 <sup>+</sup>	238.36 $\& 7$ 630.7 $\& 3$ 1031.7 $\& 3$	18 $\&$ 11.1 $\&$ 78 $\&$	1390.19 997.73 596.82	4 <sup>+</sup> 8 <sup>+</sup> 6 <sup>+</sup>			
		1338.6 $\& 4$	100 $\&$	290.18	4 <sup>+</sup>	E0+E2(+M1) $^g$ (E2) $^g$	0.04	$\alpha$ : experimental value from $^{174}\text{Yb}(\alpha, 2n\gamma)$ .
1643.43	1 <sup>-</sup>	1555.08 $\ddagger 13$ 1643.43 $\ddagger 10$	100 8 59 5	88.349 0.0	2 <sup>+</sup> 0 <sup>+</sup>	E1 $^f$ E1 $^f$		$I_\gamma$ : 68.6 in $(\gamma, \gamma')$ deduced from $R_{\text{exp}}$ .
1653.11	(6 <sup>-</sup> )	144.45 $\& 7$ 248.58 $\& 4$ 1055.8 $\& 5$	4.5 $\&$ 100 $\&$ 8.1 $\&$	1508.61 1404.56 596.82	5 <sup>-</sup> 4 <sup>-</sup> 6 <sup>+</sup>	E2 $^g$	0.143	

Adopted Levels, Gammas (continued)

$\gamma(^{176}\text{Hf})$ (continued)								
$E_i(\text{level})$	$J_i^\pi$	$E_\gamma^\dagger$	$I_\gamma^\dagger$	$E_f$	$J_f^\pi$	Mult.	$\alpha^i$	Comments
1672.34	(1) <sup>+</sup>	292.88 10	0.75 7	1379.38	2 <sup>+</sup>			
		424.48 15	0.94 10	1247.70	2 <sup>-</sup>			
		445.52 <sup><i>l</i></sup> 8	$\leq 1.0$ <sup><i>l</i></sup>	1226.63	2 <sup>+</sup>			
		1584.02 10	100 8	88.349	2 <sup>+</sup>	M1+E2 <sup><i>f</i></sup>		
		1672.32 12	22.5 18	0.0	0 <sup>+</sup>			
1675.96	(4) <sup>+</sup>	271.8 <sup><i>&amp;</i></sup> 3	4.3 <sup><i>&amp;</i></sup>	1404.56	4 <sup>-</sup>			
		1385.7 <sup><i>&amp;</i></sup> 3	100 <sup><i>&amp;</i></sup>	290.18	4 <sup>+</sup>	(E2) <sup><i>g</i></sup>		Mult.: measured (E1,E2) multipolarity. Level scheme requires (E2).
		1588.3 <sup><i>&amp;</i></sup> 5	28 <sup><i>&amp;</i></sup>	88.349	2 <sup>+</sup>			
1692.0	(2) <sup>+</sup>	1692 <sup><i>#</i></sup>	100	0.0	0 <sup>+</sup>			
1699.92	(8) <sup>+</sup>	194.09 <sup><i>&amp;</i></sup> 4	100 <sup><i>&amp;</i></sup>	1505.81	7 <sup>+</sup>	(M1) <sup><i>g</i></sup>	0.629	
		366.87 <sup><i>&amp;</i></sup> 5	50 <sup><i>&amp;</i></sup>	1333.07	6 <sup>+</sup>			
1704.60	(2) <sup>+</sup>	1616.18 10	92 7	88.349	2 <sup>+</sup>	(M1) <sup><i>f</i></sup>		
		1704.70 12	100 8	0.0	0 <sup>+</sup>	(E2) <sup><i>f</i></sup>		
1710.44	(3) <sup>-</sup>	118.93 2	2.6 5	1591.51	(4) <sup>+</sup>			
		1420.04 10	100 8	290.18	4 <sup>+</sup>	(E1) <sup><i>g</i></sup>		
		1621.87 <sup><i>m</i></sup> 10	80 <sup><i>m</i></sup> 21	88.349	2 <sup>+</sup>			
1722.05	1 <sup>-</sup>	428.85 20	0.44 7	1293.12	0 <sup>+</sup>			
		1633.74 10	89.6 7	88.349	2 <sup>+</sup>	E1 <sup><i>f</i></sup>		
		1722.04 13	100 8	0.0	0 <sup>+</sup>	E1 <sup><i>f</i></sup>		
1727.80	(5) <sup>+</sup>	1130.4 <sup><i>&amp;</i></sup> 5	31 <sup><i>&amp;</i></sup>	596.82	6 <sup>+</sup>			
		1437.7 <sup><i>&amp;</i></sup> 2	100 <sup><i>&amp;</i></sup>	290.18	4 <sup>+</sup>	(M1+E2) <sup><i>g</i></sup>		Mult.: Reported as (E2) from conversion electron measurement in <sup>174</sup> Yb( $\alpha$ ,2 $\gamma$ ), level scheme requires (M1+E2). M.
1732.46	(5 <sup>+</sup> ,6 <sup>+</sup> ,7 <sup>+</sup> )	226.9 <sup><i>&amp;</i></sup> 5	13 <sup><i>&amp;</i></sup>	1505.81	7 <sup>+</sup>			
		399.38 <sup><i>&amp;</i></sup> 7	100 <sup><i>&amp;</i></sup>	1333.07	6 <sup>+</sup>	(M1) <sup><i>g</i></sup>	0.089	
1761.47	(6) <sup>+</sup>	428.40 <sup><i>@</i></sup> 7	100	1333.07	6 <sup>+</sup>	(M1) <sup><i>g</i></sup>	0.0740	
1766.89	(3,4,5) <sup>+</sup>	1476.7 <sup><i>@</i></sup> 2	100	290.18	4 <sup>+</sup>	M1+E2 <sup><i>g</i></sup>		
1767.52	2 <sup>-</sup> ,3 <sup>-</sup>	362.7 3	1.7 4	1404.56	4 <sup>-</sup>			
		388.06 20	2.55 22	1379.38	2 <sup>+</sup>			
		1679.18 11	100 8	88.349	2 <sup>+</sup>	E1 <sup><i>f</i></sup>		
1783.79	(7) <sup>-</sup>	276.4 <sup><i>&amp;</i></sup> 3	3.5 <sup><i>&amp;</i></sup>	1508.61	5 <sup>-</sup>			
		787.14 <sup><i>&amp;</i></sup> 15	25 <sup><i>&amp;</i></sup>	997.73	8 <sup>+</sup>	E1,E2 <sup><i>g</i></sup>		Mult.: level scheme requires E1.
		1188.1 <sup><i>&amp;</i></sup> 2	100 <sup><i>&amp;</i></sup>	596.82	6 <sup>+</sup>	E1 <sup><i>g</i></sup>		
1785.09	9 <sup>-</sup>	225.74 <sup><i>@</i></sup> 10	100	1559.31	8 <sup>-</sup>	(M1) <sup><i>g</i></sup>	0.414	
1786.11		1495.85 15	58 5	290.18	4 <sup>+</sup>			

Adopted Levels, Gammas (continued)									
$\gamma(^{176}\text{Hf})$ (continued)									
$E_i(\text{level})$	$J_i^\pi$	$E_\gamma^\dagger$	$I_\gamma^\dagger$	$E_f$	$J_f^\pi$	Mult.	$\delta^k$	$\alpha^i$	Comments
1786.11		1697.8 2	100 3	88.349	2 <sup>+</sup>				
1793.61		216.00 7	100 8	1577.61	(3 <sup>+</sup> )				
		414.34 15	64 5	1379.38	2 <sup>+</sup>				
		452.18 <sup><i>l</i></sup> 10	<20.5 <sup><i>l</i></sup>	1341.31	2 <sup>+</sup>				
		1503.7	≤91	290.18	4 <sup>+</sup>				
		≈1705.4	≤136	88.349	2 <sup>+</sup>				
1797.99	(7) <sup>-</sup>	464.92 <sup>@</sup> 7	100	1333.07	6 <sup>+</sup>	(E1) <sup><i>g</i></sup>			
1798.5	(5 <sup>+</sup> )	289.6 <sup>&amp;<i>n</i></sup>	5.5 <sup>&amp;</sup>	1508.61	5 <sup>-</sup>				
		1201.8 <sup>&amp;</sup> 7	20 <sup>&amp;</sup>	596.82	6 <sup>+</sup>				
		1508 <sup>&amp;</sup> 1	100 <sup>&amp;</sup>	290.18	4 <sup>+</sup>				
1815.2		1218.4 <sup>&amp;</sup> 8	100 <sup>&amp;</sup>	596.82	6 <sup>+</sup>				
		1525.0 <sup>&amp;</sup> 5	80 <sup>&amp;</sup>	290.18	4 <sup>+</sup>				
1818.92	(0) <sup>-</sup>	175.50 7	100 8	1643.43	1 <sup>-</sup>	M1 <sup><i>f</i></sup>		0.833	Measured M1(+E2) multipolarity. Level scheme requires M1.
		571.30 9	63 5	1247.70	2 <sup>-</sup>				
1830.4	5	1540.2 <sup>@<i>n</i></sup> 5	100	290.18	4 <sup>+</sup>				$E_\gamma$ : from ( $\alpha, 2n\gamma$ ).
1853.96	(3 <sup>+</sup> , 4 <sup>+</sup> , 5 <sup>+</sup> )	474.64 <sup><i>l</i></sup> 8	<18.2 <sup><i>l</i></sup>	1379.38	2 <sup>+</sup>				
		1563.53 13	41 7	290.18	4 <sup>+</sup>	(M1+E2) <sup><i>g</i></sup>			
		1765.75 15	100 8	88.349	2 <sup>+</sup>				
1856.99	(2) <sup>-</sup>	146.74 5	50 4	1710.44	(3 <sup>-</sup> )	M1(+E2) <sup><i>f</i></sup>	0.74	1.19	
		213.50 6	100 19	1643.43	1 <sup>-</sup>	M1(+E2) <sup><i>f</i></sup>	0.87	0.376	
		452.18 <sup><i>l</i></sup> 10	<5.8 <sup><i>l</i></sup>	1404.56	4 <sup>-</sup>				
		609.25 9	18 3	1247.70	2 <sup>-</sup>				
1860.08	(8) <sup>-</sup>	300.78 <sup>@</sup> 6	100	1559.31	8 <sup>-</sup>	(M1) <sup><i>g</i></sup>		0.189	
1862.0	(6 <sup>+</sup> )	1265.2 <sup>&amp;</sup> 5	75 <sup>&amp;</sup>	596.82	6 <sup>+</sup>				
		1571.6 <sup>&amp;</sup> 8	100 <sup>&amp;</sup>	290.18	4 <sup>+</sup>	(E2) <sup><i>g</i></sup>			
1862.80	1 <sup>+</sup>	158.19 7	5.7 4	1704.60	(2 <sup>+</sup> )	M1 <sup><i>f</i></sup>		1.12	
		190.36 7	10.3 8	1672.34	(1) <sup>+</sup>	M1+E2 <sup><i>f</i></sup>	0.72	0.554	
		483.28 9	0.68 8	1379.38	2 <sup>+</sup>				
		521.6 1	≈61	1341.31	2 <sup>+</sup>				
		569.77 11	2.8 4	1293.12	0 <sup>+</sup>				
		615.22 9	2.6 4	1247.70	2 <sup>-</sup>				
		1774.56 15	39 3	88.349	2 <sup>+</sup>	M1(+E2) <sup><i>f</i></sup>			
		1862.74 15	100 8	0.0	0 <sup>+</sup>	M1 <sup><i>f</i></sup>			Measured M1(+E2) multipolarity. Level scheme requires M1.
1866.6		462.0 <sup>@</sup> 5	100	1404.56	4 <sup>-</sup>				
1878?	(5 <sup>+</sup> , 6 <sup>+</sup> , 7 <sup>+</sup> )	1281 <sup>@<i>n</i></sup> 1	100	596.82	6 <sup>+</sup>	(M1+E2) <sup><i>g</i></sup>			
1902.28	(3 <sup>-</sup> , 4 <sup>-</sup> , 5 <sup>-</sup> )	1306.8 <sup>&amp;</sup> 2	100 <sup>&amp;</sup>	596.82	6 <sup>+</sup>	E1, E2 <sup><i>g</i></sup>			



Adopted Levels, Gammas (continued)

$\gamma(^{176}\text{Hf})$ (continued)							
$E_i(\text{level})$	$J_i^\pi$	$E_\gamma^\dagger$	$I_\gamma^\dagger$	$E_f$	$J_f^\pi$	Mult.	$\alpha^i$
1902.28	$(3^-, 4^-, 5^-)$ $2^+$	1614.2 $\&n$ 3	77 $\&$	290.18	$4^+$	(E1) $\&$	
1912.02		125.4 $10$	$\leq 4.8$	1786.11			
		207.5	$\leq 1.8$	1704.60	$(2^+)$		
		239.62 $6$	12.0 $10$	1672.34	$(1)^+$	M1 $f$	0.352
		466.16 $7$	24.7 $20$	1445.79	$3^+$	M1 $f$	0.0593
		532.54 $11$	5.4 $8$	1379.38	$2^+$		
		570.76 $l$ $10$	$<10$ $l$	1341.31	$2^+$		
		598.6 $2$	0.55 $10$	1313.31	$3^-$		
		685.55 $8$	2.64 $21$	1226.63	$2^+$	M1 $f$	0.0221
		1621.87 $m$ $10$	5 $m$ $2$	290.18	$4^+$		
		1823.70 $15$	100 $8$	88.349	$2^+$	M1 $f$	
		1911.6 $3$	0.29 $6$	0.0	$0^+$		
1914.13		214.22 $\&$ $4$	83 $\&$	1699.92	$(8^+)$	(M1+E2) $\&$	0.35 $13$
		408.3 $\&$ $2$	100 $\&$	1505.81	$7^+$		
1924.56	$(2,3)^-$	131.0 $l$ $15$	$<1.7$ $l$	1793.61			
		346.9 $2$	8.9 $7$	1577.61	$(3^+)$		
		519.7 $2$	26 $2$	1404.56	$4^-$		
		583.5 $2$	1.03 $17$	1341.31	$2^+$		
		611.16 $8$	100 $8$	1313.31	$3^-$	M1 $f$	0.0296
		677.09 $l$ $8$	$<25.2$ $l$	1247.70	$2^-$		
		1836.34 $16$	17.1 $13$	88.349	$2^+$	(E1) $f$	
1926.68		420.86 $\&$ $8$	100 $\&$	1505.81	$7^+$	(M1) $\&$	0.0775
		594 $\&$ $1$	23 $\&$	1333.07	$6^+$		
1930.78		132.80 $\&$ $7$	11.4 $\&$	1797.99	$(7)^-$		
	$(8)^+$	424.96 $\&$ $6$	100 $\&$	1505.81	$7^+$	(E1) $\&$	
1932.7		934.8 $\&$ $5$	55 $\&$	997.73	$8^+$	E0+E2(+M1) $\&$	$j$
		1335.9 $\&$ $4$	100 $\&$	596.82	$6^+$	(E2) $\&$	
1944.48	$(6^+)$	268.61 $\&$ $12$	15 $\&$	1675.96	$(4^+)$		
		1347.4 $\&$ $2$	100 $\&$	596.82	$6^+$	(M1+E2) $\&$	
1949.71		131.0 $l$ $15$	$<8.3$ $l$	1818.92	$(0)^-$		
		636.6 $l$ $1$	$<19.8$ $l$	1313.31	$3^-$		
		701.96 $9$	27.1 $22$	1247.70	$2^-$		
		723.10 $8$	50 $4$	1226.63	$2^+$		
		1861.15 $25$	100 $25$	88.349	$2^+$		
		1949.80 $17$	50 $10$	0.0	$0^+$		

Adopted Levels, Gammas (continued)									
$\gamma(^{176}\text{Hf})$ (continued)									
$E_i(\text{level})$	$J_i^\pi$	$E_\gamma$ <sup><math>\dagger</math></sup>	$I_\gamma$ <sup><math>\dagger</math></sup>	$E_f$	$J_f^\pi$	Mult.	$\delta^k$	$\alpha^i$	Comments
1958.18	2 <sup>-</sup>	236.19 7	1.5 1	1722.05	1 <sup>-</sup>	M1(+E2) <sup><i>f</i></sup>	0.87	0.281	
		380.48 20	2.4 2	1577.61	(3 <sup>+</sup> )	E1(+M2) <sup><i>f</i></sup>		0.18 18	
		512.3 2	7.4 7	1445.79	3 <sup>+</sup>				
		553.5 2	0.40 6	1404.56	4 <sup>-</sup>				
		579.08 15	1.10 9	1379.38	2 <sup>+</sup>				
		616.79 8	19 2	1341.31	2 <sup>+</sup>	E1 <sup><i>f</i></sup>			
		644.86 8	18 1	1313.31	3 <sup>-</sup>	M1 <sup><i>f</i></sup>		0.0258	
		710.50 8	100 8	1247.70	2 <sup>-</sup>	M1 <sup><i>f</i></sup>		0.0202	
		1869.78 16	1.5 1	88.349	2 <sup>+</sup>				
1964.2	(5,6,7) <sup>-</sup>	311.1 <sup>@</sup> 3	100	1653.11	(6) <sup>-</sup>	M1 <sup><i>g</i></sup>		0.173	
1977.0?		191.6 <sup>@n</sup> 5	100	1785.09	9 <sup>-</sup>				
1978.0	(1)	1978 <sup>#</sup>	100	0.0	0 <sup>+</sup>				
1992.70	(8) <sup>-</sup>	339.59 <sup>@</sup> 8	100	1653.11	(6) <sup>-</sup>	E2 <sup><i>g</i></sup>		0.0554	
2014.27	(9) <sup>-</sup>	155.0 <sup><i>l&amp;</i></sup> 5	<14 <sup><i>l&amp;</i></sup>	1860.08	(8) <sup>-</sup>				
		229.15 <sup><i>&amp;</i></sup> 7	100 <sup><i>&amp;</i></sup>	1785.09	9 <sup>-</sup>	(M1) <sup><i>g</i></sup>		0.397	
		455.1 <sup><i>&amp;</i></sup> 2	60 <sup><i>&amp;</i></sup>	1559.31	8 <sup>-</sup>				
2023.92	( <sup>+</sup> )	1427.1 <sup>@</sup> 2	100	596.82	6 <sup>+</sup>	(M1+E2) <sup><i>g</i></sup>			
2031.05	10 <sup>-</sup>	245.97 <sup><i>&amp;</i></sup> 4	100 <sup><i>&amp;</i></sup>	1785.09	9 <sup>-</sup>	(M1) <sup><i>g</i></sup>		0.327	
		471.6 <sup><i>&amp;</i></sup> 2	13 <sup><i>&amp;</i></sup>	1559.31	8 <sup>-</sup>				
2034.66	(12 <sup>+</sup> )	553.6 <sup><i>&amp;</i></sup> 1	100 <sup><i>&amp;</i></sup>	1481.06	10 <sup>+</sup>				
2044.78	(1 <sup>+</sup> )	401.44 20	1.44 16	1643.43	1 <sup>-</sup>				
		1956.48 15	64 4	88.349	2 <sup>+</sup>	(M1,E2) <sup><i>f</i></sup>			I <sub>γ</sub> : 58 7 in (γ,γ') deduced from R <sub>exp</sub> .
		2044.87 15	100 8	0.0	0 <sup>+</sup>	(M1,E2) <sup><i>f</i></sup>			
2048.48	(2,3,4) <sup>-</sup>	146.28 <sup><i>&amp;</i></sup> 5	39 <sup><i>&amp;</i></sup>	1902.28	(3 <sup>-</sup> ,4 <sup>-</sup> ,5 <sup>-</sup> )				
		265.15 <sup><i>&amp;</i></sup> 7	65 <sup><i>&amp;</i></sup>	1783.79	(7) <sup>-</sup>				
		337.23 <sup><i>&amp;</i></sup> 8	100 <sup><i>&amp;</i></sup>	1710.44	(3 <sup>-</sup> )	(M1+E2) <sup><i>g</i></sup>		0.10 5	
2066.25	(1,2,3) <sup>+</sup>	361.76 20	3.9 6	1704.60	(2 <sup>+</sup> )				
		474.64 <sup><i>l</i></sup> 8	10.0 <sup><i>l</i></sup> 6	1591.51	(4 <sup>+</sup> )				
		1977.85 15	100 6	88.349	2 <sup>+</sup>	(M1,E2) <sup><i>f</i></sup>			
		2066.28 16	≤8.1	0.0	0 <sup>+</sup>				
2085.68	(9 <sup>-</sup> )	155.0 <sup><i>l&amp;</i></sup> 5	≤91 <sup><i>l&amp;</i></sup>	1930.78	(8 <sup>-</sup> )				
		287.69 <sup><i>&amp;</i></sup> 2	≤182 <sup><i>&amp;</i></sup>	1797.99	(7) <sup>-</sup>				
		386.3 <sup><i>&amp;</i></sup> 6	100 <sup><i>&amp;</i></sup>	1699.92	(8 <sup>+</sup> )				
2085.83	(5,6,7) <sup>+</sup>	1088.1 <sup><i>&amp;</i></sup> 2	45 <sup><i>&amp;</i></sup>	997.73	8 <sup>+</sup>				

Adopted Levels, Gammas (continued)

$\gamma(^{176}\text{Hf})$ (continued)								
$E_i(\text{level})$	$J_i^\pi$	$E_\gamma^\dagger$	$I_\gamma^\dagger$	$E_f$	$J_f^\pi$	Mult.	$\alpha^i$	Comments
2085.83	(5,6,7) <sup>+</sup>	1489.0& 5	100&	596.82	6 <sup>+</sup>	M1+E2 <sup>g</sup>		
2096.8	(5,6,7) <sup>+</sup>	1100& 1	30&	997.73	8 <sup>+</sup>			
		1499.8& 5	100&	596.82	6 <sup>+</sup>	(M1) <sup>g</sup>		
2106.5	(7) <sup>+</sup>	1108.7& 5	42&	997.73	8 <sup>+</sup>	<sup>g</sup>		Mult.: E1,E2 in ( $\alpha,2n\gamma$ ). Level scheme requires (M1+E2).
		1509.7& 8	100&	596.82	6 <sup>+</sup>	(M1+E2) <sup>g</sup>		
2112.89	(8 <sup>+</sup> )	412.9& 2	100&	1699.92	(8 <sup>+</sup> )			
		607.5& 5	87&	1505.81	7 <sup>+</sup>			
2116.8	(7 <sup>+</sup> )	1520.0@ 3	100	596.82	6 <sup>+</sup>			Mult.: E1 deduced in ( $\alpha,2n\gamma$ ) is not consistent with $J^\pi$ =(7 <sup>+</sup> ) for 2116.8 level.
2136.42	(9) <sup>-</sup>	352.4& 3	≈18&	1783.79	(7) <sup>-</sup>			
		655.3& 5	≈14&	1481.06	10 <sup>+</sup>			
		1139.4& 5	100& 20	997.73	8 <sup>+</sup>	E1 <sup>g</sup>		
2147.62	(10 <sup>+</sup> )	233.54& 10	40&	1914.13	(9 <sup>+</sup> )	(M1+E2) <sup>g</sup>	0.28 11	
		447.66& 9	100&	1699.92	(8 <sup>+</sup> )	(E2) <sup>g</sup>	0.0258	
2160.5		196.3@ 5	100	1964.2	(5,6,7) <sup>-</sup>			
2172.9?		667.1 <sup>n</sup> 5	100	1505.81	7 <sup>+</sup>			
2173.8	(7 <sup>+</sup> )	1577.0@ 8	100	596.82	6 <sup>+</sup>			
2194.02	(10 <sup>-</sup> )	163.0& 2	20&	2031.05	10 <sup>-</sup>	(M1+E2) <sup>g</sup>	0.81 22	
		180& 1	12.0&	2014.27	(9) <sup>-</sup>			
		334.3& 5	20&	1860.08	(8) <sup>-</sup>			
		408.7& 3	100&	1785.09	9 <sup>-</sup>	(M1) <sup>g</sup>	0.084	
2258.7	(6 <sup>-</sup> ,7 <sup>-</sup> ,8 <sup>-</sup> )	460.7@ 5	100	1797.99	(7) <sup>-</sup>	(M1) <sup>g</sup>	0.0612	
2261.55	(10 <sup>-</sup> )	330.77@ 8	100	1930.78	(8 <sup>-</sup> )	(E2) <sup>g</sup>	0.0598	
2265.27	(2) <sup>-</sup>	315.50 15	10.7 14	1949.71				
		467.4@ <sup>n</sup> 3		1797.99	(7) <sup>-</sup>			
		479.14 10	3.9 5	1786.11				
		543.18 11	10.7 7	1722.05	1 <sup>-</sup>			
		555.2 2	1.9 4	1710.44	(3 <sup>-</sup> )			
		819.49 10	34 3	1445.79	3 <sup>+</sup>			
		861 <sup>l</sup> 1	≤5.4 <sup>l</sup>	1404.56	4 <sup>-</sup>			
		923.94 8	100 7	1341.31	2 <sup>+</sup>	E1 <sup>f</sup>		
		951.86 10	9.3 14	1313.31	3 <sup>-</sup>			
		1017.58 11	15.7 21	1247.70	2 <sup>-</sup>			
2280.83	(2)	2192.33 20	100 8	88.349	2 <sup>+</sup>			$I_\gamma$ : 69 25 in ( $\gamma,\gamma'$ ) deduced from $R_{exp}$ .
		2280.6 2	79 6	0.0	0 <sup>+</sup>			

## Adopted Levels, Gammas (continued)

$\gamma(^{176}\text{Hf})$ (continued)									
$E_i(\text{level})$	$J_i^\pi$	$E_\gamma^\dagger$	$I_\gamma^\dagger$	$E_f$	$J_f^\pi$	Mult.	$\delta^k$	$\alpha^i$	Comments
2284.8	(8 <sup>+</sup> )	1287.1 <sup>m@</sup> 5	100 <sup>me</sup>	997.73	8 <sup>+</sup>				
2293.85	11 <sup>-</sup>	100 <sup>a</sup>	0.9 <sup>a</sup>	2194.02	(10 <sup>-</sup> )				
		262.78 <sup>&amp;</sup> 6	100 <sup>&amp;</sup>	2031.05	10 <sup>-</sup>	(M1) <sup>g</sup>		0.273	
		508.9 <sup>&amp;</sup> 5	39 <sup>&amp;</sup>	1785.09	9 <sup>-</sup>				
2294.8	(10) <sup>+</sup>	361.9 <sup>&amp;</sup> 8	20 <sup>&amp;</sup>	1932.7	(8) <sup>+</sup>				
		813.8 <sup>&amp;</sup> 3	60 <sup>&amp;</sup>	1481.06	10 <sup>+</sup>	E0+E2(+M1) <sup>g</sup>		<sup>j</sup>	
		1297.2 <sup>&amp;</sup> 8	100 <sup>&amp;</sup>	997.73	8 <sup>+</sup>				
2304.7	(8 <sup>+</sup> )	1307.0 <sup>@</sup> 8	100	997.73	8 <sup>+</sup>	<sup>g</sup>			Mult.: Reported (E1,E2) in ( $\alpha$ ,2n $\gamma$ ). Level scheme requires (E2).
2307.76		450.94 <sup>l3</sup>	5.7 <sup>9</sup>	1856.99	(2) <sup>-</sup>				
		540.27 <sup>l3</sup>	20 <sup>4</sup>	1767.52	2 <sup>-</sup> ,3 <sup>-</sup>				
		994.46 <sup>l</sup> <sup>l2</sup>	$\leq 18.5$ <sup>l</sup>	1313.31	3 <sup>-</sup>				
		2219.49 <sup>20</sup>	100 <sup>8</sup>	88.349	2 <sup>+</sup>				
		2307.7 <sup>2</sup>	69 <sup>6</sup>	0.0	0 <sup>+</sup>				
2308.34	1 <sup>-</sup> ,2 <sup>-</sup> ,3 <sup>-</sup>	350.18 <sup>20</sup>	63 <sup>5</sup>	1958.18	2 <sup>-</sup>	M1(+E2) <sup>f</sup>	0.56	0.108	
		358.72 <sup>20</sup>	75 <sup>6</sup>	1949.71					
		383.6 <sup>2</sup>	40 <sup>4</sup>	1924.56	(2,3) <sup>-</sup>				
		445.52 <sup>l</sup> <sup>8</sup>	$<42$ <sup>l</sup>	1862.80	1 <sup>+</sup>				
		665.01 <sup>l2</sup>	46 <sup>l3</sup>	1643.43	1 <sup>-</sup>				
		730.7 <sup>l</sup>	25 <sup>3</sup>	1577.61	(3 <sup>+</sup> )				
		967.06 <sup>9</sup>	100 <sup>l3</sup>	1341.31	2 <sup>+</sup>				
2318.7	(9 <sup>+</sup> )	404.7 <sup>&amp;</sup> <sup>6</sup>	80 <sup>&amp;</sup>	1914.13	(9 <sup>+</sup> )				
		618.5 <sup>&amp;</sup> <sup>8</sup>	100 <sup>&amp;</sup>	1699.92	(8 <sup>+</sup> )				
2361.0	(1)	2361 <sup>#@</sup>	100	0.0	0 <sup>+</sup>				
2398.97	(11 <sup>+</sup> )	251.36 <sup>&amp;</sup> <sup>l0</sup>	53 <sup>&amp;</sup>	2147.62	(10 <sup>+</sup> )				
		484.8 <sup>&amp;</sup> <sup>2</sup>	100 <sup>&amp;</sup>	1914.13	(9 <sup>+</sup> )				
2399.01	(11 <sup>-</sup> )	105.0 <sup>&amp;</sup> <sup>2</sup>	25 <sup>&amp;</sup>	2293.85	11 <sup>-</sup>				
		368.1 <sup>&amp;</sup> <sup>2</sup>	100 <sup>&amp;</sup>	2031.05	10 <sup>-</sup>				
		385.1 <sup>a</sup>	9.9 <sup>a</sup>	2014.27	(9) <sup>-</sup>				
2405.35	1	480.83 <sup>9</sup>	5.9 <sup>8</sup>	1924.56	(2,3) <sup>-</sup>				
		551.4 <sup>2</sup>	3.8 <sup>7</sup>	1853.96	(3 <sup>+</sup> ,4 <sup>+</sup> ,5 <sup>+</sup> )				
		1178.5 <sup>2</sup>	7.7 <sup>l3</sup>	1226.63	2 <sup>+</sup>				
		2317.0 <sup>2</sup>	51 <sup>4</sup>	88.349	2 <sup>+</sup>				
		2405.2 <sup>2</sup>	100 <sup>8</sup>	0.0	0 <sup>+</sup>				
2432.34	-	507.79 <sup>l5</sup>	100 <sup>8</sup>	1924.56	(2,3) <sup>-</sup>	M1 <sup>f</sup>		0.0477	
		638.83 <sup>8</sup>	13.9 <sup>l1</sup>	1793.61					

## Adopted Levels, Gammas (continued)

$\gamma(^{176}\text{Hf})$ (continued)								
$E_i(\text{level})$	$J_i^\pi$	$E_\gamma^\dagger$	$I_\gamma^\dagger$	$E_f$	$J_f^\pi$	Mult.	$\alpha^i$	Comments
2432.34	-	647.0 @ <sup>n</sup> 8		1785.09	9 <sup>-</sup>			
		1052.7 2	3.7 4	1379.38	2 <sup>+</sup>			
		1090.94 13	5.2 7	1341.31	2 <sup>+</sup>			
		1184.55 13	7.5 11	1247.70	2 <sup>-</sup>			
2446.9		1448.0 @ <sup>n</sup> 6	100	997.73	8 <sup>+</sup>			
2452.47		861.0 <sup>l</sup> 1	<104 <sup>l</sup>	1591.51	(4 <sup>+</sup> )			
		2162.1 2	100 11	290.18	4 <sup>+</sup>			
2470.84	2 <sup>-</sup>	521.3 1	8 4	1949.71				
		546.53 10	15.6 13	1924.56	(2,3) <sup>-</sup>	(M1) <sup>f</sup>	0.0395	
		677.09 <sup>l</sup> 8	<9.4 <sup>l</sup>	1793.61				
		760.4 2	0.49 8	1710.44	(3 <sup>-</sup> )			
		798.5 2	1.38 24	1672.34	(1) <sup>+</sup>			
		893.3 2	0.76 19	1577.61	(3 <sup>+</sup> )			
		1066.20 9	18.9 15	1404.56	4 <sup>-</sup>			
		1157.41 10	100 8	1313.31	3 <sup>-</sup>	M1 <sup>f</sup>		
		1222.95 10	59 5	1247.70	2 <sup>-</sup>	E2+M1+E0 <sup>f</sup>	0.042	$\alpha$ : experimental value from <sup>176</sup> Ta $\varepsilon$ decay.
2482.87	(1)	533.23 16	52 17	1949.71				
		570.76 <sup>l</sup> 10	<370 <sup>l</sup>	1912.02	2 <sup>+</sup>			
		626.1 2	13 2	1856.99	(2) <sup>-</sup>			
		664.07 10	70 9	1818.92	(0) <sup>-</sup>			
		1333.1 2	30 8	1149.94	0 <sup>+</sup>			
		2394.6 2	100 8	88.349	2 <sup>+</sup>			
		2482.8 2	70 6	0.0	0 <sup>+</sup>			
2514.0	1 <sup>(+)</sup>	2425.6 <sup>c</sup>	33 <sup>c</sup> 8	88.349	2 <sup>+</sup>			
		2514 <sup>c</sup>	100 <sup>c</sup>	0.0	0 <sup>+</sup>			
2530.0	1	2441.6 <sup>c</sup>	84 <sup>c</sup> 19	88.349	2 <sup>+</sup>			
		2530 <sup>c</sup>	100 <sup>c</sup>	0.0	0 <sup>+</sup>			
2540.9?	(10 <sup>+</sup> )	626.8 @ 5	100	1914.13	(9 <sup>+</sup> )			
2548.0	1	2459.6 <sup>c</sup>	100 <sup>c</sup> 24	88.349	2 <sup>+</sup>			$I_\gamma$ : complex.
		2548 <sup>c</sup>	88 <sup>c</sup>	0.0	0 <sup>+</sup>			
2563.54	12 <sup>-</sup>	164.3 <sup>a</sup>	16 <sup>a</sup>	2399.01	(11 <sup>-</sup> )			
		269.64 & 18	100 &	2293.85	11 <sup>-</sup>			
		369.9 <sup>a</sup>	8.5 <sup>a</sup>	2194.02	(10 <sup>-</sup> )			
		533.1 & 7	91 &	2031.05	10 <sup>-</sup>			
2568.45		537.4 & 2	100 &	2031.05	10 <sup>-</sup>			
		554.3 & 5	100 &	2014.27	(9 <sup>-</sup> )			
		783 & 1	57 &	1785.09	9 <sup>-</sup>			
2602.16		196.82 14	3.7 10	2405.35	1			

**Adopted Levels, Gammas (continued)**

$\gamma(^{176}\text{Hf})$ (continued)									
$E_i(\text{level})$	$J_i^\pi$	$E_\gamma^\dagger$	$I_\gamma^\dagger$	$E_f$	$J_f^\pi$	Mult.	$\alpha^i$	Comments	
2602.16		2513.82 20	100 8	88.349	2 <sup>+</sup>				
		2602.15 20	52 6	0.0	0 <sup>+</sup>				
2638.1	(12 <sup>-</sup> )	238.8 <sup>a</sup>	5.3 <sup>a</sup>	2399.01	(11 <sup>-</sup> )				
		344.3 <sup>@</sup> 5	100	2293.85	11 <sup>-</sup>				
		444.4 <sup>a</sup>	14.9 <sup>a</sup>	2194.02	(10 <sup>-</sup> )				
		607.1 <sup>a</sup>	18.4 <sup>a</sup>	2031.05	10 <sup>-</sup>				
2646.6	(14 <sup>+</sup> )	611.9 <sup>@</sup> 3	100	2034.66	(12 <sup>+</sup> )				
2690.0	1	2601.6 <sup>c</sup>	94 <sup>c</sup> 14	88.349	2 <sup>+</sup>				
		2690 <sup>c</sup>	100 <sup>c</sup>	0.0	0 <sup>+</sup>				
2722.0	1 <sup>(+)</sup>	2633.6 <sup>c</sup>	41 <sup>c</sup> 5	88.349	2 <sup>+</sup>				
		2722 <sup>c</sup>	100 <sup>c</sup>	0.0	0 <sup>+</sup>				
2762.51		454.63 9	9.4 15	2307.76					
		1612.63 12	94 8	1149.94	0 <sup>+</sup>				
		2674.2 2	100 8	88.349	2 <sup>+</sup>				
		2762.8 2	26 4	0.0	0 <sup>+</sup>				
2791.62		386.1 2	6.7 7	2405.35	1				
		833.5 <sup>l</sup> 1	<20.9 <sup>l</sup>	1958.18	2 <sup>-</sup>				
		841.5 2	12 3	1949.71					
		1148.3 2	12.7 22	1643.43	1 <sup>-</sup>				
		1346.08 25	19 4	1445.79	3 <sup>+</sup>				
		1450.4 1	100 8	1341.31	2 <sup>+</sup>				
		1543.73 15	70 6	1247.70	2 <sup>-</sup>				
2817.55	(2) <sup>+</sup>	960.77 12	10.0 14	1856.99	(2) <sup>-</sup>				
		1112.9 2	6.7 7	1704.60	(2 <sup>+</sup> )				
		1174.17 10	27.1 22	1643.43	1 <sup>-</sup>				
		1239.86 <sup>l</sup> 12	<15.0 <sup>l</sup>	1577.61	(3 <sup>+</sup> )				
		1371.75 12	20.0 16	1445.79	3 <sup>+</sup>				
		1412.84 <sup>l</sup> 11	<15.0 <sup>l</sup>	1404.56	4 <sup>-</sup>				
		1438.1 3	3.9 9	1379.38	2 <sup>+</sup>				
		1476.18 10	63 5	1341.31	2 <sup>+</sup>	E2 <sup>f</sup>			
		1504.24 10	100 14	1313.31	3 <sup>-</sup>				
2827.0	13 <sup>-</sup>	189.0 <sup>a</sup> calc	18.2 <sup>a</sup>	2638.1	(12 <sup>-</sup> )				
		263.4 <sup>a</sup> calc	7.2 <sup>a</sup>	2563.54	12 <sup>-</sup>				
		427.7 <sup>a</sup> calc	33 <sup>a</sup>	2399.01	(11 <sup>-</sup> )				
		533.1 <sup>a</sup> 7	100 <sup>a</sup>	2293.85	11 <sup>-</sup>				
2831.0	1	2831 <sup>#</sup>		0.0	0 <sup>+</sup>				
2865.8	14 <sup>-</sup>	38.7 <sup>a</sup>	11.4 <sup>a</sup>	2827.0	13 <sup>-</sup>	(M1) <sup>h</sup>		B(M1)(W.u.)=6.1×10 <sup>-8</sup> 6	
		227.9 <sup>a</sup>	22.2 <sup>a</sup>	2638.1	(12 <sup>-</sup> )	(E2) <sup>h</sup>	0.189	B(E2)(W.u.)=4.97×10 <sup>-6</sup> 18	

Adopted Levels, Gammas (continued)

$\gamma(^{176}\text{Hf})$ (continued)								
$E_i(\text{level})$	$J_i^\pi$	$E_\gamma^\dagger$	$I_\gamma^\dagger$	$E_f$	$J_f^\pi$	Mult.	$\alpha^i$	Comments
2865.8	14 <sup>-</sup>	302.2 <sup>a</sup>	100 <sup>a</sup>	2563.54	12 <sup>-</sup>	(E2) <sup>h</sup>	0.0781	B(E2)(W.u.)=5.33×10 <sup>-7</sup> 17
2878.21		833.5 <sup>l</sup> 1	≤18.4 <sup>l</sup>	2044.78	(1 <sup>+</sup> )			
		1021.0 5	9 4	1856.99	(2) <sup>-</sup>			
		1432.56 11	21.1 17	1445.79	3 <sup>+</sup>			
		1536.62 11	93 8	1341.31	2 <sup>+</sup>			
		1564.95 11	100 8	1313.31	3 <sup>-</sup>			
2885.52	1 <sup>(+)</sup>	577.3 1	31 3	2308.34	1 <sup>-</sup> , 2 <sup>-</sup> , 3 <sup>-</sup>			
		604.6 <sup>l</sup> 1	≤17.8 <sup>l</sup>	2280.83	(2)			
		1213.20 11	100 8	1672.34	(1) <sup>+</sup>			
		1637.60 18	56 11	1247.70	2 <sup>-</sup>			
		2797.14 20	44 4	88.349	2 <sup>+</sup>			I <sub>γ</sub> : 72 13 in (γ,γ') deduced from R <sub>exp</sub> .
		2885.55 22	74 6	0.0	0 <sup>+</sup>			
2905.67		303.55 15	32 3	2602.16				
		434.85 10	68 7	2470.84	2 <sup>-</sup>			
		839.25 11	100 15	2066.25	(1,2,3) <sup>+</sup>			
		861.0 <sup>l</sup> 1	<58 <sup>l</sup>	2044.78	(1 <sup>+</sup> )			
		981.0 3	71 27	1924.56	(2,3) <sup>-</sup>			
		2817.0 4	65 9	88.349	2 <sup>+</sup>			
		2905.7 4	31 5	0.0	0 <sup>+</sup>			
2912.26	(0) <sup>-</sup>	604.6 <sup>l</sup> 1	<0.57 <sup>l</sup>	2307.76				
		867.4 1	0.75 10	2044.78	(1 <sup>+</sup> )			
		962.74 <sup>l</sup> 14	<1.19 <sup>l</sup>	1949.71				
		1190.22 10	100 8	1722.05	1 <sup>-</sup>	M1 <sup>f</sup>		
		1239.86 <sup>l</sup> 12	<2.50 <sup>l</sup>	1672.34	(1) <sup>+</sup>			
		1268.78 10	29.3 23	1643.43	1 <sup>-</sup>	M1 <sup>f</sup>		Measured E2+M1 multipolarity. Level scheme requires M1.
		2823.6 4	1.19 24	88.349	2 <sup>+</sup>			
2920.26	1 <sup>-</sup>	1198.15 11	1.49 25	1722.05	1 <sup>-</sup>			
		1540.82 11	8.1 6	1379.38	2 <sup>+</sup>			
		1693.7 2	11.9 9	1226.63	2 <sup>+</sup>			
		2832.0 2	100 8	88.349	2 <sup>+</sup>	E1 <sup>f</sup>		
		2920.41 20	50 4	0.0	0 <sup>+</sup>	E1 <sup>f</sup>		
2921.03	1 <sup>+</sup> , 2 <sup>+</sup>	318.8 3	2.5 5	2602.16				
		962.74 <sup>l</sup> 14	≤12.0 <sup>l</sup>	1958.18	2 <sup>-</sup>			
		1064.03 12	19.3 24	1856.99	(2) <sup>-</sup>			
		1579.9 2	63 6	1341.31	2 <sup>+</sup>	M1+E2 <sup>f</sup>		
		1673.40 16	100 24	1247.70	2 <sup>-</sup>			
2940.0	1 <sup>(+)</sup>	2851.6 <sup>c</sup>	37 <sup>c</sup> 6	88.349	2 <sup>+</sup>			
		2940 <sup>c</sup>	100 <sup>c</sup>	0.0	0 <sup>+</sup>			

Adopted Levels, Gammas (continued)

$\gamma(^{176}\text{Hf})$ (continued)								
$E_i(\text{level})$	$J_i^\pi$	$E_\gamma$ <sup>†</sup>	$I_\gamma$ <sup>†</sup>	$E_f$	$J_f^\pi$	Mult.	$\alpha^i$	Comments
2944.17	2 <sup>-</sup>	461.41 8	1.28 23	2482.87	(1)			
		473.21 7	5.9 5	2470.84	2 <sup>-</sup>			
		636.6 <sup>l</sup> 1	<1.10 <sup>l</sup>	2307.76				
		678.85 8	4.4 4	2265.27	(2) <sup>-</sup>	M1 <sup>f</sup>	0.0226	
		994.46 <sup>l</sup> 12	<1.17 <sup>l</sup>	1949.71				
		1366.49 11	4.7 4	1577.61	(3 <sup>+</sup> )			
		1630.83 10	38 3	1313.31	3 <sup>-</sup>	M1 <sup>f</sup>		
		1696.55 13	100 8	1247.70	2 <sup>-</sup>	M1 <sup>f</sup>		
		2856.1 5	0.26 10	88.349	2 <sup>+</sup>			
2969.07	(2 <sup>-</sup> )	660.67 8	33 3	2308.34	1 <sup>-</sup> ,2 <sup>-</sup> ,3 <sup>-</sup>			
		1011.1 3	9 3	1958.18	2 <sup>-</sup>			
		1115.0 <sup>m</sup> 9	<137 <sup>m</sup>	1853.96	(3 <sup>+</sup> ,4 <sup>+</sup> ,5 <sup>+</sup> )			$I_\gamma$ : deduced by evaluator from $I_\gamma(1115\gamma)/I_\gamma(156.8\gamma)=0.85$ from the 1404 level in $^{174}\text{Yb}(\alpha,2n\gamma)$ , and $I_\gamma(1115\gamma)=9.2\ 7$ for the doublet in $^{176}\text{Ta}$ $\varepsilon$ decay.
		1201.48 10	100 7	1767.52	2 <sup>-</sup> ,3 <sup>-</sup>			
		1258.75 11	52 7	1710.44	(3 <sup>-</sup> )			
		1325.67 13	22 3	1643.43	1 <sup>-</sup>			
		1721.3		1247.70	2 <sup>-</sup>			
2994.0	1 <sup>(+)</sup>	2905.6 <sup>c</sup>	62 <sup>c</sup> 11	88.349	2 <sup>+</sup>			
		2994 <sup>c</sup>	100 <sup>c</sup>	0.0	0 <sup>+</sup>			
3044.0	1 <sup>(-)</sup>	2955.6 <sup>c</sup>	100 <sup>c</sup> 15	88.349	2 <sup>+</sup>			
		3044 <sup>c</sup>	46 <sup>c</sup>	0.0	0 <sup>+</sup>			
3059.0	1	3059 <sup>#</sup>	100	0.0	0 <sup>+</sup>			
3080.2	15 <sup>+</sup>	214.4 <sup>b</sup>	100	2865.8	14 <sup>-</sup>	E1 <sup>h</sup>	0.0496	B(E1)(W.u.)=0.00010 +5-7
3098.0	(1)	3098 <sup>#</sup>	100	0.0	0 <sup>+</sup>			
3107.0	1 <sup>(+)</sup>	3018.6 <sup>c</sup>	49 <sup>c</sup> 8	88.349	2 <sup>+</sup>			
		3107 <sup>c</sup>	100 <sup>c</sup>	0.0	0 <sup>+</sup>			
3115.0	1 <sup>(-)</sup>	3026.6 <sup>c</sup>	100 <sup>c</sup> 12	88.349	2 <sup>+</sup>			
		3115 <sup>c</sup>	56 <sup>c</sup>	0.0	0 <sup>+</sup>			
3159.0	1 <sup>(+)</sup>	3070.6 <sup>c</sup>	51 <sup>c</sup> 8	88.349	2 <sup>+</sup>			
		3159 <sup>c</sup>	100 <sup>c</sup>	0.0	0 <sup>+</sup>			
3160.5	15 <sup>-</sup>	294.7 <sup>b</sup>	100	2865.8	14 <sup>-</sup>	(M1+E2) <sup>h</sup>	0.14 6	
3200.0	1	3200 <sup>#</sup>	100	0.0	0 <sup>+</sup>			
3218.0	1	3218 <sup>#</sup>	100	0.0	0 <sup>+</sup>			
3222.0	1 <sup>(+)</sup>	3133.6 <sup>c</sup>	61 <sup>c</sup> 17	88.349	2 <sup>+</sup>			
		3222 <sup>c</sup>	100 <sup>c</sup>	0.0	0 <sup>+</sup>			
3232.0	1 <sup>(+)</sup>	3143.6 <sup>c</sup>	59 <sup>c</sup> 16	88.349	2 <sup>+</sup>			



Adopted Levels, Gammas (continued)

<u><math>\gamma(^{176}\text{Hf})</math> (continued)</u>							
<u><math>E_i(\text{level})</math></u>	<u><math>J_i^\pi</math></u>	<u><math>E_\gamma</math></u> <sup>†</sup>	<u><math>I_\gamma</math></u> <sup>†</sup>	<u><math>E_f</math></u>	<u><math>J_f^\pi</math></u>	<u>Mult.</u>	<u><math>\alpha^i</math></u>
3232.0	1 <sup>(+)</sup>	3232 <sup>c</sup>	100 <sup>c</sup>	0.0	0 <sup>+</sup>		
3261.0	1 <sup>(+)</sup>	3172.6 <sup>c</sup>	71 <sup>c</sup> 8	88.349	2 <sup>+</sup>		
		3261 <sup>c</sup>	100 <sup>c</sup>	0.0	0 <sup>+</sup>		
3266.2	16 <sup>+</sup>	186.0 <sup>b</sup>	100	3080.2	15 <sup>+</sup>	M1 <sup>h</sup>	0.708
3306.0	(1)	3306 <sup>#</sup>	100	0.0	0 <sup>+</sup>		
3307.7	(16 <sup>+</sup> )	661.1 <sup>b</sup>	100	2646.6	(14 <sup>+</sup> )	E2 <sup>h</sup>	0.0100
3322.0	1	3322 <sup>#</sup>	100	0.0	0 <sup>+</sup>		
3343.0	1	3254.6 <sup>c</sup>	100 <sup>c</sup> 20	88.349	2 <sup>+</sup>		
		3343 <sup>c</sup>	98 <sup>c</sup>	0.0	0 <sup>+</sup>		
3361.0	1 <sup>(-)</sup>	3272.6 <sup>c</sup>	100 <sup>c</sup> 16	88.349	2 <sup>+</sup>		
		3361 <sup>c</sup>	54 <sup>c</sup>	0.0	0 <sup>+</sup>		
3372.0	1 <sup>(-)</sup>	3283.6 <sup>c</sup>	100 <sup>c</sup> 21	88.349	2 <sup>+</sup>		
		3372 <sup>c</sup>	61 <sup>c</sup>	0.0	0 <sup>+</sup>		
3385.0	1	3296.6 <sup>c</sup>	74 <sup>c</sup> 18	88.349	2 <sup>+</sup>		
		3385 <sup>c</sup>	100 <sup>c</sup>	0.0	0 <sup>+</sup>		
3406.0	(1)	3406 <sup>#</sup>	100	0.0	0 <sup>+</sup>		
3438.0	1	3438 <sup>#</sup>	100	0.0	0 <sup>+</sup>		
3454.0	1	3454 <sup>#</sup>	100	0.0	0 <sup>+</sup>		
3467.4	16 <sup>-</sup>	307.0 <sup>b</sup>		3160.5	15 <sup>-</sup>		
		601.6 <sup>b</sup>		2865.8	14 <sup>-</sup>		
3485.0	1	3396.6 <sup>c</sup>	100 <sup>c</sup> 22	88.349	2 <sup>+</sup>		
		3485 <sup>c</sup>	77 <sup>c</sup>	0.0	0 <sup>+</sup>		
3490.0	1	3490 <sup>#</sup>	100	0.0	0 <sup>+</sup>		
3519.0	(1)	3519 <sup>#</sup>	100	0.0	0 <sup>+</sup>		
3540.1	17 <sup>+</sup>	274.0 <sup>b</sup>	100	3266.2	16 <sup>+</sup>	M1+E2 <sup>h</sup>	0.17 7
3550.0	1 <sup>(+)</sup>	3461.6 <sup>c</sup>	44 <sup>c</sup> 7	88.349	2 <sup>+</sup>		
		3550 <sup>c</sup>	100 <sup>c</sup>	0.0	0 <sup>+</sup>		
3580.0	(1)	3580 <sup>#</sup>	100	0.0	0 <sup>+</sup>		
3602.0	1	3513.6 <sup>c</sup>	71 <sup>c</sup> 18	88.349	2 <sup>+</sup>		
		3602 <sup>c</sup>	100 <sup>c</sup>	0.0	0 <sup>+</sup>		
3608.0	1	3608 <sup>#</sup>	100	0.0	0 <sup>+</sup>		
3627.0	1 <sup>(+)</sup>	3538.6 <sup>c</sup>	57 <sup>c</sup> 14	88.349	2 <sup>+</sup>		
		3627 <sup>c</sup>	100 <sup>c</sup>	0.0	0 <sup>+</sup>		
3662.0	1 <sup>(+)</sup>	3573.6 <sup>c</sup>	30 <sup>c</sup> 6	88.349	2 <sup>+</sup>		
		3662 <sup>c</sup>	100 <sup>c</sup>	0.0	0 <sup>+</sup>		
3671.0	1 <sup>(+)</sup>	3582.6 <sup>c</sup>	41 <sup>c</sup> 9	88.349	2 <sup>+</sup>		

Adopted Levels, Gammas (continued)

$\gamma(^{176}\text{Hf})$ (continued)							
$E_i(\text{level})$	$J_i^\pi$	$E_\gamma$ <sup>†</sup>	$I_\gamma$ <sup>†</sup>	$E_f$	$J_f^\pi$	Mult.	$\alpha^i$
3671.0	1 <sup>(+)</sup>	3671 <sup>c</sup>	100 <sup>c</sup>	0.0	0 <sup>+</sup>		
3689.0	(1)	3689 <sup>#</sup>	100	0.0	0 <sup>+</sup>		
3695.0	(2)	3695 <sup>#</sup>		0.0	0 <sup>+</sup>		
3722.0	(1)	3722 <sup>#</sup>	100	0.0	0 <sup>+</sup>		
3746.0	1	3657.6 <sup>c</sup>	78 <sup>c</sup> 21	88.349	2 <sup>+</sup>		
		3746 <sup>c</sup>	100 <sup>c</sup>	0.0	0 <sup>+</sup>		
3767.0	1 <sup>(+)</sup>	3678.6 <sup>c</sup>	55 <sup>c</sup> 9	88.349	2 <sup>+</sup>		
		3767 <sup>c</sup>	100 <sup>c</sup>	0.0	0 <sup>+</sup>		
3774.0	1	3774 <sup>#</sup>	100	0.0	0 <sup>+</sup>		
3787.1	17 <sup>-</sup>	319.7 <sup>b</sup>		3467.4	16 <sup>-</sup>	(M1+E2) <sup>h</sup>	0.11 5
		626.6 <sup>b</sup>		3160.5	15 <sup>-</sup>		
3805.0	1 <sup>(+)</sup>	3716.6 <sup>c</sup>	48 <sup>c</sup> 11	88.349	2 <sup>+</sup>		
		3805 <sup>c</sup>	100 <sup>c</sup>	0.0	0 <sup>+</sup>		
3816.0	1 <sup>(+)</sup>	3727.6 <sup>c</sup>	36 <sup>c</sup> 7	88.349	2 <sup>+</sup>		
		3816 <sup>c</sup>	100 <sup>c</sup>	0.0	0 <sup>+</sup>		
3824.0	(1)	3824 <sup>#</sup>	100	0.0	0 <sup>+</sup>		
3838.0	1 <sup>(-)</sup>	3749.6 <sup>c</sup>	100 <sup>c</sup> 21	88.349	2 <sup>+</sup>		
		3838 <sup>c</sup>	66.6 <sup>c</sup>	0.0	0 <sup>+</sup>		
3844.0	(1)	3844 <sup>#</sup>	100	0.0	0 <sup>+</sup>		
3847.4	18 <sup>+</sup>	307.2 <sup>b</sup>		3540.1	17 <sup>+</sup>	(M1+E2) <sup>h</sup>	0.13 6
		581.2 <sup>b</sup>		3266.2	16 <sup>+</sup>		
3856.0	(1)	3856 <sup>#</sup>	100	0.0	0 <sup>+</sup>		
3916.0	(1)	3916 <sup>#</sup>	100	0.0	0 <sup>+</sup>		
4010.5	(18 <sup>+</sup> )	702.8 <sup>b</sup>	100	3307.7	(16 <sup>+</sup> )	E2 <sup>h</sup>	
4120.3	18 <sup>-</sup>	333.2 <sup>b</sup>		3787.1	17 <sup>-</sup>	(M1+E2) <sup>h</sup>	0.10 5
		653.0 <sup>bn</sup>		3467.4	16 <sup>-</sup>		
4179.3	19 <sup>+</sup>	331.8 <sup>b</sup>		3847.4	18 <sup>+</sup>	(M1+E2) <sup>h</sup>	0.10 5
		639.2 <sup>b</sup>		3540.1	17 <sup>+</sup>		
4376.6	(19 <sup>+</sup> )	529.1 <sup>b</sup>		3847.4	18 <sup>+</sup>	(M1) <sup>h</sup>	0.0429
		836.5 <sup>b</sup>		3540.1	17 <sup>+</sup>		
4466.6	(19 <sup>-</sup> )	346.4 <sup>b</sup>		4120.3	18 <sup>-</sup>		
		679.7 <sup>bn</sup>		3787.1	17 <sup>-</sup>		
4532.2	20 <sup>+</sup>	352.9 <sup>b</sup>	100	4179.3	19 <sup>+</sup>		
4766.4	(20 <sup>-</sup> )	389.8 <sup>b</sup>	100	4376.6	(19 <sup>+</sup> )	E1 <sup>h</sup>	0.0115

**Adopted Levels, Gammas (continued)**

$\gamma(^{176}\text{Hf})$  (continued)

$E_i(\text{level})$	$J_i^\pi$	$E_\gamma^\dagger$	$I_\gamma^\dagger$	$E_f$	$J_f^\pi$	Mult.	$\alpha^i$	Comments
4826.4	(20 <sup>-</sup> )	360.0 <sup>b</sup>	100	4466.6 (19 <sup>-</sup> )				
		706 <sup>d</sup>		4120.3 18 <sup>-</sup>				I <sub>γ</sub> : not reported.
4863.5	(22) <sup>-</sup>	37 <sup>d</sup>	100	4826.4 (20 <sup>-</sup> )		[E2]		B(E2)(W.u.)=1.44 20
		97.1 <sup>b</sup>	25	4766.4 (20) <sup>-</sup>		E2 <sup>h</sup>	4.02	I <sub>γ</sub> : From ( <sup>48</sup> Ca,2n $\gamma$ ) [2001Ch89]. B(E2)(W.u.)=0.00289 17 I <sub>γ</sub> : From ( <sup>48</sup> Ca,2n $\gamma$ ) [2001Ch89].

<sup>†</sup> From <sup>176</sup>Ta  $\varepsilon$  decay, except otherwise noted.

<sup>‡</sup> Weighted averages from <sup>176</sup>Ta  $\varepsilon$  decay and <sup>174</sup>Yb( $\alpha$ ,2n $\gamma$ ).

# From <sup>176</sup>Hf( $\gamma$ , $\gamma'$ ).

@ From <sup>174</sup>Yb( $\alpha$ ,2n $\gamma$ ).

& From <sup>174</sup>Yb( $\alpha$ ,2n $\gamma$ ).

<sup>a</sup> From <sup>176</sup>Yb( $\alpha$ ,4n $\gamma$ ).

<sup>b</sup> From <sup>176</sup>Yb( $\alpha$ ,4n $\gamma$ ).

<sup>c</sup> From <sup>176</sup>Hf( $\gamma$ , $\gamma'$ ), I<sub>γ</sub> deduced from R<sub>exp</sub>.

<sup>d</sup> From <sup>130</sup>Te(<sup>48</sup>Ca,2n $\gamma$ ).

<sup>e</sup> Doublet in <sup>174</sup>Yb( $\alpha$ ,2n $\gamma$ ). I<sub>γ</sub> from <sup>176</sup>Ta  $\varepsilon$  decay suggests that most of the intensity deexcites the 1577 level.

<sup>f</sup> From conversion electron data measured in <sup>176</sup>Ta  $\varepsilon$  decay.

<sup>g</sup> From conversion electron data measured in <sup>174</sup>Yb( $\alpha$ ,2n $\gamma$ ).

<sup>h</sup> From directly measured conversion electron data, conversion coefficients deduced from transition intensity balances, and  $\gamma(\theta)$  in <sup>176</sup>Yb( $\alpha$ ,4n $\gamma$ ).

<sup>i</sup> Conversion coefficients for  $\gamma$ -rays with mixed multipolarities and no  $\delta$  given are average values for the individual multipolarities, unless otherwise specified.

<sup>j</sup> Experimental value from <sup>174</sup>Yb( $\alpha$ ,2n $\gamma$ ).

<sup>k</sup> Estimated by evaluator from the deduced  $\alpha(K)$ exp in <sup>176</sup>Ta  $\varepsilon$  decay.

<sup>l</sup> Multiply placed with undivided intensity.

<sup>m</sup> Multiply placed with intensity suitably divided.

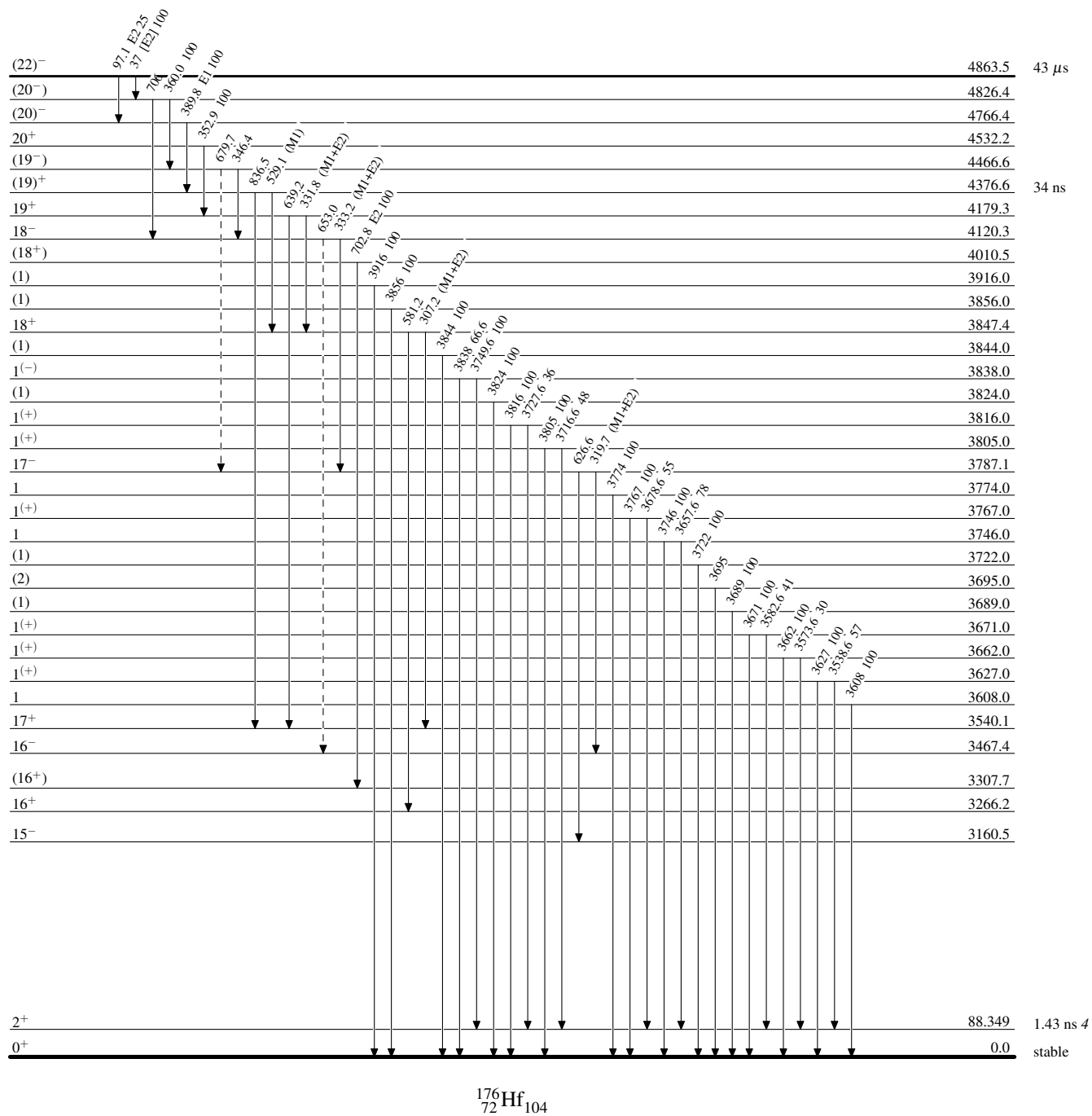
<sup>n</sup> Placement of transition in the level scheme is uncertain.

Adopted Levels, Gammas

Legend

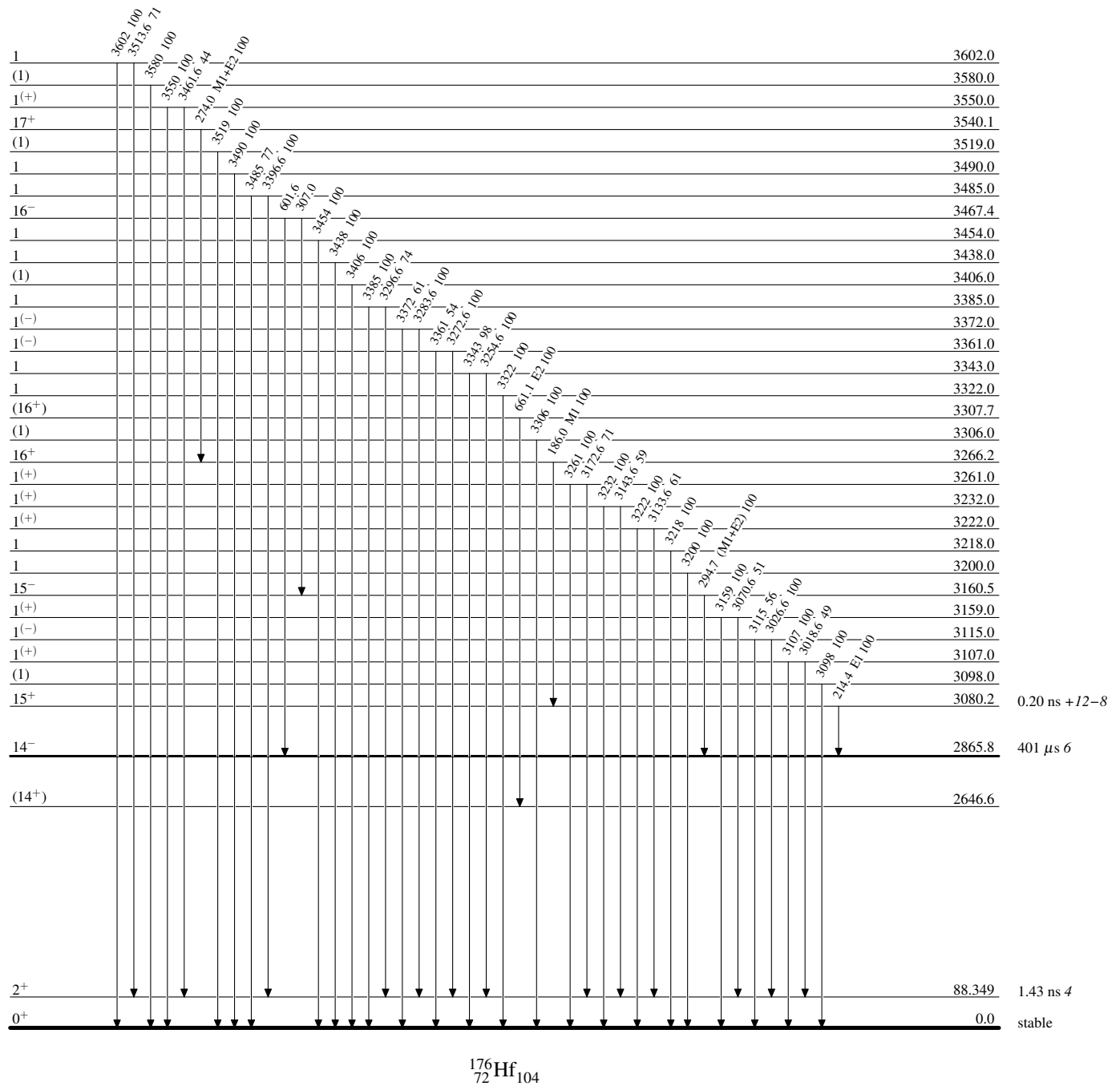
Level Scheme

Intensities: Relative photon branching from each level

-----►  $\gamma$  Decay (Uncertain)

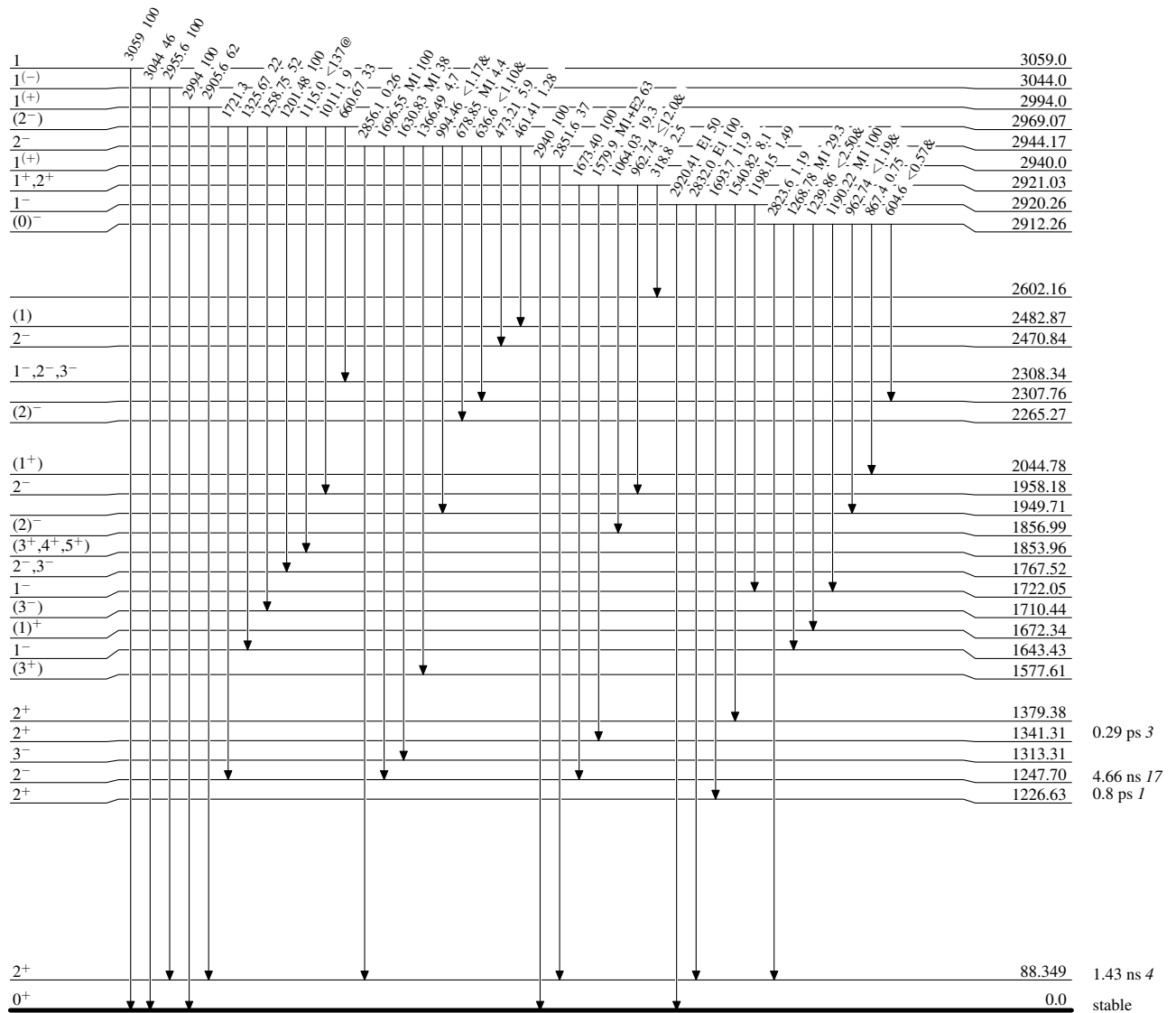
Adopted Levels, GammasLevel Scheme (continued)

Intensities: Relative photon branching from each level



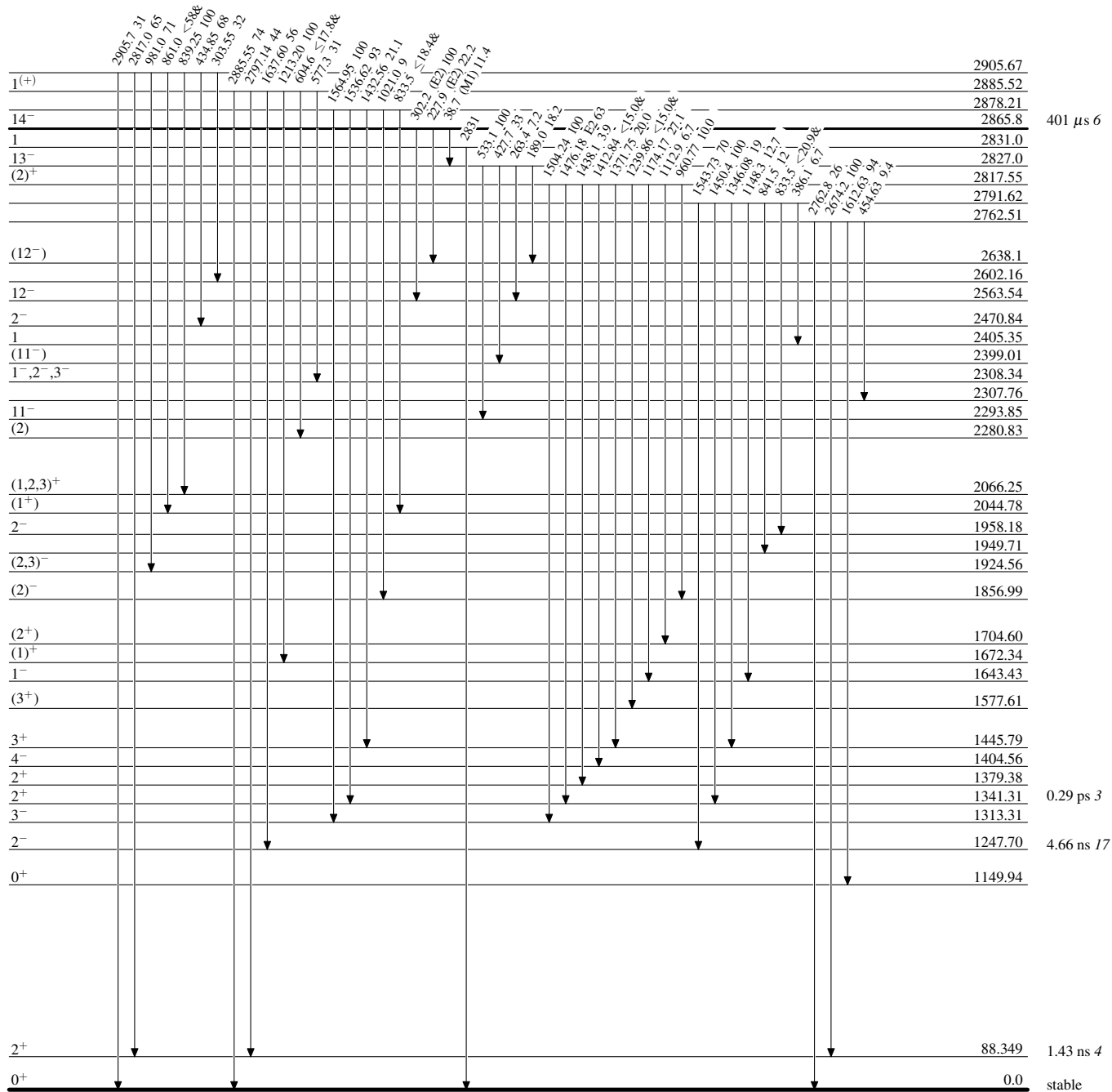
**Adopted Levels, Gammas****Level Scheme (continued)**

Intensities: Relative photon branching from each level  
& Multiply placed: undivided intensity given  
@ Multiply placed: intensity suitably divided



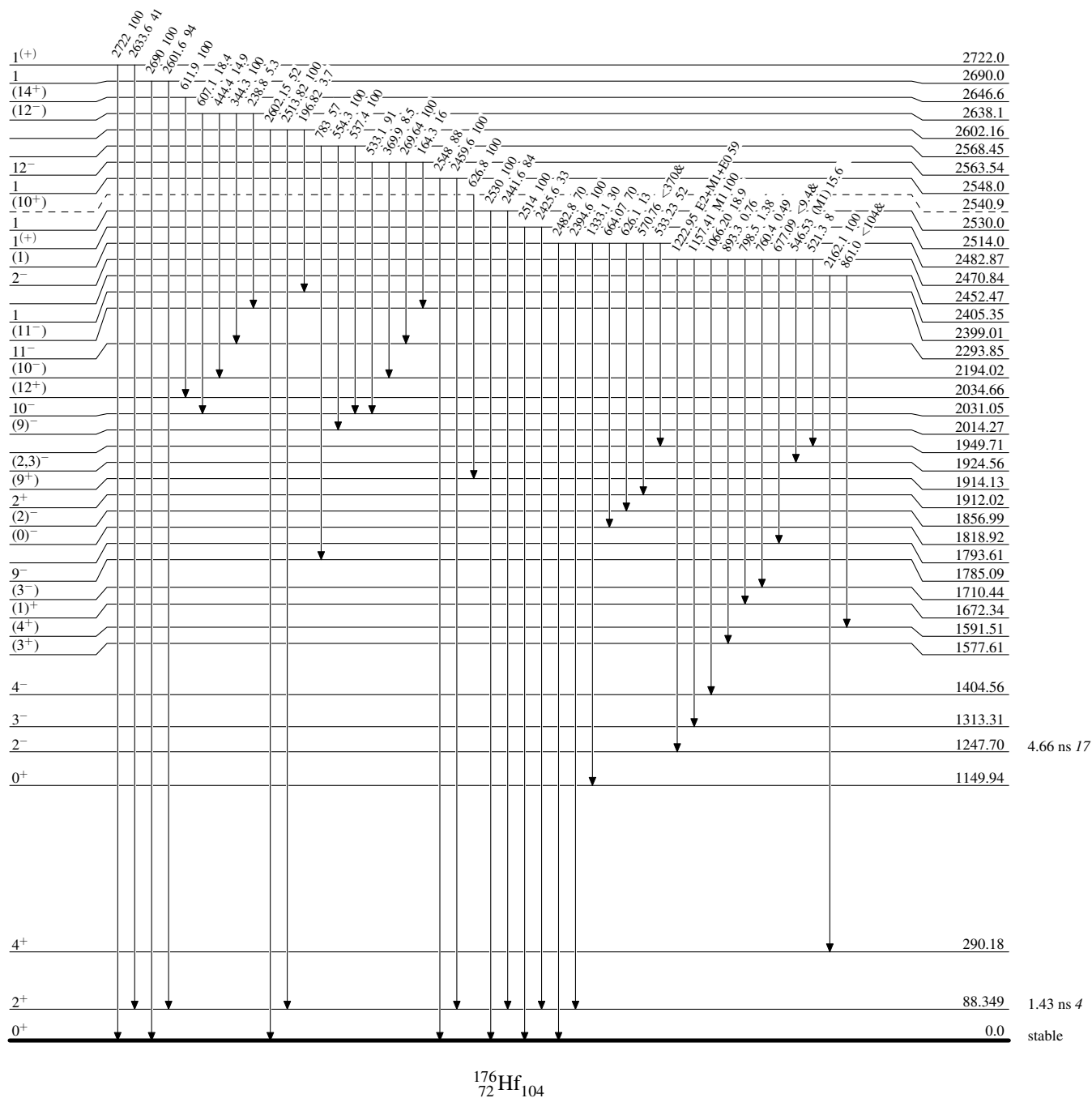
Adopted Levels, GammasLevel Scheme (continued)

Intensities: Relative photon branching from each level  
& Multiply placed: undivided intensity given  
@ Multiply placed: intensity suitably divided



**Adopted Levels, Gammas****Level Scheme (continued)**

Intensities: Relative photon branching from each level  
 & Multiply placed: undivided intensity given  
 @ Multiply placed: intensity suitably divided





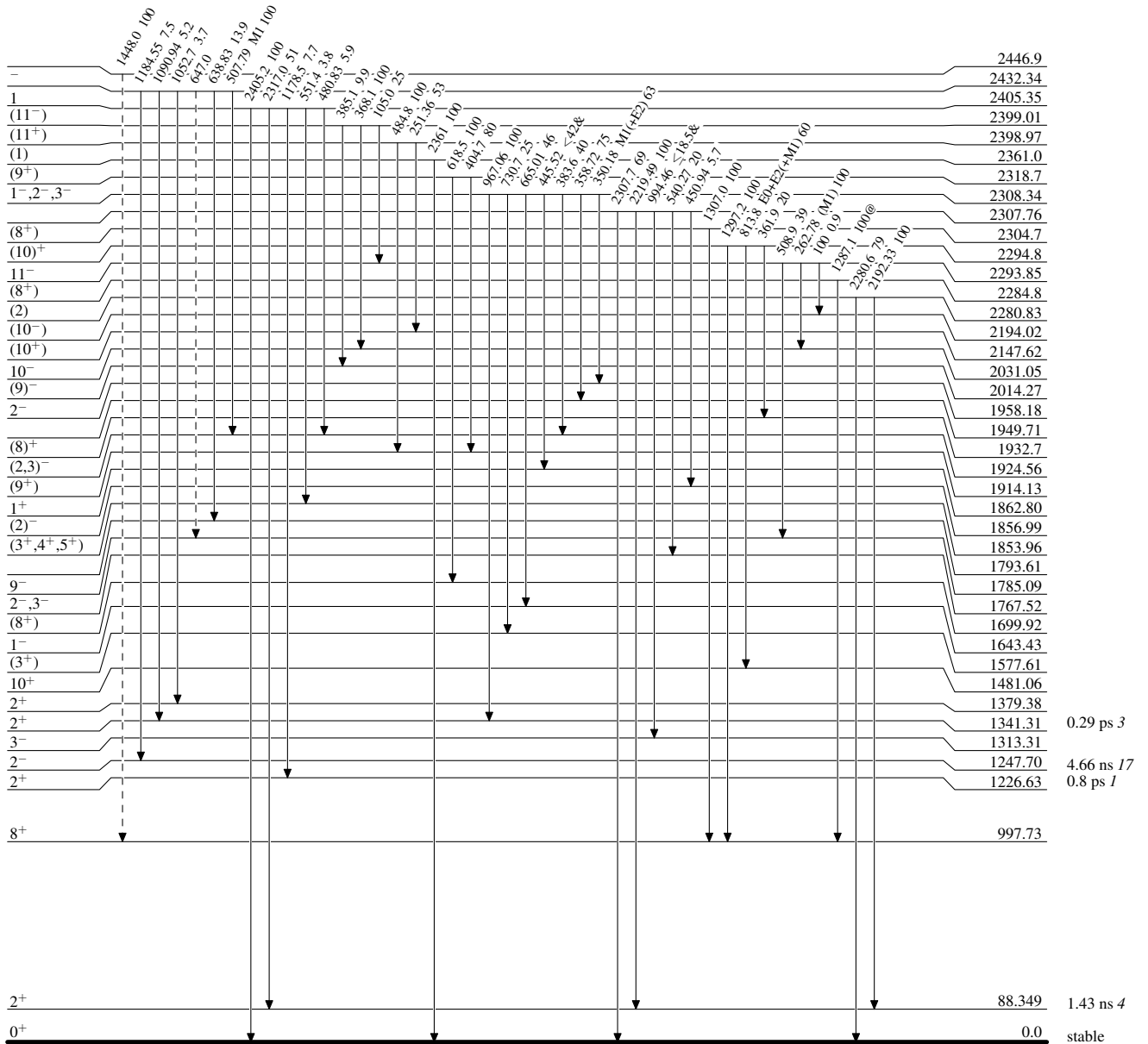
# Adopted Levels, Gammas

## Level Scheme (continued)

Legend

Intensities: Relative photon branching from each level  
& Multiply placed: undivided intensity given  
@ Multiply placed: intensity suitably divided

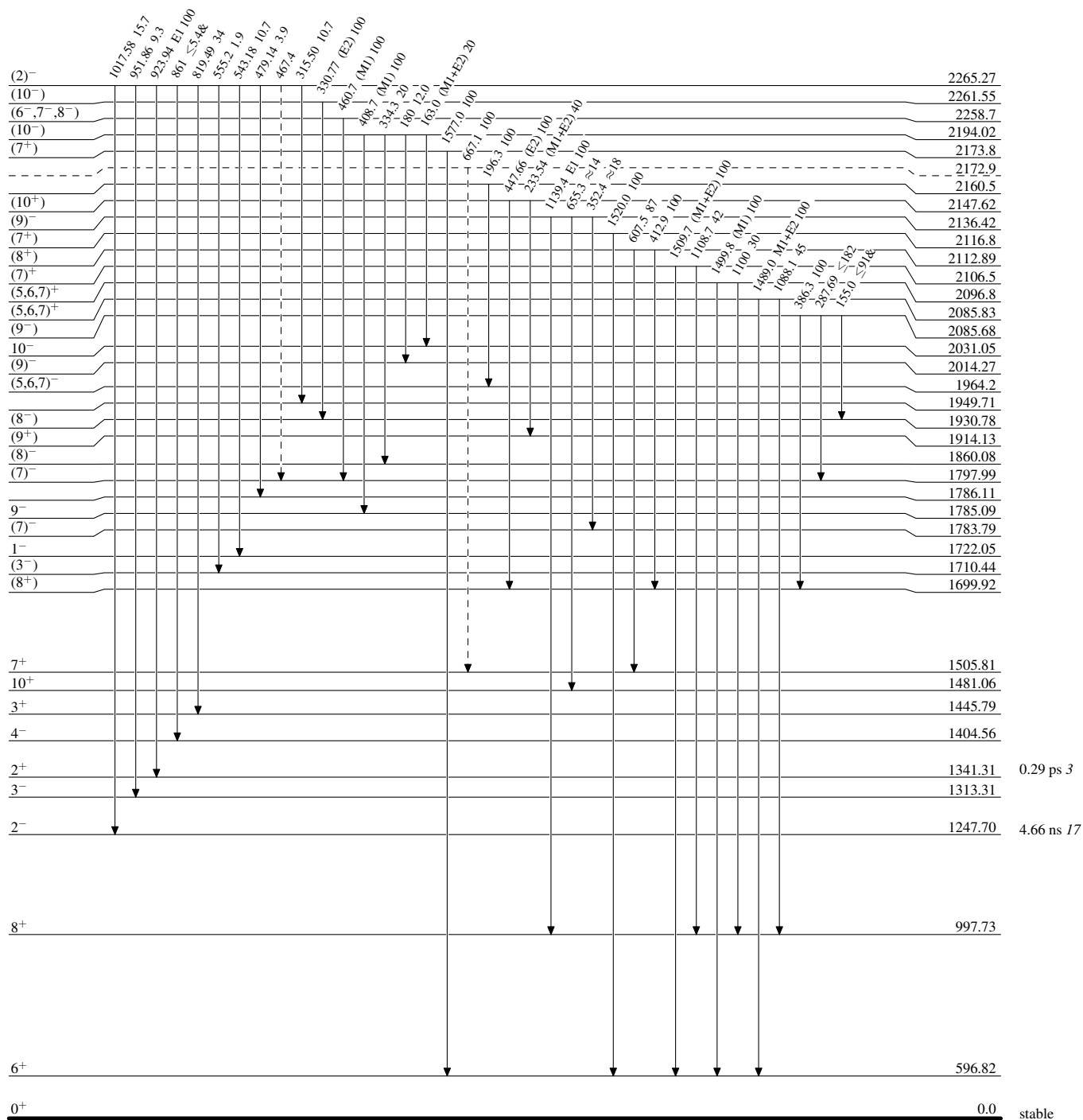
-----►  $\gamma$  Decay (Uncertain)



**Adopted Levels, Gammas****Level Scheme (continued)**

Legend

Intensities: Relative photon branching from each level  
 & Multiply placed: undivided intensity given  
 @ Multiply placed: intensity suitably divided

-----►  $\gamma$  Decay (Uncertain)

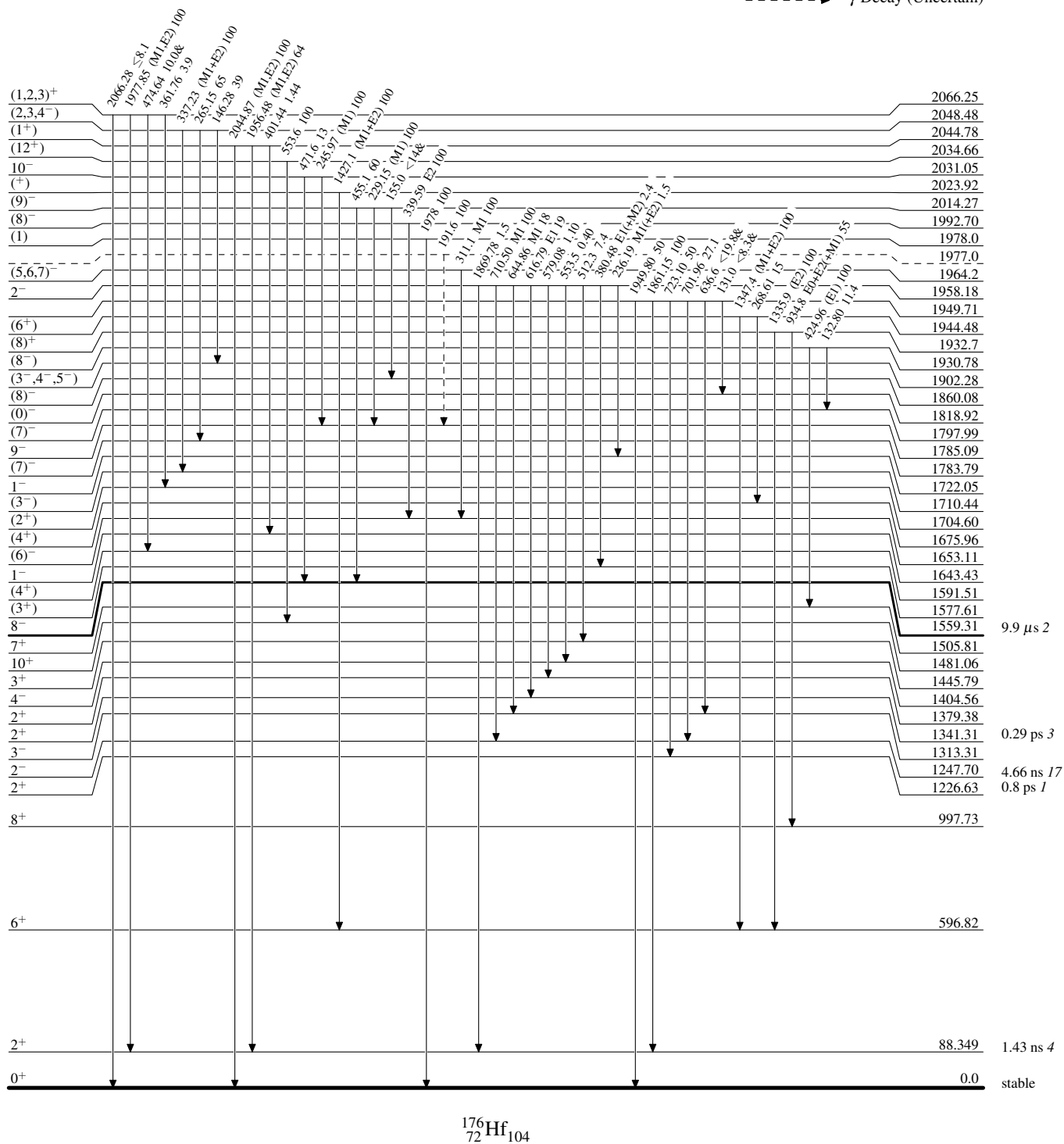
## Adopted Levels, Gammas

## Level Scheme (continued)

## Legend

Intensities: Relative photon branching from each level  
& Multiply placed: undivided intensity given  
@ Multiply placed: intensity suitably divided

-----►  $\gamma$  Decay (Uncertain)



## Adopted Levels, Gammas

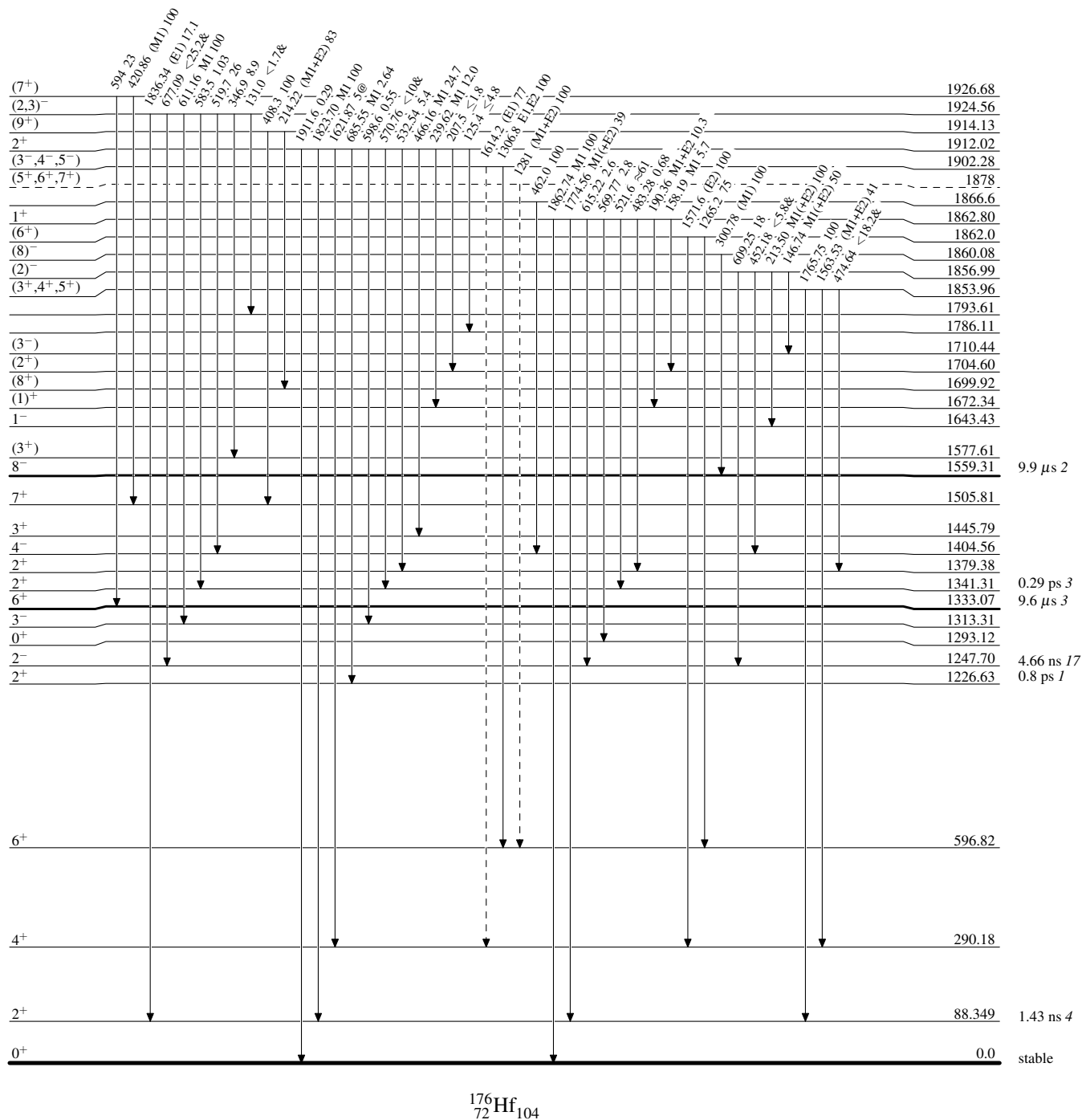
## Level Scheme (continued)

## Legend

Intensities: Relative photon branching from each level

&amp; Multiply placed: undivided intensity given

@ Multiply placed: intensity suitably divided

-----►  $\gamma$  Decay (Uncertain)

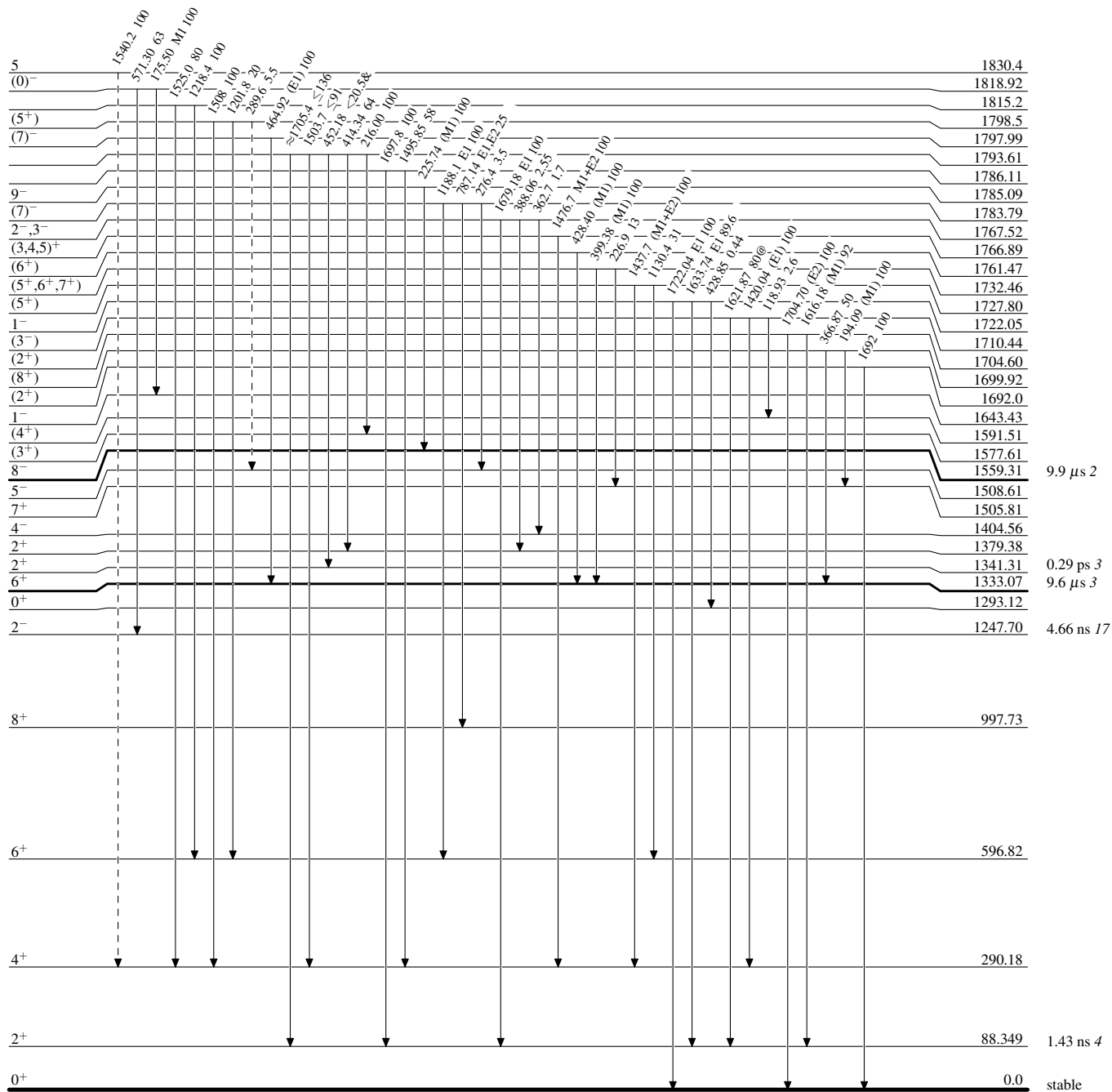
## Adopted Levels, Gammas

## Level Scheme (continued)

## Legend

Intensities: Relative photon branching from each level  
& Multiply placed: undivided intensity given  
@ Multiply placed: intensity suitably divided

-----►  $\gamma$  Decay (Uncertain)

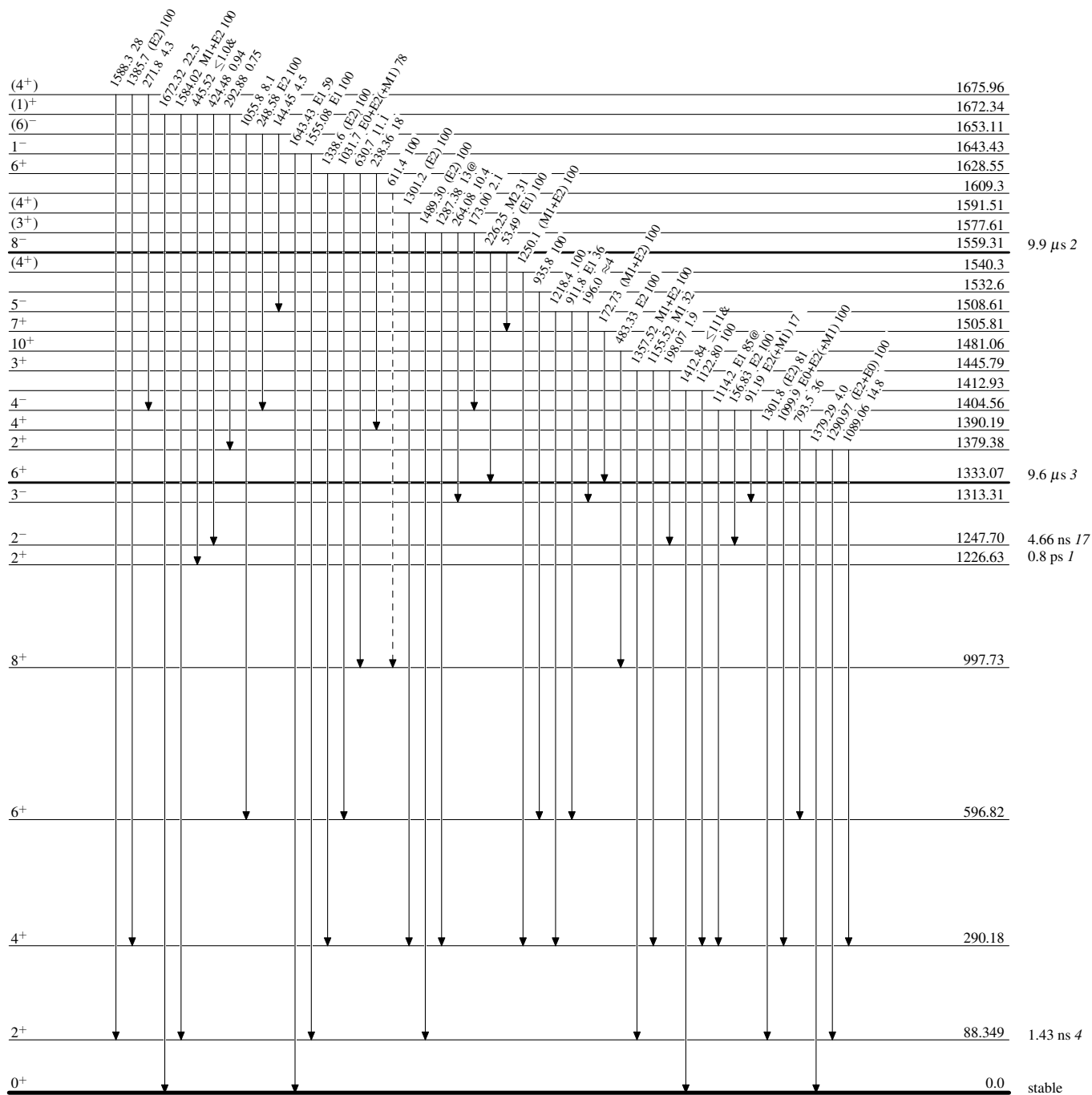


## Adopted Levels, Gammas

## Level Scheme (continued)

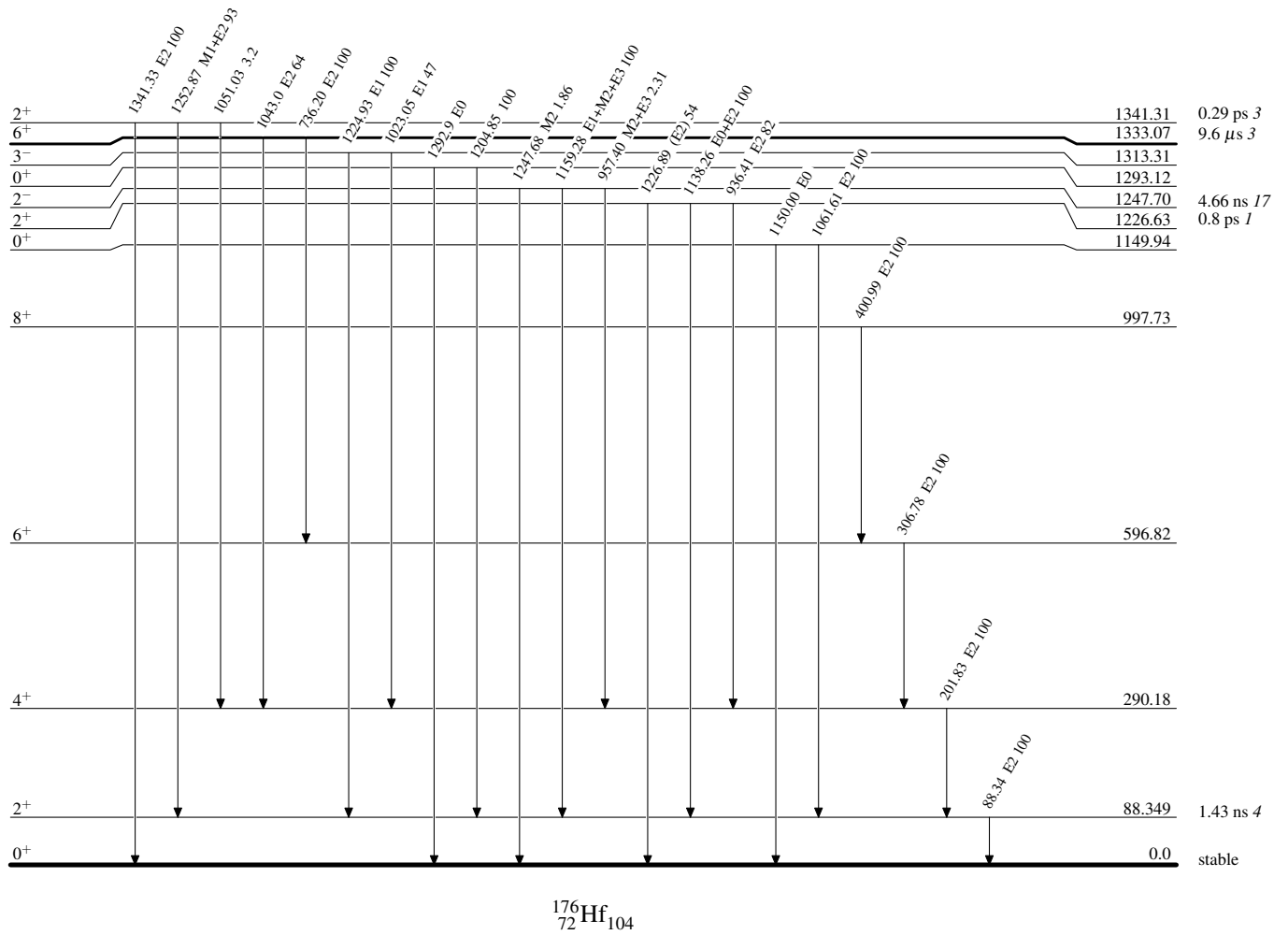
Legend

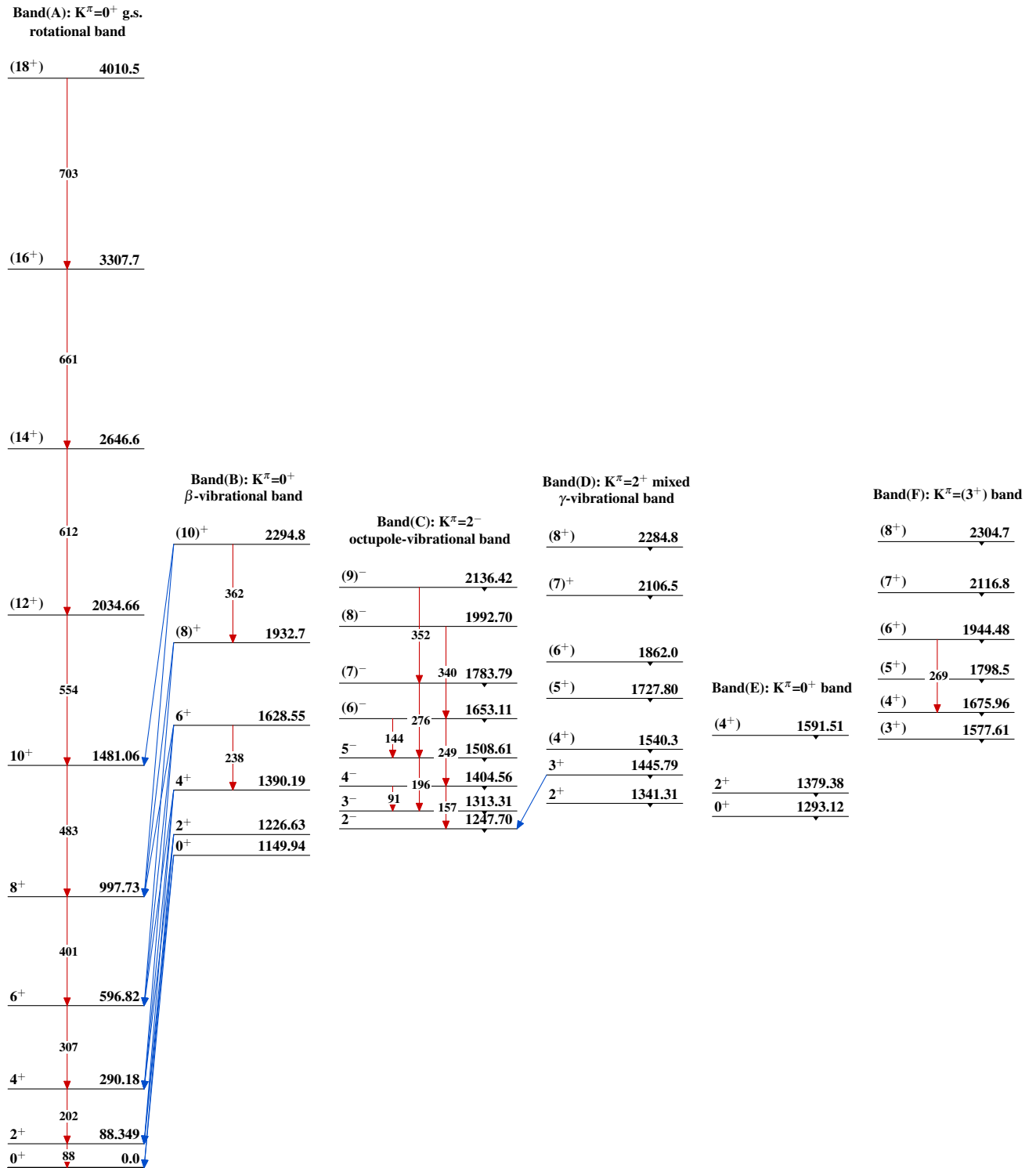
Intensities: Relative photon branching from each level  
& Multiply placed: undivided intensity given  
@ Multiply placed: intensity suitably divided

-----►  $\gamma$  Decay (Uncertain)

**Adopted Levels, Gammas****Level Scheme (continued)**

Intensities: Relative photon branching from each level  
& Multiply placed: undivided intensity given  
@ Multiply placed: intensity suitably divided

 $^{176}_{72}\text{Hf}_{104}$

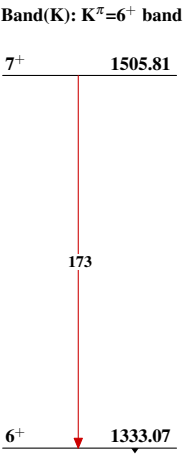
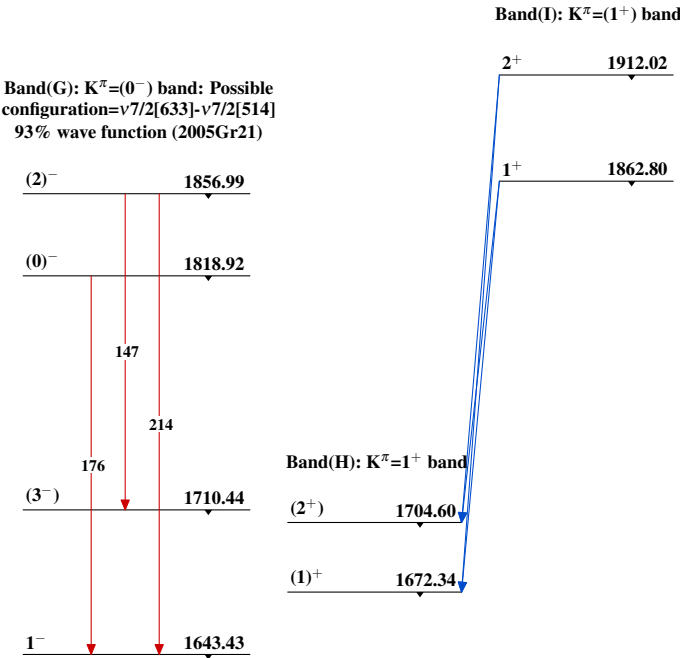
Adopted Levels, Gammas $^{176}_{72}\text{Hf}_{104}$

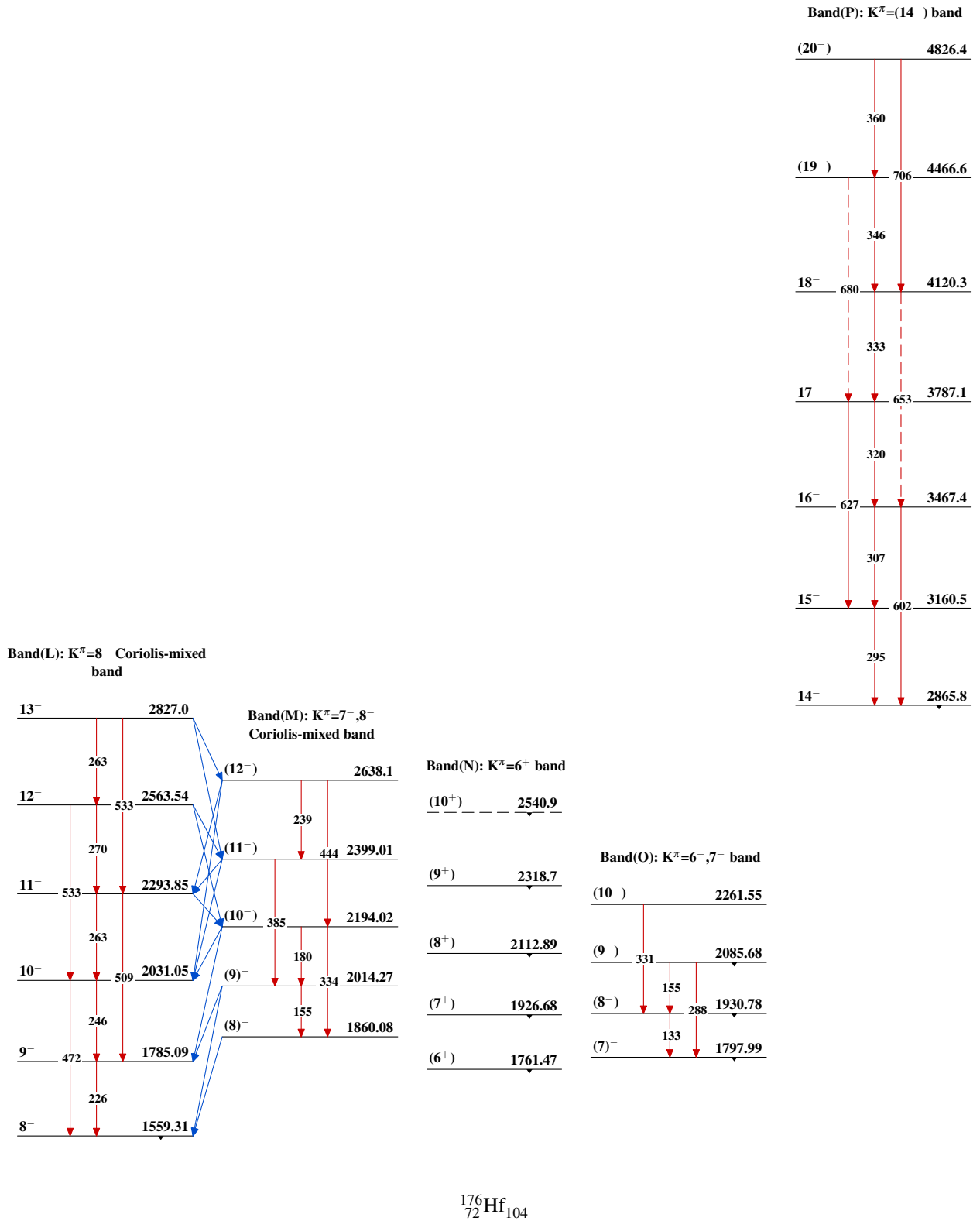


Adopted Levels, Gammas (continued)

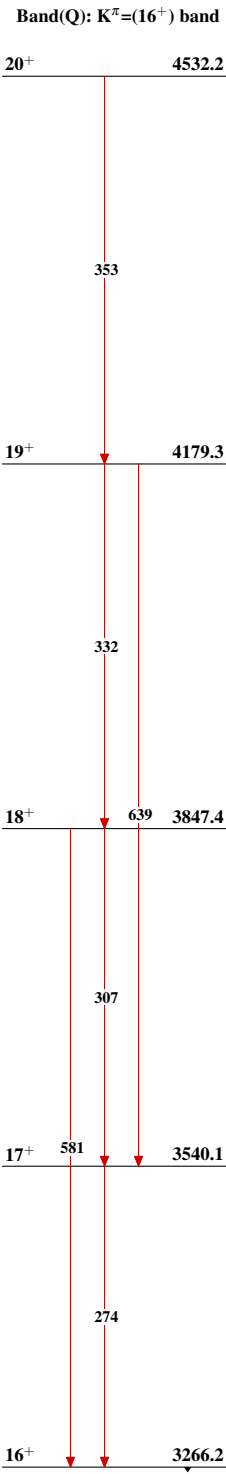
Band(J): K<sup>π</sup>=(0<sup>-</sup>)  
band: Possible  
Configuration=( $\pi$ 7/2[404]  
- $\nu$ 5/2[512])-  
( $\pi$ 9/2[514]- $\nu$ 7/2[514])  
(2005Gr21)  
  
(2<sup>-</sup>)      2969.07

1<sup>-</sup>      2920.26  
(0)<sup>-</sup>      2912.26



Adopted Levels, Gammas (continued)

Adopted Levels, Gammas (continued)



<sup>176</sup>Hf<sub>72</sub><sup>104</sup>

Adopted Levels, Gammas

Type	Author	History	Citation	Literature Cutoff Date
Full Evaluation	E. Achterberg, O. A. Capurro, G. V. Marti		NDS 110,1473 (2009)	31-May-2008

$Q(\beta^-) = -1.84 \times 10^3$  *sys*;  $S(n) = 7625.95$  *18*;  $S(p) = 7340.9$  *8*;  $Q(\alpha) = 2082.9$  *15*    [2012Wa38](#)

Note: Current evaluation has used the following Q record -1937    15 7625.9618 7344.2 7 2080.4 *15*    [2003Au03](#).

 $^{178}\text{Hf}$  LevelsCross Reference (XREF) Flags

<a href="#">A</a>	$^{178}\text{Lu}$ $\beta^-$ decay (28.4 min)	<a href="#">G</a>	$^{176}\text{Yb}(\alpha, 2n\gamma)$	<a href="#">M</a>	$^{177}\text{Hf}(\text{d}, \text{p})$
<a href="#">B</a>	$^{178}\text{Lu}$ $\beta^-$ decay (23.1 min)	<a href="#">H</a>	$^{176}\text{Yb}(^9\text{Be}, \alpha 3n\gamma)$	<a href="#">N</a>	$^{178}\text{Hf}(\text{n}, \text{n}'\gamma)$
<a href="#">C</a>	$^{178}\text{Hf}$ IT decay (4.0 s)	<a href="#">I</a>	$^{177}\text{Hf}(\text{n}, \gamma)$ E=thermal	<a href="#">O</a>	$^{178}\text{Hf}(\text{pol p}, \text{p}') \text{ E}=65 \text{ MeV}$
<a href="#">D</a>	$^{178}\text{Hf}$ IT decay (31 y)	<a href="#">J</a>	$^{177}\text{Hf}(\text{n}, \gamma)$ E=1-163 eV res	<a href="#">P</a>	$^{180}\text{Hf}(\text{p}, \text{t})$
<a href="#">E</a>	$^{178}\text{Ta}$ $\varepsilon$ decay (2.36 h)	<a href="#">K</a>	$^{177}\text{Hf}(\text{n}, \gamma)$ E=2, 24 keV res:av	<a href="#">Q</a>	$^{181}\text{Ta}(\text{p}, \alpha)$
<a href="#">F</a>	$^{178}\text{Ta}$ $\varepsilon$ decay (9.31 min)	<a href="#">L</a>	Coulomb excitation	<a href="#">R</a>	$^{178}\text{Hf}(\gamma, \gamma')$

E(level) <sup>†</sup>	$J^\pi$ <sup>‡</sup>	$T_{1/2}$ <sup>#</sup>	XREF	Comments
0.0 <sup>@</sup>	0 <sup>+</sup>	stable	<a href="#">ABCDEFGHIJKLMN</a> <a href="#">OPQR</a>	Isotope shift: $\Delta\langle r^2 \rangle = 0.106$ 7 fm <sup>2</sup> relative to $^{180}\text{Hf}$ ( <a href="#">1984Ta10</a> , muonic x-rays). RMS charge radius: $\langle r^2 \rangle = 5.338$ <i>11</i> ( <a href="#">1984Ta10</a> , from muonic x-ray data). $Q_0 = 6.86$ <i>17</i> ( <a href="#">1967Ab06</a> ). $\beta = 0.266$ ( <a href="#">1967Ab06</a> ). $\mu = +0.48$ <i>3</i> $Q = -2.02$ <i>2</i> $J^\pi$ : $93\gamma$ E2 to 0 <sup>+</sup> ; rotational band. Isomer shift: $\Delta\langle r^2 \rangle = 0.0031$ <i>18</i> fm <sup>2</sup> relative to the $^{178}\text{Hf}$ g.s. ( <a href="#">1984Ta10</a> , muonic x-rays). $T_{1/2}$ : weighted average of values from $^{178}\text{Ta}$ $\varepsilon$ decay (9.31 min): 1.49 ns <i>5</i> ( <a href="#">1963Bo13</a> ), 1.50 ns <i>3</i> ( <a href="#">1962Ka14</a> ); $^{178}\text{Ta}$ $\varepsilon$ decay (2.36 h): 1.47 ns <i>6</i> ( <a href="#">1963Fo02</a> ); Coulomb excitation: 1.52 ns <i>12</i> ( <a href="#">1961Ha21</a> ); 1.50 ns <i>10</i> ( <a href="#">1967Ab06</a> ). Other: 1.25 ns <i>8</i> ( <a href="#">1961Ga05</a> , $^{178}\text{Ta}$ $\varepsilon$ decay (9.31 min); 1.87 ns <i>10</i> ( <a href="#">1959Bi10</a> , Coulomb excitation). $\mu$ : Integral perturbed angular distribution of $\gamma$ rays following Coulomb excitation ( <a href="#">1968Be04</a> , <a href="#">1989Ra17</a> ). Other values: +0.60 <i>4</i> ( <a href="#">1962Ka14</a> ), +0.73 <i>7</i> ( <a href="#">1962Bo13</a> ). $Q$ : Hyperfine structure of muonic x rays ( <a href="#">1984Ta10</a> , <a href="#">1989Ra17</a> ). $Q(^{178}\text{Hf})/Q(^{180}\text{Hf}) = 1.07$ <i>3</i> ( <a href="#">1968GeZY</a> , using quadrupole hyperfine splitting in Mossbauer experiments), other value: 1.05 <i>3</i> ( <a href="#">1973BoVM</a> , Mossbauer quadrupole interaction measurements). $g = +0.29$ <i>2</i> ( <a href="#">1962Ka14</a> ). $J^\pi$ : $213\gamma$ E2 to 2 <sup>+</sup> ; rotational band. $J^\pi$ : $326\gamma$ E2 to 4 <sup>+</sup> ; populated in Coulomb excitation; rotational band. $J^\pi$ : $426\gamma$ E2 to 6 <sup>+</sup> ; populated in Coulomb excitation; rotational band. %IT=100 $J^\pi$ : $89\gamma$ E1 to 8 <sup>+</sup> ; $\gamma\gamma(\theta)$ in $^{178}\text{Hf}$ IT decay (4.0 s) ( <a href="#">1960De26</a> ). $g_K = 0.37$ <i>1</i> ( <a href="#">1997Mu05</a> ).
93.1803 <sup>@</sup> <i>10</i>	2 <sup>+</sup>	1.494 ns <i>23</i>	<a href="#">ABCDEFGHIJKL</a> <a href="#">NOPQ</a>	
306.6182 <sup>@</sup> <i>22</i>	4 <sup>+</sup>		<a href="#">ABCDEFGHIJKL</a> <a href="#">NOPQ</a>	
632.178 <sup>@</sup> <i>4</i>	6 <sup>+</sup>	11.2 ps <i>6</i>	<a href="#">BCDE</a> <a href="#">GHIJ</a> <a href="#">L</a> <a href="#">NOPQ</a>	
1058.550 <sup>@</sup> <i>6</i>	8 <sup>+</sup>	2.77 ps <i>6</i>	<a href="#">BCDE</a> <a href="#">GHIJ</a> <a href="#">L</a> <a href="#">N</a>	
1147.416 <sup>&amp;</sup> <i>6</i>	8 <sup>-</sup>	4.0 s <i>2</i>	<a href="#">BCDE</a> <a href="#">G</a> <a href="#">I</a> <a href="#">L</a> <a href="#">N</a> <a href="#">Q</a>	

Continued on next page (footnotes at end of table)

**Adopted Levels, Gammas (continued)** $^{178}\text{Hf}$  Levels (continued)

E(level) <sup>†</sup>	J <sup>π</sup> <sup>‡</sup>	T <sub>1/2</sub> <sup>#</sup>	XREF				Comments
1174.630 <sup>a</sup> 4	2 <sup>+</sup>	0.62 ps 2	A	F	IJKLMN	P R	T <sub>1/2</sub> : From $^{178}\text{Hf}$ IT decay (4.0 s). $\mu=1.4$ to 5.3, brute force nuclear orientation (1989Ra17). J <sup>π</sup> : $\gamma\gamma(\theta)$ (1972Li03), Coulomb excitation (1982Ha25,1977Ro08).
1199.385 <sup>b</sup> 11	0 <sup>+</sup>		A	F	I	N Q	J <sup>π</sup> : 1199 $\gamma$ E0 to 0 <sup>+</sup> .
1260.248 <sup>c</sup> 4	2 <sup>-</sup>		A		IJK	N	
1268.537 <sup>a</sup> 4	3 <sup>+</sup>				IJKLMN	P	
1276.692 <sup>b</sup> 4	2 <sup>+</sup>	0.49 ps +15–10	A	F	IJKL	N Q	J <sup>π</sup> : 1276 $\gamma$ E2 to 0 <sup>+</sup> . 1183 $\gamma$ E0+E2+M1 to 2 <sup>+</sup> ; $\gamma\gamma(\theta)$ (1972Li03).
1310.068 <sup>d</sup> 4	1 <sup>-</sup>		A	F	IJ	N R	J <sup>π</sup> : 1216 $\gamma$ E1 to 2 <sup>+</sup> , 1310 $\gamma$ E1 to 0 <sup>+</sup> .
1322.463 <sup>c</sup> 4	3 <sup>-</sup>		A		IJKL	N P	J <sup>π</sup> : 1229 $\gamma$ E1 to 2 <sup>+</sup> , 1016 $\gamma$ E1 to 4 <sup>+</sup> .
1362.551 <sup>d</sup> 4	2 <sup>-</sup>		A	F	IJ	N	J <sup>π</sup> : $\gamma\gamma(\theta)$ (1972Li03); 52 $\gamma$ M1+E2 to 1 <sup>-</sup> .
1364.078 <sup>&amp;</sup> 9	9 <sup>-</sup>		B DE G		L	Q	E(level): from $^{178}\text{Hf}$ IT decay (31 y).
1384.461 <sup>a</sup> 4	4 <sup>+</sup>				IJKLMN	P	J <sup>π</sup> : 1078 $\gamma$ E2 to 4 <sup>+</sup> ; 1291 $\gamma$ E2 to 2 <sup>+</sup> ; reduced I <sub>y</sub> in $^{177}\text{Hf}(n,\gamma)$ E=2, 24 keV res:av.
1409.439 <sup>c</sup> 4	4 <sup>-</sup>				IJK	N	J <sup>π</sup> : 1102 $\gamma$ E1 to 4 <sup>+</sup> , 141 $\gamma$ E1 to 3 <sup>+</sup> ; reduced I <sub>y</sub> in $^{177}\text{Hf}(n,\gamma)$ E=2, 24 keV res:av.
1433.623 <sup>d</sup> 4	(3) <sup>-</sup>				IJK	N	Additional information 1.
1434.230 <sup>e</sup> 20	0 <sup>+</sup>		A	F	I	N	J <sup>π</sup> : 1434 $\gamma$ E0 to 0 <sup>+</sup> .
1443.934 <sup>f</sup> 10	0 <sup>+</sup>		A	F	I	N	J <sup>π</sup> : 1443 $\gamma$ E0 to 0 <sup>+</sup> .
1450.363 <sup>b</sup> 5	4 <sup>+</sup>	1.0 ps 9			IJK	N PQ	J <sup>π</sup> : 1144 $\gamma$ E0+M1+E2 to 4 <sup>+</sup> .
1479.025 <sup>r</sup> 7	8 <sup>-</sup>		B	E G		N Q	J <sup>π</sup> : 332 $\gamma$ M1 to 8 <sup>-</sup> ; log ft=4.7 from $^{178}\text{Ta}$ (J <sup>π</sup> =(7) <sup>-</sup> ) $\varepsilon$ decay.
1496.449 <sup>e</sup> 17	2 <sup>+</sup>	0.9 ps 2	A	F	IJKL	N	J <sup>π</sup> : $\gamma\gamma(\theta)$ (1968Ni03); 1496 $\gamma$ E2 to 0 <sup>+</sup> .
1512.592 <sup>c</sup> 4	(5) <sup>-</sup>				IJK	N	
1513.607 <sup>f</sup> 9	2 <sup>+</sup>				IJ	N P	J <sup>π</sup> : 1514 $\gamma$ E2 to 0 <sup>+</sup> .
1513.68 7			A	F			Level identified from $^{178}\text{Lu}$ $\beta^-$ (28 min) decay and $^{178}\text{Ta}$ $\varepsilon$ (9.3 min) decay. It is not reported in any other dataset. This state is almost certainly a multiplet (see discussion in the $^{178}\text{Lu}$ $\beta^-$ (28 min) decay dataset). The placement of the 1420 and 1513 keV transitions for this state is uncertain, and furthermore they may themselves be unresolved doublets.
1513.831 <sup>g</sup> 4	4 <sup>+</sup>	62 ps			G IJ LMN		J <sup>π</sup> : 1207 $\gamma$ M1+E2 to 4 <sup>+</sup> .
1533.153 <sup>a</sup> 5	5 <sup>+</sup>				IJKL	N	J <sup>π</sup> : 1226 $\gamma$ M1+E2 to 4 <sup>+</sup> .
1538.790 <sup>d</sup> 4	4 <sup>-</sup>				I	K	J <sup>π</sup> : 216 $\gamma$ M1+E2 to 3 <sup>-</sup> , 1232 $\gamma$ E1 to 4 <sup>+</sup> .
1553.997 <sup>h</sup> 4	6 <sup>+</sup>	77.5 ns 7			G IJ L		$\mu=+5.84$ 5 J <sup>π</sup> : 922 $\gamma$ E2 to 6 <sup>+</sup> , 407 $\gamma$ (M2) to 8 <sup>-</sup> . T <sub>1/2</sub> : from $^{176}\text{Yb}(\alpha,2n\gamma)$ studies: weighted average of 78 ns I (1977Kh01) and 77 ns I (1980Wa23), g=0.959 8, from 1980Wa23 in $^{176}\text{Yb}(\alpha,2n\gamma)$ studies. $\mu$ : Differential perturbed angular distribution of $\gamma$ rays following nuclear reactions. Uncorrected for diamagnetism and Knight shift (1980Wa23,1989Ra17). g <sub>K</sub> =1.03 4 (1997Mu05).
1561.540 <sup>i</sup> 5	2 <sup>+</sup>		A	F	IJK	N P	J <sup>π</sup> : 1468 $\gamma$ E0+M1+E2 to 2 <sup>+</sup> , 1561 $\gamma$ E2 to 0 <sup>+</sup> .
1566.668 <sup>j</sup> 4	2 <sup>-</sup>		A	F	I	K N	J <sup>π</sup> : 257 $\gamma$ M1+E2 to 1 <sup>-</sup> , 204 $\gamma$ M1 to 2 <sup>-</sup> .
1570.3 <sup>@</sup> 8	10 <sup>+</sup>	1.03 ps 3			GH	L	
1601.484 <sup>&amp;</sup> 10	10 <sup>-</sup>		B D	G	L	Q	J <sup>π</sup> : 237 $\gamma$ M1+E2 to 9 <sup>-</sup> .
1635.603 <sup>e</sup> 5	4 <sup>+</sup>				IJK	N	E(level): from $^{178}\text{Hf}$ IT decay (31 y). J <sup>π</sup> : 1542 $\gamma$ E2 to 2 <sup>+</sup> , 185 $\gamma$ M1+E2 to 4 <sup>+</sup> .

Continued on next page (footnotes at end of table)

**Adopted Levels, Gammas (continued)** $^{178}\text{Hf}$  Levels (continued)

E(level) <sup>†</sup>	J <sup>π</sup> <sup>‡</sup>	T <sub>1/2</sub> <sup>#</sup>	XREF	Comments
1636.727 <sup>k</sup> 4	5 <sup>-</sup>	0.4 ns 1	G I	J <sup>π</sup> : 1330γ E1 to 4 <sup>+</sup> , 82.7γ E1 to 6 <sup>+</sup> . T <sub>1/2</sub> : from $^{176}\text{Yb}(\alpha, 2n\gamma)$ (1982Ko08).
1639.758 <sup>j</sup> 4	3 <sup>-</sup>		I Q	J <sup>π</sup> : 277γ M1+E2 to 2 <sup>-</sup> , 101γ (M1) to 4 <sup>-</sup> .
1640.452 <sup>g</sup> 4	5 <sup>+</sup>		IJKLMN P	J <sup>π</sup> : 126γ M1+E2 to 4 <sup>+</sup> , 1008γ E2 to 6 <sup>+</sup> .
1648.838 <sup>c</sup> 5	(6) <sup>-</sup>		I	J <sup>π</sup> : 1017γ E1 to 6 <sup>+</sup> .
1651.459 <sup>d</sup> 4	(5) <sup>-</sup>		I K	J <sup>π</sup> : 242γ M1+E2 to 4 <sup>-</sup> .
1654.3 <sup>f</sup> 6	(4 <sup>+</sup> )		N	Level seen only in $^{178}\text{Hf}(n, n'\gamma)$ .
1691.083 <sup>a</sup> 11	6 <sup>+</sup>		IJ L N	J <sup>π</sup> : 1059γ M1+E2 to 6 <sup>+</sup> .
1697.5 <sup>r</sup> 10	(9 <sup>-</sup> )		G	From $^{176}\text{Yb}(\alpha, 2n\gamma)$ .
1731.064 <sup>b</sup> 4	(6) <sup>+</sup>		I	J <sup>π</sup> : 1099γ M1 to 6 <sup>+</sup> .
1741.7 <sup>h</sup> 8	(7 <sup>+</sup> )		G L	From $^{176}\text{Yb}(\alpha, 2n\gamma)$ .
1747.102 <sup>j</sup> 4	4 <sup>-</sup>		I K	J <sup>π</sup> : 337γ M1 to 4 <sup>-</sup> , 425γ M1+E2 to 3 <sup>-</sup> .
1758.143 <sup>l</sup> 4	3 <sup>+</sup>		IJK	J <sup>π</sup> : 498γ E1 to 2 <sup>-</sup> , 490γ M1 to 3 <sup>+</sup> .
1772.15 <sup>m</sup> 7	0 <sup>+</sup>		A F I N P	J <sup>π</sup> : 1772γ E0 to 0 <sup>+</sup> .
1781.264 <sup>k</sup> 4	(6) <sup>-</sup>		G I	J <sup>π</sup> : 144γ E2 to 5 <sup>-</sup> .
1788.598 <sup>g</sup> 4	6 <sup>+</sup>		IJ LMN	J <sup>π</sup> : 1156γ E2 to 6 <sup>+</sup> , 1482γ E2 to 4 <sup>+</sup> .
1803.389 <sup>n</sup> 4	3 <sup>-</sup>		I K	J <sup>π</sup> : 289γ E1 to 4 <sup>+</sup> , 543γ M1+E2 to 2 <sup>-</sup> .
1808.275 <sup>o</sup> 4	(2) <sup>+</sup>		IJK	Additional information 2. J <sup>π</sup> : 1715γ M1(+E2) to 2 <sup>+</sup> .
1818.286 <sup>m</sup> 7	2 <sup>+</sup>	0.50 ps 23	A IJK N P	J <sup>π</sup> : 1725γ E0+M1+E2 to 2 <sup>+</sup> .
1857.151 <sup>p</sup> 5	(2) <sup>-</sup>		I	J <sup>π</sup> : 597γ M1+E2 to 2 <sup>-</sup> , 535γ M1+E2 to 3 <sup>-</sup> .
1859.118 <sup>&amp;</sup> 12	(11) <sup>-</sup>		D G L N	J <sup>π</sup> : 258γ M1+E2 to 10 <sup>-</sup> . From $^{178}\text{Hf}$ IT decay (31 y).
1862.207 <sup>q</sup> 4	3 <sup>+</sup>		IJK M	See comment regarding this level in the footnote for the $K^{\pi}=2^{+}$ band based on the level at 1808 keV, and in the $^{177}\text{Hf}(n, \gamma)$ thermal) dataset. J <sup>π</sup> : 688γ M1 to 2 <sup>+</sup> , 348γ M1 to 4 <sup>+</sup> .
1863.712 <sup>j</sup> 4	(5) <sup>-</sup>		I	J <sup>π</sup> : 454γ M1 to 4 <sup>-</sup> , 351γ M1+E2 to 5 <sup>-</sup> .
1869.840 <sup>l</sup> 4	4 <sup>+</sup>		I K PQ	J <sup>π</sup> : 547γ E1 to 3 <sup>-</sup> , 1776γ E2 to 2 <sup>+</sup> .
1890.0 <sup>a</sup> 9	7 <sup>+</sup>		L	
1891.304 8	2 <sup>+</sup>		I K	J <sup>π</sup> : 716γ M1+E2 to 2 <sup>+</sup> , 622γ M1+E2 to 3 <sup>+</sup> .
1913.617 <sup>n</sup> 4	4 <sup>-</sup>		I K	J <sup>π</sup> : 273γ E1 to 5 <sup>+</sup> , 645γ E1 to 3 <sup>+</sup> .
1917.436 <sup>p</sup> 4	3 <sup>-</sup>		I K	J <sup>π</sup> : 404γ E1 to 4 <sup>+</sup> , 595γ M1+E2 to 3 <sup>-</sup> .
1939.1 <sup>r</sup> 7	(10 <sup>-</sup> )		G L Q	g <sub>K</sub> =0.62 7 from $^{176}\text{Yb}(\alpha, 3n\gamma)$ .
1942.007 5	1 <sup>+</sup> , 2 <sup>+</sup> , 3 <sup>+</sup>		IJK	J <sup>π</sup> : 1848γ M1 to 2 <sup>+</sup> .
1947.951 <sup>k</sup> 4	(7) <sup>-</sup>		G I K P	J <sup>π</sup> : 311γ E2 to 5 <sup>-</sup> .
1952.0 <sup>h</sup> 8	(8 <sup>+</sup> )		G L	From $^{176}\text{Yb}(\alpha, 2n\gamma)$ .
1953.132 <sup>q</sup> 5	4 <sup>+</sup>		IJK M	J <sup>π</sup> : 1646γ E0+M1+E2 to 4 <sup>+</sup> .
1953.682 <sup>g</sup> 5	7 <sup>+</sup>		I L	J <sup>π</sup> : 895γ M1 to 8 <sup>+</sup> .
1956.423 <sup>m</sup> 5	4 <sup>+</sup>		IJK	J <sup>π</sup> : 1650γ E0+M1+E2 to 4 <sup>+</sup> .
1986.450 4	1 <sup>+</sup> , 2 <sup>+</sup> , 3 <sup>+</sup>		IJ	J <sup>π</sup> : 536γ M1 to 4 <sup>+</sup> suggests J <sup>π</sup> =3 <sup>+</sup> , 4 <sup>+</sup> , 5 <sup>+</sup> ; 1893γ M1+E2(+E0) to 2 <sup>+</sup> suggests J <sup>π</sup> =1 <sup>+</sup> , 2 <sup>+</sup> , 3 <sup>+</sup> ; reduced I <sub>y</sub> in $^{177}\text{Hf}(n, \gamma)$ E=1-163 eV res suggests J <sup>π</sup> =2 <sup>+</sup> .
1997.466 8	3 <sup>+</sup>		IJ	J <sup>π</sup> : 179γ M1 to 2 <sup>+</sup> , 1690γ M1 to 4 <sup>+</sup> .
2007.566 4	4 <sup>+</sup> , 3 <sup>+</sup>		I	J <sup>π</sup> : 138γ M1+E2 to 4 <sup>+</sup> , 249γ M1+E2 to 3 <sup>+</sup> .
2013.551 5	3 <sup>+</sup> , 4 <sup>+</sup> , 5 <sup>+</sup>		I	J <sup>π</sup> : 378γ M1 to 4 <sup>+</sup> .
2021.181 4	1 <sup>+</sup> , 2 <sup>+</sup> , 3 <sup>+</sup>		A I	J <sup>π</sup> : 1928γ M1 to 2 <sup>+</sup> .
2024	(0 <sup>+</sup> )		PQ	J <sup>π</sup> : L=(0) in $^{180}\text{Hf}(p, t)$ .
2025.8 7	0 <sup>+</sup>		I	J <sup>π</sup> : L=0 in (p, t).
2027.565 <sup>p</sup> 5	4 <sup>-</sup>		I	J <sup>π</sup> : 705γ M1+E2 to 3 <sup>-</sup> , 515γ M1+E2 to (5) <sup>-</sup> .

Continued on next page (footnotes at end of table)

**Adopted Levels, Gammas (continued)** $^{178}\text{Hf}$  Levels (continued)

E(level) <sup>†</sup>	J <sup>π</sup> <sup>‡</sup>	T <sub>1/2</sub> <sup>#</sup>	XREF			Comments
2050.489 10	3 <sup>+</sup>		I	J		J <sup>π</sup> : 1957γ M1 to 2 <sup>+</sup> , 1744γ M1 to 4 <sup>+</sup> .
2056	(2 <sup>+</sup> )				P	J <sup>π</sup> : L=(2) in $^{180}\text{Hf}(\text{p},\text{t})$ .
2068.035 <sup>q</sup> 5	5 <sup>+</sup>		I	M		J <sup>π</sup> : 279γ M1+E2 to 6 <sup>+</sup> , 115γ M1 to 4 <sup>+</sup> .
2082.2 <sup>a</sup> 6	8 <sup>+</sup>			L		
2099.874 5	3 <sup>+</sup> , 4 <sup>+</sup>		I			J <sup>π</sup> : 777γ E1 to 3 <sup>-</sup> , 649γ M1+E2 to 4 <sup>+</sup> .
2118.6 6			I			
2136.522 <sup>&amp;</sup> 16	(12) <sup>-</sup>		D	G	L	J <sup>π</sup> : 535γ E2 to 10 <sup>-</sup> . From $^{178}\text{Hf}$ IT decay (31 y).
2137.4 <sup>k</sup> 10	(8 <sup>-</sup> )		G			
2149.6 <sup>@</sup> 10	12 <sup>+</sup>	0.56 ps 2	GH	L		
2154.1 <sup>g</sup> 7	8 <sup>+</sup>			L		
2155.7 7			I			
2183.4 <sup>h</sup> 10	(9 <sup>+</sup> )		G	L		
2202.51 <sup>r</sup> 6	(11 <sup>-</sup> )		D	G	L	
2203 10					PQ	
2227 10				M	P	
2247.8 10	1				R	
2255 1					Q	
2272.6 6			I			
2310 1					Q	
2315.8 <sup>a</sup> 9	9 <sup>+</sup>			L		
2316 10	(0 <sup>+</sup> )				P	J <sup>π</sup> : L=(0) in $^{180}\text{Hf}(\text{p},\text{t})$ .
2334.4 10	1				R	
2349.7 <sup>g</sup> 10	9 <sup>+</sup>			L		
2354 1					Q	
2365.5 7	(2 <sup>+</sup> )		I		P	J <sup>π</sup> : L=(2) in $^{180}\text{Hf}(\text{p},\text{t})$ .
2393 10					P	
2432.5 10	(1,2)				R	
2433.334 <sup>&amp;</sup> 17	(13) <sup>-</sup>		D	G	L	J <sup>π</sup> : 574γ E2 to (11) <sup>-</sup> , 297γ E2 to (8 <sup>-</sup> ).
2433.7 <sup>h</sup> 11	(10 <sup>+</sup> )		G	L		
2435 10					P	
2438.8 10	1				R	
2440.2 <sup>s</sup> 11	(10 <sup>+</sup> )			L		
2446.09 <sup>t</sup> 8	16 <sup>+</sup>	31 y 1	D	GH	L	%IT=100 J <sup>π</sup> : 309γ M4 to (12) <sup>-</sup> , 12.7γ E3 to (13) <sup>-</sup> . T <sub>1/2</sub> : from $^{178}\text{Hf}$ IT decay (31 y). No β <sup>-</sup> (<0.3%); no ε (<1%); no α (<5×10 <sup>-6</sup> %) (1980Va04). μ=7.26 to 7.46 brute force nuclear orientation (1989Ra17).
2463 1					Q	
2474.8 7			I		P	
2485.2 <sup>r</sup> 7	(12) <sup>-</sup>		G	L		
2508 1					Q	
2537.8 <sup>a</sup> 9	10 <sup>+</sup>			L	Q	
2552.8 7			I			
2557.9 7			I			
2572.4 <sup>u</sup> 3	14 <sup>-</sup>	68 μs 2	GH		P	J <sup>π</sup> : 140γ M1 to (13) <sup>-</sup> . T <sub>1/2</sub> : From $^{176}\text{Yb}(\alpha, 2n\gamma)$ .
2604.2 <sup>g</sup> 9	10 <sup>+</sup>			L		
2612.7 10	1				R	
2631.4 7			I			
2668 10	(2 <sup>+</sup> )				P	J <sup>π</sup> : L=(2) in $^{180}\text{Hf}(\text{p},\text{t})$ .
2700.7 <sup>h</sup> 12	(11 <sup>+</sup> )		G	L		

Continued on next page (footnotes at end of table)

**Adopted Levels, Gammas (continued)** $^{178}\text{Hf}$  Levels (continued)

E(level) <sup>†</sup>	J <sup>π</sup> <sup>‡</sup>	T <sub>1/2</sub> <sup>#</sup>	XREF	Comments
2707 10				P
2737.6 7			I	
2749.1 & 10	(14 <sup>-</sup> )		G L	
2776.6 @ 12	14 <sup>+</sup>	0.33 ps 7	GH L	J <sup>π</sup> : from Coulomb excitation.
2785.3 r 10	(13 <sup>-</sup> )		G	
2797.8 a 13	11 <sup>+</sup>		L	
2803.5 t 3	17 <sup>+</sup>		H L	
2827.5 10	1			R
2827.7 g 15	11 <sup>+</sup>		L	
2839.6 10	1			R
2865.9 7			I	
2894.1 10	1			R
2898.8 7			I	
2909.1 9	(15 <sup>-</sup> )		H	
2915.7 10	1			R
2942.0 s 10	(12 <sup>+</sup> )		L	
2957.7 7			I	
2987.2 h 13	(12 <sup>+</sup> )		L	
3018.8 10	1			R
3052.7 a 11	(12 <sup>+</sup> )		L	
3084.3 & 10	15 <sup>-</sup>		L	
3100.5 6			I	
3100.6 r 7	(14 <sup>-</sup> )		L	
3112.8 7			I	
3135.2 g 14	12 <sup>+</sup>		L	
3144.4 10	1			R
3180.9 t 7	18 <sup>+</sup>		H L	
3263.7 9	16 <sup>-</sup>		H	
3283.8 h 13	13 <sup>+</sup>		L	
3293.4 10	1			R
3335.8 a 17	13 <sup>+</sup>		L	
3379.7 g 18	13 <sup>+</sup>		L	
3410.0 10	1			R
3435.0 @ 14	16 <sup>+</sup>		H L	J <sup>π</sup> : from Coulomb excitation.
3452.7 10	1			R
3521.8 s 11	(14 <sup>+</sup> )		L	
3546.0 10	1			R
3572.5 10	1			R
3577.7 10	1			R
3578.4 t 8	19 <sup>+</sup>		H L	
3589.3 10	1			R
3595.5 h 14	14 <sup>+</sup>		L	
3609.9 10	1			R
3624.7 a 15	14 <sup>+</sup>		L	
3625.6 10	(1,2)			R
3710.8 10	1			R
3741.2 g 17	14 <sup>+</sup>		L	
3773.2 10	1			R
3823.9 10	1			R
3890.0 10	1,2			R
3902 h	15 <sup>+</sup>		L	
3909.5 7			I	
3925.2 10	1			R

Continued on next page (footnotes at end of table)



**Adopted Levels, Gammas (continued)** $^{178}\text{Hf}$  Levels (continued)

E(level) <sup>†</sup>	J <sup>π</sup> <sup>‡</sup>	XREF		Comments
3927.8 <sup>a</sup> 20	15 <sup>+</sup>		L	
3932.2 10	1			R
3995.5 <sup>t</sup> 9	20 <sup>+</sup>	H	L	
3997 <sup>g</sup> 8	15 <sup>+</sup>	H	L	
4119.4 <sup>@</sup> 17	18 <sup>+</sup>	H	L	J <sup>π</sup> : from Coulomb excitation.
4178.8 <sup>s</sup> 13	(16 <sup>+</sup> )		L	
4210.5 7		I		
4325.2 7		I		
4378.0 7		I		
4417.2 <sup>g</sup> 20	16 <sup>+</sup>		L	J <sup>π</sup> : from Coulomb excitation.
4431.7 <sup>t</sup> 10	21 <sup>+</sup>	H		
4593.1 7		I		
4781.9 7		I		
4837.4 <sup>@</sup> 20	20 <sup>+</sup>	H	L	J <sup>π</sup> : from Coulomb excitation.
4873.7 7		I		
4886.1 <sup>t</sup> 12	(22 <sup>+</sup> )	H		J <sup>π</sup> : from $^{176}\text{Yb}(^9\text{Be}, \alpha 3n\gamma)$ .
4914.7 7		I		
5010.1 7		I		
5283.0 7		I		
5388.6 6		I		

<sup>†</sup> From a least-squares fit to adopted  $\gamma$ -ray energies.

<sup>‡</sup> Assignments are based on rotational band structure, on  $\gamma$ -ray multipolarities and decay patterns, and on (n, $\gamma$ ) population from average neutron capture resonance at 2 and 24 keV. Where needed, specific arguments are given with individual levels.

# From Coulomb excitation unless otherwise specified.

@ Band(A):  $K^\pi=0^+$ . g.s. rotational band.

& Band(B):  $K^\pi=8^-$ . 4.0 s isomeric band based on the 1147-keV state.

<sup>a</sup> Band(C):  $K^\pi=2^+$ .  $\gamma$  vibrational band based on the 1174-keV state.

<sup>b</sup> Band(D):  $K^\pi=0^+$ . Band based on the 1199-keV level.

<sup>c</sup> Band(E):  $K^\pi=2^-$ . Band based on the 1260-keV level.

<sup>d</sup> Band(F):  $K^\pi=1^-$ . Band based on the 1310-keV level.

<sup>e</sup> Band(G):  $K^\pi=0^+$ . Band based on the 1434-keV level.

<sup>f</sup> Band(H):  $K^\pi=0^+$ . Band based on the 1444-keV level.

<sup>g</sup> Band(I):  $K^\pi=4^+$ . Band based on the 1514-keV level.

<sup>h</sup> Band(J):  $K^\pi=6^+$ . 77 ns isomeric band based on the 1554-keV level.

<sup>i</sup> Band(K):  $K^\pi=(2^+)$ . Band based on the 1561-keV level.

<sup>j</sup> Band(L):  $K^\pi=2^-$ . Band based on the 1566-keV level.

<sup>k</sup> Band(M):  $K^\pi=5^-$ . Band based on the 1636-keV level.

<sup>l</sup> Band(N):  $K^\pi=3^+$ . Band based on the 1758-keV level.

<sup>m</sup> Band(O):  $K^\pi=0^+$ . Band based on the 1772-keV level.

<sup>n</sup> Band(P):  $K^\pi=3^-$ . Band based on the 1803-keV level.

<sup>o</sup> Band(Q):  $K^\pi=2^+$ . Band based on the 1808-keV level. This state has been adopted as the bandhead of a  $K^\pi=2^+$  band in [1986Ha22](#), with excited levels at 1862 (3<sup>+</sup>), 1953 (4<sup>+</sup>) and 2068 (5<sup>+</sup>) keV. In [1993Sh15](#) it is claimed, however, that this level is not part of that band, and instead propose a new  $K^\pi=3^+$  band, based on 1862 keV.

<sup>p</sup> Band(R):  $K^\pi=2^-$ . Band based on the 1857-keV level.

<sup>q</sup> Band(S):  $K^\pi=3^+$ . Band based on the 1862-keV level. This band is proposed on the basis of the data and discussion in [1993Sh15](#).

<sup>r</sup> Band(T): 2nd  $K^\pi=8^-$ . Band based on the 1479-keV level.

<sup>s</sup> Band(U): Band "A". From [\(2007Ha05\)](#) based on the 2440-keV level.

<sup>t</sup> Band(V):  $K^\pi=16^+$ . 31 y isomeric band based on the 2446-keV level.

<sup>u</sup> Band(W):  $K^\pi=14^-$ . 68 ms isomeric band based on the 2573-keV level.

## Adopted Levels, Gammas (continued)

$\gamma(^{178}\text{Hf})$									
$E_i(\text{level})$	$J_i^\pi$	$E_\gamma^\dagger$	$I_\gamma^\dagger$	$E_f$	$J_f^\pi$	Mult. <sup>g</sup>	$\delta^g$	$\alpha^i$	Comments
93.1803	2 <sup>+</sup>	93.1803 <sup>a</sup> 10	100	0.0	0 <sup>+</sup>	E2		4.66	B(E2)(W.u.)=160 3 B(E2)=4.91 10.
306.6182	4 <sup>+</sup>	213.4378 <sup>a</sup> 21	100	93.1803	2 <sup>+</sup>	E2		0.232	
632.178	6 <sup>+</sup>	325.560 <sup>b</sup> 3	100	306.6182	4 <sup>+</sup>	E2		0.0622	B(E2)(W.u.)=219 12
1058.550	8 <sup>+</sup>	426.369 <sup>b</sup> 7	100	632.178	6 <sup>+</sup>	E2		0.0292	B(E2)(W.u.)=237 6
1147.416	8 <sup>-</sup>	88.8667 <sup>b</sup> 10	100	1058.550	8 <sup>+</sup>	E1		0.487	B(E1)(W.u.)=5.1×10 <sup>-14</sup> 3
1174.630	2 <sup>+</sup>	867.990 16	1.47 9	306.6182	4 <sup>+</sup>	(E2)		0.00547	B(E2)(W.u.)=0.259 23
		1081.448 16	75.0 7	93.1803	2 <sup>+</sup>	E2		0.00349	B(E2)(W.u.)=4.4 3 I <sub>γ</sub> : I <sub>γ</sub> (1082γ)/I <sub>γ</sub> (1175γ)=1.08 5 (1971Va06). δ(Q/D)=-32, from Coulomb excitation (1971Va06).
		1174.668 23	100 9	0.0	0 <sup>+</sup>	(E2)		0.00297	B(E2)(W.u.)=3.9 5
1199.385	0 <sup>+</sup>	1106.201 18	100 3	93.1803	2 <sup>+</sup>	E2		0.00334	
		1199.28 5		0.0	0 <sup>+</sup>	E0			
1260.248	2 <sup>-</sup>	85.621 11	7.7 5	1174.630	2 <sup>+</sup>	E1		0.536	
		1167.060 17	100.0 10	93.1803	2 <sup>+</sup>	E1		1.25×10 <sup>-3</sup>	
1268.537	3 <sup>+</sup>	961.915 14	19.2 8	306.6182	4 <sup>+</sup>	E2		0.00442	
		1175.31 5	100 11	93.1803	2 <sup>+</sup>	E2		0.00297	
1276.692	2 <sup>+</sup>	970.105 14	29.2& 15	306.6182	4 <sup>+</sup>	(E2)		0.00435	B(E2)(W.u.)=4.4 +10-14
		1183.535 17	100& 1	93.1803	2 <sup>+</sup>	E0+M1+E2		0.0042 13	B(M1)(W.u.)=0.0008 3
		1276.682 19	18.8& 7	0.0	0 <sup>+</sup>	E2		0.00254	B(E2)(W.u.)=0.72 +15-23
1310.068	1 <sup>-</sup>	1216.856 18	17.3& 16	93.1803	2 <sup>+</sup>	E1		1.17×10 <sup>-3</sup>	
		1310.059 19	100& 2	0.0	0 <sup>+</sup>	E1		1.08×10 <sup>-3</sup>	
1322.463	3 <sup>-</sup>	147.836 2	5.85 18	1174.630	2 <sup>+</sup>				
		1015.79 5	3.8 6	306.6182	4 <sup>+</sup>	E1		1.59×10 <sup>-3</sup>	
		1229.30 9	100 1	93.1803	2 <sup>+</sup>	E1		1.16×10 <sup>-3</sup>	
1362.551	2 <sup>-</sup>	52.482 1	1.08 18	1310.068	1 <sup>-</sup>	M1+E2	0.24 +8-6	7.2 20	
		102.307 2	0.37 4	1260.248	2 <sup>-</sup>				
		187.919 3	0.41 4	1174.630	2 <sup>+</sup>				
		1269.351 19	100 3	93.1803	2 <sup>+</sup>	E1		1.11×10 <sup>-3</sup>	
1364.078	9 <sup>-</sup>	216.668 <sup>‡</sup> 7	100	1147.416	8 <sup>-</sup>	E2+M1	1.63 <sup>h</sup> +22-18	0.284 12	
1384.461	4 <sup>+</sup>	209.828 3	0.61 3	1174.630	2 <sup>+</sup>				
		1077.819 16	100.0 10	306.6182	4 <sup>+</sup>	E2		0.00352	
		1291.274 19	45.5 10	93.1803	2 <sup>+</sup>	E2		0.00249	
1409.439	4 <sup>-</sup>	140.906 3	9.2 4	1268.537	3 <sup>+</sup>	E1		0.1463	
		149.193 3	5.97 17	1260.248	2 <sup>-</sup>	(E2)		0.791	
		1102.832 16	100.0 10	306.6182	4 <sup>+</sup>	E1		1.37×10 <sup>-3</sup>	

Adopted Levels, Gammas (continued)

$\gamma(^{178}\text{Hf})$ (continued)									
$E_i(\text{level})$	$J_i^\pi$	$E_\gamma^\dagger$	$I_\gamma^\dagger$	$E_f$	$J_f^\pi$	Mult. <sup>g</sup>	$\delta^g$	$\alpha^i$	Comments
1433.623	(3) <sup>-</sup>	111.160 2	0.40 5	1322.463	3 <sup>-</sup>	(M1)		2.96	
		123.565 4	0.40 3	1310.068	1 <sup>-</sup>				
		156.920 4	0.22 3	1276.692	2 <sup>+</sup>				
		173.374 3	2.97 9	1260.248	2 <sup>-</sup>	M1+E2	1.8 2	0.555 19	
		1126.995 16	7.37 22	306.6182	4 <sup>+</sup>				
		1340.460 21	100 3	93.1803	2 <sup>+</sup>	E1		1.05×10 <sup>-3</sup>	
1434.230	0 <sup>+</sup>	1340.84 9	100 3	93.1803	2 <sup>+</sup>	E2		0.00232	
		1434.25 18		0.0	0 <sup>+</sup>	E0			I <sub>(<math>\gamma</math>+ce)</sub> : 0.00116 5, from <sup>178</sup> Ta $\varepsilon$ decay (9.31 min).
1443.934	0 <sup>+</sup>	269.4 1	1.6 4	1174.630	2 <sup>+</sup>	E2		0.1100	
		1350.68& 3	100 3	93.1803	2 <sup>+</sup>	E2		0.00229	
		1443.80 5		0.0	0 <sup>+</sup>	E0			
1450.363	4 <sup>+</sup>	173.673 2	0.95 8	1276.692	2 <sup>+</sup>				
		818.190 13	7.9 4	632.178	6 <sup>+</sup>	E2		0.00620	B(E2)(W.u.)=1.8 16
		1143.762 17	100.0 11	306.6182	4 <sup>+</sup>	E0+M1+E2		0.0046 15	
		1357.12 6	6.39 19	93.1803	2 <sup>+</sup>	E2		0.00227	B(E2)(W.u.)=0.11 11
1479.025	8 <sup>-</sup>	331.608 4	100	1147.416	8 <sup>-</sup>	M1		0.1418	E $\gamma$ , Mult.: from <sup>178</sup> Ta $\varepsilon$ decay (2.36 h).
1496.449	2 <sup>+</sup>	62.215 12	1.8 4	1434.230	0 <sup>+</sup>	(E2)		24.4	B(E2) for this transition significantly exceeds the RUL, with B(E2)(W.u.)=1.0×10 <sup>5</sup> 4. This suggests a problem with either the T <sub>1/2</sub> of the level or the I $\gamma$ of the 62.2 $\gamma$ .
		1189.49 10	5.4 5	306.6182	4 <sup>+</sup>	E2		0.00290	B(E2)(W.u.)=0.11 3
									E $\gamma$ : from <sup>178</sup> Ta $\varepsilon$ decay (9.31 min).
		1403.260 21	100& 2	93.1803	2 <sup>+</sup>	E0+M1+E2		0.0029 8	
		1496.21& 15	57 4	0.0	0 <sup>+</sup>	E2		0.00194	B(E2)(W.u.)=0.39 10
1512.592	(5) <sup>-</sup>	103.152 2	0.59 5	1409.439	4 <sup>-</sup>				
		190.13j 3	9.2j 4	1322.463	3 <sup>-</sup>				
		1205.957 18	100 4	306.6182	4 <sup>+</sup>	E1		1.19×10 <sup>-3</sup>	
1513.607	2 <sup>+</sup>	69.670 5	13 6	1443.934	0 <sup>+</sup>				
		1513.72 7	100 6	0.0	0 <sup>+</sup>	E2		0.00190	
1513.68		151.2d 3	46d 18	1362.551	2 <sup>-</sup>	(E0+M1+E2)		0.99 24	
		203.6d 3	100d 10	1310.068	1 <sup>-</sup>				
		1420.53ek 10	54e 4	93.1803	2 <sup>+</sup>				
		1513.62fk 10	58f 3	0.0	0 <sup>+</sup>				
1513.831	4 <sup>+</sup>	129.365j 3	1.71j 5	1384.461	4 <sup>+</sup>				
		245.298 3	19.5 12	1268.537	3 <sup>+</sup>	E2		0.1476	B(E2)(W.u.)=14.6
		339.198 5	47.8 19	1174.630	2 <sup>+</sup>	E2		0.0552	B(E2)(W.u.)=7.1
		881.664 18	4.7 5	632.178	6 <sup>+</sup>				

## Adopted Levels, Gammas (continued)

 $\gamma(^{178}\text{Hf})$  (continued)

$E_i(\text{level})$	$J_i^\pi$	$E_\gamma^\dagger$	$I_\gamma^\dagger$	$E_f$	$J_f^\pi$	Mult. <sup>g</sup>	$\delta^g$	$\alpha^i$	Comments
1513.831	4 <sup>+</sup>	1207.204 18	100 4	306.6182	4 <sup>+</sup>	M1+E2	2.1 +13-5	0.0033 3	B(M1)(W.u.)=1.6×10 <sup>-5</sup> +17-16; B(E2)(W.u.)=0.021 5
1533.153	5 <sup>+</sup>	1420.653 21	51.8 16	93.1803	2 <sup>+</sup>	E2		0.00210	B(E2)(W.u.)=0.0060
		264.613 4	2.04 15	1268.537	3 <sup>+</sup>				
		900.986 13	19.2 12	632.178	6 <sup>+</sup>	E2		0.00506	
1538.790	4 <sup>-</sup>	1226.53 3	100 2	306.6182	4 <sup>+</sup>	M1+E2	2.2 +10-5	0.00313 21	
		105.164 6	10.22 11	1433.623	(3) <sup>-</sup>	(M1)		3.47	
		129.365 <sup>j</sup> 3	4.65 <sup>j</sup> 14	1409.439	4 <sup>-</sup>			1.92	
		154.346 9	0.35 8	1384.461	4 <sup>+</sup>				
		176.239 2	6.5 3	1362.551	2 <sup>-</sup>	(E2)		0.441	
		216.329 3	15.2 8	1322.463	3 <sup>-</sup>	M1+E2	0.64 24	0.39 4	
		1232.156 18	100.0 19	306.6182	4 <sup>+</sup>	E1		1.16×10 <sup>-3</sup>	
		40 <sup>@</sup> 1		1513.831	4 <sup>+</sup>	[E2]		2.1×10 <sup>2</sup> 3	
1553.997	6 <sup>+</sup>	169.537 2	7.2 3	1384.461	4 <sup>+</sup>	E2		0.505	B(E2)(W.u.)=0.0376 20
		406.579 6	3.97 17	1147.416	8 <sup>-</sup>	(M2)		0.282	B(M2)(W.u.)=0.0269 15
		921.827 13	100 5	632.178	6 <sup>+</sup>	E2		0.00483	B(E2)(W.u.)=0.000110 7
		1247.391 18	51.5 13	306.6182	4 <sup>+</sup>	(E2)		0.00265	B(E2)(W.u.)=1.25×10 <sup>-5</sup> 6
		292.993 4	1.13 7	1268.537	3 <sup>+</sup>				
		386.938 21	1.3 4	1174.630	2 <sup>+</sup>				
1561.540	2 <sup>+</sup>	1254.921 19	100 3	306.6182	4 <sup>+</sup>	E2		0.00262	
		1468.406 22	30.1 15	93.1803	2 <sup>+</sup>	E0+M1+E2		0.0027 7	
		1561.63 5	27.2 16	0.0	0 <sup>+</sup>	E2		0.00181	
		133.043 2	26 1	1433.623	(3) <sup>-</sup>	M1+E2	1.1 +3-2	1.46 7	
		204.121 3	32 1	1362.551	2 <sup>-</sup>	M1		0.532	
		244.2 <sup>k</sup> 3		1322.463	3 <sup>-</sup>				E <sub>γ</sub> , I <sub>γ</sub> : observed in <sup>178</sup> Lu β <sup>-</sup> decay (28.4 min) only. Relative intensity: I <sub>γ</sub> (244)=0.3 2 relative to I <sub>γ</sub> (204)=3.9 9 (1973Or03).
		256.602 18	100 4	1310.068	1 <sup>-</sup>	M1+E2	0.58 17	0.244 18	
		306.409 <sup>j</sup> 4	28.5 <sup>j</sup> 20	1260.248	2 <sup>-</sup>				
1570.3	10 <sup>+</sup>	1473.462 22	65 4	93.1803	2 <sup>+</sup>	E1		9.95×10 <sup>-4</sup>	
		512.4	100	1058.550	8 <sup>+</sup>	[E2]		0.0182	B(E2)(W.u.)=257 8 E <sub>γ</sub> : from Coulomb excitation, <sup>176</sup> Yb(α,2nγ).
1601.484	10 <sup>-</sup>	237.430 <sup>‡</sup> 10	56 1	1364.078	9 <sup>-</sup>	M1+E2	1.57 <sup>h</sup> +31-24	0.218 14	
1635.603	4 <sup>+</sup>	454.048 <sup>‡</sup> 12	100 2	1147.416	8 <sup>-</sup>	E2		0.0248	
		185.276 10	1.52 11	1450.363	4 <sup>+</sup>	M1+E2	1.1 +8-4	0.52 8	
		367.079 6	1.20 22	1268.537	3 <sup>+</sup>				
1636.727	5 <sup>-</sup>	1542.436 23	100 4	93.1803	2 <sup>+</sup>	E2		0.00185	
		82.731 2	15.4 6	1553.997	6 <sup>+</sup>	E1		0.586	B(E1)(W.u.)=6.8×10 <sup>-5</sup> 18

## Adopted Levels, Gammas (continued)

$\gamma(^{178}\text{Hf})$ (continued)									
$E_i(\text{level})$	$J_i^\pi$	$E_\gamma^{\dagger}$	$I_\gamma^{\dagger}$	$E_f$	$J_f^\pi$	Mult. <sup>g</sup>	$\delta^g$	$\alpha^i$	Comments
1636.727	$5^-$	97.937 3	3.31 8	1538.790	$4^-$	(M1)		4.25	B(M1)(W.u.)=0.00091 23
		122.897 1	27.5 8	1513.831	$4^+$	E1		0.209	B(E1)(W.u.)= $3.7 \times 10^{-5}$ 10
		124.130 3	1.30 4	1512.592	$(5)^-$	M1		2.16	B(M1)(W.u.)=0.00018 5
		203.107 3	6.16 24	1433.623	$(3)^-$	(E2)		0.273	B(E2)(W.u.)=2.0 5
		227.286 3	13.7 13	1409.439	$4^-$	E2(+M1)		0.29 11	
		1004.13 24	8.1 6	632.178	$6^+$	E1		$1.62 \times 10^{-3}$	B(E1)(W.u.)= $2.0 \times 10^{-8}$ 6
		1329.98 7	100 4	306.6182	$4^+$	E1		$1.06 \times 10^{-3}$	B(E1)(W.u.)= $1.1 \times 10^{-7}$ 3
1639.758	$3^-$	73.087 2	13.2 7	1566.668	$2^-$	(M1+E2)		11.3 14	
		100.973 2	4.31 17	1538.790	$4^-$	(M1)		3.89	
		206.141 3	15.1 6	1433.623	$(3)^-$	E2		0.260	
		230.321 3	17.5 9	1409.439	$4^-$	E2(+M1)		0.28 10	
		277.209 4	100 6	1362.551	$2^-$	M1+E2	0.7 2	0.187 17	
		371.212 5	3.53 17	1268.537	$3^+$				
		379.505 5	39.3 16	1260.248	$2^-$	M1+E2	0.92 17	0.072 6	
1640.452	$5^+$	107.331 <sup>j</sup> 15	10.68 <sup>j</sup> 22	1533.153	$5^+$				
		126.625 11	21.1 4	1513.831	$4^+$	M1+E2	0.65 8	1.86 4	
		190.13 <sup>j</sup> 3	8.6 <sup>j</sup> 4	1450.363	$4^+$				
		231.018 10	0.28 4	1409.439	$4^-$				
		256.001 16	20.4 7	1384.461	$4^+$				
		371.932 <sup>j</sup> 23	1.44 <sup>j</sup> 7	1268.537	$3^+$				
		1008.255 15	20.6 4	632.178	$6^+$	E2		0.00402	
1648.838	$(6)^-$	1333.796 20	100 3	306.6182	$4^+$	M1+E2	2.7 6	0.00256 12	
		136.26 4	5.88 20	1512.592	$(5)^-$	E2		1.097	
		239.397 3	60 4	1409.439	$4^-$	E2		0.1595	
1651.459	$(5)^-$	1016.605 23	100 5	632.178	$6^+$	E1		$1.59 \times 10^{-3}$	
		112.669 3	8.2 3	1538.790	$4^-$	M1		2.84	
		138.869 3	1.47 12	1512.592	$(5)^-$				
		217.834 3	11.7 5	1433.623	$(3)^-$	(E2)		0.217	
1654.3	$(4^+)$	242.019 3	21.3 10	1409.439	$4^-$	M1+E2	0.44 13	0.304 16	
		1344.86 7	100 3	306.6182	$4^+$	(E1)		$1.05 \times 10^{-3}$	
		331 1	$\leq 59$	1322.463	$3^-$				
		378 1	47 18	1276.692	$2^+$				
		1348 1	100 25	306.6182	$4^+$				
1691.083	$6^+$	1561 <sup>k</sup> 1	$\leq 35$	93.1803	$2^+$				
		157.920 11	17.0 3	1533.153	$5^+$				
		306.68 3	5.9 8	1384.461	$4^+$				
		1059.03 9	100 3	632.178	$6^+$	M1+E2	2.6 +14-6	0.0041 3	
1697.5	$(9^-)$	1384.46 3	59.2 24	306.6182	$4^+$	E2		0.00220	
		333.4 @	100	1364.078	$9^-$				

## Adopted Levels, Gammas (continued)

$E_i(\text{level})$	$J_i^\pi$	$\gamma(^{178}\text{Hf})$ (continued)				Mult. <sup>g</sup>	$\delta^g$	$\alpha^i$	Comments
		$E_\gamma$ <sup>†</sup>	$I_\gamma$ <sup>†</sup>	$E_f$	$J_f^\pi$				
1731.064	(6) <sup>+</sup>	280.710 <sup>j</sup> 22 672.46 4 1098.79 7	100 <sup>j</sup> 7 3.7 4 27.2 13	1450.363 1058.550 632.178	4 <sup>+</sup> 8 <sup>+</sup> 6 <sup>+</sup>	M1		0.00659	
1741.7	(7 <sup>+</sup> )	187.7 @	100	1553.997	6 <sup>+</sup>				
1747.102	4 <sup>-</sup>	107.331 <sup>j</sup> 15 180.435 3 208.318 3 313.474 4 337.657 5 424.635 6 1440.56 5	81.3 <sup>j</sup> 17 16.3 7 7.8 3 100 5 51 4 98 7 49 4	1639.758 1566.668 1538.790 1433.623 1409.439 1322.463 306.6182	3 <sup>-</sup> 2 <sup>-</sup> 4 <sup>-</sup> (3) <sup>-</sup> 4 <sup>-</sup> 3 <sup>-</sup> 4 <sup>+</sup>	(E2)		0.407	
1758.143	3 <sup>+</sup>	244.311 3	52 3	1513.831	4 <sup>+</sup>	M1+E2	0.61 17		0.139 11
		435.684 6	13.9 4	1322.463	3 <sup>-</sup>	M1			0.1352
		489.611 10	1.57 11	1268.537	3 <sup>+</sup>	M1+E2	0.40 +16-20		0.068 5
		497.888 7	100.0 11	1260.248	2 <sup>-</sup>	E1			0.00663
		583.511 8	4.1 5	1174.630	2 <sup>+</sup>	(E2)			0.01326
		1678.82 & 12	100 11	93.1803	2 <sup>+</sup>	E2			1.64×10 <sup>-3</sup>
1781.264	(6) <sup>-</sup>	1772.21 8		0.0	0 <sup>+</sup>	E0		0.886	E <sub>γ</sub> : from <sup>178</sup> Lu β <sup>-</sup> decay (28.4 min), <sup>178</sup> Ta ε decay (9.31 min), and <sup>178</sup> Hf(n,n'γ). I <sub>(γ+ce)</sub> : 0.024 6.
		140.806 5	4.9 3	1640.452	5 <sup>+</sup>	E2			
		144.542 2	100.0 23	1636.727	5 <sup>-</sup>				
		242.483 6	2.15 15	1538.790	4 <sup>-</sup>				
		268.667 4	4.31 23	1512.592	(5) <sup>-</sup>				
1788.598	6 <sup>+</sup>	57.534 1	5.9 6	1731.064	(6) <sup>+</sup>	M1		3.35	
		148.148 <sup>j</sup> 3	22.8 <sup>j</sup> 11	1640.452	5 <sup>+</sup>				
		234.595 9	47 6	1553.997	6 <sup>+</sup>	M1+E2	1.7 +6-3		0.220 20
		274.761 4	25 6	1513.831	4 <sup>+</sup>	E2			0.1035
		1156.33 6	100 2	632.178	6 <sup>+</sup>	M1+E2	0.9 +11-5		0.0046 10
		1482.03 4	23.4 12	306.6182	4 <sup>+</sup>	E2			0.00196
1803.389	3 <sup>-</sup>	289.556 4	100 5	1513.831	4 <sup>+</sup>	E1		0.0233	
		393.954 <sup>j</sup> 6	1.09 <sup>j</sup> 8	1409.439	4 <sup>-</sup>				
		440.840 10	0.60 8	1362.551	2 <sup>-</sup>				
		543.136 23	10.7 3	1260.248	2 <sup>-</sup>	M1+E2	3.6 11		0.0174 16
		628.765 9	21.8 5	1174.630	2 <sup>+</sup>	E1			0.00404
1808.275	(2) <sup>+</sup>	311.76 3	8.0 7	1496.449	2 <sup>+</sup>			0.026 9	
		531.71 6	7.1 7	1276.692	2 <sup>+</sup>	E2(+M1)	>0.6		
		539.66 3	7.8 5	1268.537	3 <sup>+</sup>				
		1501.1		306.6182	4 <sup>+</sup>				
1818.286	2 <sup>+</sup>	1715.06 4	100 12	93.1803	2 <sup>+</sup>	M1(+E2)	<1.7	0.0021 4	
		455.76 4	0.35 14	1362.551	2 <sup>-</sup>				

## Adopted Levels, Gammas (continued)

$\gamma(^{178}\text{Hf})$ (continued)									
$E_i(\text{level})$	$J_i^\pi$	$E_\gamma^\dagger$	$I_\gamma^\dagger$	$E_f$	$J_f^\pi$	Mult. <sup>g</sup>	$\delta^g$	$\alpha^i$	Comments
1818.286	2 <sup>+</sup>	541.593 8	6.7 4	1276.692	2 <sup>+</sup>	M1+E2	1.0 2	0.027 3	B(M1)(W.u.)<0.013; B(E2)(W.u.)>2.6
		618.95 3	1.4 4	1199.385	0 <sup>+</sup>				
		1511.74 5	41 4	306.6182	4 <sup>+</sup>	E2		0.00190	B(E2)(W.u.)=0.7 4
		1725.13 4	100 9	93.1803	2 <sup>+</sup>	E0+M1+E2		0.0020 5	B(M1)(W.u.)<0.0063
1857.151	(2) <sup>-</sup>	48.877 2	1.1 3	1808.275	(2) <sup>+</sup>				
		290.58 <sup>j</sup> 5	1.9 <sup>j</sup> 3	1566.668	2 <sup>-</sup>				
		494.580 8	33.6 7	1362.551	2 <sup>-</sup>	M1+E2	1.9 +11-5	0.026 4	
		534.699 8	18.9 13	1322.463	3 <sup>-</sup>	M1+E2	1.1 +3-2	0.027 3	
		596.886 8	100 3	1260.248	2 <sup>-</sup>	M1		0.0305	
		682.512 10	52.4 16	1174.630	2 <sup>+</sup>	E1		0.00342	
1859.118	(11) <sup>-</sup>	257.645 <sup>‡</sup> 10	23.5 5	1601.484	10 <sup>-</sup>	E2+M1	4.3 <sup>h</sup> +26-12	0.134 7	
		495.013 <sup>‡</sup> 15	100 3	1364.078	9 <sup>-</sup>	E2		0.0198	
1862.207	3 <sup>+</sup>	53.931 1	2.4 3	1808.275	(2) <sup>+</sup>	(E2)		48.8	
		221.752 9	0.38 10	1640.452	5 <sup>+</sup>				
		300.625 22	0.91 10	1561.540	2 <sup>+</sup>				
		348.372 5	100 3	1513.831	4 <sup>+</sup>	M1		0.1243	
		477.712 13	0.96 10	1384.461	4 <sup>+</sup>				
		585.534 8	2.92 24	1276.692	2 <sup>+</sup>	M1		0.0320	
		687.602 10	10.8 5	1174.630	2 <sup>+</sup>	M1		0.0212	
1863.712	(5) <sup>-</sup>	116.610 <sup>j</sup> 1	64.5 <sup>j</sup> 14	1747.102	4 <sup>-</sup>				
		223.955 3	26.5 16	1639.758	3 <sup>-</sup>				
		324.919 4	62 7	1538.790	4 <sup>-</sup>	M1		0.1498	
		351.118 5	44.4 18	1512.592	(5) <sup>-</sup>	M1+E2	0.64 14	0.101 7	
		454.265 6	100 4	1409.439	4 <sup>-</sup>	M1+E2	0.35 +11-15	0.058 3	
1869.840	4 <sup>+</sup>	111.697 1	25.7 3	1758.143	3 <sup>+</sup>	M1+E2	0.58 24	2.76 10	
		229.391 3	44.0 18	1640.452	5 <sup>+</sup>	M1(+E2)		0.28 11	
		330.99 3	1.3 4	1538.790	4 <sup>-</sup>				
		336.667 13	2.4 12	1533.153	5 <sup>+</sup>				
		436.214 6	10.1 4	1433.623	(3) <sup>-</sup>				
		547.378 8	100.0 22	1322.463	3 <sup>-</sup>	E1		0.00540	
		601.31 3	2.8 5	1268.537	3 <sup>+</sup>				
		1562.1		306.6182	4 <sup>+</sup>				
		1776.59 4	30 6	93.1803	2 <sup>+</sup>	E2		1.53×10 <sup>-3</sup>	
1890.0	7 <sup>+</sup>	357 <sup>#</sup>		1533.153	5 <sup>+</sup>				
1891.304	2 <sup>+</sup>	329.789 18	7.2 5	1561.540	2 <sup>+</sup>				
		614.58 3	16.8 19	1276.692	2 <sup>+</sup>				
		622.82 3	23.9 7	1268.537	3 <sup>+</sup>	E2+M1	2.5 +15-6	0.0136 13	
		631.062 10	13.3 5	1260.248	2 <sup>-</sup>				
		691.902 13	11.3 16	1199.385	0 <sup>+</sup>				
		716.650 15	100 4	1174.630	2 <sup>+</sup>	M1+E2	1.36 +37-26	0.0121 12	

Adopted Levels, Gammas (continued)

$\gamma(^{178}\text{Hf})$ (continued)								
$E_i(\text{level})$	$J_i^\pi$	$E_\gamma^\dagger$	$I_\gamma^\dagger$	$E_f$	$J_f^\pi$	Mult. <sup>g</sup>	$\delta^g$	$\alpha^i$
1891.304	2 <sup>+</sup>	1798.14 4	81 9	93.1803	2 <sup>+</sup>	M1		0.00224
1913.617	4 <sup>-</sup>	110.229 1	3.88 19	1803.389	3 <sup>-</sup>			
		155.470 4	2.14 19	1758.143	3 <sup>+</sup>			
		273.161 4	100 5	1640.452	5 <sup>+</sup>	E1		0.0269
		399.787 5	66.3 19	1513.831	4 <sup>+</sup>	E1		0.01083
		401.035 6	4.6 3	1512.592	(5) <sup>-</sup>			
		504.157 7	22.8 14	1409.439	4 <sup>-</sup>	M1+E2	0.78 +44-35	0.036 7
		591.148 13	7.7 5	1322.463	3 <sup>-</sup>			
		645.081 9	55 3	1268.537	3 <sup>+</sup>	E1		0.00383
1917.436	3 <sup>-</sup>	1607.17 10	9.9 15	306.6182	4 <sup>+</sup>			
		114.049 2	3.8 5	1803.389	3 <sup>-</sup>	E2		2.13
		159.289 3	5.36 18	1758.143	3 <sup>+</sup>			
		277.689 4	14.8 11	1639.758	3 <sup>-</sup>	M1+E2	1.3 +6-3	0.148 20
		280.710 <sup>j</sup> 22	82 <sup>j</sup> 5	1636.727	5 <sup>-</sup>			
		403.605 6	100 3	1513.831	4 <sup>+</sup>	E1		0.01060
		594.942 9	37.0 7	1322.463	3 <sup>-</sup>	M1+E2	1.6 2	0.0177 11
		648.885 9	80 11	1268.537	3 <sup>+</sup>	E1		0.00379
		657.177 9	58.2 18	1260.248	2 <sup>-</sup>	E2		0.01005
1939.1	(10 <sup>-</sup> )	337.7@	71	1601.484	10 <sup>-</sup>			
		575.0@	100	1364.078	9 <sup>-</sup>			
1942.007	1 <sup>+</sup> ,2 <sup>+</sup> ,3 <sup>+</sup>	138.601 6	1.6 5	1803.389	3 <sup>-</sup>			
		290.58 <sup>j</sup> 5	1.69 <sup>j</sup> 25	1651.459	(5) <sup>-</sup>			
		301.553 6	1.61 25	1640.452	5 <sup>+</sup>			
		306.409 <sup>j</sup> 4	34.7 <sup>j</sup> 25	1635.603	4 <sup>+</sup>			
		557.593 22	2.29 17	1384.461	4 <sup>+</sup>			
		665.322 19	8.7 4	1276.692	2 <sup>+</sup>	E2		0.00977
		1634.7		306.6182	4 <sup>+</sup>			
1947.951	(7) <sup>-</sup>	1848.80 7	100 9	93.1803	2 <sup>+</sup>	M1		0.00214
		166.694 3	40.5 18	1781.264	(6) <sup>-</sup>	(E2)		0.535
		299.104 6	22.1 12	1648.838	(6) <sup>-</sup>			
		311.212 4	100 6	1636.727	5 <sup>-</sup>	E2		0.0710
		393.954 <sup>j</sup> 6	17.8 <sup>j</sup> 12	1553.997	6 <sup>+</sup>			
		1315.78 7	77 7	632.178	6 <sup>+</sup>			
1952.0	(8 <sup>+</sup> )	210.3@	100	1741.7	(7 <sup>+</sup> )			
		398 <sup>#</sup>		1553.997	6 <sup>+</sup>			
1953.132	4 <sup>+</sup>	312.680 4	19.1 11	1640.452	5 <sup>+</sup>	M1+E2	0.39 +16-21	0.153 10
		439.296 18	17.1 7	1513.831	4 <sup>+</sup>	M1		0.0674
		502.728 22	5.0 4	1450.363	4 <sup>+</sup>	M1+E2	1.1 +11-5	0.032 8
		630.64 5	3.4 10	1322.463	3 <sup>-</sup>			



Adopted Levels, Gammas (continued)

$E_i(\text{level})$	$J_i^\pi$	$\gamma(^{178}\text{Hf})$ (continued)							Comments
		$E_\gamma$	$I_\gamma$	$E_f$	$J_f^\pi$	Mult. <sup>g</sup>	$\delta^g$	$\alpha^i$	
1953.132	4 <sup>+</sup>	1646.46 3	100 6	306.6182	4 <sup>+</sup>	E0+M1+E2		0.0022 5	
1953.682	7 <sup>+</sup>	165.083 3	7.1 6	1788.598	6 <sup>+</sup>				
		311 <sup>#</sup>		1640.452	5 <sup>+</sup>				
		895.148 21	31.4 21	1058.550	8 <sup>+</sup>	M1		0.01095	Additional information 3.
		1321.54 3	100 5	632.178	6 <sup>+</sup>				
1956.423	4 <sup>+</sup>	148.148 <sup>j</sup> 3	14.9 <sup>j</sup> 7	1808.275	(2) <sup>+</sup>				
		320.818 4	2.26 24	1635.603	4 <sup>+</sup>				
		442.809 8	1.77 8	1513.607	2 <sup>+</sup>				
		506.090 14	21.0 15	1450.363	4 <sup>+</sup>	E2		0.0188	
		1324.16 7	18.5 15	632.178	6 <sup>+</sup>	E2		0.00238	
		1649.76 3	100 6	306.6182	4 <sup>+</sup>	E0+M1+E2		0.0021 5	
1986.450	1 <sup>+</sup> ,2 <sup>+</sup> ,3 <sup>+</sup>	116.610 <sup>j</sup> 1	36.2 <sup>j</sup> 8	1869.840	4 <sup>+</sup>				
		424.921 17	7.7 6	1561.540	2 <sup>+</sup>				
		536.100 8	8.6 4	1450.363	4 <sup>+</sup>	M1		0.0401	
		1893.17 7	100 6	93.1803	2 <sup>+</sup>	E0+M1+E2		0.0018 4	
1997.466	3 <sup>+</sup>	179.181 4	3.9 4	1818.286	2 <sup>+</sup>	M1		0.765	
		612.989 12	17.0 18	1384.461	4 <sup>+</sup>	E2		0.01180	
		1690.89 4	100 14	306.6182	4 <sup>+</sup>	M1		0.00250	
		1905.3		93.1803	2 <sup>+</sup>				
2007.566	4 <sup>+</sup> ,3 <sup>+</sup>	137.730 2	72.2 22	1869.840	4 <sup>+</sup>	M1+E2	1.0 1	1.33 4	
		218.964 3	45.7 19	1788.598	6 <sup>+</sup>				
		249.418 3	100 4	1758.143	3 <sup>+</sup>	E2+M1		0.22 9	
		371.932 <sup>j</sup> 23	20.4 <sup>j</sup> 9	1635.603	4 <sup>+</sup>				
2013.551	3 <sup>+</sup> ,4 <sup>+</sup> ,5 <sup>+</sup>	738.982 20	85.5 19	1268.537	3 <sup>+</sup>	M1+E2	1.6 +3-2	0.0105 7	
		151.343 <sup>j</sup> 2	34.6 <sup>j</sup> 11	1862.207	3 <sup>+</sup>				
		377.960 5	3.06 24	1635.603	4 <sup>+</sup>	M1		0.1001	
		744.964 24	52 7	1268.537	3 <sup>+</sup>				
		1705.7		306.6182	4 <sup>+</sup>				
		1920.46 15	100 9	93.1803	2 <sup>+</sup>	M1		0.00202	
2021.181	1 <sup>+</sup> ,2 <sup>+</sup> ,3 <sup>+</sup>	151.343 <sup>j</sup> 2	43.2 <sup>j</sup> 13	1869.840	4 <sup>+</sup>				
		459.625 6	19.3 6	1561.540	2 <sup>+</sup>	M1+E2	1.0 +27-8	0.042 17	
		744.55 3	56 3	1276.692	2 <sup>+</sup>	M1+E2	2.1 +12-5	0.0094 10	
		846.50 3	46 4	1174.630	2 <sup>+</sup>	M1+E2	2.1 +16-6	0.0070 9	
		1927.98 8	100 9	93.1803	2 <sup>+</sup>	M1		0.00201	
2025.8	0 <sup>+</sup>	850.7		1174.630	2 <sup>+</sup>				
		1933.1		93.1803	2 <sup>+</sup>				
2027.565	4 <sup>-</sup>	376.109 5	8.1 5	1651.459	(5) <sup>-</sup>	M1		0.1014	
		387.811 5	9.0 8	1639.758	3 <sup>-</sup>	M1		0.0935	
		488.768 7	22.7 6	1538.790	4 <sup>-</sup>	M1		0.0510	
		515.015 18	19.9 23	1512.592	(5) <sup>-</sup>	M1+E2	1.6 +6-4	0.025 4	

Adopted Levels, Gammas (continued)

$\gamma(^{178}\text{Hf})$ (continued)									
$E_i(\text{level})$	$J_i^\pi$	$E_\gamma^\dagger$	$I_\gamma^\dagger$	$E_f$	$J_f^\pi$	Mult. <sup>g</sup>	$\delta^g$	$\alpha^i$	Comments
2027.565	4 <sup>-</sup>	593.917 15	13.6 6	1433.623	(3) <sup>-</sup>	M1+E2	0.65 33	0.025 4	
		618.129 9	100 3	1409.439	4 <sup>-</sup>	M1		0.0278	
		643.076 9	22.4 9	1384.461	4 <sup>+</sup>				
		705.106 10	59 8	1322.463	3 <sup>-</sup>	M1+E2	1.3 7	0.013 5	
2050.489	3 <sup>+</sup>	53.025 6	2.0 8	1997.466	3 <sup>+</sup>	E2+M1	≈1	≈28.6	
		773.75 4	4.8 4	1276.692	2 <sup>+</sup>	M1		0.01576	
		1743.80 7	68 6	306.6182	4 <sup>+</sup>	M1		0.00236	
		1957.28 4	100 9	93.1803	2 <sup>+</sup>	M1		0.00197	
2068.035	5 <sup>+</sup>	114.900 4	6.9 11	1953.132	4 <sup>+</sup>	M1		2.69	
		279.439 4	49 3	1788.598	6 <sup>+</sup>	M1+E2	1.06 17	0.158 12	
		427.590 6	100 8	1640.452	5 <sup>+</sup>	M1		0.0723	
		554.187 8	27.8 18	1513.831	4 <sup>+</sup>				
2082.2	8 <sup>+</sup>	292 <sup>#</sup>		1788.598	6 <sup>+</sup>				
		392 <sup>#</sup>		1691.083	6 <sup>+</sup>				
		1024 <sup>#</sup>		1058.550	8 <sup>+</sup>				
2099.874	3 <sup>+</sup> , 4 <sup>+</sup>	296.481 4	7.7 10	1803.389	3 <sup>-</sup>				
		649.42 4	23.8 24	1450.363	4 <sup>+</sup>	M1+E2	1.4 +9-4	0.015 3	
		715.47 3	19.0 7	1384.461	4 <sup>+</sup>	(E2)		0.00830	
		777.438 11	100 5	1322.463	3 <sup>-</sup>	E1		0.00264	
		1793.27 4	77 14	306.6182	4 <sup>+</sup>	E2		1.52×10 <sup>-3</sup>	
2118.6		841.6		1276.692	2 <sup>+</sup>				
		2027.0		93.1803	2 <sup>+</sup>				
		2117.3		0.0	0 <sup>+</sup>				
2136.522	(12) <sup>-</sup>	277.402 <sup>‡</sup> 18	14.7 7	1859.118	(11) <sup>-</sup>	(M1+E2)	>1.13 <sup>h</sup>	0.13 3	
		535.036 <sup>‡</sup> 18	100 4	1601.484	10 <sup>-</sup>	E2		0.01635	
2137.4	(8 <sup>-</sup> )	356.1 <sup>@</sup>	100	1781.264	(6) <sup>-</sup>				
2149.6	12 <sup>+</sup>	579.7 <sup>#</sup>	100	1570.3	10 <sup>+</sup>	[E2]		0.01347	B(E2)(W.u.)<1.2×10 <sup>2</sup>
2154.1	8 <sup>+</sup>	364 <sup>#</sup>		1788.598	6 <sup>+</sup>				
		1097 <sup>#</sup>		1058.550	8 <sup>+</sup>				
2155.7		1849.7		306.6182	4 <sup>+</sup>				
		2061.8		93.1803	2 <sup>+</sup>				
2183.4	(9 <sup>+</sup> )	231.4 <sup>@</sup>	100	1952.0	(8 <sup>+</sup> )				
		441.8 <sup>@</sup>	67	1741.7	(7 <sup>+</sup> )				
2202.51	(11 <sup>-</sup> )	343.3 <sup>‡</sup> 1	62	1859.118	(11) <sup>-</sup>				
		601.1 <sup>‡</sup> 1	100	1601.484	10 <sup>-</sup>				
2272.6		1098.4		1174.630	2 <sup>+</sup>				
		1965.4		306.6182	4 <sup>+</sup>				
		2179.5		93.1803	2 <sup>+</sup>				

Adopted Levels, Gammas (continued)

$\gamma(^{178}\text{Hf})$ (continued)									
$E_i(\text{level})$	$J_i^\pi$	$E_\gamma^\dagger$	$I_\gamma^\dagger$	$E_f$	$J_f^\pi$	Mult. <sup>g</sup>	$\delta^g$	$\alpha^i$	Comments
2315.8	9 <sup>+</sup>	426 <sup>#</sup>		1890.0	7 <sup>+</sup>				
		1257 <sup>#</sup>		1058.550	8 <sup>+</sup>				
2349.7	9 <sup>+</sup>	396 <sup>#</sup>		1953.682	7 <sup>+</sup>				
2365.5	(2 <sup>+</sup> )	2058.2		306.6182	4 <sup>+</sup>				
		2273.0		93.1803	2 <sup>+</sup>				
2433.334	(13) <sup>-</sup>	230.8 <i>l</i>		2202.51	(11) <sup>-</sup>				$E_\gamma$ : from $^{178}\text{Hf}$ IT decay (31 y).
		296.812 <i>l</i> 0	11.0 2	2136.522	(12) <sup>-</sup>	M1+E2	$-3.8^h +12-28$	0.089 8	
		574.219 21	100 3	1859.118	(11) <sup>-</sup>	E2		0.01378	
2433.7	(10 <sup>+</sup> )	250.6 @	91	2183.4	(9 <sup>+</sup> )				
		481.6 @	100	1952.0	(8 <sup>+</sup> )				
2440.2	(10 <sup>+</sup> )	870 <sup>#</sup>		1570.3	10 <sup>+</sup>				
		1382 <sup>#k</sup>		1058.550	8 <sup>+</sup>				
2446.09	16 <sup>+</sup>	12.7 <sup>‡</sup> 2	$7.2 \times 10^{-6}$	2433.334	(13) <sup>-</sup>	[E3]		$1.47 \times 10^7$ 15	B(E3)(W.u.)= $8.1 \times 10^{-11}$ 10 $E_\gamma$ : unobserved transition, energy from adjusted level energy differences in $^{178}\text{Hf}$ IT decay (31 y). $I_\gamma$ : from evaluator estimate in $^{178}\text{Hf}$ IT decay (31 y).
		309.50 <sup>‡</sup> 15	100 <sup>‡</sup>	2136.522	(12) <sup>-</sup>	M4(+E5)	0.12 10	8.42 13	B(M4)(W.u.)= $(2.35 \times 10^{-5})$ 11); B(E5)(W.u.)= $(0.005 +8-5)$ $\delta$ : from $^{178}\text{Hf}$ IT decay (31 y). B(E5)(W.u.)= $0.000122$ 10
2474.8		587.0 <sup>‡</sup> 1	41 <sup>‡</sup> 3	1859.118	(11) <sup>-</sup>	E5		0.284	
		1844.4		632.178	6 <sup>+</sup>				
		2379.9		93.1803	2 <sup>+</sup>				
2485.2	(12) <sup>-</sup>	348.5 @	37	2136.522	(12) <sup>-</sup>				
		626.2 @	100	1859.118	(11) <sup>-</sup>				
2537.8	10 <sup>+</sup>	455 <sup>#</sup>		2082.2	8 <sup>+</sup>				
		967 <sup>#</sup>		1570.3	10 <sup>+</sup>				
		1479 <sup>#k</sup>		1058.550	8 <sup>+</sup>				
2552.8		1283.3		1268.537	3 <sup>+</sup>				
		2553.7		0.0	0 <sup>+</sup>				
2557.9		2251.1		306.6182	4 <sup>+</sup>				
		2464.8		93.1803	2 <sup>+</sup>				
2572.4	14 <sup>-</sup>	126.1 @ 3	21	2446.09	16 <sup>+</sup>	[M2]		15.5 3	B(M2)(W.u.)= $0.0142$ 6
		140.3 @	100	2433.334	(13) <sup>-</sup>	M1		1.523	B(M1)(W.u.)= $1.76 \times 10^{-8}$ 7
		437.0 @	67	2136.522	(12) <sup>-</sup>	[E2]		0.0274	B(E2)(W.u.)= $8.8 \times 10^{-7}$ 3

Adopted Levels, Gammas (continued)

$\gamma(^{178}\text{Hf})$ (continued)									
$E_i(\text{level})$	$J_i^\pi$	$E_\gamma^\dagger$	$I_\gamma^\dagger$	$E_f$	$J_f^\pi$	Mult. <sup>g</sup>	$\alpha^i$		
2604.2	10 <sup>+</sup>	450 <sup>#</sup>		2154.1	8 <sup>+</sup>				
		1034 <sup>#</sup>		1570.3	10 <sup>+</sup>				
2631.4		2325.8		306.6182	4 <sup>+</sup>				
		2537.2		93.1803	2 <sup>+</sup>				
2700.7	(11 <sup>+</sup> )	266.6 <sup>@</sup>	74	2433.7	(10 <sup>+</sup> )				
		517.1 <sup>@</sup>	100	2183.4	(9 <sup>+</sup> )				
2737.6		2429.9		306.6182	4 <sup>+</sup>				
		2645.4		93.1803	2 <sup>+</sup>				
2749.1	(14 <sup>-</sup> )	612.6 <sup>@</sup>	100	2136.522	(12 <sup>-</sup> )				
2776.6	14 <sup>+</sup>	626.9 <sup>#</sup>	100	2149.6	12 <sup>+</sup>	[E2]	0.01120	B(E2)(W.u.)=290 70	
2785.3	(13 <sup>-</sup> )	648.8 <sup>@</sup>	100	2136.522	(12 <sup>-</sup> )				
2797.8	11 <sup>+</sup>	482 <sup>#</sup>		2315.8	9 <sup>+</sup>				
		1227 <sup>#k</sup>		1570.3	10 <sup>+</sup>				
2803.5	17 <sup>+</sup>	357.4 <sup>#</sup> 3		2446.09	16 <sup>+</sup>				
2827.7	11 <sup>+</sup>	478 <sup>#</sup>		2349.7	9 <sup>+</sup>				
2865.9		2560.6		306.6182	4 <sup>+</sup>				
		2771.3		93.1803	2 <sup>+</sup>				
2898.8		2591.8		306.6182	4 <sup>+</sup>				
		2805.9		93.1803	2 <sup>+</sup>				
2909.1	(15 <sup>-</sup> )	337 <sup>c</sup>		2572.4	14 <sup>-</sup>				
2942.0	(12 <sup>+</sup> )	502 <sup>#</sup>		2440.2	(10 <sup>+</sup> )				
		792 <sup>#</sup>		2149.6	12 <sup>+</sup>				
		1372 <sup>#</sup>		1570.3	10 <sup>+</sup>				
2957.7		2865.1		93.1803	2 <sup>+</sup>				
		2957.1		0.0	0 <sup>+</sup>				
2987.2	(12 <sup>+</sup> )	287 <sup>#</sup>		2700.7	(11 <sup>+</sup> )				
		554 <sup>#</sup>		2433.7	(10 <sup>+</sup> )				
3052.7	(12 <sup>+</sup> )	514 <sup>#</sup>		2537.8	10 <sup>+</sup>				
		904 <sup>#</sup>		2149.6	12 <sup>+</sup>				
		1481 <sup>#k</sup>		1570.3	10 <sup>+</sup>				
3084.3	15 <sup>-</sup>	651 <sup>#</sup>		2433.334	(13 <sup>-</sup> )				
3100.5		2794.3		306.6182	4 <sup>+</sup>				
		3007.0		93.1803	2 <sup>+</sup>				
3100.6	(14 <sup>-</sup> )	666 <sup>#k</sup>		2433.334	(13 <sup>-</sup> )				
3112.8		2806.0		306.6182	4 <sup>+</sup>				
		3019.8		93.1803	2 <sup>+</sup>				

**Adopted Levels, Gammas (continued)**

						$\gamma(^{178}\text{Hf})$ (continued)				
$E_i(\text{level})$	$J_i^\pi$	$E_\gamma^\dagger$	$I_\gamma^\dagger$	$E_f$	$J_f^\pi$	$E_i(\text{level})$	$J_i^\pi$	$E_\gamma^\dagger$	$E_f$	$J_f^\pi$
3135.2	12 <sup>+</sup>	531 <sup>#</sup>		2604.2	10 <sup>+</sup>	4178.8	(16 <sup>+</sup> )	744 <sup>#</sup>	3435.0	16 <sup>+</sup>
3180.9	18 <sup>+</sup>	377 <sup>c</sup>		2803.5	17 <sup>+</sup>			1402 <sup>#</sup>	2776.6	14 <sup>+</sup>
		735 <sup>c</sup>		2446.09	16 <sup>+</sup>	4210.5		3904.2	306.6182	4 <sup>+</sup>
3263.7	16 <sup>-</sup>	355 <sup>c</sup>		2909.1	(15 <sup>-</sup> )			4117.0	93.1803	2 <sup>+</sup>
		691 <sup>c</sup>		2572.4	14 <sup>-</sup>	4325.2		3064.7	1260.248	2 <sup>-</sup>
3283.8	13 <sup>+</sup>	296 <sup>#</sup>		2987.2	(12 <sup>+</sup> )			4232.1	93.1803	2 <sup>+</sup>
		582 <sup>#</sup>		2700.7	(11 <sup>+</sup> )	4378.0		3109.0	1268.537	3 <sup>+</sup>
3335.8	13 <sup>+</sup>	538 <sup>#</sup>		2797.8	11 <sup>+</sup>			4071.7	306.6182	4 <sup>+</sup>
3379.7	13 <sup>+</sup>	552 <sup>#</sup>		2827.7	11 <sup>+</sup>	4417.2	16 <sup>+</sup>	676 <sup>#</sup>	3741.2	14 <sup>+</sup>
3435.0	16 <sup>+</sup>	658.6 <sup>#</sup>	100	2776.6	14 <sup>+</sup>	4431.7	21 <sup>+</sup>	436	3995.5	20 <sup>+</sup>
3521.8	(14 <sup>+</sup> )	580 <sup>#</sup>		2942.0	(12 <sup>+</sup> )			853	3578.4	19 <sup>+</sup>
		745 <sup>#</sup>		2776.6	14 <sup>+</sup>	4593.1		3317.3	1276.692	2 <sup>+</sup>
		1372 <sup>#</sup>		2149.6	12 <sup>+</sup>			4592.2	0.0	0 <sup>+</sup>
3578.4	19 <sup>+</sup>	397 <sup>c</sup>		3180.9	18 <sup>+</sup>	4781.9		3514.9	1268.537	3 <sup>+</sup>
		775 <sup>c</sup>		2803.5	17 <sup>+</sup>			4687.0	93.1803	2 <sup>+</sup>
3595.5	14 <sup>+</sup>	310 <sup>#</sup>		3283.8	13 <sup>+</sup>	4837.4	20 <sup>+</sup>	718 <sup>#</sup>	4119.4	18 <sup>+</sup>
		610 <sup>#</sup>		2987.2	(12 <sup>+</sup> )	4873.7		4567.0	306.6182	4 <sup>+</sup>
3624.7	14 <sup>+</sup>	572 <sup>#</sup>		3052.7	(12 <sup>+</sup> )			4780.4	93.1803	2 <sup>+</sup>
		1475 <sup>#k</sup>		2149.6	12 <sup>+</sup>	4886.1	(22 <sup>+</sup> )	454 <sup>c</sup>	4431.7	21 <sup>+</sup>
3741.2	14 <sup>+</sup>	606 <sup>#</sup>		3135.2	12 <sup>+</sup>			891 <sup>c</sup>	3995.5	20 <sup>+</sup>
3902?	15 <sup>+</sup>	307 <sup>#k</sup>		3595.5	14 <sup>+</sup>	4914.7		3739.1	1174.630	2 <sup>+</sup>
		618 <sup>#k</sup>		3283.8	13 <sup>+</sup>			4609.0	306.6182	4 <sup>+</sup>
3909.5		2736.5		1174.630	2 <sup>+</sup>	5010.1		4702.1	306.6182	4 <sup>+</sup>
		3601.2		306.6182	4 <sup>+</sup>			4918.2	93.1803	2 <sup>+</sup>
3927.8	15 <sup>+</sup>	592 <sup>#</sup>		3335.8	13 <sup>+</sup>	5283.0		4652.7	632.178	6 <sup>+</sup>
3995.5	20 <sup>+</sup>	417 <sup>c</sup>		3578.4	19 <sup>+</sup>			4974.3	306.6182	4 <sup>+</sup>
		815 <sup>c</sup>		3180.9	18 <sup>+</sup>	5388.6		4119.3	1268.537	3 <sup>+</sup>
3997?	15 <sup>+</sup>	618 <sup>#k</sup>		3379.7	13 <sup>+</sup>			5083.3	306.6182	4 <sup>+</sup>
4119.4	18 <sup>+</sup>	684.4 <sup>#</sup>		3435.0	16 <sup>+</sup>			5294.8	93.1803	2 <sup>+</sup>
4178.8	(16 <sup>+</sup> )	657 <sup>#</sup>		3521.8	(14 <sup>+</sup> )					

<sup>†</sup> From  $^{177}\text{Hf}(n,\gamma)$  E=thermal, unless otherwise specified.

<sup>‡</sup> From  $^{178}\text{Hf}$  IT decay (31 y).

<sup>#</sup> From Coulomb excitation.

**Adopted Levels, Gammas (continued)** $\gamma(^{178}\text{Hf})$  (continued)

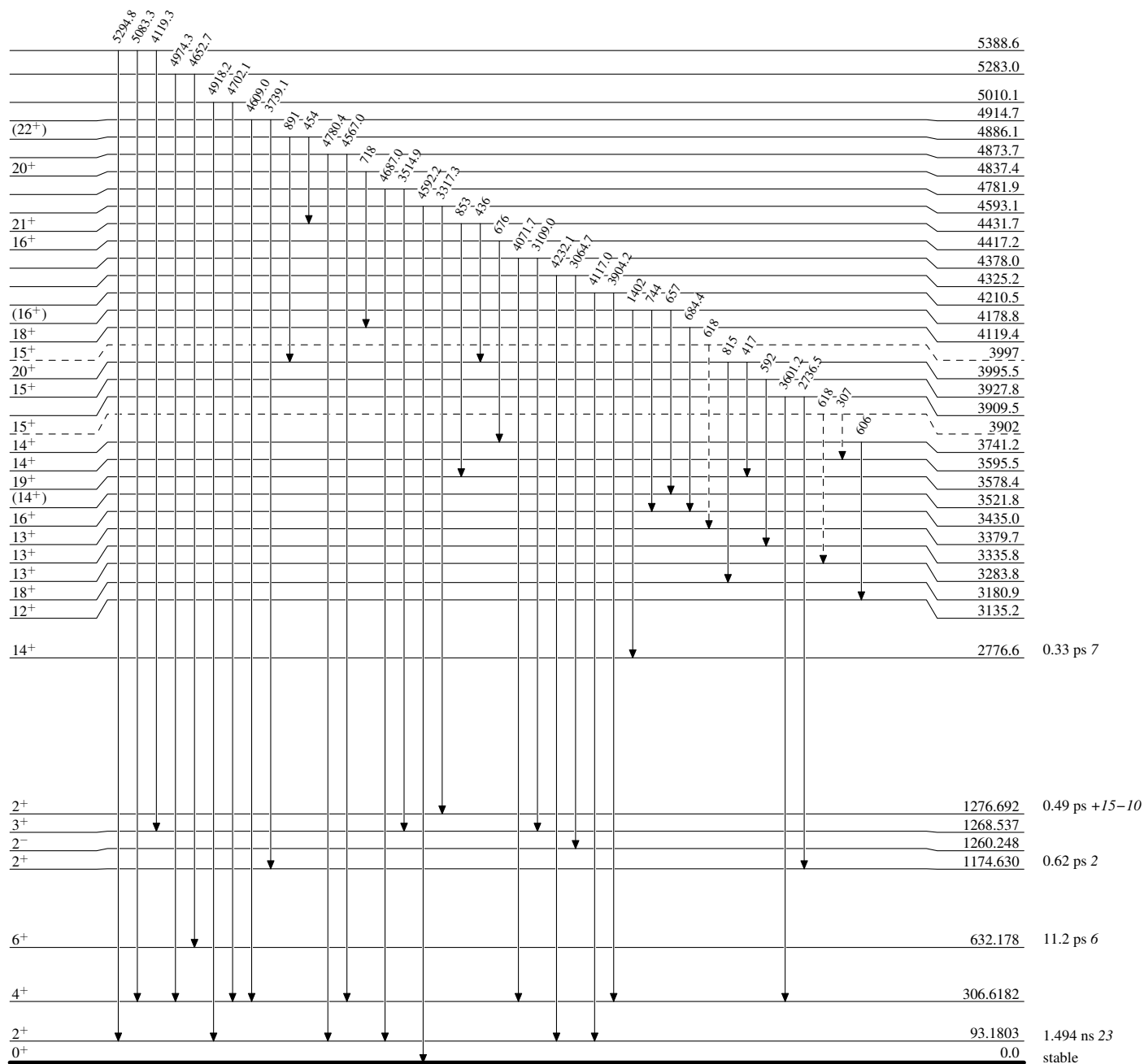
- @ From  $^{176}\text{Yb}(\alpha, 2n\gamma)$ .
- & Weighted average of data from  $^{177}\text{Hf}(n, \gamma)$  E=thermal,  $^{178}\text{Lu} \beta^-$  decay (28.4 min), and  $^{178}\text{Ta} \varepsilon$  decay (9.31 min).
- <sup>a</sup> Weighted average from  $^{177}\text{Hf}(n, \gamma)$  E=thermal,  $^{178}\text{Hf}$  IT decay (31 y),  $^{178}\text{Hf}$  IT decay (4.0 s),  $^{178}\text{Lu} \beta^-$  decay (28.4 min), and  $^{178}\text{Ta} \varepsilon$  decay (2.36 h).
- <sup>b</sup> Weighted average from  $^{177}\text{Hf}(n, \gamma)$  E=thermal,  $^{178}\text{Hf}$  IT decay (31 y),  $^{178}\text{Hf}$  IT decay (4.0 s), and  $^{178}\text{Ta} \varepsilon$  decay (2.36 h).
- <sup>c</sup> From  $^{176}\text{Yb}(^9\text{Be}, \alpha 3n\gamma)$ .
- <sup>d</sup> Seen only in  $^{178}\text{Ta} \varepsilon$  decay (9.31 min) and  $^{178}\text{Lu} \beta^-$  decay (28.4 min).
- <sup>e</sup> From  $^{178}\text{Ta} \varepsilon$  decay (9.31 min) and  $^{178}\text{Lu} \beta^-$  decay (28.4 min). Probable doublet, other transition with similar energy from 1513.83 keV  $4^+$  level.
- <sup>f</sup> From  $^{178}\text{Ta} \varepsilon$  decay (9.31 min) and  $^{178}\text{Lu} \beta^-$  decay (28.4 min). Probable doublet, other transition with similar energy from 1513.61 keV  $2^+$  level.
- <sup>g</sup> From conversion electron data in  $^{177}\text{Hf}(n, \gamma)$  E=thermal ([1986Ha22](#)), except as indicated.
- <sup>h</sup> From  $^{178}\text{Hf}$  IT decay (31 y).
- <sup>i</sup> Total theoretical internal conversion coefficients, calculated using the BrIcc code ([2008Ki07](#)) with Frozen orbital approximation based on  $\gamma$ -ray energies, assigned multiplicities, and mixing ratios, unless otherwise specified.
- <sup>j</sup> Multiply placed with undivided intensity.
- <sup>k</sup> Placement of transition in the level scheme is uncertain.

**Adopted Levels, Gammas**

Legend

**Level Scheme**

Intensities: Relative photon branching from each level

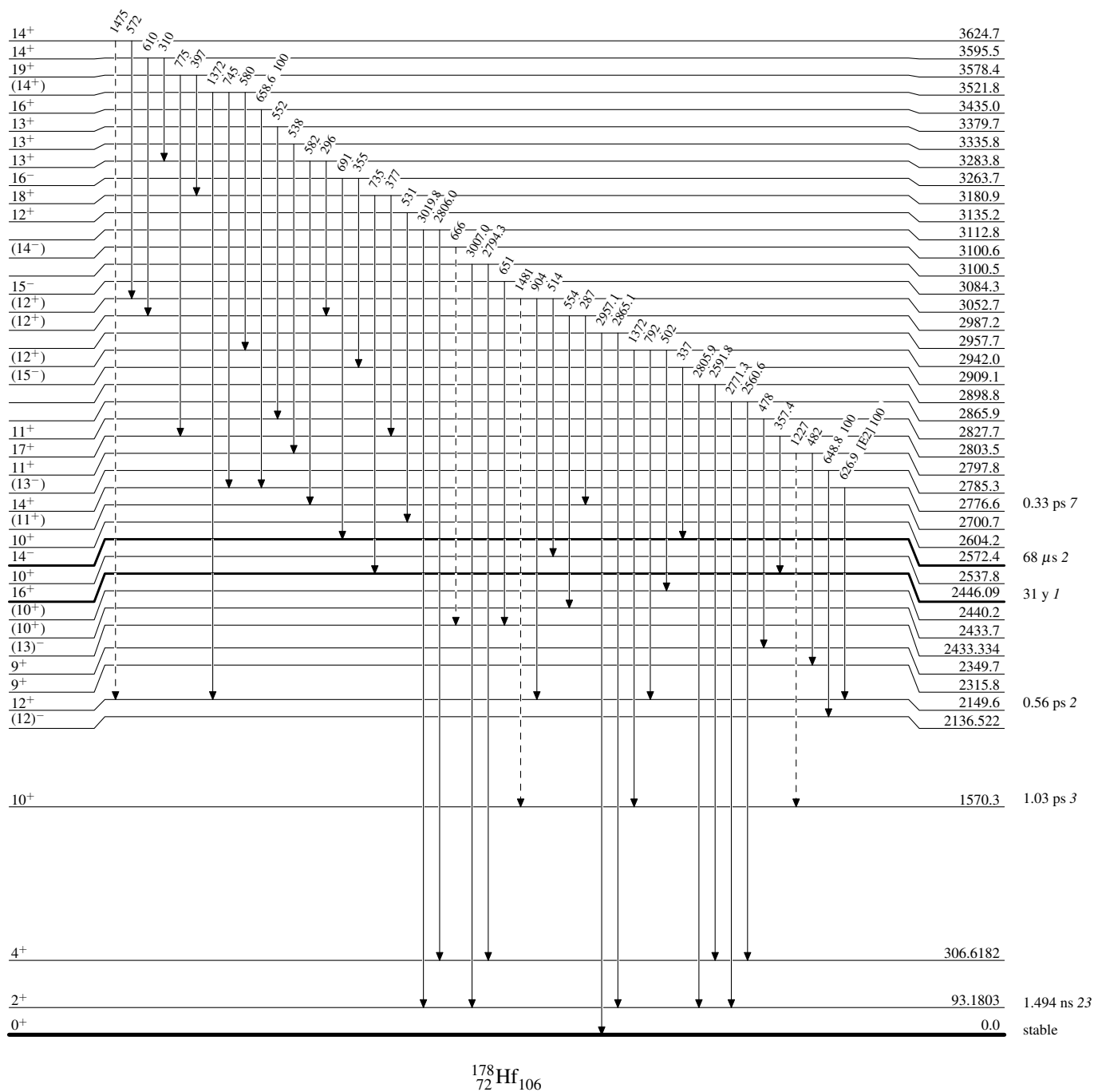
-----►  $\gamma$  Decay (Uncertain)

**Adopted Levels, Gammas**

Legend

**Level Scheme (continued)**

Intensities: Relative photon branching from each level

----->  $\gamma$  Decay (Uncertain)



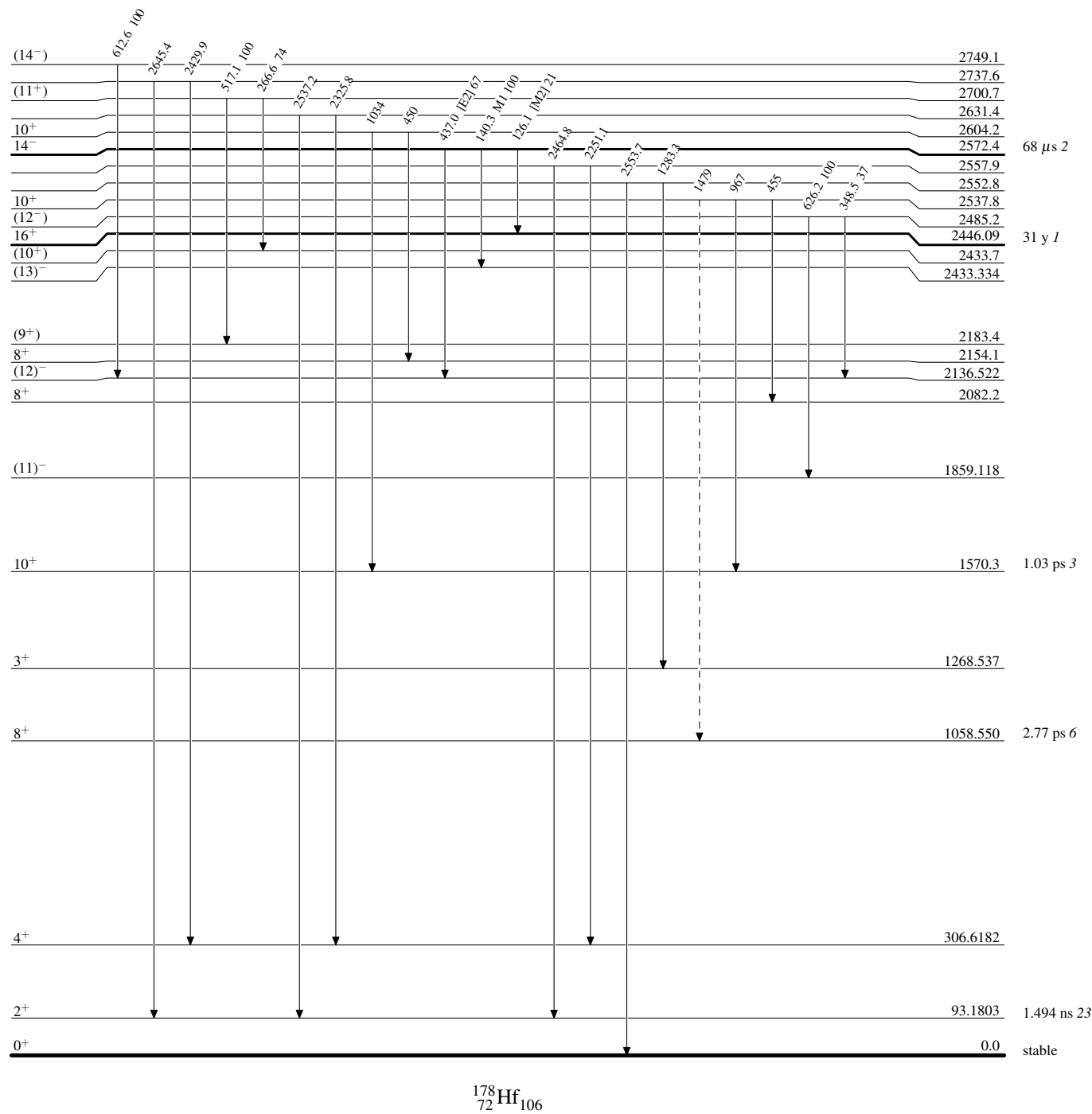
Adopted Levels, Gammas

Legend

Level Scheme (continued)

Intensities: Relative photon branching from each level

----->  $\gamma$  Decay (Uncertain)

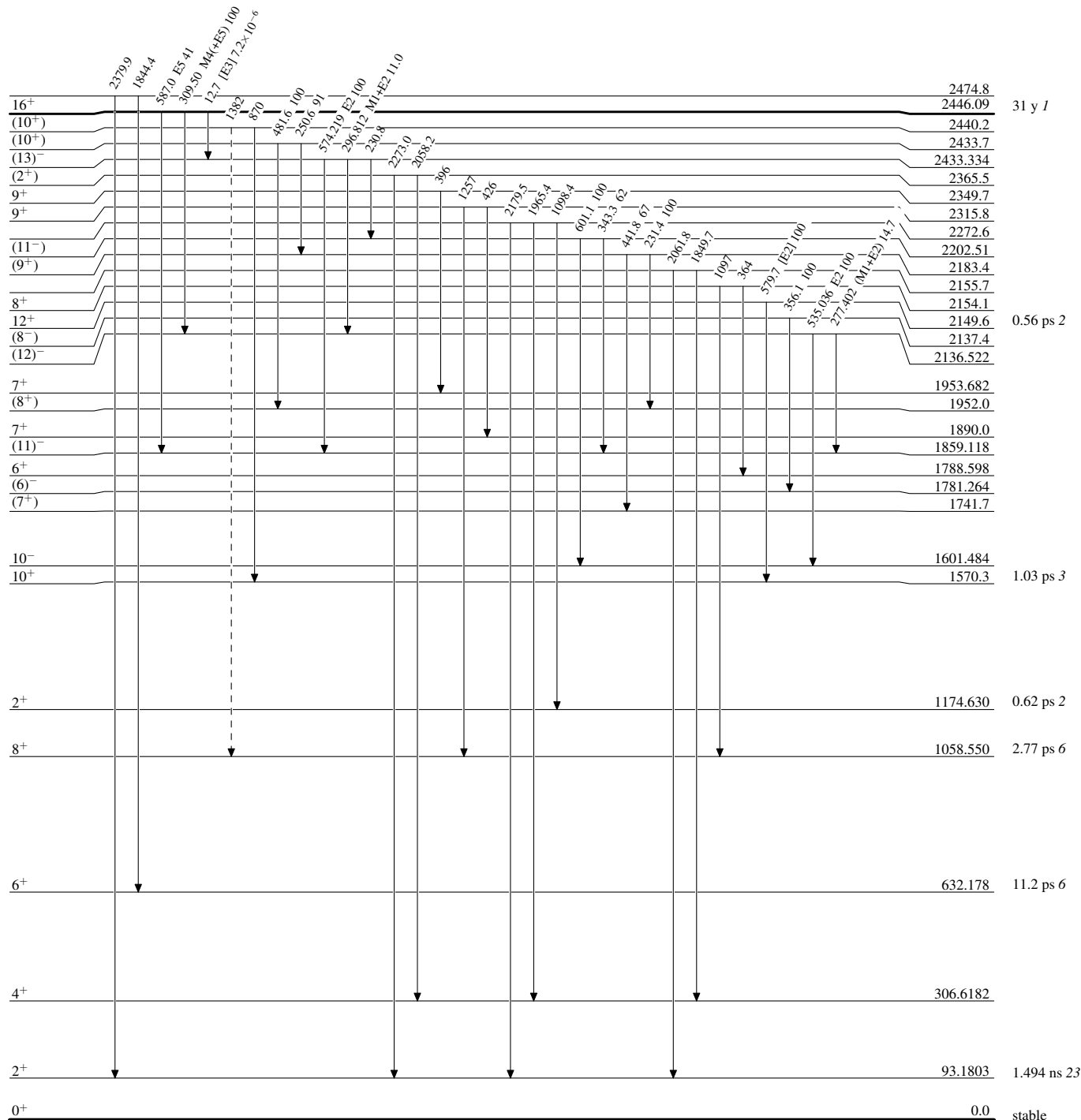


# Adopted Levels, Gammas

Legend

## Level Scheme (continued)

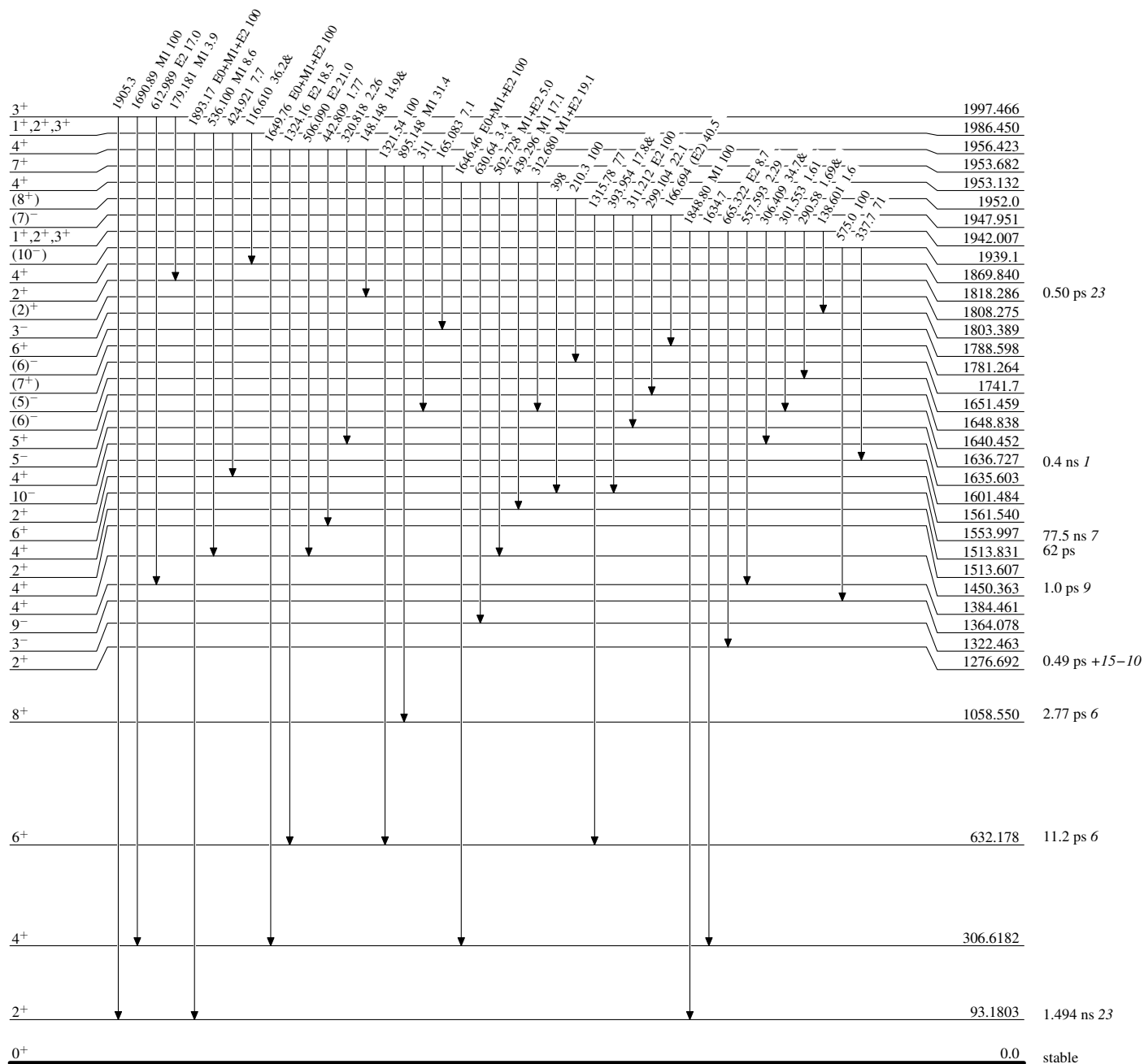
Intensities: Relative photon branching from each level

-----►  $\gamma$  Decay (Uncertain)




**Adopted Levels, Gammas****Level Scheme (continued)**

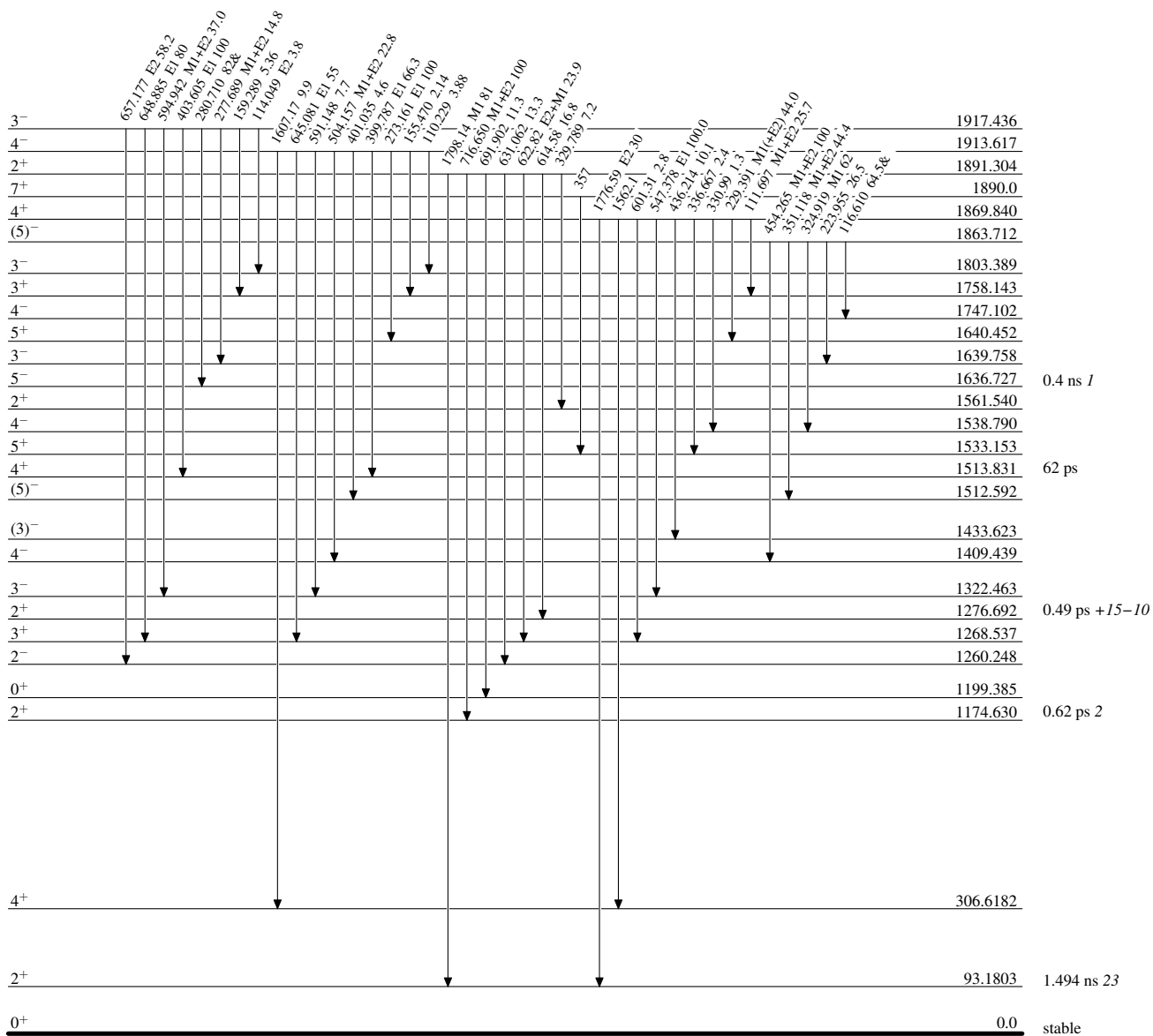
Intensities: Relative photon branching from each level  
& Multiply placed: undivided intensity given



## Adopted Levels, Gammas

## Level Scheme (continued)

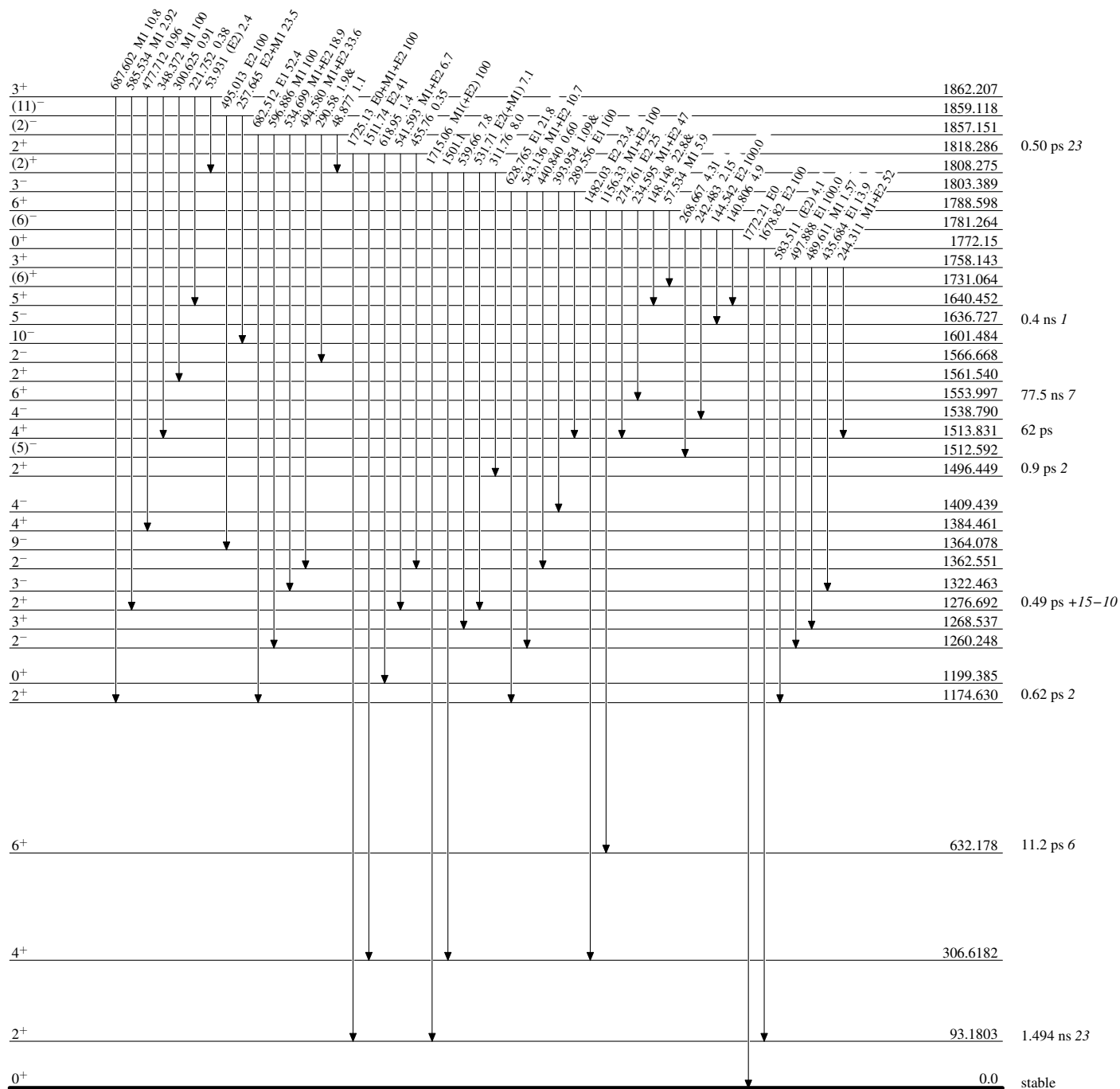
Intensities: Relative photon branching from each level  
& Multiply placed: undivided intensity given



## Adopted Levels, Gammas

## Level Scheme (continued)

Intensities: Relative photon branching from each level  
& Multiply placed: undivided intensity given



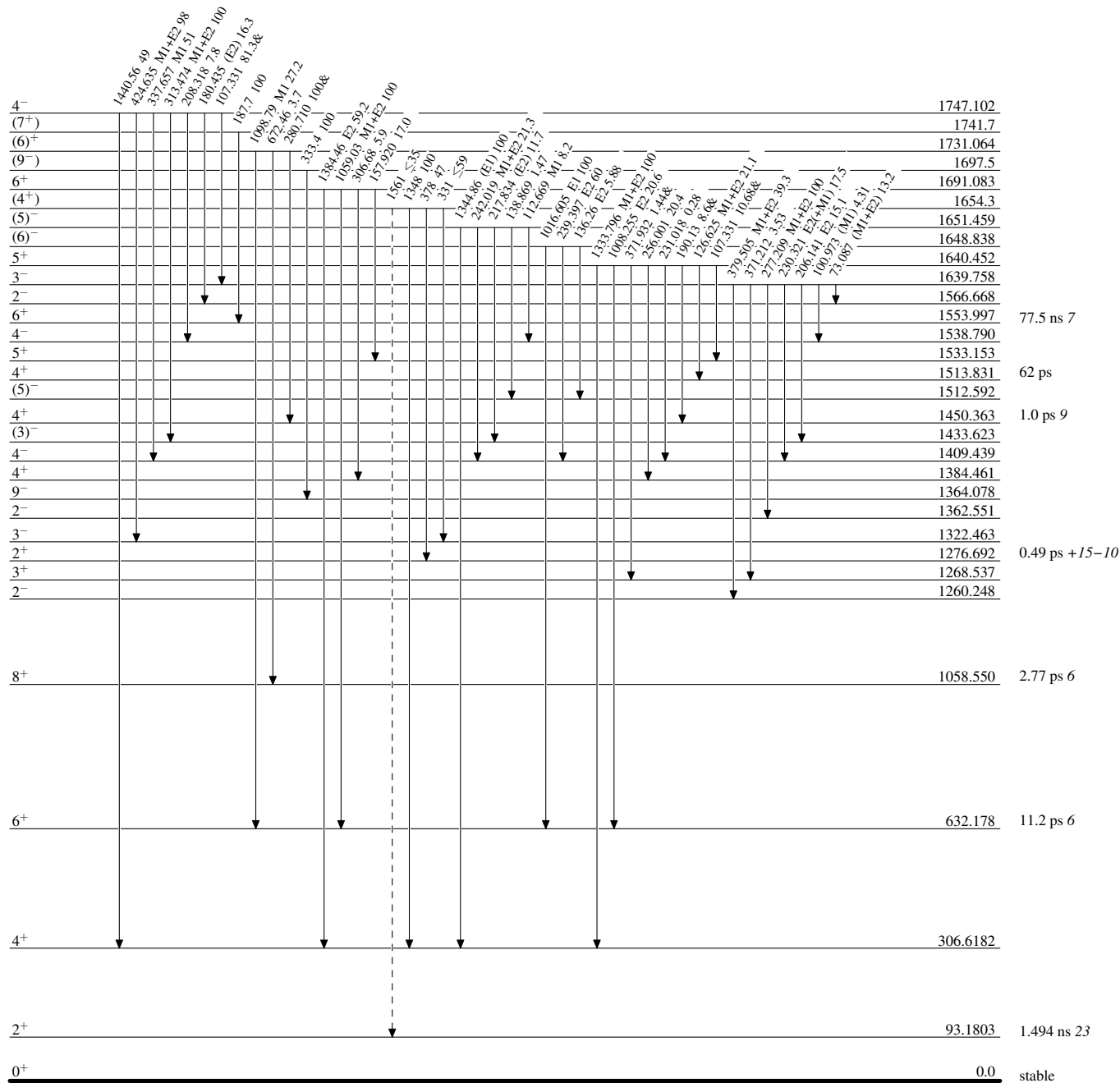
# Adopted Levels, Gammas

Legend

## Level Scheme (continued)

Intensities: Relative photon branching from each level  
& Multiply placed: undivided intensity given

-----►  $\gamma$  Decay (Uncertain)



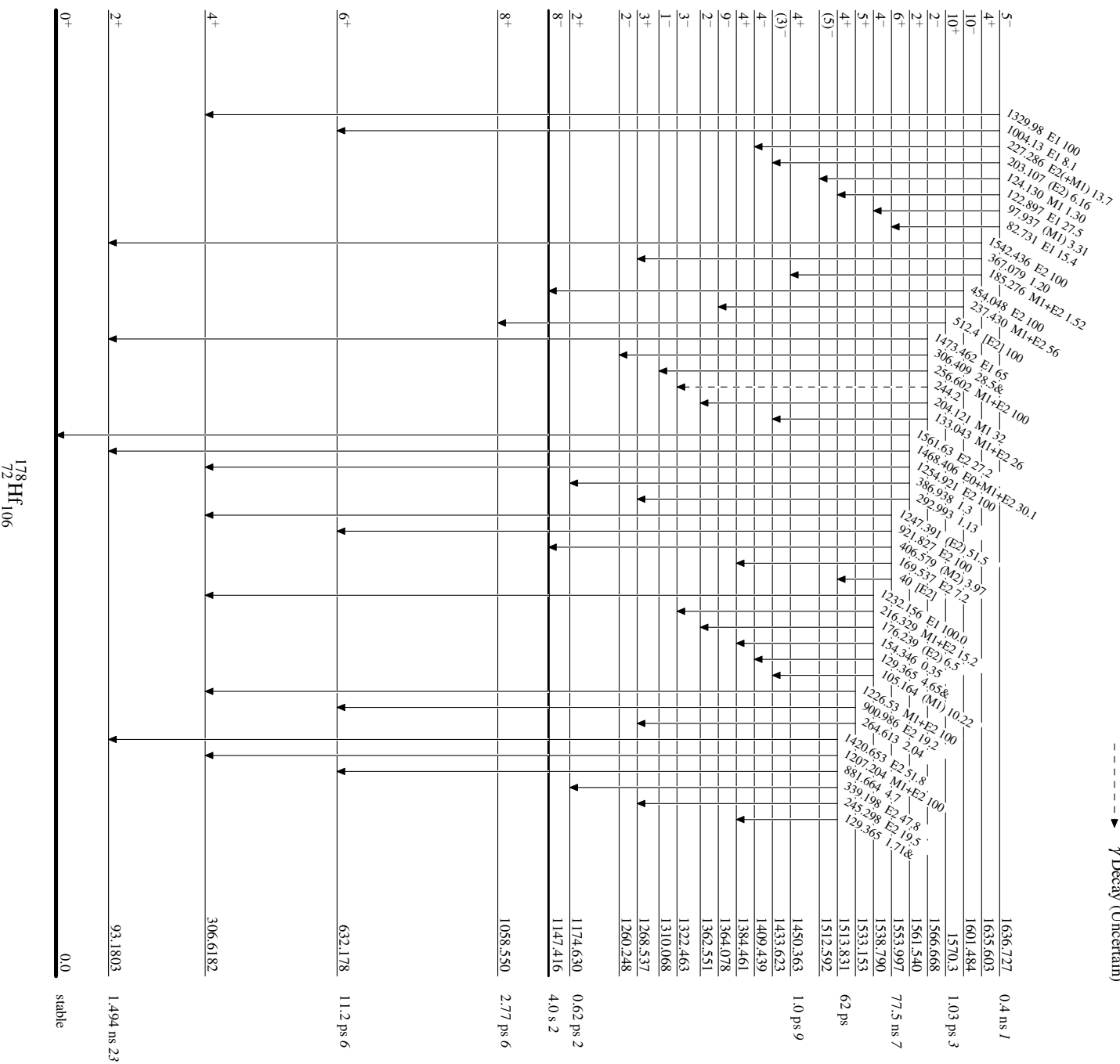
Adopted Levels, Gammas

Level Scheme (continued)

Legend

Intensities: Relative photon branching from each level  
& Multiply placed: undivided intensity given

-----▶  $\gamma$  Decay (Uncertain)





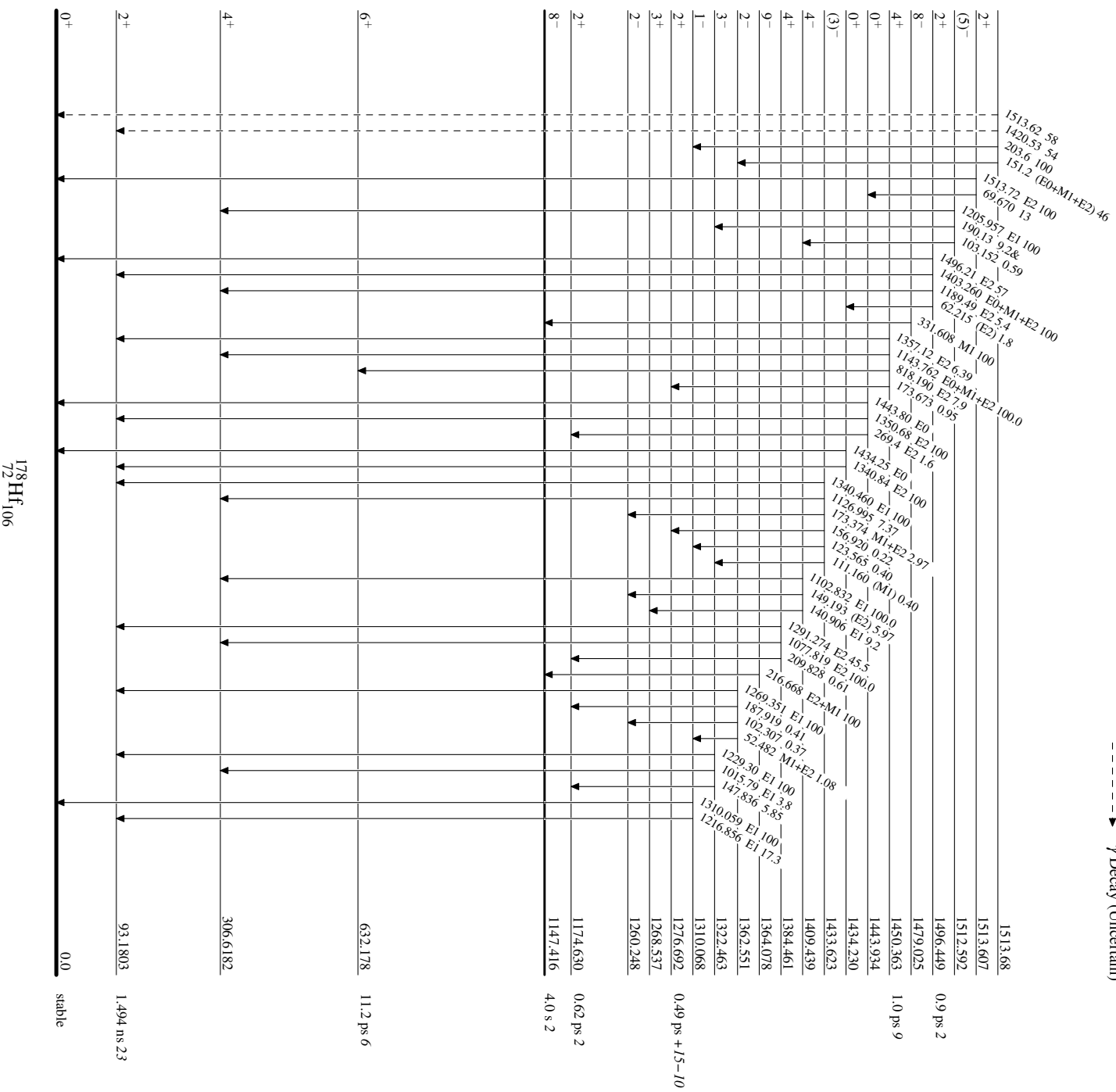
Adopted Levels, Gammas

Level Scheme (continued)

Intensities: Relative photon branching from each level  
& Multiply placed: undivided intensity given

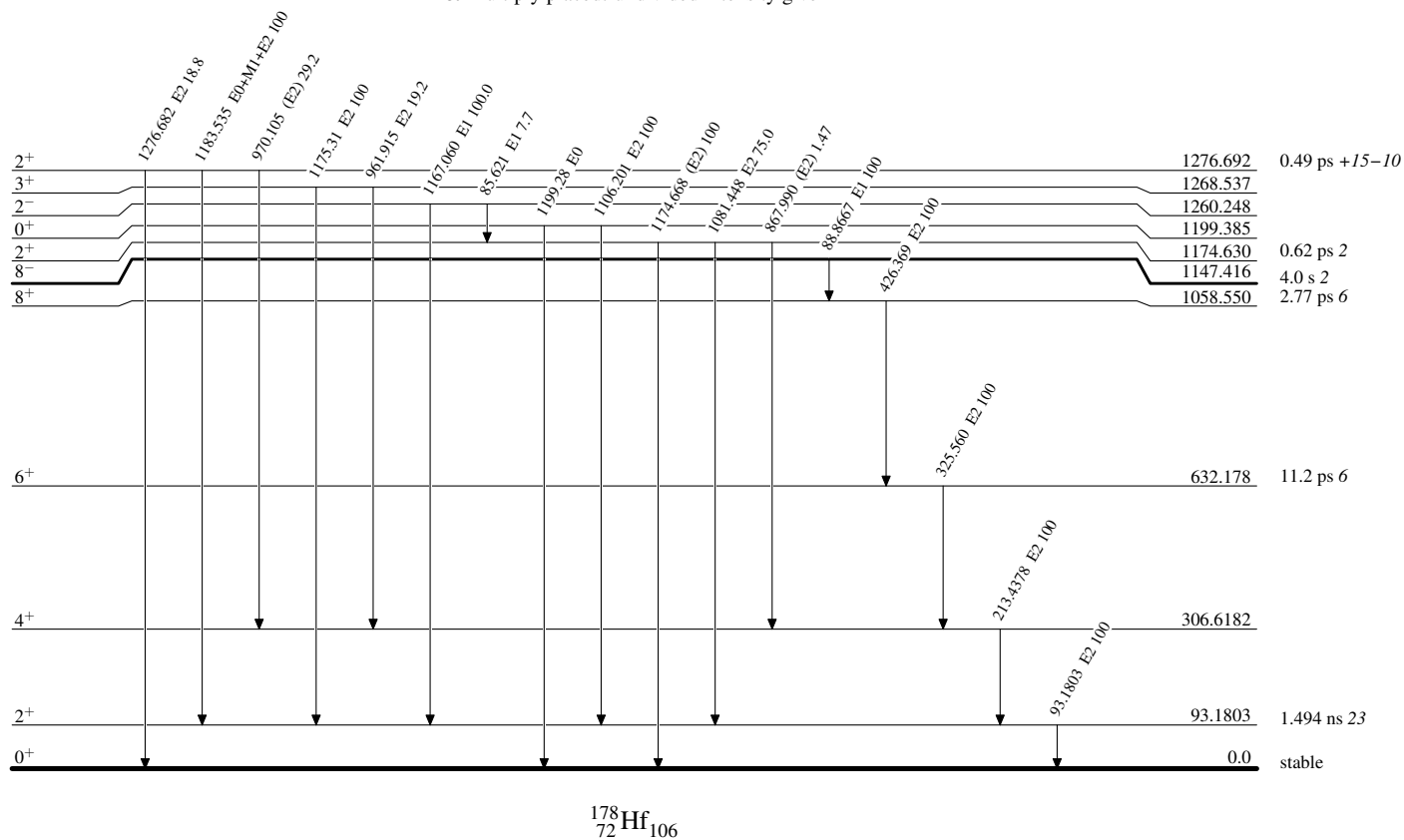
Legend

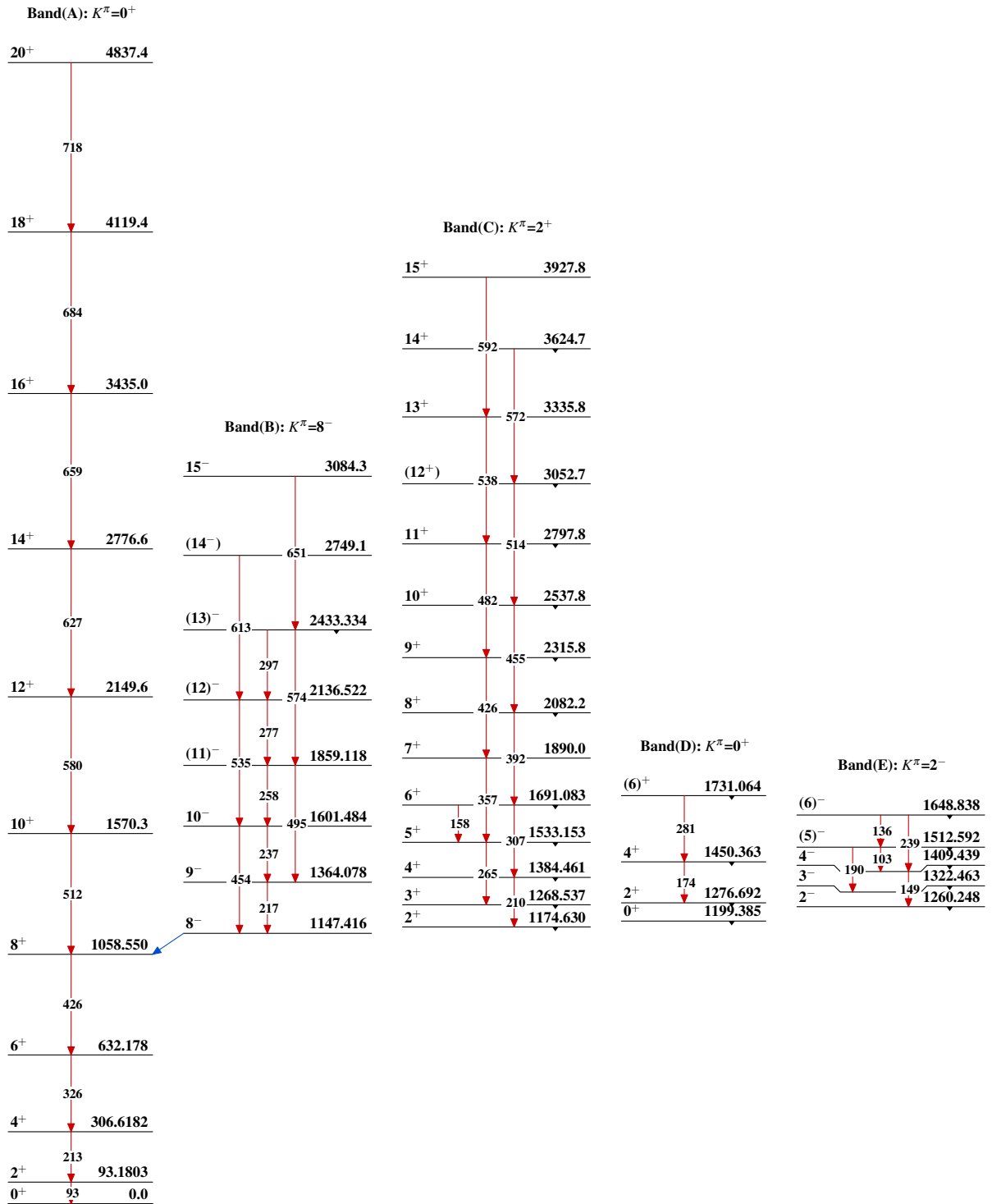
-----▶  $\gamma$  Decay (Uncertain)



**Adopted Levels, Gammas****Level Scheme (continued)**

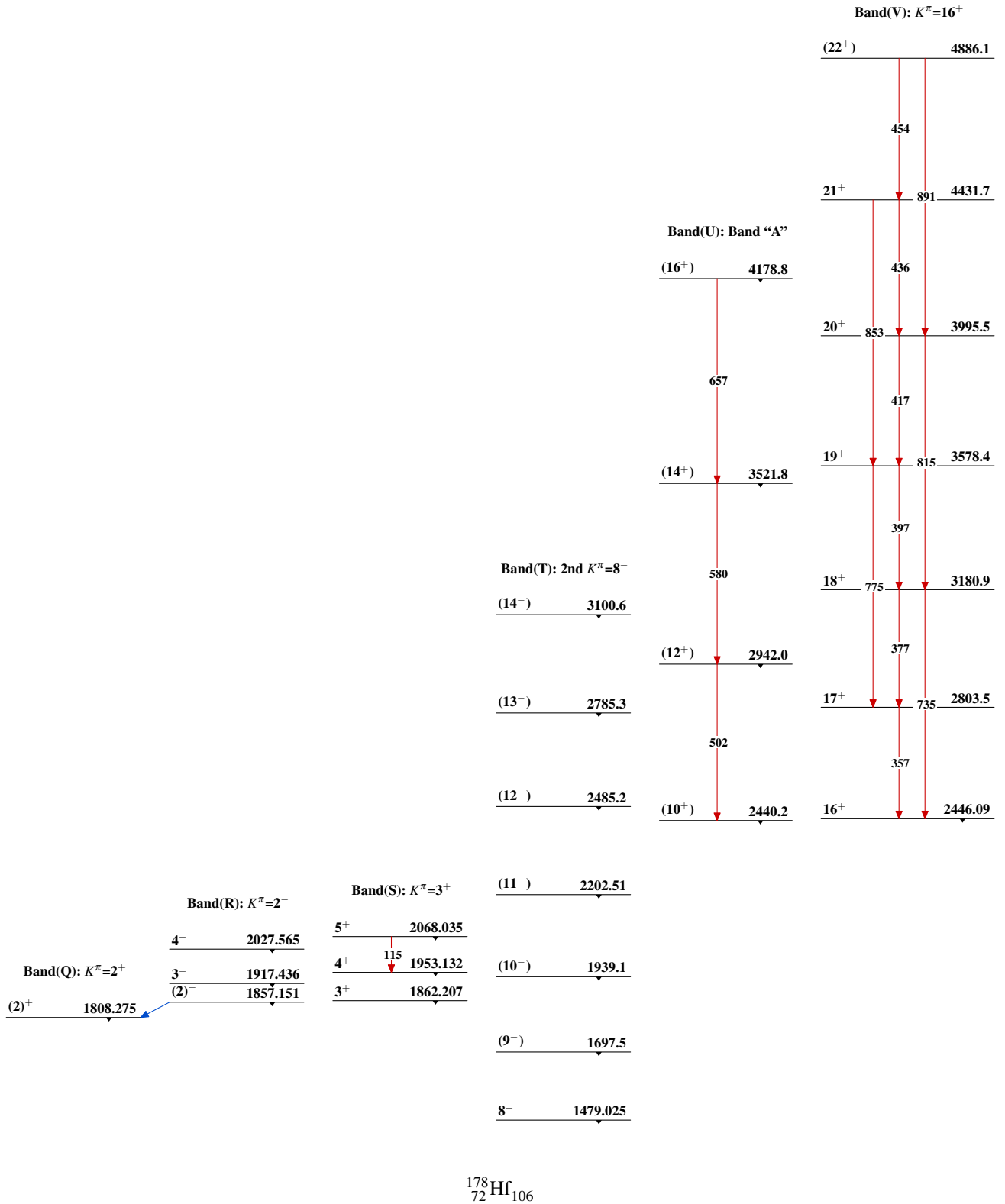
Intensities: Relative photon branching from each level  
& Multiply placed: undivided intensity given

 $^{178}_{72}\text{Hf}_{106}$

Adopted Levels, Gammas





Adopted Levels, Gammas (continued)

Adopted Levels, Gammas (continued)

Band(W):  $K^\pi=14^-$

14<sup>-</sup>                      2572.4

$^{178}_{72}\text{Hf}_{106}$

Adopted Levels, Gammas

Type	Author	History Citation	Literature Cutoff Date
Full Evaluation	E. A. Mccutchan	NDS 126, 151 (2015)	1-Feb-2015

$Q(\beta^-) = -846.3$ ;  $S(n) = 7387.76$  15;  $S(p) = 8010.5$ ;  $Q(\alpha) = 1283.0$  18    [2012Wa38](#)

$S(2n) = 13486.75$  17;  $S(2p) = 14666$  10 ([2012Wa38](#)).

Other reactions:

$^{174}\text{Yb}(^{18}\text{O}, ^{12}\text{C})$ : [2001Sa29](#).

$^{180}\text{Hf}(\gamma, \gamma')$ ; Mossbauer: [1966Ge08](#), [1968Sn02](#), [1970Ch27](#), [1972BoYJ](#), [1971Ko29](#), [1973Ka31](#), [1973PeZE](#), [1973Zi02](#), [1980Da12](#).

$^{180}\text{Hf}(e, e')$ : [1988Ma47](#).

$^{180}\text{Hf}(p, p' \gamma)$ : [1966Ha48](#), [2011Ta22](#).

$^{180}\text{Hf}(\text{pol } p, p)$ : [1998Do16](#).

$^{180}\text{Hf}(p, \gamma)$ , IAR: [1968Ca17](#).

$^{180}\text{Hf}(^{16}\text{O}, ^{16}\text{O}' \gamma)$ : [1973KI08](#).

$^{181}\text{Ta}(\gamma, p)$ : [1973DaYV](#), [1974AIYH](#), [1974Da08](#), [1987Da29](#), [2000Gr12](#), [2012Is03](#), [2012KaZV](#).

$^{181}\text{Ta}(e, e' p)$ : [1972ShYD](#), [1972ShYE](#), [1972SuZT](#), [1973SuZW](#), [1976Su01](#), [1976Su02](#), [1989Ge04](#), [1992Ga02](#), [1992Pa03](#).

$^{181}\text{Ta}(\mu^-, \gamma)$ : [1971KeZQ](#).

$^{181}\text{Hf}(\text{pol } n, np)$ : [1991WhZZ](#), [1992WhZY](#).

$^{181}\text{Ta}(n, d)$ : [2000Be62](#), [2002BeZR](#), [2007Sh15](#), [2008SeZT](#), [2009Lu09](#).

$^{181}\text{Ta}(d, ^3\text{He})$ : [1996Fa06](#), [2009He15](#).

$^{181}\text{Ta}(^{12}\text{C}, ^{13}\text{N})$ ,  $^{181}\text{Ta}(^{14}\text{N}, ^{15}\text{O})$ : [1967Vo01](#).

$^{183}\text{W}(n, \alpha)$ : [1975Qa01](#), [2006Av01](#).

$\alpha$ : [Additional information 1](#).

 $^{180}\text{Hf}$  LevelsCross Reference (XREF) Flags

<b>A</b>	$^{180}\text{Lu } \beta^-$ decay	<b>F</b>	$^{179}\text{Hf}(n, \gamma)$ E=thermal	<b>K</b>	$^{180}\text{Hf}(\text{pol } p, p')$
<b>B</b>	$^{180}\text{Ta } \varepsilon$ decay	<b>G</b>	$^{179}\text{Hf}(d, p)$	<b>L</b>	$^{180}\text{Hf}(^{136}\text{Xe}, ^{136}\text{Xe}' \gamma)$
<b>C</b>	$^{180}\text{Hf}$ IT decay (5.53 h)	<b>H</b>	$^{180}\text{Hf}(\gamma, \gamma')$	<b>M</b>	$^{180}\text{Hf}(^{238}\text{U}, ^{238}\text{U}' \gamma)$
<b>D</b>	$^{178}\text{Hf}(t, p)$	<b>I</b>	$^{180}\text{Hf}(n, n' \gamma)$		
<b>E</b>	$^{179}\text{Hf}(n, \gamma)$ E=res: av	<b>J</b>	Coulomb excitation		

E(level) <sup>†</sup>	J <sup>π</sup>	T <sub>1/2</sub> <sup>‡</sup>	XREF	Comments
0.0 <sup>@</sup>	0 <sup>+</sup>	stable	<a href="#">ABCDEFGHIJKLM</a>	
93.3240 <sup>@</sup> 20	2 <sup>+</sup>	1.519 ns 10	<a href="#">ABCDEFGHIJKLM</a>	<p><math>Q = -2.00</math> 2; <math>\mu = +0.61</math> 3; <math>B(E2) \uparrow = 4.73</math> 3</p> <p><math>J^\pi</math>: E2 93.3<math>\gamma</math> to 0<sup>+</sup>.</p> <p>T<sub>1/2</sub>: weighted average of 1.524 ns 10 from <math>^{180}\text{Hf}</math> IT decay (5.53 h) and 1.50 ns 2 from Coulomb excitation.</p> <p><math>\mu</math>: integral perturbed angular correlation (<a href="#">1996Al20</a>). Others: <math>\mu = +0.53</math> 3, Coulomb excitation integral perturbed angular distributions (<a href="#">1968Be04</a>); <math>\mu = +0.51</math> 8, Mossbauer effect (<a href="#">1972JhZZ</a>); <math>\mu = +0.77</math> 7, integral perturbed angular correlations (<a href="#">1961Bo25</a>).</p> <p><math>\Delta \langle r^2 \rangle^{178, 180} = 0.072 \text{ fm}^2</math> 4 (<a href="#">1992An17</a>). Other: <a href="#">1992Be07</a>.</p> <p><math>B(E2) \uparrow</math>: from <a href="#">1977Ro08</a>.</p> <p>Q: hyperfine structure of muonic x-rays (<a href="#">1984Ta10</a>). Other: <a href="#">1970Ch27</a>.</p> <p><math>\mu = +1.44</math> 16; <math>B(E2) \uparrow = 2.1</math></p> <p><math>J^\pi</math>: E2 215.3<math>\gamma</math> to 2<sup>+</sup>, <math>\gamma\gamma(\theta)</math> in <math>^{180}\text{Hf}</math> IT decay (5.53 h).</p> <p><math>\mu</math>: Integral perturbed angular correlations (<a href="#">1996Al20</a>). Other: <math>\mu = +2.0</math> 4, Integral perturbed angular correlations (recalculated for consistency with adopted half-life) (<a href="#">1961Bo25</a>, <a href="#">2011StZZ</a>). Isotope shifts (<a href="#">1987Au07</a>, <a href="#">1991Au02</a>).</p>
308.576 <sup>@</sup> 3	4 <sup>+</sup>	71 ps 10	<a href="#">A CDEFG IJKLM</a>	

Continued on next page (footnotes at end of table)



**Adopted Levels, Gammas (continued)** $^{180}\text{Hf}$  Levels (continued)

E(level) <sup>†</sup>	J <sup>π</sup>	T <sub>1/2</sub> <sup>‡</sup>	XREF	Comments
				T <sub>1/2</sub> : from centroid shift in $^{180}\text{Hf}$ IT decay (5.53 h). Other: 86 ps from Coulomb excitation. B(E2)↑: from <a href="#">1964Al25</a> .
640.849 <sup>@</sup> 11	6 <sup>+</sup>	10.0 ps 7	CDEFG IJKLM	μ=+2.0 4 J <sup>π</sup> : E2 332.3γ to 4 <sup>+</sup> , γγ(θ) in $^{180}\text{Hf}$ IT decay (5.53 h). T <sub>1/2</sub> : from DSAM and yield measurements in Coulomb excitation. μ: Integral perturbed angular correlation ( <a href="#">1996Al20</a> ).
1084.006 <sup>@</sup> 15	8 <sup>+</sup>	2.18 ps 11	C FG IJKLM	J <sup>π</sup> : E2 443γ to 6 <sup>+</sup> , γγ(θ) in $^{180}\text{Hf}$ IT decay (5.53 h). T <sub>1/2</sub> : from DSAM and yield measurements in Coulomb excitation.
1101.9 <sup>d</sup> 5	0 <sup>+</sup>		D F I	XREF: D(?)F(1107). J <sup>π</sup> : E2 1009γ to 2 <sup>+</sup> , γ(θ) in $^{180}\text{Hf}(n,n'\gamma)$ . E(level): a 0 <sup>+</sup> level at 1107 keV was observed in $^{179}\text{Hf}(n,\gamma)$ , E=thermal. Subsequent $^{180}\text{Hf}(n,n'\gamma)$ studies found no evidence for an 1107-keV level, instead identified a 0 <sup>+</sup> level at 1102 keV. The evaluator assumes these correspond to the same level and adopts the level energy from $^{179}\text{Hf}(n,\gamma)$ , E=thermal.
1141.552 <sup>b</sup> 15	8 <sup>-</sup>	5.53 h 2	C FG LM	%IT=99.69 8; %β <sup>-</sup> =0.31 8 Q=+4.6 3; μ=+8.7 10 J <sup>π</sup> : E1 57.5γ to 8 <sup>+</sup> , γγ(θ) in $^{180}\text{Hf}$ IT decay (5.53 h). T <sub>1/2</sub> : from $^{180}\text{Hf}$ IT decay (5.53 h). %β <sup>-</sup> =0.023 3 to 177 (J <sup>π</sup> =8 <sup>+</sup> ) level in $^{180}\text{Ta}$ ( <a href="#">1985Ke02</a> ). %β <sup>-</sup> =0.29 5 (additional systematic uncertainty=0.06) to 77.1 (J <sup>π</sup> =9 <sup>-</sup> ) level in $^{180}\text{Ta}$ ( <a href="#">1992Ke04</a> ). See <a href="#">1992Ke04</a> for discussions on the relevance of this decay branch to the nucleosynthesis of $^{180}\text{Ta}$ (>1.2×10 <sup>15</sup> y) in stellar matter. μ: Mossbauer ( <a href="#">1971Ko29</a> ). Others: 9.0 9, low temperature nuclear orientation ( <a href="#">1976Kr11</a> ), 8.3 18, NMR on oriented nuclei ( <a href="#">2014Mu03</a> ). Q: low temperature nuclear orientation ( <a href="#">1973Ka31</a> ). Configuration=π7/2[404]⊗π9/2[514].
1164.11 5			F	
1183.36 <sup>d</sup> 13	2 <sup>+</sup>		A I KL	J <sup>π</sup> : M1(+E2) 1090γ to 2 <sup>+</sup> , 1183γ to 0 <sup>+</sup> , 875γ to 4 <sup>+</sup> .
1192.60 6	(6 <sup>+</sup> )		EF	J <sup>π</sup> : 3 <sup>+</sup> , 6 <sup>+</sup> based on population intensity in $^{179}\text{Hf}(n,\gamma)$ , E=res:Av; 552γ to 6 <sup>+</sup> favors J <sup>π</sup> =6 <sup>+</sup> assignment.
1199.72 <sup>f</sup> 5	2 <sup>+</sup>	0.51 ps 5	A DEFG IJkL	B(E2)↑=0.113 7 J <sup>π</sup> : L(t,p)=2. T <sub>1/2</sub> : deduced from measured B(E2) in Coulomb excitation and adopted γ-ray branching ratios.
1260.70 5	(2 <sup>+</sup> )		EF	J <sup>π</sup> : 952γ to 4 <sup>+</sup> , 1261γ to 0 <sup>+</sup> .
1291.15 <sup>f</sup> 5	3 <sup>+</sup>		A EF I L	J <sup>π</sup> : M1+E2 982γ to 4 <sup>+</sup> , M1+E2 1198γ to 2 <sup>+</sup> , band assignment. J <sup>π</sup> =4 <sup>+</sup> , 5 <sup>+</sup> from population intensity in $^{179}\text{Hf}(n,\gamma)$ , E=res:Av is inconsistent.
1300.37 6	(2 <sup>+</sup> )		EF I K	XREF: K(1289). J <sup>π</sup> : population by 6088γ (E2) in $^{179}\text{Hf}(n,\gamma)$ E=res:Av and population in (pol p,p') suggests J <sup>π</sup> =(2 <sup>+</sup> ). Tentatively (E1) multipolarity decomposed for 1300γ triplet from γ(θ) in $^{180}\text{Hf}(n,n'\gamma)$ suggests J <sup>π</sup> =(1 <sup>-</sup> ).
1315.7 <sup>e</sup> 5	0 <sup>+</sup>		D I	J <sup>π</sup> : L(t,p)=0.
1354.1? 3	(1 <sup>-</sup> , 2 <sup>-</sup> , 3 <sup>-</sup> )		I	J <sup>π</sup> : (E1) 1261γ to 2 <sup>+</sup> .
1369.65 <sup>d</sup> 8	(4 <sup>+</sup> )		EF I KL	J <sup>π</sup> : 728γ to 6 <sup>+</sup> , 1276γ to 2 <sup>+</sup> .
1374.36 <sup>&amp;</sup> 4	(4 <sup>-</sup> )	0.57 μs 2	A EFG I LM	J <sup>π</sup> : from $^{179}\text{Hf}(d,p)$ and γ(θ) in $^{180}\text{Hf}(n,n'\gamma)$ ; configuration=9/2[624] - 1/2[510]. However, J <sup>π</sup> =3 <sup>-</sup> in

Continued on next page (footnotes at end of table)

**Adopted Levels, Gammas (continued)** $^{180}\text{Hf}$  Levels (continued)

E(level) <sup>†</sup>	J <sup>π</sup>	T <sub>1/2</sub> <sup>‡</sup>	XREF	Comments
				$^{179}\text{Hf}(n,\gamma)$ , E=thermal. T <sub>1/2</sub> : from $^{179}\text{Hf}(n,\gamma)$ , E=thermal. J <sup>π</sup> : 1073γ to 4 <sup>+</sup> , 1289γ to 2 <sup>+</sup> .
1381.58 5	(3 <sup>+</sup> , 2 <sup>+</sup> , 4 <sup>+</sup> )		EF	
1384.6 <sup>b</sup> 4	9 <sup>-</sup>		LM	
1409.26 <sup>f</sup> 7	(4 <sup>+</sup> )		A EFg I L	J <sup>π</sup> : (E2) 1316γ to 2 <sup>+</sup> , 768γ to 6 <sup>+</sup> .
1409.36 <sup>e</sup> 19	(2 <sup>+</sup> )		D g I	J <sup>π</sup> : L(t,p)=(2), 1101γ to 4 <sup>+</sup> , 1409γ to 0 <sup>+</sup> .
1420.6 10			F	
1429.82 5	(3 <sup>-</sup> )		EF I	J <sup>π</sup> : 3 <sup>-</sup> , 6 <sup>-</sup> from weak population by primary E1 5957γ in $^{179}\text{Hf}(n,\gamma)$ , E=res:Av, 1337γ to 2 <sup>+</sup> .
1444 6	(5 <sup>-</sup> )		K	J <sup>π</sup> : from (pol p,p').
1472.40 6	(6 <sup>+</sup> )		EF	J <sup>π</sup> : 388γ to 8 <sup>+</sup> , 1164γ to 4 <sup>+</sup> .
1482.67 <sup>&amp;</sup> 4	(5 <sup>-</sup> )		DEFG I LM	J <sup>π</sup> : from $^{179}\text{Hf}(d,p)$ , M1+E2 108γ to 4 <sup>-</sup> , and band assignment.
1484.48 6			EF I	
1508 2			G I	
1525 4			G	
1539.29 5	(3 <sup>-</sup> )		EF I	J <sup>π</sup> : 3 <sup>-</sup> , 6 <sup>-</sup> from weak population by primary E1 in $^{179}\text{Hf}(n,\gamma)$ , E=res:Av, 1447γ to 2 <sup>+</sup> .
1557.33 <sup>f</sup> 22	(5 <sup>+</sup> )		EF I L	J <sup>π</sup> : 266γ to 3 <sup>+</sup> , 916γ to 6 <sup>+</sup> , 1249γ to 4 <sup>+</sup> , band assignment.
1559.29 4	(4 <sup>+</sup> )		F K	J <sup>π</sup> : D 77γ to (5 <sup>-</sup> ), 259γ to (2 <sup>+</sup> , 1 <sup>-</sup> ).
1597.53 11	(4 <sup>+</sup> , 5 <sup>+</sup> )		EF I	J <sup>π</sup> : 306γ to 3 <sup>+</sup> , 956γ to 6 <sup>+</sup> ,
1607.67 5	(4 <sup>+</sup> )		A D F I	J <sup>π</sup> : L(t,p)=(4), 408γ E2 to 2 <sup>+</sup> .
1609.38 4	(3 <sup>-</sup> )		A EFg I	J <sup>π</sup> : M1+E2 235γ to (4 <sup>-</sup> ), 410γ to 2 <sup>+</sup> .
1613.09 <sup>&amp;</sup> 4	(6 <sup>-</sup> )		EFg I LM	J <sup>π</sup> : 130γ to (5 <sup>-</sup> ), 238γ to (4 <sup>-</sup> ), band assignment.
1631.0 <sup>@</sup> 3	10 <sup>+</sup>	0.79 ps 4	J LM	J <sup>π</sup> : E2 547γ to 8 <sup>+</sup> . T <sub>1/2</sub> : from DSAM and yield measurements in Coulomb excitation.
1633.43 17	(2 <sup>+</sup> , 3, 4 <sup>+</sup> )		I	J <sup>π</sup> : 434γ to 2 <sup>+</sup> , 224γ to (4 <sup>+</sup> ).
1637.33 14	(2 <sup>+</sup> )		EF I	J <sup>π</sup> : 1328γ to 4 <sup>+</sup> , 1637γ to 0 <sup>+</sup> .
1650 4	(3 <sup>-</sup> )		G K	J <sup>π</sup> : from (pol p,p'). E(level): from (d,p).
1652.7 <sup>b</sup> 4	(10 <sup>-</sup> )		LM	J <sup>π</sup> : 511γ to 8 <sup>-</sup> , 268γ to 9 <sup>-</sup> , band assignment.
1657.98 <sup>d</sup> 10	(6 <sup>+</sup> )		F L	J <sup>π</sup> : 288γ to (4 <sup>+</sup> ), (D+Q) 1017γ to 6 <sup>+</sup> , band assignment.
1686.9 8			G I	XREF: G(1689). J <sup>π</sup> : 1593γ to 2 <sup>+</sup> observed in (n,n'γ) is inconsistent with spin assignment of J <sup>π</sup> =(6 <sup>-</sup> ) in (d,p). Possibly two distinct levels.
1700.84 <sup>a</sup> 4	(6 <sup>+</sup> )	<5 ns	EF I LM	J <sup>π</sup> : 1391γ to 4 <sup>+</sup> , 1061γ to 6 <sup>+</sup> , band assignment. T <sub>1/2</sub> : from comparison of γ-ray intensities across the bandhead for varying widths of coincidence time window in $^{180}\text{Hf}(^{136}\text{Xe}, ^{136}\text{Xe}'\gamma)$ .
1709.1 5	(5 <sup>-</sup> )		DEF K	XREF: D(1716). J <sup>π</sup> : from (pol p,p').
1724.47 <sup>f</sup> 25	(6 <sup>+</sup> )		I L	J <sup>π</sup> : (E2) 1417γ to 4 <sup>+</sup> , (M1) 1083γ to 6 <sup>+</sup> , band assignment.
1724.88 9	(2 <sup>+</sup> , 3 <sup>+</sup> , 4 <sup>+</sup> )		EF I	J <sup>π</sup> : M1+E2 434γ to 3 <sup>+</sup> .
1738.8 10			F	
1742.67 15	(5 <sup>+</sup> )		A I k	J <sup>π</sup> : (M1) 135γ to (4 <sup>+</sup> ).
1743.38 7	(2 <sup>+</sup> )		F I k	J <sup>π</sup> : 452γ to 3 <sup>+</sup> , 313.5γ to (3 <sup>-</sup> ), 1743γ to 0 <sup>+</sup> .
1756			D	
1765.1 <sup>&amp;</sup> 3	(7 <sup>-</sup> )		LM	J <sup>π</sup> : 282γ to (5 <sup>-</sup> ), 152γ to (6 <sup>-</sup> ), band assignment.
1787.7 10	(6 <sup>-</sup> )		FG	J <sup>π</sup> : from (d,p).
1813.91 8	(3 <sup>-</sup> )		EF K	XREF: K(1804). J <sup>π</sup> : from (pol p,p').
1818.60 4	(5 <sup>-</sup> )		EF	J <sup>π</sup> : M1 205.5γ to (6 <sup>-</sup> ), 1510γ to 4 <sup>+</sup> .
1820.97 17	(3 <sup>-</sup> )		d g I	J <sup>π</sup> : 447γ to (4 <sup>-</sup> ), 621γ to 2 <sup>+</sup> .
1828.4 10			F	

Continued on next page (footnotes at end of table)

**Adopted Levels, Gammas (continued)**

$^{180}\text{Hf}$ Levels (continued)					
E(level) <sup>†</sup>	J <sup>π</sup>	T <sub>1/2</sub> <sup>‡</sup>	XREF		Comments
1839 6	3 <sup>-</sup>			K	J <sup>π</sup> : from (pol p,p').
1862.4 10			G	I	
1889 3			G		
1892.7 <sup>a</sup> 4	(7 <sup>+</sup> )			LM	J <sup>π</sup> : 192γ to (6 <sup>+</sup> ), band assignment.
1901.9 <sup>g</sup> 8				L	
1904.0 <sup>h</sup> 7				L	
1904.2 6	(1,2 <sup>+</sup> )		d	I	J <sup>π</sup> : 1811γ to 2 <sup>+</sup> , 1904γ to 0 <sup>+</sup> .
1909.72 9	(4 <sup>+</sup> ,3)		dEFG		J <sup>π</sup> : 302γ to (4 <sup>+</sup> ), 710γ to 2 <sup>+</sup> , 536γ to (4 <sup>-</sup> ). J <sup>π</sup> =(7 <sup>-</sup> ) for 1908 5 level is inconsistent with decay pattern and could correspond to a different level.
1926.4 8	3 <sup>-</sup>		G	I K	J <sup>π</sup> : from (pol p,p').
1928.7 <sup>f</sup> 4	(7 <sup>+</sup> )			L	J <sup>π</sup> : D 1288γ to 6 <sup>+</sup> , 845γ to 8 <sup>+</sup> , 371γ to (5 <sup>+</sup> ), band assignment.
1931.9 10			F		
1937.2 10			D F		
1938.2 <sup>&amp;</sup> 4	(8 <sup>-</sup> )			LM	
1945.23 13	(2 <sup>+</sup> )		F		J <sup>π</sup> : 1637γ to 4 <sup>+</sup> , 1947γ to 0 <sup>+</sup> .
1945.7 <sup>b</sup> 5	(11 <sup>-</sup> )			LM	J <sup>π</sup> : 561γ to 9 <sup>-</sup> , 293γ to (10 <sup>-</sup> ), band assignment.
1948.6 8				I	
1971 3			G		
2022.6 10			FG		E(level): 1714γ to 4 <sup>+</sup> is inconsistent with J <sup>π</sup> =(1 <sup>-</sup> ) in (d,p); possibly two distinct levels.
2034.43 7			EF		
2046.9 <sup>d</sup> 4	(8 <sup>+</sup> )			L	J <sup>π</sup> : 388γ to (6 <sup>+</sup> ), 963γ to 8 <sup>+</sup> , band assignment.
2059.0 10			F		
2075.3 8			G	I k	J <sup>π</sup> =4 <sup>+</sup> for 2067 level in (pol p,p').
2078.34 12			F	k	J <sup>π</sup> =4 <sup>+</sup> for 2067 level in (pol p,p').
2110.9 <sup>a</sup> 4	(8 <sup>+</sup> )			LM	J <sup>π</sup> : 410γ to (6 <sup>+</sup> ), 218γ to (7 <sup>+</sup> ), band assignment.
2120.1? 10	1,2 <sup>#</sup>	0.46 ps 22	D	H K	XREF: D(2115)K(2125).
2133.6 <sup>f</sup> 4	(8 <sup>+</sup> )			L	J <sup>π</sup> : stretched (E2) 1493γ to 6 <sup>+</sup> , (M1) 1050γ to 8 <sup>+</sup> .
2134.2 <sup>&amp;</sup> 4	(9 <sup>-</sup> )			LM	J <sup>π</sup> : 409γ to (7 <sup>-</sup> ), 196γ to (8 <sup>-</sup> ), band assignment.
2147.1 10			FG		XREF: G(2143).
2151.48 6			EF		
2174.0 3	3 <sup>-</sup>		FG	K	J <sup>π</sup> : from (pol p,p').
2183.1 3			A		
2196.91 22			A		
2201.0 10			F	K	XREF: K(2205).
2215.9 10			FG		
2242.6 10			FG		XREF: G(2238).
2246.1 10			F		
2252.9 10			F	k	J <sup>π</sup> : 4 <sup>+</sup> from (pol p,p') for level at 2257 6.
2261.8 7			F	k	J <sup>π</sup> : 4 <sup>+</sup> from (pol p,p') for level at 2257 6.
2262.3 <sup>b</sup> 5	(12 <sup>-</sup> )			LM	J <sup>π</sup> : 610γ to (10 <sup>-</sup> ), 317γ to (11 <sup>-</sup> ).
2271 3			G		
2273.0 <sup>g</sup> 8				L	
2274.3 <sup>@</sup> 4	12 <sup>+</sup>	0.37 ps 3		J L	J <sup>π</sup> : E2 642γ to 10 <sup>+</sup> and band structure observed in Coulomb excitation. T <sub>1/2</sub> : from DSAM and yield measurements in Coulomb excitation.
2276.4 10			F		
2293.0 10			F	K	
2300.9 <sup>h</sup> 7				L	
2303			D		
2316.71 10	(4 <sup>-</sup> ,5 <sup>-</sup> )		EF		J <sup>π</sup> : 703γ to (6 <sup>-</sup> ), 707γ to (3 <sup>-</sup> ), 2008γ to 4 <sup>+</sup> .
2320.8 7			F		
2334.98 21			F		
2341.4 10			F		

Continued on next page (footnotes at end of table)

**Adopted Levels, Gammas (continued)**

$^{180}\text{Hf}$ Levels (continued)					
E(level) <sup>†</sup>	J <sup>π</sup>	T <sub>1/2</sub> <sup>‡</sup>	XREF	Comments	
2348			D		
2350.4 <sup>&amp;</sup> 5	(10 <sup>-</sup> )		LM	J <sup>π</sup> : 412γ to (8 <sup>-</sup> ), 216γ to (9 <sup>-</sup> ), band assignment.	
2351.8 <sup>a</sup> 5	(9 <sup>+</sup> )		LM	J <sup>π</sup> : 459γ to (7 <sup>+</sup> ), 241γ to (8 <sup>+</sup> ), band assignment.	
2369.0 10			F		
2377.7 10	1 <sup>#</sup>	0.29 ps 7	H		
2389.0 6	(1,2 <sup>+</sup> )		I	J <sup>π</sup> : 2296γ to 2 <sup>+</sup> , 2389γ to 0 <sup>+</sup> .	
2391 6	4 <sup>+</sup>		K	J <sup>π</sup> : from (pol p,p').	
2398.9 <sup>f</sup> 5	(9 <sup>+</sup> )		L	J <sup>π</sup> : (M1) 1315γ to 8 <sup>+</sup> , 767γ to 10 <sup>+</sup> , 470γ to (7 <sup>+</sup> ), band assignment.	
2413.5 10			F		
2425.2 12	(10 <sup>+</sup> )	<2 ns	M	K <sup>π</sup> =(10 <sup>+</sup> ). Configuration=ν9/2[624]⊗ν11/2[615].	
2447 6	5 <sup>-</sup>		K	T <sub>1/2</sub> : from γ(t) in $^{180}\text{Hf}(^{238}\text{U}, ^{238}\text{U}'\gamma)$ .	
2465.7 10			F	J <sup>π</sup> : from (pol p,p').	
2472.4 7			F		
2477.11 10	(4,5)		F	J <sup>π</sup> : 864γ to (6 <sup>-</sup> ), 938γ to (3 <sup>-</sup> ), 1186γ to 3 <sup>+</sup> , 1835γ to 6 <sup>+</sup> .	
2482 6	3 <sup>-</sup>		K	J <sup>π</sup> : from (pol p,p').	
2485.5 <sup>c</sup> 5	12 <sup>+</sup>	0.94 μs 11	M	K <sup>π</sup> =12 <sup>+</sup> . Configuration=π <sup>2</sup> 8 <sup>-</sup> ⊗ν9/2[624]⊗ν1/2[510].	
				J <sup>π</sup> : 539.5γ to (11 <sup>-</sup> ), 832γ to (10 <sup>-</sup> ), 1101γ to 9 <sup>-</sup> .	
				T <sub>1/2</sub> : from γ(t) in $^{180}\text{Hf}(^{238}\text{U}, ^{238}\text{U}'\gamma)$ . Other: 9.6 μs from 2000Wh04.	
2493.5 7	1 <sup>#</sup>	62 fs 13	H		
2504.8 10			F		
2532.8 <sup>d</sup> 4	(10 <sup>+</sup> )		L	J <sup>π</sup> : 485γ to (8 <sup>+</sup> ); band assignment.	
2533 20	3 <sup>-</sup>		K	J <sup>π</sup> : from (pol p,p').	
2537.4 10	(14 <sup>+</sup> )	>10 μs	M	T <sub>1/2</sub> : >>10 μs from $^{180}\text{Hf}(^{238}\text{U}, ^{238}\text{U}'\gamma)$ .	
				K <sup>π</sup> =(14 <sup>+</sup> ). Configuration=π <sup>2</sup> 8 <sup>-</sup> ⊗ν9/2[624]⊗ν3/2[512].	
				J <sup>π</sup> : 52γ to 12 <sup>+</sup> .	
2549.4 10			F		
2561.2 7			F		
2582.5 7	1 <sup>#</sup>	10 fs 3	H		
2588.0 <sup>&amp;</sup> 7	(11 <sup>-</sup> )		LM	J <sup>π</sup> : 454γ to (9 <sup>-</sup> ); band assignment.	
2591 20	4 <sup>+</sup>		K	J <sup>π</sup> : from (pol p,p').	
2603.1 <sup>b</sup> 6	(13 <sup>-</sup> )		L	J <sup>π</sup> : 341γ to (12 <sup>-</sup> ), 657.5γ to (11 <sup>-</sup> ); band assignment.	
2613.9 <sup>f</sup> 4	(10 <sup>+</sup> )		L	J <sup>π</sup> : (E2) 1530γ to 8 <sup>+</sup> ; band assignment.	
2614.8 <sup>a</sup> 6	(10 <sup>+</sup> )		LM	J <sup>π</sup> : 504γ to (8 <sup>+</sup> ); band assignment.	
2617.2 7	1 <sup>#</sup>	9.5 fs 8	H		
2623.6 <sup>c</sup> 8	(13 <sup>+</sup> )		M	J <sup>π</sup> : 138γ to 12 <sup>+</sup> ; band assignment.	
2680.04 14	4 <sup>+</sup> ,5 <sup>-</sup>		F	J <sup>π</sup> : 980γ to (6 <sup>+</sup> ), 1141γ to (3 <sup>-</sup> ).	
2682.4 7			F		
2706.2 10			F		
2712.5 7	1 <sup>#</sup>	12.4 fs 24	H		
2730.7 <sup>g</sup> 4			L		
2741.5 5			F		
2771.9 10			F		
2784.0 10			F		
2796.0 <sup>h</sup> 7			L		
2797.1 6			F		
2806.0 10			F		
2807.0 <sup>c</sup> 6	(14 <sup>+</sup> )		M	J <sup>π</sup> : 183γ to (13 <sup>+</sup> ), 321.5γ to 12 <sup>+</sup> ; band assignment.	
2812.4 10	1 <sup>#</sup>	0.16 ps 3	H		
2839.2 5			F		
2848.4 <sup>&amp;</sup> 7	(12 <sup>-</sup> )		LM	J <sup>π</sup> : 498γ to (10 <sup>-</sup> ); band assignment.	

Continued on next page (footnotes at end of table)

**Adopted Levels, Gammas (continued)**

$^{180}\text{Hf}$ Levels (continued)				
E(level) <sup>†</sup>	J <sup>π</sup>	T <sub>1/2</sub> <sup>‡</sup>	XREF	Comments
2850.3 6			F	
2858.7 7			F	
2873.4 10			F	
2879.8 10	1,2 <sup>#</sup>	0.25 ps 7	H	
2892.3 7	1 <sup>#</sup>	20.0 fs 21	H	
2896.9 <sup>a</sup> 6	(11 <sup>+</sup> )		LM	J <sup>π</sup> : 545γ to (9 <sup>+</sup> ); band assignment.
2913.6 10			F	
2948.0 7	1 <sup>#</sup>	13.0 fs 9	H	
2960.7 <sup>f</sup> 6	(11 <sup>+</sup> )		L	J <sup>π</sup> : 562γ to (9 <sup>+</sup> ), 1330γ to 10 <sup>+</sup> ; band assignment.
2965.4 <sup>b</sup> 6	(14 <sup>-</sup> )		L	J <sup>π</sup> : 703γ to (12 <sup>-</sup> ); band assignment.
2993.1 10	1 <sup>#</sup>	47 fs 5	H	
3000.1 10			F	
3005.4 <sup>@</sup> 5	14 <sup>+</sup>		L	J <sup>π</sup> : (E2) 731γ to 12 <sup>+</sup> ; band assignment.
3011.3 7	1 <sup>#</sup>	30 fs 6	H	
3022.6 6			F	
3049.7 6			F	
3058.6 10			F	
3068.8 7	1 <sup>#</sup>	14.1 fs 13	H	
3081.5 10	1 <sup>#</sup>	0.17 ps 5	H	
3083.6 10			F	
3086.0 10	1 <sup>#</sup>	0.14 ps 3	H	
3089.8 7			F	
3100.8 10			F	
3100.8 <sup>c</sup> 9	(15 <sup>+</sup> )		M	J <sup>π</sup> : 294γ to (14 <sup>+</sup> ); band assignment.
3110.6 <sup>d</sup> 5	(12 <sup>+</sup> )		L	J <sup>π</sup> : 578γ to (10 <sup>+</sup> ); band assignment.
3123.4 <sup>&amp;</sup> 8	(13 <sup>-</sup> )		LM	J <sup>π</sup> : 535γ to (11 <sup>-</sup> ); band assignment.
3124.1 10			F	
3125.6 7	1 <sup>#</sup>	29 fs 3	H	
3129.2 <sup>f</sup> 5	(12 <sup>+</sup> )		L	J <sup>π</sup> : (E2) 1498γ to 10 <sup>+</sup> ; band assignment.
3131.7 7			F	
3150.7 7	1 <sup>#</sup>	10 fs 4	H	
3153.1 10			F	
3163.2 10			F	
3174.4 10			F	
3184.0 7			F	
3191.4 <sup>a</sup> 7	(12 <sup>+</sup> )		LM	J <sup>π</sup> : 577γ to (10 <sup>+</sup> ); band assignment.
3200.4 10			F	
3215.3 10			F	
3253.1 10			F	
3254.3 7	1 <sup>#</sup>	32 fs 8	H	
3257.7 10			F	
3300.4 <sup>g</sup> 5			L	
3303.7 10			F	
3317.0 5			F	
3330.1 10	1 <sup>#</sup>	95 fs 20	H	
3330.3 7			F	
3338.7 10			F	
3350.2 <sup>b</sup> 7	(15 <sup>-</sup> )		L	J <sup>π</sup> : 747γ to (13 <sup>-</sup> ); band assignment.
3384.0 <sup>h</sup> 9			L	
3417.2 5			F	
3428.7 10			F	

Continued on next page (footnotes at end of table)

**Adopted Levels, Gammas (continued)**

$^{180}\text{Hf}$ Levels (continued)				
E(level) <sup>†</sup>	J <sup>π</sup>	T <sub>1/2</sub> <sup>‡</sup>	XREF	Comments
3432.1 & 9	(14 <sup>-</sup> )		L	J <sup>π</sup> : 584γ to (12 <sup>-</sup> ); band assignment.
3442.9 10			F	
3446.9 <sup>c</sup> 9	(16 <sup>+</sup> )		M	J <sup>π</sup> : 639γ to (14 <sup>+</sup> ); band assignment.
3468.6 10			F	
3483.4 10			F	
3489.2 10			F	
3499.9 10			F	
3506.8 10	1,2 <sup>#</sup>	77 fs 16	H	
3515.7 10			F	
3526.7 10			F	
3528.9 13			M	
3559.6 7	1 <sup>#</sup>	12.8 fs 23	H	
3569.5 7	1 <sup>#</sup>	30 fs 6	H	
3584.2 7	1 <sup>#</sup>	7.3 fs 19	H	
3592.5 7	1 <sup>#</sup>	16 fs 4	H	
3596.5 10			F	
3597.5 10	(18 <sup>-</sup> )	90 μs 10	M	K <sup>π</sup> =(18 <sup>-</sup> ). Configuration=π <sup>2</sup> 8 <sup>-</sup> ⊗ν9/2[624]⊗ν11/2[615]. J <sup>π</sup> : M2 151γ to (16 <sup>+</sup> ). T <sub>1/2</sub> : from γ(t) in $^{180}\text{Hf}(^{238}\text{U}, ^{238}\text{U}'\gamma)$ .
3606.5 <sup>f</sup> 7	(13 <sup>+</sup> )		L	J <sup>π</sup> : 646γ to (11 <sup>+</sup> ); band assignment.
3615.1 7	1 <sup>#</sup>	13.0 fs 13	H	
3625.4 10			F	
3627.1 10	1 <sup>#</sup>	51 fs 12	H	
3640.7 10			F	
3653.8 10			F	
3672.2 7			F	
3678.1 <sup>f</sup> 6	(14 <sup>+</sup> )		L	J <sup>π</sup> : 549γ to (12 <sup>+</sup> ); band assignment.
3681.2 10			F	
3734.0 & 10	(15 <sup>-</sup> )		L	J <sup>π</sup> : 611γ to (13 <sup>-</sup> ); band assignment.
3751.3 7			F	
3755.4 <sup>b</sup> 7	(16 <sup>-</sup> )		L	J <sup>π</sup> : 790γ to (14 <sup>-</sup> ); band assignment.
3766.6 7	1 <sup>#</sup>	10.0 fs 14	H	
3774.3 7	1 <sup>#</sup>	4.7 fs 19	H	
3781.5 <sup>d</sup> 6	(14 <sup>+</sup> )		L	J <sup>π</sup> : 671γ to (12 <sup>+</sup> ); band assignment.
3786.2 7	1 <sup>#</sup>	8.6 fs 18	H	
3804.1 7	1 <sup>#</sup>	16 fs 3	H	
3813.5 @ 7	16 <sup>+</sup>		L	J <sup>π</sup> : (E2) 808γ to 14 <sup>+</sup> ; band assignment.
3818.0 10	1 <sup>#</sup>	40 fs 8	H	
3829.6 10	1 <sup>#</sup>	25 fs 5	H	
3836.5 7	1 <sup>#</sup>	14.7 fs 24	H	
3848.3 6			F	
3851.7 7	1 <sup>#</sup>	7.0 fs 14	H	
3855.6 10			F	
3862.2 10	1,2 <sup>#</sup>	69 fs 22	H	
3869.2 7			F	
3880.3 10			F	
3889.4 10	1 <sup>#</sup>	12.6 fs 16	H	
3908.5 10			F	
3926.5 7			F	
3928.0 10	1 <sup>#</sup>	22 fs 4	H	

Continued on next page (footnotes at end of table)

**Adopted Levels, Gammas (continued)**

$^{180}\text{Hf}$ Levels (continued)				
E(level) <sup>†</sup>	J <sup>π</sup>	T <sub>1/2</sub> <sup>‡</sup>	XREF	Comments
3948.1 10	1 <sup>#</sup>	25 fs 6	H	
3957.6 7			F	
3967.8 10	1 <sup>#</sup>	18 fs 4	H	
3971.3 <sup>g</sup> 6				L
3975.3 7			F	
3978.4 7	1 <sup>#</sup>	1.8 fs 9	H	
3987.6 10			F	
3992.3 10			F	
4003.1 7			F	
4091.3 <sup>&amp;</sup> 10	(16 <sup>-</sup> )		L	J <sup>π</sup> : 659γ to (14 <sup>-</sup> ); band assignment.
4137.7 10			F	
4180.1 <sup>b</sup> 8	(17 <sup>-</sup> )		L	J <sup>π</sup> : 830γ to (15 <sup>-</sup> ); band assignment.
4270.2 <sup>f</sup> 7	(16 <sup>+</sup> )		L	J <sup>π</sup> : 592γ to (14 <sup>+</sup> ); band assignment.
4323.5 <sup>f</sup> 12	(15 <sup>+</sup> )		L	J <sup>π</sup> : 717γ to (13 <sup>+</sup> ); band assignment.
4331.9 10			F	
4356.0 10			F	
4413.1 <sup>&amp;</sup> 11	(17 <sup>-</sup> )		L	J <sup>π</sup> : 679γ to (15 <sup>-</sup> ); band assignment.
4423.1 7			F	
4682.0 <sup>@</sup> 9	18 <sup>+</sup>		L	J <sup>π</sup> : 868.5γ to 16 <sup>+</sup> ; band assignment.
4808.5 7			F	
4852.8 7			F	
4916.3 5			F	
4924.2 <sup>f</sup> 12	(18 <sup>+</sup> )		L	J <sup>π</sup> : 654γ to (16 <sup>+</sup> ).
4965.4 6			F	
5048.3 7			F	
5057.6 6			F	
5554.0 <sup>@</sup> 13	20 <sup>+</sup>		L	J <sup>π</sup> : 872γ to 18 <sup>+</sup> ; band assignment.
5629.2 <sup>f</sup> 16	(20 <sup>+</sup> )		L	J <sup>π</sup> : 705γ to (18 <sup>+</sup> ); band assignment.
5666.0 13	(20 <sup>+</sup> )		L	J <sup>π</sup> : 984γ to 18 <sup>+</sup> .

<sup>†</sup> From least-squares fit to Eγ, by evaluator.<sup>‡</sup> From  $^{180}\text{Hf}(\gamma, \gamma')$ , except where noted.<sup>#</sup> From  $\gamma(\theta)$  in  $^{180}\text{Hf}(\gamma, \gamma')$ .<sup>@</sup> Band(A): K<sup>π</sup>=0<sup>+</sup> g.s. rotational band.<sup>&</sup> Band(B): 2 quasiparticle band on 1374 keV (4<sup>-</sup>).<sup>a</sup> Band(C): 2 quasiparticle band on 1703 keV (6<sup>+</sup>).<sup>b</sup> Band(D): 2 quasiparticle 8<sup>-</sup> band.<sup>c</sup> Band(E): 4 quasiparticle 12<sup>+</sup> band.<sup>d</sup> Band(F): K<sup>π</sup>=0<sup>+</sup> rotational band.<sup>e</sup> Band(G): K<sup>π</sup>=0<sup>+</sup> rotational band.<sup>f</sup> Band(H): K<sup>π</sup>=2<sup>+</sup> γ vibrational band.<sup>g</sup> Band(I): Low-K γ vibrational band. Suggested as even spin and positive parity by 2008Ta28.<sup>h</sup> Band(J): Low-K γ vibrational band. Suggested as odd spin by 2008Ta28.

Adopted Levels, Gammas (continued)

$\gamma(^{180}\text{Hf})$									
$E_i(\text{level})$	$J_i^\pi$	$E_\gamma^\dagger$	$I_\gamma^\dagger$	$E_f$	$J_f^\pi$	Mult. <sup>‡</sup>	$\delta^\ddagger$	$\alpha$	Comments
93.3240	2 <sup>+</sup>	93.324 2	100	0.0	0 <sup>+</sup>	E2		4.63	$\alpha(\text{K})=1.081\ 16$ ; $\alpha(\text{L})=2.70\ 4$ ; $\alpha(\text{M})=0.675\ 10$ ; $\alpha(\text{N}+..)=0.1760\ 25$ B(E2)(W.u.)=154.8 21 Mult.: from ce data in $^{180}\text{Hf}$ IT decay (5.53 h) and $^{179}\text{Hf}(n,\gamma)$ , E=thermal.
308.576	4 <sup>+</sup>	215.252 2	100	93.3240	2 <sup>+</sup>	E2		0.225	$\alpha(\text{K})=0.1364\ 19$ ; $\alpha(\text{L})=0.0678\ 10$ ; $\alpha(\text{M})=0.01659\ 24$ ; $\alpha(\text{N}+..)=0.00438\ 7$ B(E2)(W.u.)= $2.3 \times 10^2\ 4$ Mult.: from ce data in $^{180}\text{Hf}$ IT decay (5.53 h) and $^{179}\text{Hf}(n,\gamma)$ , E=thermal.
640.849	6 <sup>+</sup>	332.271 10	100	308.576	4 <sup>+</sup>	E2		0.0586	$\alpha(\text{K})=0.0418\ 6$ ; $\alpha(\text{L})=0.01286\ 18$ ; $\alpha(\text{M})=0.00308\ 5$ ; $\alpha(\text{N}+..)=0.000823\ 12$ B(E2)(W.u.)=219 16 Mult.: from ce data in $^{180}\text{Hf}$ IT decay (5.53 h) and $^{179}\text{Hf}(n,\gamma)$ , E=thermal.
1084.006	8 <sup>+</sup>	443.162 15	100	640.849	6 <sup>+</sup>	E2		0.0264	$\alpha(\text{K})=0.0201\ 3$ ; $\alpha(\text{L})=0.00486\ 7$ ; $\alpha(\text{M})=0.001146\ 16$ ; $\alpha(\text{N}+..)=0.000309\ 5$ B(E2)(W.u.)=245 13 E $_\gamma$ : from $^{180}\text{Hf}$ IT decay (5.53 h). Mult.: from ce data in $^{180}\text{Hf}$ IT decay (5.53 h) and $^{179}\text{Hf}(n,\gamma)$ , E=thermal.
1101.9	0 <sup>+</sup>	1008.6 @ 5	100	93.3240	2 <sup>+</sup>	E2		0.00402 6	$\alpha(\text{K})=0.00332\ 5$ ; $\alpha(\text{L})=0.000539\ 8$ ; $\alpha(\text{M})=0.0001224\ 18$ ; $\alpha(\text{N}+..)=3.36 \times 10^{-5}\ 5$
1141.552	8 <sup>-</sup>	57.538 17	100.0 20	1084.006	8 <sup>+</sup>	E1		0.296	$\alpha(\text{L})=0.230\ 4$ ; $\alpha(\text{M})=0.0523\ 8$ ; $\alpha(\text{N}+..)=0.01377\ 20$ B(E1)(W.u.)= $3.46 \times 10^{-17}\ 10$ $\alpha$ : experimental value from $^{180}\text{Hf}$ IT decay (5.53 h) ( <b>1986BeZE</b> ). E $_\gamma$ , I $_\gamma$ : from $^{180}\text{Hf}$ IT decay (5.53 h). Mult.: K forbidden E1 transition. Multipolarity from ce data in $^{180}\text{Hf}$ IT decay (5.53 h).
		500.697 15	29.6 8	640.849	6 <sup>+</sup>	M2+E3	-5.3 2	0.0610	$\alpha(\text{K})=0.0406\ 6$ ; $\alpha(\text{L})=0.01555\ 22$ ; $\alpha(\text{M})=0.00379\ 6$ ; $\alpha(\text{N}+..)=0.001018\ 15$ B(E3)(W.u.)= $7.11 \times 10^{-10}\ 23$ ; B(M2)(W.u.)= $9.8 \times 10^{-15}\ 8$ E $_\gamma$ , I $_\gamma$ : from $^{180}\text{Hf}$ IT decay (5.53 h). Mult.: from ce data in $^{180}\text{Hf}$ IT decay (5.53 h). $\delta$ : from $\gamma\gamma(\theta)$ in $^{180}\text{Hf}$ IT decay (5.53 h).
1164.11		1070.7 5	100	93.3240	2 <sup>+</sup>				
1183.36	2 <sup>+</sup>	875.3 # 3	19 # 4	308.576	4 <sup>+</sup>				
		1089.9 # 2	100 # 7	93.3240	2 <sup>+</sup>	M1(+E2)	-0.3 4	0.0065 9	$\alpha(\text{K})=0.0054\ 7$ ; $\alpha(\text{L})=0.00080\ 10$ ; $\alpha(\text{M})=0.000179\ 21$ ; $\alpha(\text{N}+..)=5.0 \times 10^{-5}\ 6$
		1183.2 @ 8	3.3 @ 8	0.0	0 <sup>+</sup>				



## Adopted Levels, Gammas (continued)

$E_i(\text{level})$	$J_i^\pi$	$E_\gamma$	$I_\gamma$	$E_f$	$J_f^\pi$	$\gamma(^{180}\text{Hf})$ (continued)			$\alpha$	Comments
						Mult. <sup>‡</sup>	$\delta^{\ddagger}$			
1192.60	(6 <sup>+</sup> )	551.75 <sup>f</sup> 6 884.7 7	<240 <sup>f</sup> 100 70	640.849 308.576	6 <sup>+</sup> 4 <sup>+</sup>					
1199.72	2 <sup>+</sup>	890.9 4	3.0 3	308.576	4 <sup>+</sup>	[E2]			0.00518 8	$\alpha(\text{K})=0.00426$ 6; $\alpha(\text{L})=0.000717$ 10; $\alpha(\text{M})=0.0001636$ 23; $\alpha(\text{N}+..)=4.48\times 10^{-5}$ 7 B(E2)(W.u.)=0.50 8 $I_\gamma$ : from $^{180}\text{Lu}$ $\beta^-$ decay. Other: <10 for multiply placed 891 $\gamma$ in $^{179}\text{Hf}(\text{n},\gamma)$ , E=thermal. $\alpha(\text{K})=0.00280$ 15; $\alpha(\text{L})=0.000444$ 21; $\alpha(\text{M})=0.000100$ 5; $\alpha(\text{N}+..)=2.79\times 10^{-5}$ 13 B(E2)(W.u.)=5.2 6; B(M1)(W.u.)=0.00016 8 $I_\gamma$ : weighted average of 98 4 in $^{180}\text{Lu}$ $\beta^-$ decay and 90 4 in $^{179}\text{Hf}(\text{n},\gamma)$ , E=thermal. Mult., $\delta$ : from Coulomb excitation (1974Va09). $\delta$ : Others: -0.45 25 or <-10 (1983Gr30) and 2.2 13 (1991Gr19); both from $\gamma(\theta)$ in $^{180}\text{Hf}(\text{n},\text{n}'\gamma)$ .
		1106.00 15	94 4	93.3240	2 <sup>+</sup>	M1+E2	9.6 +22-58		0.00338 18	
		1199.7 <sup>#</sup> 2	100 <sup>#</sup> 7	0.0	0 <sup>+</sup>	(E2)			0.00285 4	$\alpha(\text{K})=0.00237$ 4; $\alpha(\text{L})=0.000369$ 6; $\alpha(\text{M})=8.34\times 10^{-5}$ 12; $\alpha(\text{N}+..)=2.76\times 10^{-5}$ 4 B(E2)(W.u.)=3.7 5
1260.70	(2 <sup>+</sup> )	96.589 10 952.2 <sup>f</sup> 7 1167.0 <sup>g</sup> 10	0.45 13 <1.3 <sup>f</sup> <3.7	1164.11 308.576 93.3240	 4 <sup>+</sup> 2 <sup>+</sup>					
1291.15	3 <sup>+</sup>	1260.8 3 982.1 3	100 13 19.9 12	0.0 308.576	0 <sup>+</sup> 4 <sup>+</sup>	M1+E2	-5.0 +20-15		0.0044 3	$\alpha(\text{K})=0.00365$ 24; $\alpha(\text{L})=0.00059$ 4; $\alpha(\text{M})=0.000134$ 8; $\alpha(\text{N}+..)=3.69\times 10^{-5}$ 20
		1197.8 3	100 7	93.3240	2 <sup>+</sup>	M1+E2			0.0041 13	$\alpha(\text{K})=0.0034$ 11; $\alpha(\text{L})=0.00051$ 15; $\alpha(\text{M})=0.00012$ 4; $\alpha(\text{N}+..)=3.7\times 10^{-5}$ 10 $\delta$ : <-10 or 0.18 5 (1991Gr19) and >3 (1983Gr30); both from $\gamma(\theta)$ in $^{180}\text{Hf}(\text{n},\text{n}'\gamma)$ .
1300.37	(2 <sup>+</sup> )	1300.5 4	100	0.0	0 <sup>+</sup>					
1315.7	0 <sup>+</sup>	1222.4 <sup>@</sup> 5	100	93.3240	2 <sup>+</sup>	E2			0.00275 4	$\alpha(\text{K})=0.00229$ 4; $\alpha(\text{L})=0.000355$ 5; $\alpha(\text{M})=8.01\times 10^{-5}$ 12; $\alpha(\text{N}+..)=2.91\times 10^{-5}$ 4
1354.1?	(1 <sup>-</sup> ,2 <sup>-</sup> ,3 <sup>-</sup> )	1260.8 <sup>f@g</sup> 3	100 <sup>f</sup>	93.3240	2 <sup>+</sup>	(E1)			0.001123 16	$\alpha=0.001123$ 16; $\alpha(\text{K})=0.000916$ 13; $\alpha(\text{L})=0.0001264$ 18; $\alpha(\text{M})=2.81\times 10^{-5}$ 4; $\alpha(\text{N}+..)=5.27\times 10^{-5}$
1369.65	(4 <sup>+</sup> )	186.6 <sup>&amp;</sup> 5 728.1 3 1061.0 3	 4 <sup>@</sup> 2 100 <sup>@</sup> 20	1183.36 640.849 308.576	2 <sup>+</sup> 6 <sup>+</sup> 4 <sup>+</sup>					
		1276.5 4	6 <sup>@</sup> 2	93.3240	2 <sup>+</sup>					
1374.36	(4 <sup>-</sup> )	113.66 2	0.21 4	1260.70	(2 <sup>+</sup> )	[M2]			22.8	$\alpha(\text{K})=16.46$ 23; $\alpha(\text{L})=4.85$ 7; $\alpha(\text{M})=1.180$ 17;

## Adopted Levels, Gammas (continued)

$\gamma(^{180}\text{Hf})$ (continued)									
$E_i(\text{level})$	$J_i^\pi$	$E_\gamma^\dagger$	$I_\gamma^\dagger$	$E_f$	$J_f^\pi$	Mult. <sup>‡</sup>	$\delta^\ddagger$	$\alpha$	Comments
1374.36	(4 <sup>-</sup> )	1065.77 5	100 1	308.576	4 <sup>+</sup>	E1(+M2)	-0.12 30	0.0017 22	$\alpha(\text{N}+..)=0.327$ 5 B(M2)(W.u.)=0.17 4 $\alpha(\text{K})=0.0014$ 18; $\alpha(\text{L})=0.0002$ 3; $\alpha(\text{M})=5.\text{E}-5$ 7; $\alpha(\text{N}+..)=1.2\times 10^{-5}$ 19 B(E1)(W.u.)= $2.85\times 10^{-10}$ 11 $\alpha(\text{K})=0.00898$ 13; $\alpha(\text{L})=0.001402$ 20; $\alpha(\text{M})=0.000317$ 5; $\alpha(\text{N}+..)=9.32\times 10^{-5}$ 13 B(M2)(W.u.)= $1.99\times 10^{-5}$ 12 I $\gamma$ =24 12 from $^{180}\text{Lu}$ $\beta^-$ decay disagrees with value from (n, $\gamma$ ).
		1281.7 2	4.42 21	93.3240	2 <sup>+</sup>	[M2]		0.01080	
1381.58	(3 <sup>+</sup> ,2 <sup>+</sup> ,4 <sup>+</sup> )	81.21 2	100 7	1300.37	(2 <sup>+</sup> )				
		1072.6 5	93 67	308.576	4 <sup>+</sup>				
		1288.7 <sup>f</sup> 5	<215 <sup>f</sup>	93.3240	2 <sup>+</sup>				
1384.6	9 <sup>-</sup>	242.9 <sup>&amp;</sup> 5	100 <sup>&amp;</sup>	1141.552	8 <sup>-</sup>				
1409.26	(4 <sup>+</sup> )	209.51 7	1.6 12	1199.72	2 <sup>+</sup>				
		768.1 6	4.9 16	640.849	6 <sup>+</sup>				
		1100.60 15	100 5	308.576	4 <sup>+</sup>	M1+E2		0.0050 16	$\alpha(\text{K})=0.0042$ 14; $\alpha(\text{L})=0.00063$ 19; $\alpha(\text{M})=0.00014$ 4; $\alpha(\text{N}+..)=3.9\times 10^{-5}$ 12
		1316.4 3	70.0 21	93.3240	2 <sup>+</sup>	(E2)		0.00240 4	$\alpha(\text{K})=0.00199$ 3; $\alpha(\text{L})=0.000303$ 5; $\alpha(\text{M})=6.84\times 10^{-5}$ 10; $\alpha(\text{N}+..)=3.98\times 10^{-5}$ 6
1409.36	(2 <sup>+</sup> )	1100.7 <sup>@</sup> 5	100 <sup>@</sup> 50	308.576	4 <sup>+</sup>	(E2)		0.00337 5	$\alpha(\text{K})=0.00280$ 4; $\alpha(\text{L})=0.000444$ 7; $\alpha(\text{M})=0.0001006$ 15; $\alpha(\text{N}+..)=2.79\times 10^{-5}$ 4
		1316.1 <sup>@</sup> 8	29 <sup>@</sup> 15	93.3240	2 <sup>+</sup>	(E2)		0.00240 4	$\alpha(\text{K})=0.00199$ 3; $\alpha(\text{L})=0.000304$ 5; $\alpha(\text{M})=6.84\times 10^{-5}$ 10; $\alpha(\text{N}+..)=3.97\times 10^{-5}$ 6
1420.6		1409.3 <sup>@</sup>	12 <sup>@</sup> 3	0.0	0 <sup>+</sup>				
1429.82	(3 <sup>-</sup> )	1112 <sup>c</sup>	100	308.576	4 <sup>+</sup>				
		55.449 <sup>g</sup> 3	47 11	1374.36	(4 <sup>-</sup> )				
		1121.7 5	100 17	308.576	4 <sup>+</sup>				
		1336.8 10	61 25	93.3240	2 <sup>+</sup>				
1472.40	(6 <sup>+</sup> )	181.26 <sup>g</sup> 4	24 12	1291.15	3 <sup>+</sup>				$E_\gamma$ : questionable placement as level scheme would require M3 or E4 multipolarity for the transition.
		388.45 14	100 16	1084.006	8 <sup>+</sup>				
		830.8 4	72 20	640.849	6 <sup>+</sup>				
		1163.9 10	52 28	308.576	4 <sup>+</sup>				
1482.67	(5 <sup>-</sup> )	108.308 2	100 4	1374.36	(4 <sup>-</sup> )	M1+E2 <sup>a</sup>	0.80 <sup>a</sup> 12	2.95 6	$\alpha(\text{K})=1.93$ 14; $\alpha(\text{L})=0.78$ 7; $\alpha(\text{M})=0.189$ 19; $\alpha(\text{N}+..)=0.050$ 5
		1389.0 7	8 3	93.3240	2 <sup>+</sup>				
1484.48		223.76 6	100 70	1260.70	(2 <sup>+</sup> )				
		1391.1 <sup>f</sup> 10	<130 <sup>f</sup>	93.3240	2 <sup>+</sup>				
1508		1416.6 <sup>e@g</sup> 4	100	93.3240	2 <sup>+</sup>				
1539.29	(3 <sup>-</sup> )	109.476 3	100 10	1429.82	(3 <sup>-</sup> )				

## Adopted Levels, Gammas (continued)

$\gamma(^{180}\text{Hf})$ (continued)									
$E_i(\text{level})$	$J_i^\pi$	$E_\gamma^\dagger$	$I_\gamma^\dagger$	$E_f$	$J_f^\pi$	Mult. <sup>‡</sup>	$\delta^\ddagger$	$\alpha$	Comments
1539.29	(3 <sup>-</sup> )	900.5 <sup>c</sup> <sub>8</sub>		640.849	6 <sup>+</sup>				$E_\gamma$ : questionable placement as level scheme would require E3 or M4 multipolarity for the transition.
		1231.9 5	55 10	308.576	4 <sup>+</sup>				
		1446.9 10	<21	93.3240	2 <sup>+</sup>				
1557.33	(5 <sup>+</sup> )	266.1 <sup>@</sup> 7	7 3	1291.15	3 <sup>+</sup>				
		915.8 4	21 3	640.849	6 <sup>+</sup>				$I_\gamma$ : other: 13.3 12 in $^{180}\text{Hf}(^{136}\text{Xe}, ^{136}\text{Xe}'\gamma)$ .
		1249.1 3	100 3	308.576	4 <sup>+</sup>				
1559.29	(4 <sup>+</sup> )	76.624 3	100 10	1482.67	(5 <sup>-</sup> )	D <sup>a</sup>			
		177.71 3	35 6	1381.58	(3 <sup>+</sup> , 2 <sup>+</sup> , 4 <sup>+</sup> )				
		258.90 <sup>f</sup> <sub>8</sub> 3	<21 <sup>f</sup>	1300.37	(2 <sup>+</sup> )				
1597.53	(4 <sup>+</sup> , 5 <sup>+</sup> )	125.26 3	22 13	1472.40	(6 <sup>+</sup> )				
		306.40 10	47 6	1291.15	3 <sup>+</sup>				
		956.3 5	50 25	640.849	6 <sup>+</sup>				
		1288.7 <sup>f</sup>	100 <sup>f</sup> 25	308.576	4 <sup>+</sup>				
1607.67	(4 <sup>+</sup> )	177.86 3	12 3	1429.82	(3 <sup>-</sup> )				
		198.3 <sup>#</sup> 2	2.57 <sup>#</sup> 13	1409.36	(2 <sup>+</sup> )	[E2]		0.296	$\alpha(\text{K})=0.1712$ 25; $\alpha(\text{L})=0.0950$ 14; $\alpha(\text{M})=0.0233$ 4; $\alpha(\text{N}+..)=0.00615$ 9
		233.33 8	14 3	1374.36	(4 <sup>-</sup> )				
		316.50 <sup>#</sup> 3	30.0 <sup>#</sup> 9	1291.15	3 <sup>+</sup>	E2 <sup>a</sup>		0.0675	$\alpha(\text{K})=0.0476$ 7; $\alpha(\text{L})=0.01532$ 22; $\alpha(\text{M})=0.00368$ 6; $\alpha(\text{N}+..)=0.000982$ 14
		407.94 2	100.0 19	1199.72	2 <sup>+</sup>	E2 <sup>a</sup>		0.0329	$\alpha(\text{K})=0.0247$ 4; $\alpha(\text{L})=0.00636$ 9; $\alpha(\text{M})=0.001506$ 21; $\alpha(\text{N}+..)=0.000405$ 6
		424.4 <sup>#</sup> 2	2.8 <sup>#</sup> 4	1183.36	2 <sup>+</sup>	E2		0.0296	$\alpha(\text{K})=0.0223$ 4; $\alpha(\text{L})=0.00559$ 8; $\alpha(\text{M})=0.001320$ 19; $\alpha(\text{N}+..)=0.000355$ 5
		1299.3 <sup>#</sup> 2	31.3 <sup>#</sup> 13	308.576	4 <sup>+</sup>	(E2)		0.00246 4	$\alpha(\text{K})=0.00204$ 3; $\alpha(\text{L})=0.000312$ 5; $\alpha(\text{M})=7.03\times 10^{-5}$ 10; $\alpha(\text{N}+..)=3.72\times 10^{-5}$ 6
		1514.4 <sup>#</sup> 2	20.0 <sup>#</sup> 20	93.3240	2 <sup>+</sup>	[E2]		0.00190 3	$\alpha(\text{K})=0.001532$ 22; $\alpha(\text{L})=0.000228$ 4; $\alpha(\text{M})=5.13\times 10^{-5}$ 8; $\alpha(\text{N}+..)=8.86\times 10^{-5}$ 13
1609.38	(3 <sup>-</sup> )	235.024 6	100.0 25	1374.36	(4 <sup>-</sup> )	M1+E2 <sup>a</sup>	0.4 <sup>a</sup> 3	0.33 4	$\alpha(\text{K})=0.27$ 4; $\alpha(\text{L})=0.0465$ 7; $\alpha(\text{M})=0.0106$ 3; $\alpha(\text{N}+..)=0.00292$ 6 $\delta$ : others: -0.4 1 or >25 (1983Gr30) and +0.09 3 or -15 +10-5 (1991Gr19) both from $\gamma(\theta)$ in $^{180}\text{Hf}(\text{n}, \text{n}'\gamma)$ .
		409.61 8	4.0 7	1199.72	2 <sup>+</sup>				
		1300.3 <sup>@</sup>	50 <sup>@</sup> 7	308.576	4 <sup>+</sup>	(E1)		0.001085 16	$\alpha=0.001085$ 16; $\alpha(\text{K})=0.000868$ 13; $\alpha(\text{L})=0.0001196$ 17; $\alpha(\text{M})=2.66\times 10^{-5}$ 4; $\alpha(\text{N}+..)=7.03\times 10^{-5}$
1613.09	(6 <sup>-</sup> )	1516.5 4	4.7 13	93.3240	2 <sup>+</sup>				
		53.800 1	41 4	1559.29	(4 <sup>+</sup> )				
		129.7 <sup>&amp;</sup> 5	58 <sup>&amp;</sup> 3	1482.67	(5 <sup>-</sup> )				$E_\gamma$ : an unplaced M1 130.26 $\gamma$ observed in

## Adopted Levels, Gammas (continued)

$\gamma(^{180}\text{Hf})$ (continued)									
$E_i(\text{level})$	$J_i^\pi$	$E_\gamma^\dagger$	$I_\gamma^\dagger$	$E_f$	$J_f^\pi$	Mult. <sup>‡</sup>	$\delta^\ddagger$	$\alpha$	Comments
									$^{179}\text{Hf}(n,\gamma)$ , E=thermal could correspond to this placement.
1613.09	(6 <sup>-</sup> )	238.1 5	100 8	1374.36	(4 <sup>-</sup> )				
		243.40 10	13 6	1369.65	(4 <sup>+</sup> )				$I_\gamma$ : other: 100 3 in $^{180}\text{Hf}(^{136}\text{Xe}, ^{136}\text{Xe}'\gamma)$ .
1631.0	10 <sup>+</sup>	547.3 & 5	100 &	1084.006	8 <sup>+</sup>	E2		0.01547	$\alpha(K)=0.01215$ 18; $\alpha(L)=0.00256$ 4; $\alpha(M)=0.000596$ 9; $\alpha(N+..)=0.0001616$ 23 B(E2)(W.u.)=238 12 Mult.: stretched Q from R(DCO) in $^{180}\text{Hf}(^{136}\text{Xe}, ^{136}\text{Xe}'\gamma)$ .
1633.43	(2 <sup>+</sup> ,3,4 <sup>+</sup> )	224.1 @ 8	45 20	1409.26	(4 <sup>+</sup> )				
		342.3 @ 3	100 25	1291.15	3 <sup>+</sup>				
		433.7 f @ 2	<225 f	1199.72	2 <sup>+</sup>	M1+E2	+0.4 3	0.064 8	$\alpha(K)=0.053$ 8; $\alpha(L)=0.0083$ 7; $\alpha(M)=0.00188$ 15; $\alpha(N+..)=0.00052$ 5
1637.33	(2 <sup>+</sup> )	255.34 8 3	22 3	1381.58	(3 <sup>+</sup> ,2 <sup>+</sup> ,4 <sup>+</sup> )				
		346.25 14	100 24	1291.15	3 <sup>+</sup>				
		1328.4 10	62 14	308.576	4 <sup>+</sup>				
		1543.8 5	27 14	93.3240	2 <sup>+</sup>				
		1636.8 f 5	<38 f	0.0	0 <sup>+</sup>				
1652.7	(10 <sup>-</sup> )	268.1 & 5	100.0 16	1384.6	9 <sup>-</sup>				
		511.2 & 5	10.5 16	1141.552	8 <sup>-</sup>				
1657.98	(6 <sup>+</sup> )	288.4 & 5		1369.65	(4 <sup>+</sup> )				
		1017.1 1		640.849	6 <sup>+</sup>	(D+Q)			Mult.: stretched Q or unstretched D+Q from R(DCO) in $^{180}\text{Hf}(^{136}\text{Xe}, ^{136}\text{Xe}'\gamma)$ . (D+Q) from assumed band assignment.
1686.9		1350 & 1		308.576	4 <sup>+</sup>				
1700.84	(6 <sup>+</sup> )	1593.6 @ 8	100	93.3240	2 <sup>+</sup>				
		141.55 1		1559.29	(4 <sup>+</sup> )				Mult., $\delta$ : M1+E2 with $\delta=1.2$ +16-6 from ce data in $^{180}\text{Hf}(n,n'\gamma)$ is inconsistent with $\Delta J=2$ from level scheme.
		1061.0 f 3	78 f & 5	640.849	6 <sup>+</sup>				
		1391.1 f 10	100 f & 13	308.576	4 <sup>+</sup>				
1709.1	(5 <sup>-</sup> )	1400.5 5	100	308.576	4 <sup>+</sup>				
1724.47	(6 <sup>+</sup> )	314.8 & 5	38 & 4	1409.26	(4 <sup>+</sup> )				
		1082.8 @ 5	97.1 & 21	640.849	6 <sup>+</sup>	(M1)		0.00684 10	$\alpha(K)=0.00575$ 8; $\alpha(L)=0.000844$ 12; $\alpha(M)=0.000189$ 3; $\alpha(N+..)=5.24\times 10^{-5}$ 8 Mult.: D from R(DCO) in $^{180}\text{Hf}(^{136}\text{Xe}, ^{136}\text{Xe}'\gamma)$ , $\Delta\pi$ =no from level scheme.
		1416.6 @ 4	100.0 & 14	308.576	4 <sup>+</sup>	(E2)		0.00211 3	$\alpha(K)=0.001733$ 25; $\alpha(L)=0.000261$ 4; $\alpha(M)=5.87\times 10^{-5}$ 9; $\alpha(N+..)=6.09\times 10^{-5}$ 9

## Adopted Levels, Gammas (continued)

$\gamma(^{180}\text{Hf})$ (continued)								
$E_i(\text{level})$	$J_i^\pi$	$E_\gamma^\dagger$	$I_\gamma^\dagger$	$E_f$	$J_f^\pi$	Mult. <sup>‡</sup>	$\alpha$	Comments
1724.88	(2 <sup>+</sup> ,3 <sup>+</sup> ,4 <sup>+</sup> )	355.2 <i>l</i> 433.71 <i>l</i> 2	20 <i>6</i> 67 <i>6</i>	1369.65 1291.15	(4 <sup>+</sup> ) 3 <sup>+</sup>	M1+E2	0.049 <i>l</i> 2	Mult.: stretched Q from R(DCO) in $^{180}\text{Hf}(^{136}\text{Xe},^{136}\text{Xe}'\gamma)$ .
		1416.7 <i>3</i> 1631.4 <i>7</i>	100 <i>l</i> 2 24 <i>l</i> 0	308.576 93.3240	4 <sup>+</sup> 2 <sup>+</sup>			$\alpha(\text{K})=0.040$ <i>l</i> 9; $\alpha(\text{L})=0.0070$ <i>l</i> 9; $\alpha(\text{M})=0.0016$ <i>4</i> ; $\alpha(\text{N}+..)=0.00044$ <i>l</i> l
1738.8		256.1 <i>c</i>	100	1482.67	(5 <sup>-</sup> )			
1742.67	(5 <sup>+</sup> )	135.0 <i>#</i> <i>2</i>	90 <i>#</i> <i>l</i> 3	1607.67	(4 <sup>+</sup> )	(M1) <sup><i>a</i></sup>	1.700	$\alpha(\text{K})=1.416$ <i>l</i> l; $\alpha(\text{L})=0.220$ <i>4</i> ; $\alpha(\text{M})=0.0497$ <i>8</i> ; $\alpha(\text{N}+..)=0.01375$ <i>l</i> l Mult.: from unplaced 135.09 $\gamma$ seen in $^{179}\text{Hf}(\text{n},\gamma)$ , E=thermal.
		333.0 <i>#</i> <i>5</i> 451.6 <i>#</i> <i>2</i>	60 <i>#</i> <i>7</i> 45.8 <i>#</i> <i>l</i> 21	1409.26 1291.15	(4 <sup>+</sup> ) 3 <sup>+</sup>			
		1434.1 <i>#g</i> <i>2</i>	100 <i>#</i> <i>l</i> 0	308.576	4 <sup>+</sup>			
1743.38	(2 <sup>+</sup> )	258.90 <i>f</i> <i>3</i> 313.50 <i>l</i> 0 452.53 <i>l</i> 6 1650.2 <i>7</i> 1743.2 <i>2</i>	48 <i>f</i> <i>5</i> 62 <i>5</i> 76 <i>l</i> 4 67 <i>3</i> 3 100 <i>2</i> 9	1484.48 1429.82 1291.15 93.3240 0.0	(3 <sup>-</sup> ) 3 <sup>+</sup> 2 <sup>+</sup> 0 <sup>+</sup>			
1765.1	(7 <sup>-</sup> )	152.2 <i>&amp;</i> <i>5</i> 282.3 <i>&amp;</i> <i>5</i>	28 <i>&amp;</i> <i>4</i> 100 <i>&amp;</i> <i>4</i>	1613.09 1482.67	(6 <sup>-</sup> ) (5 <sup>-</sup> )			
1787.7	(6 <sup>-</sup> )	303.2 <i>c</i>	100	1484.48				
1813.91	(3 <sup>-</sup> )	207.0 <i>c</i> 254.61 <i>9</i> 274.6 <i>l</i> 331.1 <i>c</i>	100 <i>5</i> 84 <i>l</i> l	1607.67 1559.29 1539.29 1482.67	(4 <sup>+</sup> ) (4 <sup>+</sup> ) (3 <sup>-</sup> ) (5 <sup>-</sup> )			
1818.60	(5 <sup>-</sup> )	1721.0 <i>7</i> 205.51 <i>l</i>	37 <i>3</i> 2 100 <i>4</i>	93.3240 1613.09	2 <sup>+</sup> (6 <sup>-</sup> )	M1 <sup><i>a</i></sup>	0.523	$\alpha(\text{K})=0.436$ <i>7</i> ; $\alpha(\text{L})=0.0673$ <i>l</i> 0; $\alpha(\text{M})=0.01519$ <i>2</i> 2; $\alpha(\text{N}+..)=0.00420$ <i>6</i>
1820.97	(3 <sup>-</sup> )	1510.5 <i>7</i> 208.5 <i>@g</i> <i>3</i>	8 <i>4</i> 75 <i>3</i> 0	308.576 1613.09	4 <sup>+</sup> (6 <sup>-</sup> )			$E_\gamma$ : questionable placement as level scheme would require M3 or E4 multipolarity for the transition.
		446.8 <i>@</i> <i>3</i> 451 <i>g</i>	100 <i>2</i> 5 <10	1374.36 1369.65	(4 <sup>-</sup> ) (4 <sup>+</sup> )			
		529.0 <i>@</i> <i>3</i> 621.3 <i>@</i> <i>5</i>	75 <i>2</i> 0 90 <i>2</i> 5	1291.15 1199.72	3 <sup>+</sup> 2 <sup>+</sup>			
1828.4		1519.8 <i>c</i>	100	308.576	4 <sup>+</sup>			
1862.4		1553.8 <i>l</i> 0	100	308.576	4 <sup>+</sup>			
1892.7	(7 <sup>+</sup> )	192.0 <i>&amp;</i> <i>5</i>	100 <i>&amp;</i>	1700.84	(6 <sup>+</sup> )			
1901.9		1261 <i>&amp;</i> <i>l</i>	100 <i>&amp;</i>	640.849	6 <sup>+</sup>			
1904.0		1263 <i>l</i>	100	640.849	6 <sup>+</sup>			
1904.2	(1,2 <sup>+</sup> )	1810.9 <i>@</i> <i>8</i>	100 <i>4</i> 3	93.3240	2 <sup>+</sup>			

Adopted Levels, Gammas (continued)

$\gamma(^{180}\text{Hf})$ (continued)								
$E_i(\text{level})$	$J_i^\pi$	$E_\gamma^\dagger$	$I_\gamma^\dagger$	$E_f$	$J_f^\pi$	Mult. <sup>‡</sup>	$\alpha$	Comments
1904.2	(1,2 <sup>+</sup> )	1904.1 @ 8	57 29	0.0	0 <sup>+</sup>			
1909.72	(4 <sup>+</sup> ,3)	302.06 8	100 30	1607.67	(4) <sup>+</sup>			
		536.2 <sup>c</sup>		1374.36	(4) <sup>-</sup>			
		709.8 4	70 35	1199.72	2 <sup>+</sup>			
1926.4	3 <sup>-</sup>	1926.4 @ 8	100	0.0	0 <sup>+</sup>			
1928.7	(7 <sup>+</sup> )	371.2 & 5	51 & 3	1557.33	(5 <sup>+</sup> )			
		844.9 & 5	7.0 & 10	1084.006	8 <sup>+</sup>			
		1288 & 1	100 & 5	640.849	6 <sup>+</sup>	M1	0.00449 7	$\alpha(\text{K})=0.00376$ 6; $\alpha(\text{L})=0.000549$ 8; $\alpha(\text{M})=0.0001232$ 18; $\alpha(\text{N}+..)=5.54 \times 10^{-5}$ 8 Mult.: D from R(DCO) in $^{180}\text{Hf}(^{136}\text{Xe}, ^{136}\text{Xe}'\gamma)$ , $\Delta\pi=\text{no}$ from level scheme.
1931.9		322.5 <sup>c</sup>	100	1609.38	(3) <sup>-</sup>			
1937.2		329.5 <sup>c</sup>	100	1607.67	(4) <sup>+</sup>			
1938.2	(8 <sup>-</sup> )	173.0 & 5	26 & 4	1765.1	(7) <sup>-</sup>			
		325.3 & 5	100 & 7	1613.09	(6) <sup>-</sup>			
1945.23	(2 <sup>+</sup> )	385.84 14	43 9	1559.29	(4) <sup>+</sup>			
		654.9 6	30 5	1291.15	3 <sup>+</sup>			
		745.4 4	32 14	1199.72	2 <sup>+</sup>			
		1636.8 <sup>f</sup> 5	<32 <sup>f</sup>	308.576	4 <sup>+</sup>			
		1853.0 <sup>g</sup> 7	18 16	93.3240	2 <sup>+</sup>			
		1946.5 7	100 11	0.0	0 <sup>+</sup>			
1945.7	(11 <sup>-</sup> )	293.0 & 5	100.0 & 17	1652.7	(10) <sup>-</sup>			
		560.9 & 5	14 & 3	1384.6	9 <sup>-</sup>			
1948.6		1948.6 @ 8	100	0.0	0 <sup>+</sup>			
2022.6		1714.0 <sup>c</sup>	100	308.576	4 <sup>+</sup>			
2034.43		551.75 <sup>f</sup> 6	100 <sup>f</sup> 17	1482.67	(5) <sup>-</sup>			
		743.4 2	<100	1291.15	3 <sup>+</sup>			
		1941.0 7	42 25	93.3240	2 <sup>+</sup>			
2046.9	(8 <sup>+</sup> )	388.1 & 5	100 & 9	1657.98	(6) <sup>+</sup>			
		962.9 & 5	53 & 6	1084.006	8 <sup>+</sup>			
2059.0		576.3 <sup>c</sup>		1482.67	(5) <sup>-</sup>			
2075.3		1982.0 @ 8	100	93.3240	2 <sup>+</sup>			
2078.34		465.25 <sup>c</sup> 11	100 9	1613.09	(6) <sup>-</sup>			
		703.3 <sup>c</sup> g 5	31 15	1374.36	(4) <sup>-</sup>			
		1767.6 <sup>c</sup> 2	100 25	308.576	4 <sup>+</sup>			$E_\gamma$ : poor energy fit, excluded from least-squares fitting. E from level energy difference is 1769.8.
		1986.7 <sup>c</sup>		93.3240	2 <sup>+</sup>			
2110.9	(8 <sup>+</sup> )	218.3 & 5	100 & 4	1892.7	(7) <sup>+</sup>			

## Adopted Levels, Gammas (continued)

$\gamma(^{180}\text{Hf})$ (continued)								
$E_i(\text{level})$	$J_i^\pi$	$E_\gamma$	$I_\gamma$	$E_f$	$J_f^\pi$	Mult. <sup>‡</sup>	$\alpha$	Comments
2110.9	(8 <sup>+</sup> )	409.9 <sup>&amp;</sup> 5	17 <sup>&amp;</sup> 4	1700.84	(6 <sup>+</sup> )			
2120.1?	1,2	2120.1	100	0.0	0 <sup>+</sup>	(D+Q) <sup>b</sup>		
2133.6	(8 <sup>+</sup> )	409.0 <sup>&amp;</sup> 5	76 <sup>&amp;</sup> 4	1724.47	(6 <sup>+</sup> )			
		1050 <sup>&amp;</sup> 1	65.9 <sup>&amp;</sup> 15	1084.006	8 <sup>+</sup>	(M1)	0.00738 11	$\alpha(\text{K})=0.00620$ 9; $\alpha(\text{L})=0.000911$ 13; $\alpha(\text{M})=0.000205$ 3; $\alpha(\text{N}+..)=5.66\times 10^{-5}$ 8 Mult.: D from R(DCO) in $^{180}\text{Hf}(^{136}\text{Xe}, ^{136}\text{Xe}'\gamma)$ , $\Delta\pi=\text{no}$ from level scheme.
		1493 <sup>&amp;</sup> 1	100.0 <sup>&amp;</sup> 15	640.849	6 <sup>+</sup>	(E2)	0.00194 3	$\alpha(\text{K})=0.001572$ 22; $\alpha(\text{L})=0.000235$ 4; $\alpha(\text{M})=5.28\times 10^{-5}$ 8; $\alpha(\text{N}+..)=8.20\times 10^{-5}$ 12 Mult.: stretched Q from R(DCO) in $^{180}\text{Hf}(^{136}\text{Xe}, ^{136}\text{Xe}'\gamma)$ , E2 from assumed band structure.
2134.2	(9 <sup>-</sup> )	196.2 <sup>&amp;</sup> 5	16 <sup>&amp;</sup> 4	1938.2	(8 <sup>-</sup> )			
		369.1 <sup>&amp;</sup> 5	100 <sup>&amp;</sup> 16	1765.1	(7 <sup>-</sup> )			
2147.1		1838.5 <sup>c</sup>	100	308.576	4 <sup>+</sup>			
2151.48		538.39 4	100 6	1613.09	(6 <sup>-</sup> )			
		890.9 <sup>f</sup> 4	<43 <sup>f</sup>	1260.70	(2 <sup>+</sup> )			
		952.2 <sup>f</sup> 7	<8 <sup>f</sup>	1199.72	2 <sup>+</sup>			
		2058.3 17	15 9	93.3240	2 <sup>+</sup>			
2174.0	3 <sup>-</sup>	799.9 <sup>c</sup> 3	100 21	1374.36	(4 <sup>-</sup> )			
		1864.8 <sup>c</sup> 5	26 16	308.576	4 <sup>+</sup>			
2183.1		1874.5 <sup>#</sup> 3	100 <sup>#</sup>	308.576	4 <sup>+</sup>			
2196.91		997.1 <sup>#</sup> 3	15 <sup>#</sup> 5	1199.72	2 <sup>+</sup>			
		1888.4 <sup>#</sup> 3	100 <sup>#</sup> 17	308.576	4 <sup>+</sup>			
2201.0		826.6 <sup>c</sup>	100	1374.36	(4 <sup>-</sup> )			
2215.9		1575.0 <sup>c</sup>	100	640.849	6 <sup>+</sup>			
2242.6		868.2 <sup>c</sup>	100	1374.36	(4 <sup>-</sup> )			
2246.1		1937.5 <sup>c</sup>	100	308.576	4 <sup>+</sup>			
2252.9		643.5 <sup>c</sup>	100	1609.38	(3 <sup>-</sup> )			
2261.8		1620.5 <sup>c</sup>		640.849	6 <sup>+</sup>			
		1953.6 <sup>c</sup>		308.576	4 <sup>+</sup>			
2262.3	(12 <sup>-</sup> )	316.9 <sup>&amp;</sup> 5	100 <sup>&amp;</sup> 4	1945.7	(11 <sup>-</sup> )			
		610.0 <sup>&amp;</sup> 5	37 <sup>&amp;</sup> 4	1652.7	(10 <sup>-</sup> )			
2273.0		371.1 <sup>&amp;</sup> 5	11 <sup>&amp;</sup> 3	1901.9				
		1189 <sup>&amp;</sup> 1	100 <sup>&amp;</sup> 6	1084.006	8 <sup>+</sup>			
2274.3	12 <sup>+</sup>	643.4 <sup>&amp;</sup> 5	100 <sup>&amp;</sup>	1631.0	10 <sup>+</sup>	(E2)	0.01055	$\alpha(\text{K})=0.00844$ 12; $\alpha(\text{L})=0.001627$ 23; $\alpha(\text{M})=0.000376$ 6; $\alpha(\text{N}+..)=0.0001023$ 15 B(E2)(W.u.)=227 19 Mult.: stretched Q from R(DCO) in $^{180}\text{Hf}(^{136}\text{Xe}, ^{136}\text{Xe}'\gamma)$ , E2 from assumed band structure.

Adopted Levels, Gammas (continued)

$\gamma(^{180}\text{Hf})$ (continued)								
$E_i(\text{level})$	$J_i^\pi$	$E_\gamma$ <sup>†</sup>	$I_\gamma$ <sup>†</sup>	$E_f$	$J_f^\pi$	Mult. <sup>‡</sup>	$\alpha$	Comments
2276.4		667.0 <sup>c</sup>	100	1609.38	(3 <sup>-</sup> )			
2293.0		1984.4 <sup>c</sup>	100	308.576	4 <sup>+</sup>			
2300.9		396.8 <sup>&amp;</sup> 5		1904.0				
		1217 <sup>&amp;</sup> 1		1084.006	8 <sup>+</sup>			
2316.71	(4 <sup>-</sup> , 5 <sup>-</sup> )	282.28 8	100 14	2034.43				
		703.3 5	26 14	1613.09	(6 <sup>-</sup> )			
		707.3 5	21 12	1609.38	(3 <sup>-</sup> )			
		2008.3 17	36 14	308.576	4 <sup>+</sup>			
2320.8		946.6 <sup>c</sup>		1374.36	(4 <sup>-</sup> )			
		2012.1 <sup>c</sup>		308.576	4 <sup>+</sup>			
2334.98		725.6 <sup>c</sup> 2	100	1609.38	(3 <sup>-</sup> )			
2341.4		2032.8 <sup>c</sup>	100	308.576	4 <sup>+</sup>			
2350.4	(10 <sup>-</sup> )	216.2 <sup>&amp;</sup> 5		2134.2	(9 <sup>-</sup> )			
		412.2 <sup>&amp;</sup> 5		1938.2	(8 <sup>-</sup> )			
2351.8	(9 <sup>+</sup> )	241.0 <sup>&amp;</sup> 5	100 <sup>&amp;</sup> 5	2110.9	(8 <sup>+</sup> )			
		459.0 <sup>&amp;</sup> 5	42 <sup>&amp;</sup> 5	1892.7	(7 <sup>+</sup> )			
2369.0		759.6 <sup>c</sup>	100	1609.38	(3 <sup>-</sup> )			
2377.7	1	2377.7 <sup>b</sup>	100 <sup>b</sup>	0.0	0 <sup>+</sup>	D <sup>b</sup>		
2389.0	(1,2 <sup>+</sup> )	2295.2 <sup>@</sup> 8	100 67	93.3240	2 <sup>+</sup>			
		2389.4 <sup>@</sup> 8	100 67	0.0	0 <sup>+</sup>			
2398.9	(9 <sup>+</sup> )	470.4 <sup>&amp;</sup> 5	48 <sup>&amp;</sup> 5	1928.7	(7 <sup>+</sup> )			
		767 <sup>&amp;</sup> 1		1631.0	10 <sup>+</sup>			
		1315 <sup>e</sup> 1	100 5	1084.006	8 <sup>+</sup>	(M1)	0.00428 6	$\alpha(\text{K})=0.00358$ 5; $\alpha(\text{L})=0.000522$ 8; $\alpha(\text{M})=0.0001170$ 17; $\alpha(\text{N}+..)=5.98 \times 10^{-5}$ 9 Mult.: D from R(DCO) in $^{180}\text{Hf}(^{136}\text{Xe}, ^{136}\text{Xe}'\gamma)$ , $\Delta\pi=\text{no}$ from level scheme.
2413.5		2104.9 <sup>c</sup>	100	308.576	4 <sup>+</sup>			
2425.2	(10 <sup>+</sup> )	481 <sup>d</sup> 3	$\approx 10^d$	1945.7	(11 <sup>-</sup> )	[E1]	0.00715 14	$\alpha(\text{K})=0.00602$ 12; $\alpha(\text{L})=0.000877$ 18; $\alpha(\text{M})=0.000196$ 4; $\alpha(\text{N}+..)=5.38 \times 10^{-5}$ 11 $\text{B}(\text{E}1)(\text{W.u.}) > 7.2 \times 10^{-8}$
		771.7 <sup>d</sup> 22	$\approx 100^d$	1652.7	(10 <sup>-</sup> )	[E1]	0.00268 4	$\alpha(\text{K})=0.00227$ 4; $\alpha(\text{L})=0.000320$ 5; $\alpha(\text{M})=7.15 \times 10^{-5}$ 11; $\alpha(\text{N}+..)=1.97 \times 10^{-5}$ 3 $\text{B}(\text{E}1)(\text{W.u.}) > 1.8 \times 10^{-7}$
		1040.8 <sup>d</sup> 15	$\approx 20^d$	1384.6	9 <sup>-</sup>	[E1]	0.001521 22	$\alpha=0.001521$ 22; $\alpha(\text{K})=0.001290$ 19; $\alpha(\text{L})=0.000180$ 3; $\alpha(\text{M})=4.00 \times 10^{-5}$ 6 $\alpha(\text{N}+..)=1.101 \times 10^{-5}$ 1 $\text{B}(\text{E}1)(\text{W.u.}) > 1.4 \times 10^{-8}$
2465.7		856.3 <sup>c</sup>	100	1609.38	(3 <sup>-</sup> )			



Adopted Levels, Gammas (continued)

$\gamma(^{180}\text{Hf})$ (continued)								
$E_i(\text{level})$	$J_i^\pi$	$E_\gamma$ <sup>†</sup>	$I_\gamma$ <sup>†</sup>	$E_f$	$J_f^\pi$	Mult. <sup>‡</sup>	$\alpha$	Comments
2472.4		865.2 <sup>c</sup>		1607.67	(4) <sup>+</sup>			
		2163.4 <sup>c</sup>		308.576	4 <sup>+</sup>			
2477.11	(4,5)	160.40 3	48 12	2316.71	(4 <sup>-</sup> ,5 <sup>-</sup> )			
		864.2 3	56 16	1613.09	(6 <sup>-</sup> )			
		917.4 5	100 32	1559.29	(4 <sup>+</sup> )			
		937.8 5	64 32	1539.29	(3 <sup>-</sup> )			
		1185.8 6	48 24	1291.15	3 <sup>+</sup>			
		1835.8 10	28 24	640.849	6 <sup>+</sup>			
2485.5	12 <sup>+</sup>	223.3 <sup>d</sup> 2	2.8 <sup>d</sup> 3	2262.3	(12 <sup>-</sup> )	[E1]	0.0445	$\alpha(\text{K})=0.0372$ 6; $\alpha(\text{L})=0.00572$ 9; $\alpha(\text{M})=0.001288$ 19; $\alpha(\text{N}+..)=0.000350$ 5 $\text{B}(\text{E}1)(\text{W.u.})=4.0\times 10^{-10}$ 7
		539.5 <sup>d</sup> 3	100 <sup>d</sup> 5	1945.7	(11 <sup>-</sup> )	[E1]	0.00557 8	$\alpha(\text{K})=0.00470$ 7; $\alpha(\text{L})=0.000679$ 10; $\alpha(\text{M})=0.0001520$ 22; $\alpha(\text{N}+..)=4.17\times 10^{-5}$ 6 $\text{B}(\text{E}1)(\text{W.u.})=1.01\times 10^{-9}$ 14
		832.4 <sup>d</sup> 15	1.3 <sup>d</sup> 5	1652.7	(10 <sup>-</sup> )	[M2]	0.0342	$\alpha(\text{K})=0.0282$ 5; $\alpha(\text{L})=0.00465$ 7; $\alpha(\text{M})=0.001059$ 16; $\alpha(\text{N}+..)=0.000293$ 5 $\text{B}(\text{M}2)(\text{W.u.})=2.4\times 10^{-5}$ 10
		1101.1 <sup>d</sup> 7	37 <sup>d</sup> 3	1384.6	9 <sup>-</sup>	[E3]	0.00723 11	$\alpha(\text{K})=0.00578$ 9; $\alpha(\text{L})=0.001122$ 16; $\alpha(\text{M})=0.000260$ 4; $\alpha(\text{N}+..)=7.12\times 10^{-5}$ 10 $\text{B}(\text{E}3)(\text{W.u.})=0.089$ 14
2493.5	1	2400.3 <sup>b</sup>	100 <sup>b</sup>	93.3240	2 <sup>+</sup>			
		2493.3 <sup>b</sup>	35 <sup>b</sup> 17	0.0	0 <sup>+</sup>	D <sup>b</sup>		
2504.8		2196.2 <sup>c</sup>	100	308.576	4 <sup>+</sup>			
2532.8	(10 <sup>+</sup> )	485.2 <sup>&amp;</sup> 5	100 <sup>&amp;</sup> 21	2046.9	(8 <sup>+</sup> )			
		902.4 <sup>&amp;</sup> 5	71 <sup>&amp;</sup> 7	1631.0	10 <sup>+</sup>			
2537.4	(14 <sup>+</sup> )	52	100	2485.5	12 <sup>+</sup>	[E2]	58.3	$\alpha(\text{L})=44.4$ 7; $\alpha(\text{M})=11.07$ 16; $\alpha(\text{N}+..)=2.88$ 4 $\text{B}(\text{E}2)(\text{W.u.})<0.046$
2549.4		1175.0 <sup>c</sup>	100	1374.36	(4 <sup>-</sup> )			
2561.2		1079.4 <sup>c</sup>		1482.67	(5 <sup>-</sup> )			
		1185.9 <sup>c</sup>		1374.36	(4 <sup>-</sup> )			
2582.5	1	2489.3 <sup>b</sup>	61 <sup>b</sup> 27	93.3240	2 <sup>+</sup>			
		2582.3 <sup>b</sup>	100 <sup>b</sup>	0.0	0 <sup>+</sup>	D <sup>b</sup>		
2588.0	(11 <sup>-</sup> )	453.8 <sup>&amp;</sup> 5	100 <sup>&amp;</sup>	2134.2	(9 <sup>-</sup> )			
2603.1	(13 <sup>-</sup> )	340.6 <sup>&amp;</sup> 5	100 <sup>&amp;</sup> 7	2262.3	(12 <sup>-</sup> )			
		657.5 <sup>&amp;</sup> 5	43 <sup>&amp;</sup> 7	1945.7	(11 <sup>-</sup> )			
2613.9	(10 <sup>+</sup> )	480.3 <sup>&amp;</sup> 5	100 <sup>&amp;</sup> 8	2133.6	(8 <sup>+</sup> )			
		983.0 <sup>&amp;</sup> 5	34 <sup>&amp;</sup> 6	1631.0	10 <sup>+</sup>			
		1530 <sup>&amp;</sup> 1	89 <sup>&amp;</sup> 8	1084.006	8 <sup>+</sup>	(E2)	0.00187 3	$\alpha(\text{K})=0.001503$ 22; $\alpha(\text{L})=0.000223$ 4; $\alpha(\text{M})=5.02\times 10^{-5}$ 7;

Adopted Levels, Gammas (continued)

$\gamma(^{180}\text{Hf})$ (continued)							Comments
$E_i(\text{level})$	$J_i^\pi$	$E_\gamma^\dagger$	$I_\gamma^\dagger$	$E_f$	$J_f^\pi$	Mult. <sup>‡</sup>	
$\alpha(\text{N}+..)=9.35\times 10^{-5}$ 14 Mult.: stretched Q from R(DCO) in $^{180}\text{Hf}(^{136}\text{Xe}, ^{136}\text{Xe}'\gamma)$ , assumed E2.							
2614.8	(10 <sup>+</sup> )	263.0 <sup>&amp; 5</sup>	100 <sup>&amp; 9</sup>	2351.8	(9 <sup>+</sup> )		
		504.0 <sup>&amp; 5</sup>	64 <sup>&amp; 9</sup>	2110.9	(8 <sup>+</sup> )		
2617.2	1	2523.9 <sup>b</sup>	100 <sup>b</sup>	93.3240	2 <sup>+</sup>		
		2617.2 <sup>b</sup>	49 <sup>b 7</sup>	0.0	0 <sup>+</sup>	D <sup>b</sup>	
2623.6	(13 <sup>+</sup> )	138	100	2485.5	12 <sup>+</sup>		
2680.04	4 <sup>+</sup> ,5 <sup>-</sup>	363.32 10	76 14	2316.71	(4 <sup>-</sup> ,5 <sup>-</sup> )		
		979.7 7	<104	1700.84	(6 <sup>+</sup> )		
		1140.8 8	100 29	1539.29	(3 <sup>-</sup> )		
		1488.0 10	29 24	1192.60	(6 <sup>+</sup> )		
2682.4		1073.3 <sup>c</sup>		1609.38	(3 <sup>-</sup> )		
		1199.4 <sup>c</sup>		1482.67	(5 <sup>-</sup> )		
2706.2		2397.6 <sup>c</sup>	100	308.576	4 <sup>+</sup>		
2712.5	1	2619.3 <sup>b</sup>	56 <sup>b 11</sup>	93.3240	2 <sup>+</sup>		
		2712.3 <sup>b</sup>	100 <sup>b</sup>	0.0	0 <sup>+</sup>	D <sup>b</sup>	
2730.7		456.7 <sup>&amp; 5</sup>	47 <sup>&amp; 3</sup>	2273.0			
		596.7 <sup>&amp; 5</sup>	19 <sup>&amp; 3</sup>	2133.6	(8 <sup>+</sup> )		
		1098 <sup>&amp; 1</sup>	100 <sup>&amp; 7</sup>	1631.0	10 <sup>+</sup>	(D+Q)	Mult.: from R(DCO) in $^{180}\text{Hf}(^{136}\text{Xe}, ^{136}\text{Xe}'\gamma)$ .
2741.5		1131.0 <sup>c</sup>		1609.38	(3 <sup>-</sup> )		
		1262.0 <sup>c</sup>		1482.67	(5 <sup>-</sup> )		E <sub>γ</sub> : poor energy fit, excluded from least-squares fitting. E from level energy difference is 1258.8.
		1367.7 <sup>c</sup>		1374.36	(4 <sup>-</sup> )		
		2430.1 <sup>c</sup>		308.576	4 <sup>+</sup>		
2771.9		1397.5 <sup>c</sup>	100	1374.36	(4 <sup>-</sup> )		
2784.0		1301.3 <sup>c</sup>	100	1482.67	(5 <sup>-</sup> )		
2796.0		495.1 <sup>&amp; 5</sup>		2300.9			
		1165 <sup>&amp; 1</sup>		1631.0	10 <sup>+</sup>		
2797.1		1316.9 <sup>c</sup>		1482.67	(5 <sup>-</sup> )		
		1419.4 <sup>c</sup>		1374.36	(4 <sup>-</sup> )		E <sub>γ</sub> : poor energy fit, excluded from least-squares fitting. E from level energy difference is 1422.7.
		2489.4 <sup>c</sup>		308.576	4 <sup>+</sup>		
2806.0		1431.6 <sup>c</sup>	100	1374.36	(4 <sup>-</sup> )		
2807.0	(14 <sup>+</sup> )	183.4 <sup>d 6</sup>	57 <sup>d 11</sup>	2623.6	(13 <sup>+</sup> )		
		270.0 <sup>d 20</sup>	41 <sup>d 23</sup>	2537.4	(14 <sup>+</sup> )		
		321.5 <sup>d 3</sup>	100 <sup>d 16</sup>	2485.5	12 <sup>+</sup>		
2812.4	1	2812.4	100	0.0	0 <sup>+</sup>		
2839.2		1231.6 <sup>c</sup>		1607.67	(4) <sup>+</sup>		

Adopted Levels, Gammas (continued)

$\gamma(^{180}\text{Hf})$ (continued)								
$E_i(\text{level})$	$J_i^\pi$	$E_\gamma$ <sup>†</sup>	$I_\gamma$ <sup>†</sup>	$E_f$	$J_f^\pi$	Mult. <sup>‡</sup>	$\alpha$	Comments
2839.2		1356.4 <sup>c</sup>		1482.67	(5 <sup>-</sup> )			
		1469.6 <sup>c</sup> 7		1369.65	(4 <sup>+</sup> )			
2848.4	(12 <sup>-</sup> )	498.0 <sup>&amp;</sup> 5	100 <sup>&amp;</sup>	2350.4	(10 <sup>-</sup> )			
2850.3		1239.7 <sup>c</sup>		1609.38	(3 <sup>-</sup> )			
		1365.4 <sup>c</sup>		1484.48				
		2543.2 <sup>c</sup>		308.576	4 <sup>+</sup>			
2858.7		1249.3 <sup>c</sup>		1609.38	(3 <sup>-</sup> )			
		2550.2 <sup>c</sup>		308.576	4 <sup>+</sup>			
2873.4		2564.8 <sup>c</sup>	100	308.576	4 <sup>+</sup>			
2879.8	1,2	2879.8 <sup>b</sup>	100 <sup>b</sup>	0.0	0 <sup>+</sup>	(D+Q) <sup>b</sup>		
2892.3	1	2799.1 <sup>b</sup>	100 <sup>b</sup>	93.3240	2 <sup>+</sup>			
		2892.1 <sup>b</sup>	47 <sup>b</sup> 11	0.0	0 <sup>+</sup>	D <sup>b</sup>		
2896.9	(11 <sup>+</sup> )	282.0 <sup>&amp;</sup> 5	80 <sup>&amp;</sup> 20	2614.8	(10 <sup>+</sup> )			
		545.0 <sup>&amp;</sup> 5	100 <sup>&amp;</sup> 20	2351.8	(9 <sup>+</sup> )			
2913.6		2272.7 <sup>c</sup>	100	640.849	6 <sup>+</sup>			
2948.0	1	2854.8 <sup>b</sup>	100 <sup>b</sup>	93.3240	2 <sup>+</sup>			
		2947.8 <sup>b</sup>	40 <sup>b</sup> 5	0.0	0 <sup>+</sup>	D <sup>b</sup>		
2960.7	(11 <sup>+</sup> )	561.7 <sup>&amp;</sup> 5	48 <sup>&amp;</sup> 5	2398.9	(9 <sup>+</sup> )			
		1330 <sup>&amp;</sup> 1	100 <sup>&amp;</sup> 10	1631.0	10 <sup>+</sup>			
2965.4	(14 <sup>-</sup> )	362.3 <sup>&amp;</sup> 5	100 <sup>&amp;</sup> 17	2603.1	(13 <sup>-</sup> )			
		703.0 <sup>&amp;</sup> 5	83 <sup>&amp;</sup> 17	2262.3	(12 <sup>-</sup> )			
2993.1	1	2993.1 <sup>b</sup>	100 <sup>b</sup>	0.0	0 <sup>+</sup>	D <sup>b</sup>		
3000.1		2691.5 <sup>c</sup>	100	308.576	4 <sup>+</sup>			
3005.4	14 <sup>+</sup>	730.9 <sup>&amp;</sup> 5	100 <sup>&amp;</sup>	2274.3	12 <sup>+</sup>	(E2)	0.00792 12	$\alpha(\text{K})=0.00641$ 9; $\alpha(\text{L})=0.001165$ 17; $\alpha(\text{M})=0.000268$ 4; $\alpha(\text{N}+..)=7.30 \times 10^{-5}$ 11 Mult.: stretched Q from R(DCO) in $^{180}\text{Hf}(^{136}\text{Xe}, ^{136}\text{Xe}')$ , E2 from assumed band structure.
3011.3	1	2918.1 <sup>b</sup>	100 <sup>b</sup>	93.3240	2 <sup>+</sup>			
		3011.1 <sup>b</sup>	80 <sup>b</sup> 26	0.0	0 <sup>+</sup>	D <sup>b</sup>		
3022.6		1540.5 <sup>c</sup>		1482.67	(5 <sup>-</sup> )			
		2711.5 <sup>c</sup>		308.576	4 <sup>+</sup>			
		2931.1 <sup>c</sup>		93.3240	2 <sup>+</sup>			
3049.7		1437.4 <sup>c</sup>		1613.09	(6 <sup>-</sup> )			
		2406.9 <sup>c</sup>		640.849	6 <sup>+</sup>			
		2742.1 <sup>c</sup>		308.576	4 <sup>+</sup>			
3058.6		2750.0 <sup>c</sup>	100	308.576	4 <sup>+</sup>			
3068.8	1	2975.6 <sup>b</sup>	100 <sup>b</sup>	93.3240	2 <sup>+</sup>			

Adopted Levels, Gammas (continued)

$\gamma(^{180}\text{Hf})$ (continued)									
$E_i(\text{level})$	$J_i^\pi$	$E_\gamma^\dagger$	$I_\gamma^\dagger$	$E_f$	$J_f^\pi$	Mult. <sup>‡</sup>	$\alpha$	Comments	
3068.8	1	3068.6 <sup>b</sup>	77 <sup>b</sup> 12	0.0	0 <sup>+</sup>	D <sup>b</sup>			
3081.5	1	3081.5 <sup>b</sup>	100 <sup>b</sup>	0.0	0 <sup>+</sup>	D <sup>b</sup>			
3083.6		2442.7 <sup>c</sup>	100	640.849	6 <sup>+</sup>				
3086.0	1	3086.0 <sup>b</sup>	100 <sup>b</sup>	0.0	0 <sup>+</sup>	D <sup>b</sup>			
3089.8		1715.4 <sup>c</sup>		1374.36	(4 <sup>-</sup> )				
		2781.2 <sup>c</sup>		308.576	4 <sup>+</sup>				
3100.8		2792.2 <sup>c</sup>	100	308.576	4 <sup>+</sup>				
3100.8	(15 <sup>+</sup> )	293.9 <sup>d</sup> 8	100 <sup>d</sup>	2807.0	(14 <sup>+</sup> )				
3110.6	(12 <sup>+</sup> )	577.8 <sup>&amp;</sup> 5	60 <sup>&amp;</sup> 30	2532.8	(10 <sup>+</sup> )				
		836.3 <sup>&amp;</sup> 5	100 <sup>&amp;</sup> 14	2274.3	12 <sup>+</sup>				
3123.4	(13 <sup>-</sup> )	535.4 <sup>&amp;</sup> 5	100 <sup>&amp;</sup>	2588.0	(11 <sup>-</sup> )				
3124.1		2815.5 <sup>c</sup>	100	308.576	4 <sup>+</sup>				
3125.6	1	3032.4 <sup>b</sup>	100 <sup>b</sup>	93.3240	2 <sup>+</sup>				
		3125.4 <sup>b</sup>	33 <sup>b</sup> 9	0.0	0 <sup>+</sup>	D <sup>b</sup>			
3129.2	(12 <sup>+</sup> )	515.4 <sup>&amp;</sup> 5	61 <sup>&amp;</sup> 7	2613.9	(10 <sup>+</sup> )				
		1498 <sup>&amp;</sup> 1	100 <sup>&amp;</sup> 7	1631.0	10 <sup>+</sup>	(E2)	0.00193 3	$\alpha(\text{K})=0.001563$ 22; $\alpha(\text{L})=0.000233$ 4; $\alpha(\text{M})=5.24\times 10^{-5}$ 8; $\alpha(\text{N}+..)=8.35\times 10^{-5}$ 12 Mult.: stretched Q from R(DCO) in $^{180}\text{Hf}(^{136}\text{Xe}, ^{136}\text{Xe}'\gamma)$ , assumed E2.	
3131.7		1521.7 <sup>c</sup>		1609.38	(3 <sup>-</sup> )				
		2823.8 <sup>c</sup>		308.576	4 <sup>+</sup>				
3150.7	1	3057.5 <sup>b</sup>	33 <sup>b</sup> 12	93.3240	2 <sup>+</sup>				
		3150.5 <sup>b</sup>	100 <sup>b</sup>	0.0	0 <sup>+</sup>	D <sup>b</sup>			
3153.1		1670.4 <sup>c</sup>	100	1482.67	(5 <sup>-</sup> )				
3163.2		2854.6 <sup>c</sup>	100	308.576	4 <sup>+</sup>				
3174.4		3081.0 <sup>c</sup>	100	93.3240	2 <sup>+</sup>				
3184.0		1809.9 <sup>c</sup>		1374.36	(4 <sup>-</sup> )				
		2542.9 <sup>c</sup>		640.849	6 <sup>+</sup>				
3191.4	(12 <sup>+</sup> )	294.5 <sup>&amp;</sup> 5	<sup>&amp;</sup>	2896.9	(11 <sup>+</sup> )				
		576.7 <sup>&amp;</sup> 5	<sup>&amp;</sup>	2614.8	(10 <sup>+</sup> )				
3200.4		2891.8 <sup>c</sup>	100	308.576	4 <sup>+</sup>				
3215.3		2906.7 <sup>c</sup>	100	308.576	4 <sup>+</sup>				
3253.1		3159.7 <sup>c</sup>	100	93.3240	2 <sup>+</sup>				
3254.3	1	3161.1 <sup>b</sup>	100 <sup>b</sup>	93.3240	2 <sup>+</sup>				
		3254.1 <sup>b</sup>	91 <sup>b</sup> 35	0.0	0 <sup>+</sup>	D <sup>b</sup>			
3257.7		2616.8 <sup>c</sup>	100	640.849	6 <sup>+</sup>				
3300.4		569.8 <sup>&amp;</sup> 5	100 <sup>&amp;</sup> 11	2730.7					
		686.8 <sup>&amp;</sup> 5	50 <sup>&amp;</sup> 11	2613.9	(10 <sup>+</sup> )				

Adopted Levels, Gammas (continued)

$\gamma(^{180}\text{Hf})$ (continued)						
$E_i(\text{level})$	$J_i^\pi$	$E_\gamma$ <sup>†</sup>	$I_\gamma$ <sup>†</sup>	$E_f$	$J_f^\pi$	Mult. <sup>‡</sup>
3300.4		1026 <sup>&amp;</sup> 1	<sup>&amp;</sup>	2274.3	12 <sup>+</sup>	
		1669 <sup>&amp;</sup> 1	<sup>&amp;</sup>	1631.0	10 <sup>+</sup>	
3303.7		1694.3 <sup>c</sup>	100	1609.38	(3 <sup>-</sup> )	
3317.0		1836.6 <sup>c</sup>		1482.67	(5 <sup>-</sup> )	
		1947.1 <sup>c</sup>		1369.65	(4 <sup>+</sup> )	
		2672.9 <sup>c</sup>		640.849	6 <sup>+</sup>	
E <sub>γ</sub> : poor energy fit, excluded from least-squares fitting. E from level energy difference is 2676.4.						
		3009.6 <sup>c</sup>		308.576	4 <sup>+</sup>	
3330.1	1	3330.1 <sup>b</sup>	100 <sup>b</sup>	0.0	0 <sup>+</sup>	D <sup>b</sup>
3330.3		1956.6 <sup>c</sup>		1374.36	(4 <sup>-</sup> )	
		3021.0 <sup>c</sup>		308.576	4 <sup>+</sup>	
3338.7		1729.3 <sup>c</sup>	100	1609.38	(3 <sup>-</sup> )	
3350.2	(15 <sup>-</sup> )	384.8 <sup>&amp;</sup> 5	100 <sup>&amp;</sup> 30	2965.4	(14 <sup>-</sup> )	
		747.2 <sup>&amp;</sup> 5	≈100 <sup>&amp;</sup>	2603.1	(13 <sup>-</sup> )	
3384.0		588.0 <sup>&amp;</sup> 5		2796.0		
		1110 <sup>&amp;g</sup> 1		2274.3	12 <sup>+</sup>	
3417.2		1804.2 <sup>c</sup>		1613.09	(6 <sup>-</sup> )	
		1936.3 <sup>c</sup>		1482.67	(5 <sup>-</sup> )	
		2775.9 <sup>c</sup>		640.849	6 <sup>+</sup>	
		3107.2 <sup>c</sup>		308.576	4 <sup>+</sup>	
3428.7		1946.0 <sup>c</sup>	100	1482.67	(5 <sup>-</sup> )	
3432.1	(14 <sup>-</sup> )	583.7 <sup>&amp;</sup> 5		2848.4	(12 <sup>-</sup> )	
3442.9		3134.3 <sup>c</sup>	100	308.576	4 <sup>+</sup>	
3446.9	(16 <sup>+</sup> )	346.1 <sup>d</sup> 1	100 <sup>d</sup> 40	3100.8	(15 <sup>+</sup> )	
		639.4 <sup>d</sup> 15	80 <sup>d</sup> 30	2807.0	(14 <sup>+</sup> )	
3468.6		2827.7 <sup>c</sup>	100	640.849	6 <sup>+</sup>	
3483.4		2109.0 <sup>c</sup>	100	1374.36	(4 <sup>-</sup> )	
3489.2		3180.6 <sup>c</sup>	100	308.576	4 <sup>+</sup>	
3499.9		3191.3 <sup>c</sup>	100	308.576	4 <sup>+</sup>	
3506.8	1,2	3506.8 <sup>b</sup>	100 <sup>b</sup>	0.0	0 <sup>+</sup>	(D+Q) <sup>b</sup>
3515.7		3207.1 <sup>c</sup>	100	308.576	4 <sup>+</sup>	
3526.7		3218.1 <sup>c</sup>	100	308.576	4 <sup>+</sup>	
3528.9		427.9 <sup>d</sup> 16		3100.8		
		722.0 <sup>d</sup> 15		2807.0	(14 <sup>+</sup> )	
3559.6	1	3466.4 <sup>b</sup>	100 <sup>b</sup>	93.3240	2 <sup>+</sup>	
		3559.4 <sup>b</sup>	95 <sup>b</sup> 29	0.0	0 <sup>+</sup>	D <sup>b</sup>
3569.5	1	3476.3 <sup>b</sup>	100 <sup>b</sup>	93.3240	2 <sup>+</sup>	

Adopted Levels, Gammas (continued)

$\gamma(^{180}\text{Hf})$ (continued)									
$E_i(\text{level})$	$J_i^\pi$	$E_\gamma$ <sup>†</sup>	$I_\gamma$ <sup>†</sup>	$E_f$	$J_f^\pi$	Mult. <sup>‡</sup>	$\alpha$	Comments	
3569.5	1	3569.3 <sup>b</sup>	39 <sup>b</sup> 19	0.0	0 <sup>+</sup>	D <sup>b</sup>			
3584.2	1	3491.0 <sup>b</sup>	66 <sup>b</sup> 18	93.3240	2 <sup>+</sup>				
		3584.0 <sup>b</sup>	100 <sup>b</sup>	0.0	0 <sup>+</sup>	D <sup>b</sup>			
3592.5	1	3499.3 <sup>b</sup>	100 <sup>b</sup>	93.3240	2 <sup>+</sup>				
		3592.3 <sup>b</sup>	101 <sup>b</sup> 44	0.0	0 <sup>+</sup>	D <sup>b</sup>			
3596.5		2222.1 <sup>c</sup>	100	1374.36	(4 <sup>-</sup> )				
3597.5	(18 <sup>-</sup> )	150.6 <sup>d</sup> 5	100 <sup>d</sup>	3446.9	(16 <sup>+</sup> )	(M2)	8.13 15	$\alpha(\text{K})=6.08$ 11; $\alpha(\text{L})=1.57$ 3; $\alpha(\text{M})=0.378$ 8; $\alpha(\text{N}+..)=0.1047$ 21 B(M2)(W.u.)=0.0153 18 Mult.: M2 or E3 from $\alpha(\text{exp})$ in $^{180}\text{Hf}(^{238}\text{U}, ^{238}\text{U}'\gamma)$ ; M2 assuming lowest multipole dominates.	
3606.5	(13 <sup>+</sup> )	645.8 <sup>&amp;</sup> 5	83 <sup>&amp;</sup> 17	2960.7	(11 <sup>+</sup> )				
		1332 <sup>&amp;</sup> 1	100 <sup>&amp;</sup> 17	2274.3	12 <sup>+</sup>				
3615.1	1	3521.9 <sup>b</sup>	100 <sup>b</sup>	93.3240	2 <sup>+</sup>				
		3614.9 <sup>b</sup>	16 <sup>b</sup> 6	0.0	0 <sup>+</sup>	D <sup>b</sup>			
3625.4		3316.8 <sup>c</sup>	100	308.576	4 <sup>+</sup>				
3627.1	1	3627.1 <sup>b</sup>	100 <sup>b</sup>	0.0	0 <sup>+</sup>	D <sup>b</sup>			
3640.7		3332.1 <sup>c</sup>	100	308.576	4 <sup>+</sup>				
3653.8		3560.4 <sup>c</sup>	100	93.3240	2 <sup>+</sup>				
3672.2		3363.4 <sup>c</sup>		308.576	4 <sup>+</sup>				
		3579.0 <sup>c</sup>		93.3240	2 <sup>+</sup>				
3678.1	(14 <sup>+</sup> )	548.9 <sup>&amp;</sup> 5		3129.2	(12 <sup>+</sup> )				
		673 <sup>&amp;</sup>		3005.4	14 <sup>+</sup>				
		1404 <sup>&amp;</sup> 1		2274.3	12 <sup>+</sup>				
3681.2		3372.6 <sup>c</sup>	100	308.576	4 <sup>+</sup>				
3734.0	(15 <sup>-</sup> )	610.6 <sup>&amp;</sup> 5	100 <sup>&amp;</sup>	3123.4	(13 <sup>-</sup> )				
3751.3		3442.4 <sup>c</sup>		308.576	4 <sup>+</sup>				
		3658.3 <sup>c</sup>		93.3240	2 <sup>+</sup>				
3755.4	(16 <sup>-</sup> )	405.4 <sup>&amp;</sup> 5		3350.2	(15 <sup>-</sup> )				
		790.0 <sup>&amp;</sup> 5		2965.4	(14 <sup>-</sup> )				
3766.6	1	3673.4 <sup>b</sup>	100 <sup>b</sup>	93.3240	2 <sup>+</sup>				
		3766.4 <sup>b</sup>	43 <sup>b</sup> 13	0.0	0 <sup>+</sup>	D <sup>b</sup>			
3774.3	1	3681.1 <sup>b</sup>	35 <sup>b</sup> 14	93.3240	2 <sup>+</sup>				
		3774.1 <sup>b</sup>	100 <sup>b</sup>	0.0	0 <sup>+</sup>	D <sup>b</sup>			
3781.5	(14 <sup>+</sup> )	670.8 <sup>&amp;</sup> 5		3110.6	(12 <sup>+</sup> )				
		776.1 <sup>&amp;</sup> 5		3005.4	14 <sup>+</sup>				
3786.2	1	3693.0 <sup>b</sup>	100 <sup>b</sup>	93.3240	2 <sup>+</sup>				

Adopted Levels, Gammas (continued)

$\gamma(^{180}\text{Hf})$ (continued)								
$E_i(\text{level})$	$J_i^\pi$	$E_\gamma^\dagger$	$I_\gamma^\dagger$	$E_f$	$J_f^\pi$	Mult. <sup>‡</sup>	$\alpha$	Comments
3786.2	1	3786.0 <sup>b</sup>	99 <sup>b</sup> 35	0.0	0 <sup>+</sup>	D <sup>b</sup>		
3804.1	1	3710.9 <sup>b</sup>	100 <sup>b</sup>	93.3240	2 <sup>+</sup>			
		3803.9 <sup>b</sup>	41 <sup>b</sup> 16	0.0	0 <sup>+</sup>	D <sup>b</sup>		
3813.5	16 <sup>+</sup>	807.9 <sup>b&amp;</sup> 5	100 <sup>b&amp;</sup>	3005.4	14 <sup>+</sup>	(E2)	0.00637 9	$\alpha(\text{K})=0.00520$ 8; $\alpha(\text{L})=0.000907$ 13; $\alpha(\text{M})=0.000208$ 3; $\alpha(\text{N}+..)=5.67\times10^{-5}$ 8 Mult.: stretched Q from R(DCO) in $^{180}\text{Hf}(^{136}\text{Xe}, ^{136}\text{Xe}'\gamma)$ , E2 from assumed band structure.
3818.0	1	3818.0 <sup>b</sup>	<sup>b</sup>	0.0	0 <sup>+</sup>	D <sup>b</sup>		
3829.6	1	3829.6 <sup>b</sup>	<sup>b</sup>	0.0	0 <sup>+</sup>	D <sup>b</sup>		
3836.5	1	3743.3 <sup>b</sup>	100 <sup>b</sup>	93.3240	2 <sup>+</sup>			
		3836.3 <sup>b</sup>	27 <sup>b</sup> 8	0.0	0 <sup>+</sup>	D <sup>b</sup>		
3848.3		3208.6 <sup>c</sup>		640.849	6 <sup>+</sup>			
		3539.7 <sup>c</sup>		308.576	4 <sup>+</sup>			
		3753.6 <sup>c</sup>		93.3240	2 <sup>+</sup>			
3851.7	1	3758.5 <sup>b</sup>	100 <sup>b</sup>	93.3240	2 <sup>+</sup>			
		3851.5 <sup>b</sup>	85 <sup>b</sup> 30	0.0	0 <sup>+</sup>	D <sup>b</sup>		
3855.6		2246.2 <sup>c</sup>	100	1609.38	(3 <sup>-</sup> )			
3862.2	1,2	3862.2 <sup>b</sup>	100 <sup>b</sup>	0.0	0 <sup>+</sup>	(D+Q) <sup>b</sup>		
3869.2		2388.0 <sup>c</sup>		1482.67	(5 <sup>-</sup> )			
		3226.9 <sup>c</sup>		640.849	6 <sup>+</sup>			
3880.3		3239.4 <sup>c</sup>	100	640.849	6 <sup>+</sup>			
3889.4	1	3889.4 <sup>b</sup>	100 <sup>b</sup>	0.0	0 <sup>+</sup>	D <sup>b</sup>		
3908.5		3267.6 <sup>c</sup>	100	640.849	6 <sup>+</sup>			
3926.5		2317.7 <sup>c</sup>		1609.38	(3 <sup>-</sup> )			
		3617.2 <sup>c</sup>		308.576	4 <sup>+</sup>			
3928.0	1	3928.0 <sup>b</sup>	100 <sup>b</sup>	0.0	0 <sup>+</sup>	D <sup>b</sup>		
3948.1	1	3948.1 <sup>b</sup>	100 <sup>b</sup>	0.0	0 <sup>+</sup>	D <sup>b</sup>		
3957.6		3648.6 <sup>c</sup>		308.576	4 <sup>+</sup>			
		3864.6 <sup>c</sup>		93.3240	2 <sup>+</sup>			
3967.8	1	3967.8 <sup>b</sup>	100 <sup>b</sup>	0.0	0 <sup>+</sup>	D <sup>b</sup>		
3971.3		671.0 <sup>b&amp;</sup> 5		3300.4				
		965.7 5		3005.4	14 <sup>+</sup>			
3975.3		2489.5 <sup>c</sup>		1484.48				
		3667.9 <sup>c</sup>		308.576	4 <sup>+</sup>			
3978.4	1	3885.2 <sup>b</sup>	28 <sup>b</sup> 14	93.3240	2 <sup>+</sup>			
		3978.2 <sup>b</sup>	100 <sup>b</sup>	0.0	0 <sup>+</sup>	D <sup>b</sup>		
3987.6		2504.9 <sup>c</sup>	100	1482.67	(5 <sup>-</sup> )			
3992.3		2382.9 <sup>c</sup>	100	1609.38	(3 <sup>-</sup> )			

# Adopted Levels, Gammas (continued)

$\gamma(^{180}\text{Hf})$  (continued)

$E_i(\text{level})$	$J_i^\pi$	$E_\gamma^\dagger$	$I_\gamma^\dagger$	$E_f$	$J_f^\pi$	Comments
4003.1		2627.9 <sup>c</sup>		1374.36	(4 <sup>-</sup> )	
		3695.4 <sup>c</sup>		308.576	4 <sup>+</sup>	
4091.3	(16 <sup>-</sup> )	659.2 <sup>&amp;</sup> 5	100	3432.1	(14 <sup>-</sup> )	
4137.7		2763.3 <sup>c</sup>	100	1374.36	(4 <sup>-</sup> )	
4180.1	(17 <sup>-</sup> )	424.8 <sup>&amp;</sup> 5		3755.4	(16 <sup>-</sup> )	
		829.8 <sup>&amp;</sup> 5		3350.2	(15 <sup>-</sup> )	
4270.2	(16 <sup>+</sup> )	456 <sup>&amp;</sup>		3813.5	16 <sup>+</sup>	
		592.3 <sup>&amp;</sup> 5		3678.1	(14 <sup>+</sup> )	
		1265 <sup>&amp;</sup>		3005.4	14 <sup>+</sup>	
4323.5	(15 <sup>+</sup> )	717 <sup>&amp;</sup>	100 <sup>&amp;</sup>	3606.5	(13 <sup>+</sup> )	
4331.9		2722.5 <sup>c</sup>	100	1609.38	(3 <sup>-</sup> )	
4356.0		2746.6 <sup>c</sup>	100	1609.38	(3 <sup>-</sup> )	
4413.1	(17 <sup>-</sup> )	679.1 <sup>&amp;</sup> 5	100 <sup>&amp;</sup>	3734.0	(15 <sup>-</sup> )	
4423.1		2813.9 <sup>c</sup>		1609.38	(3 <sup>-</sup> )	
		4329.6 <sup>c</sup>		93.3240	2 <sup>+</sup>	
4682.0	18 <sup>+</sup>	868.5 <sup>&amp;</sup> 5	100 <sup>&amp;</sup>	3813.5	16 <sup>+</sup>	
4808.5		3201.2 <sup>c</sup>		1607.67	(4) <sup>+</sup>	
		4499.5 <sup>c</sup>		308.576	4 <sup>+</sup>	
4852.8		3245.2 <sup>c</sup>		1607.67	(4) <sup>+</sup>	
		4759.3 <sup>c</sup>		93.3240	2 <sup>+</sup>	
4916.3		3437.3 <sup>c</sup>		1482.67	(5 <sup>-</sup> )	E <sub>γ</sub> : poor energy fit, excluded from least-squares fitting. E from level energy difference is 3433.6.
		3541.9 <sup>c</sup>		1374.36	(4 <sup>-</sup> )	
		4272.8 <sup>c</sup>		640.849	6 <sup>+</sup>	
		4606.5 <sup>c</sup>		308.576	4 <sup>+</sup>	
4924.2	(18 <sup>+</sup> )	654 <sup>&amp;</sup>	100 <sup>&amp;</sup>	4270.2	(16 <sup>+</sup> )	
4965.4		3479.3 <sup>c</sup>		1484.48		
		3590.4 <sup>c</sup>		1374.36	(4 <sup>-</sup> )	
		4659.0 <sup>c</sup>		308.576	4 <sup>+</sup>	
5048.3		3566.6 <sup>c</sup>		1482.67	(5 <sup>-</sup> )	
		4953.8 <sup>c</sup>		93.3240	2 <sup>+</sup>	
5057.6		3576.0 <sup>c</sup>		1482.67	(5 <sup>-</sup> )	
		4748.5 <sup>c</sup> 6		308.576	4 <sup>+</sup>	
5554.0	20 <sup>+</sup>	872 <sup>&amp;</sup>	100 <sup>&amp;</sup>	4682.0	18 <sup>+</sup>	
5629.2	(20 <sup>+</sup> )	705 <sup>&amp;</sup>	100 <sup>&amp;</sup>	4924.2	(18 <sup>+</sup> )	
5666.0	(20 <sup>+</sup> )	984 <sup>&amp;</sup>	100 <sup>&amp;</sup>	4682.0	18 <sup>+</sup>	



**Adopted Levels, Gammas (continued)**

$\gamma(^{180}\text{Hf})$  (continued)

<sup>†</sup> From  $^{179}\text{Hf}(n,\gamma)$  E=thermal, except where noted.

<sup>‡</sup> From  $^{180}\text{Hf}(n,n'\gamma)$ , unless otherwise specified.

<sup>#</sup> From  $^{180}\text{Lu}$   $\beta^-$  decay.

<sup>@</sup> From  $^{180}\text{Hf}(n,n'\gamma)$ .

<sup>&</sup> From  $^{180}\text{Hf}(^{136}\text{Xe}, ^{136}\text{Xe}'\gamma)$ .

<sup>a</sup> From ce data in  $^{179}\text{Hf}(n,\gamma)$  E=thermal ([1986RoZM](#)).

<sup>b</sup> From  $^{180}\text{Hf}(\gamma,\gamma')$ .

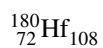
<sup>c</sup> From  $\gamma\gamma$  coin with fixed energy sum in  $^{179}\text{Hf}(n,\gamma)$  E=thermal ([1990Bo52](#)).

<sup>d</sup> From  $^{180}\text{Hf}(^{238}\text{U}, ^{238}\text{U}'\gamma)$ .

<sup>e</sup> Multiply placed.

<sup>f</sup> Multiply placed with undivided intensity.




<sup>g</sup> Placement of transition in the level scheme is uncertain.

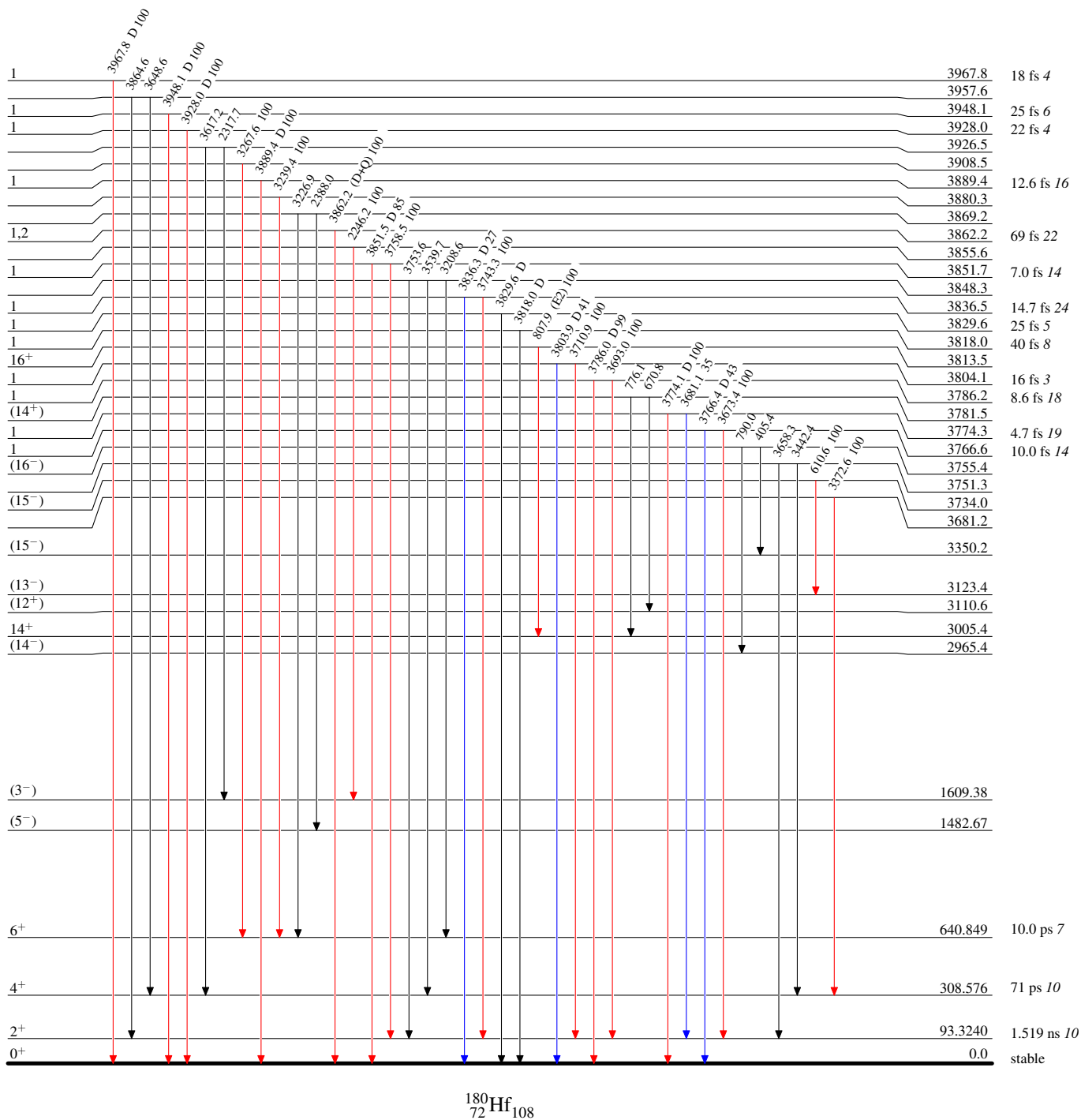


**Adopted Levels, Gammas****Level Scheme (continued)**

Intensities: Type not specified

**Legend**

-   $I_\gamma < 2\% \times I_\gamma^{\max}$   
  $I_\gamma < 10\% \times I_\gamma^{\max}$   
  $I_\gamma > 10\% \times I_\gamma^{\max}$




 $^{180}_{72}\text{Hf}_{108}$

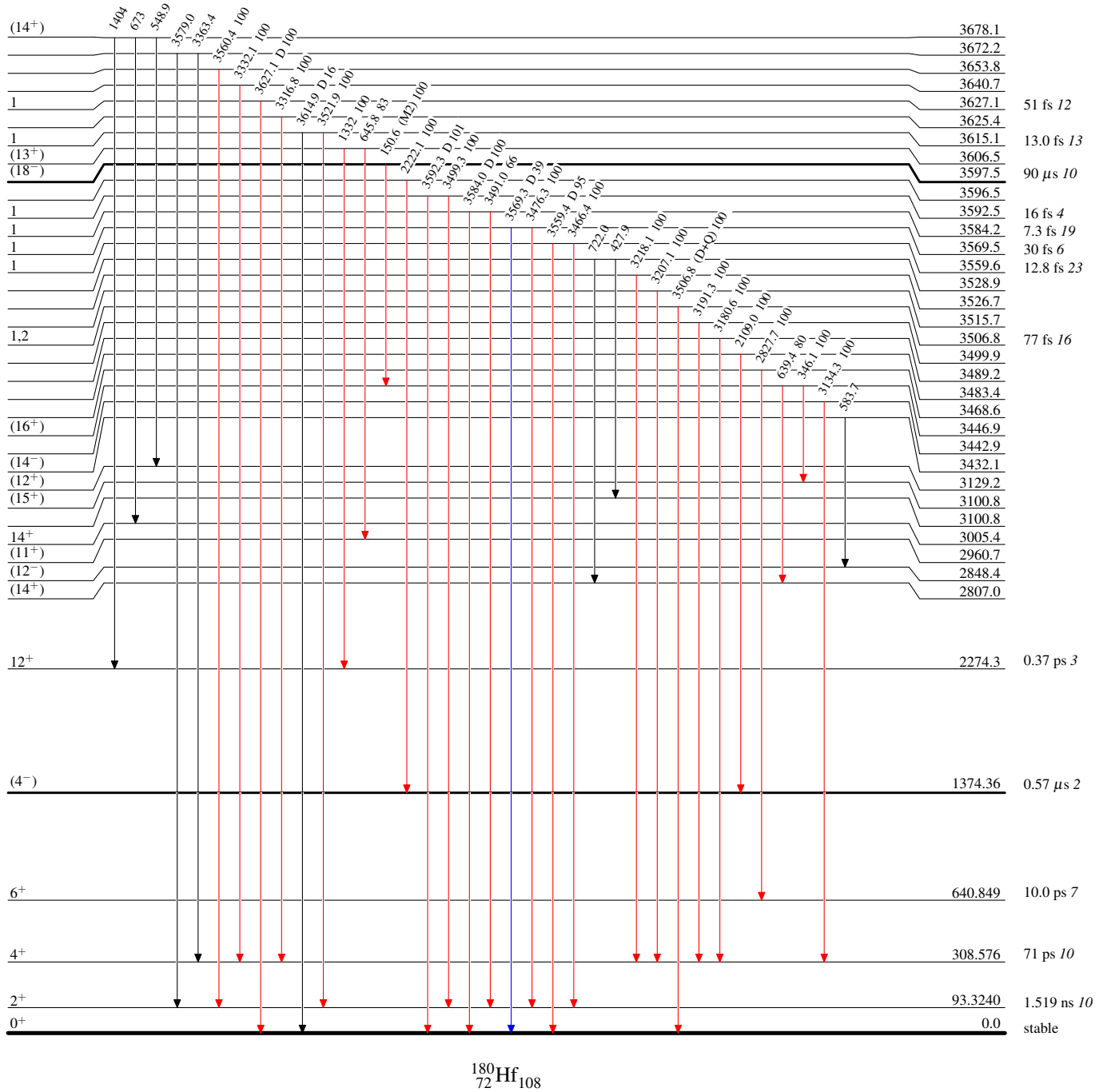
## Adopted Levels, Gammas

## Level Scheme (continued)

Intensities: Type not specified

## Legend

-   $I_\gamma < 2\% \times I_\gamma^{\max}$   
  $I_\gamma < 10\% \times I_\gamma^{\max}$   
  $I_\gamma > 10\% \times I_\gamma^{\max}$



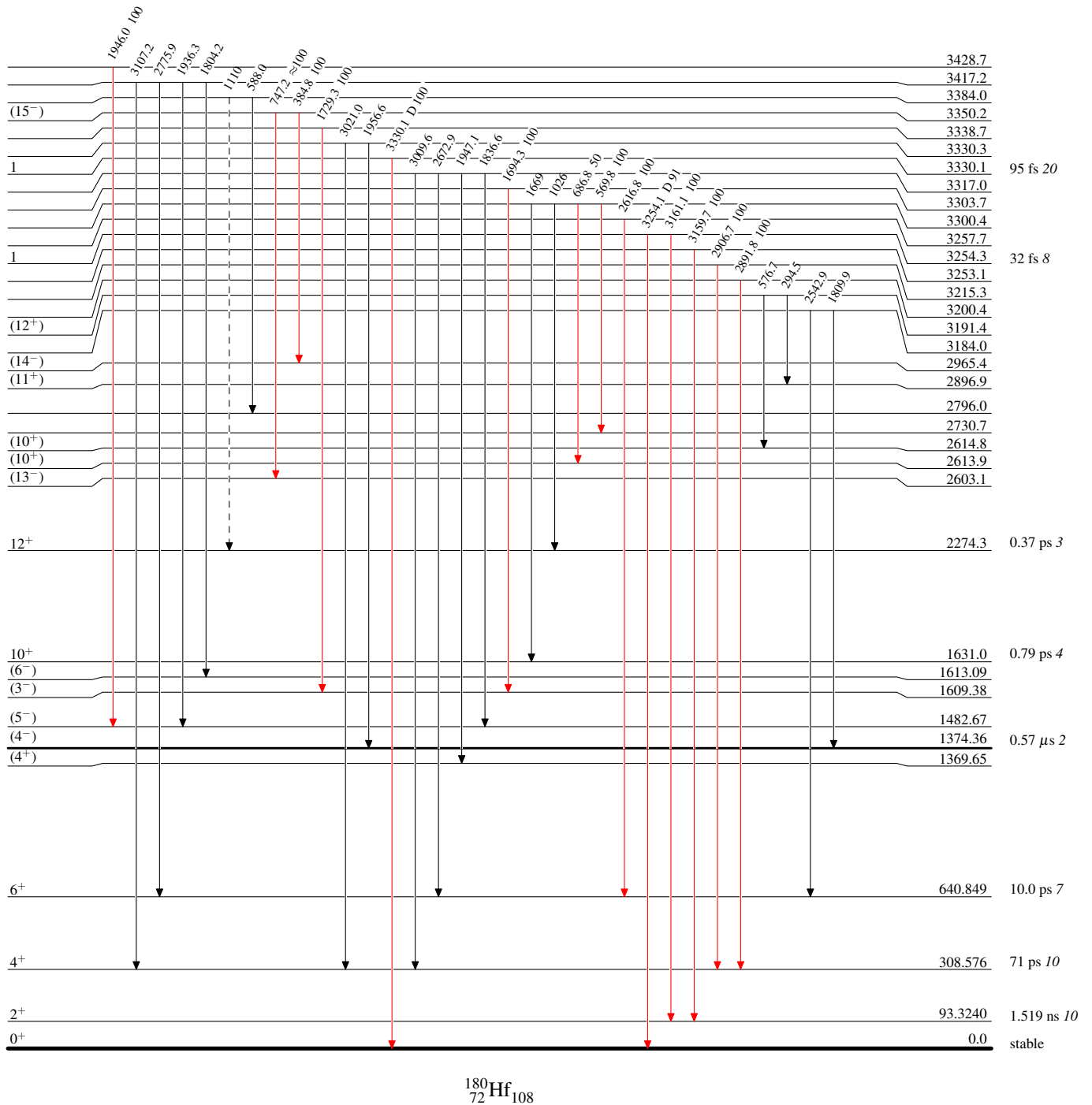
## Adopted Levels, Gammas

## Legend

## Level Scheme (continued)

Intensities: Type not specified

- $I_\gamma < 2\% \times I_\gamma^{\max}$   
—→  $I_\gamma < 10\% \times I_\gamma^{\max}$   
—→  $I_\gamma > 10\% \times I_\gamma^{\max}$   
- - - - -→  $\gamma$  Decay (Uncertain)

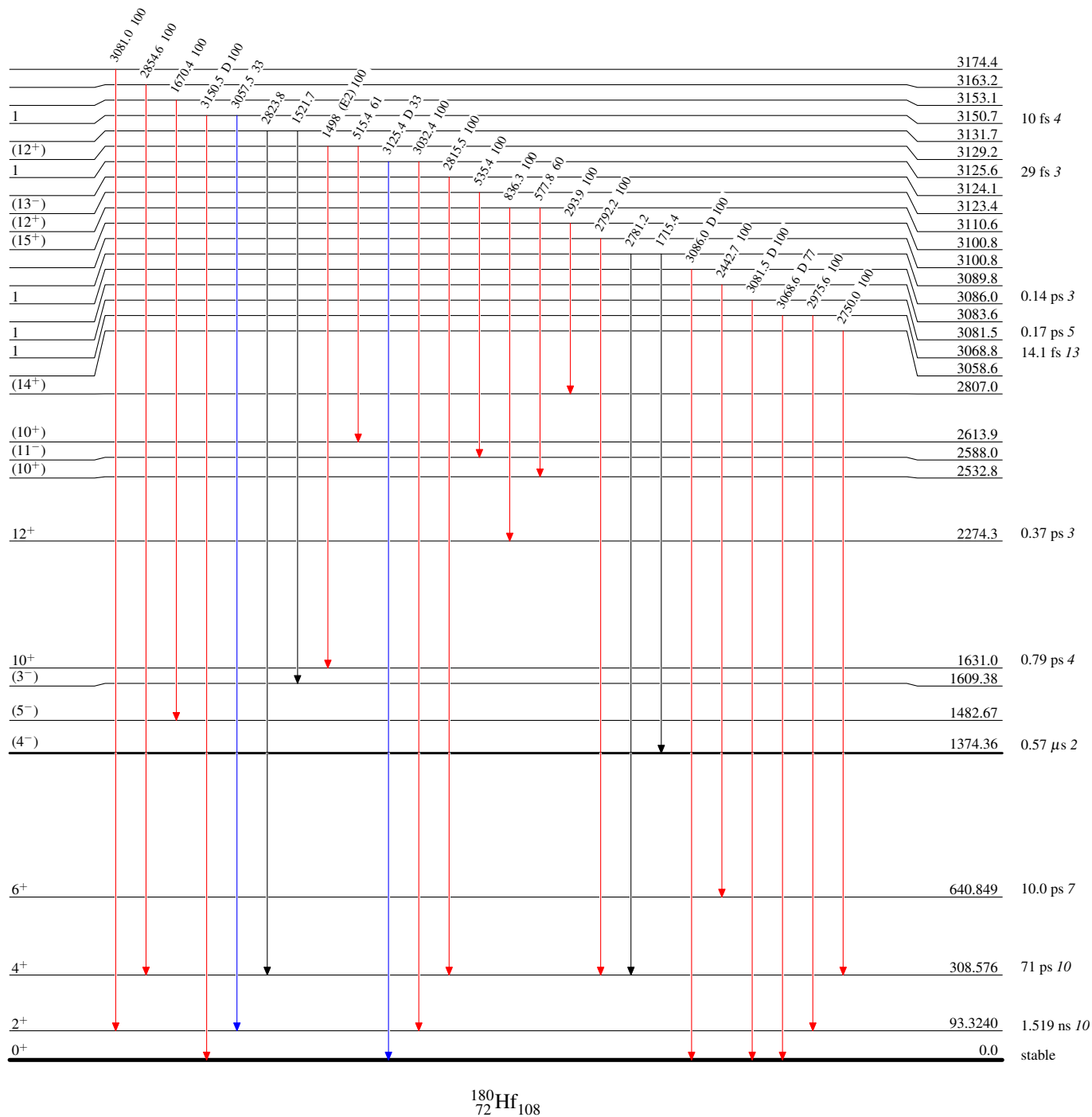


**Adopted Levels, Gammas****Level Scheme (continued)**

Intensities: Type not specified

**Legend**




- $I_\gamma < 2\% \times I_\gamma^{\max}$   
 —→  $I_\gamma < 10\% \times I_\gamma^{\max}$   
 —→  $I_\gamma > 10\% \times I_\gamma^{\max}$

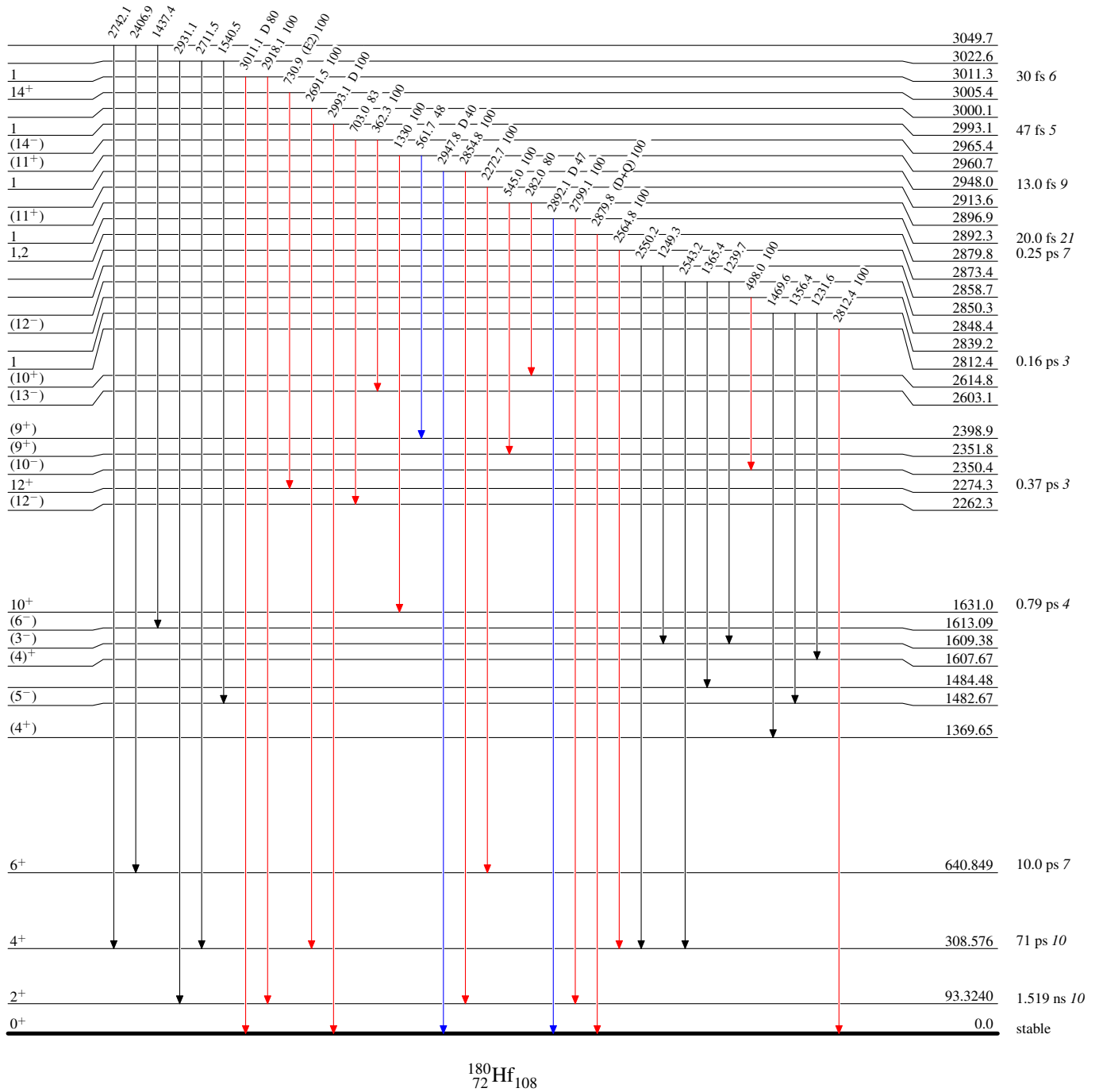


**Adopted Levels, Gammas****Level Scheme (continued)**

Intensities: Type not specified

**Legend**

-   $I_\gamma < 2\% \times I_\gamma^{\max}$   
  $I_\gamma < 10\% \times I_\gamma^{\max}$   
  $I_\gamma > 10\% \times I_\gamma^{\max}$



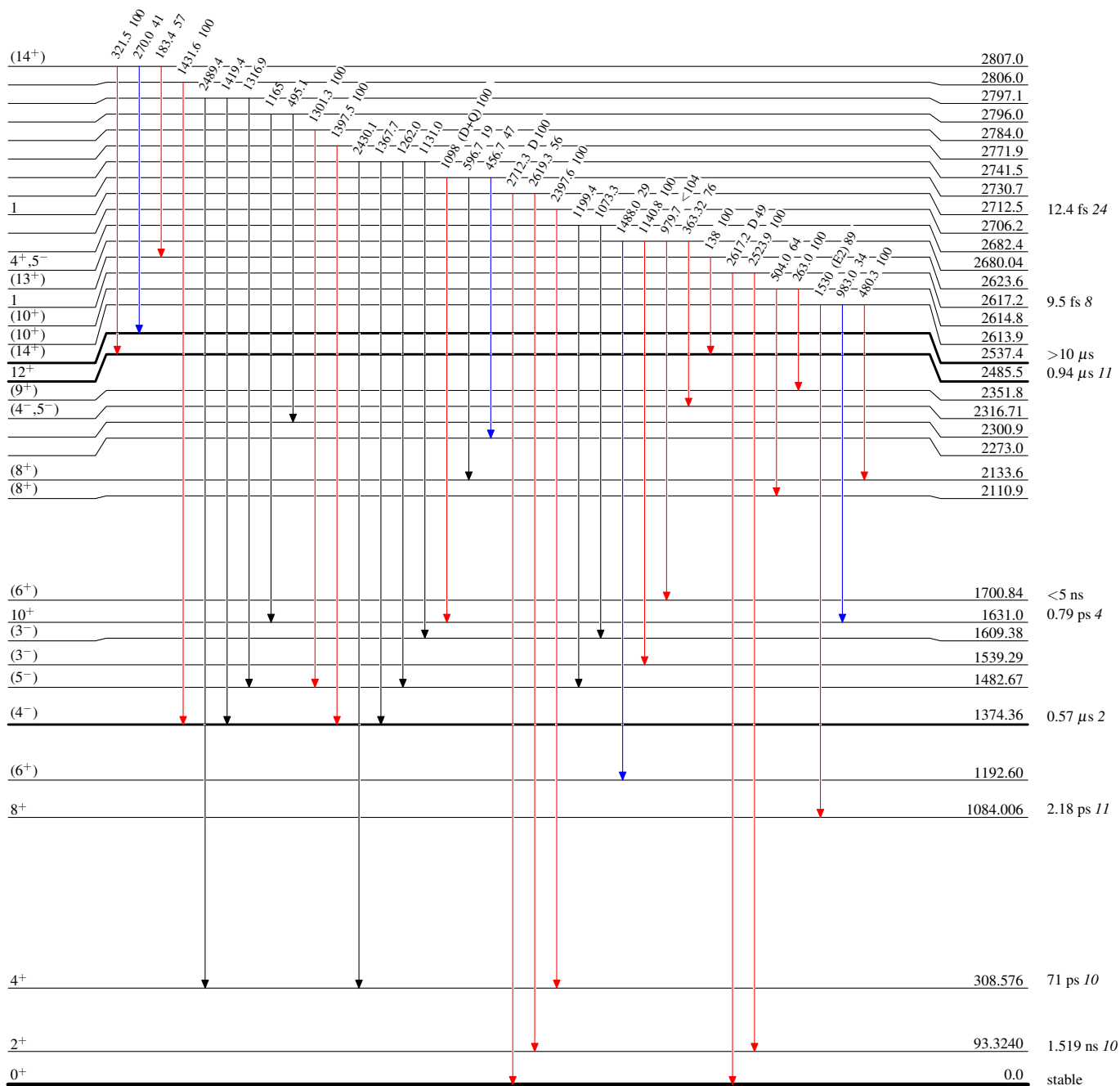
## Adopted Levels, Gammas

## Level Scheme (continued)

Intensities: Type not specified

## Legend

- $\rightarrow$   $I_\gamma < 2\% \times I_\gamma^{\max}$   
 $\rightarrow$   $I_\gamma < 10\% \times I_\gamma^{\max}$   
 $\rightarrow$   $I_\gamma > 10\% \times I_\gamma^{\max}$








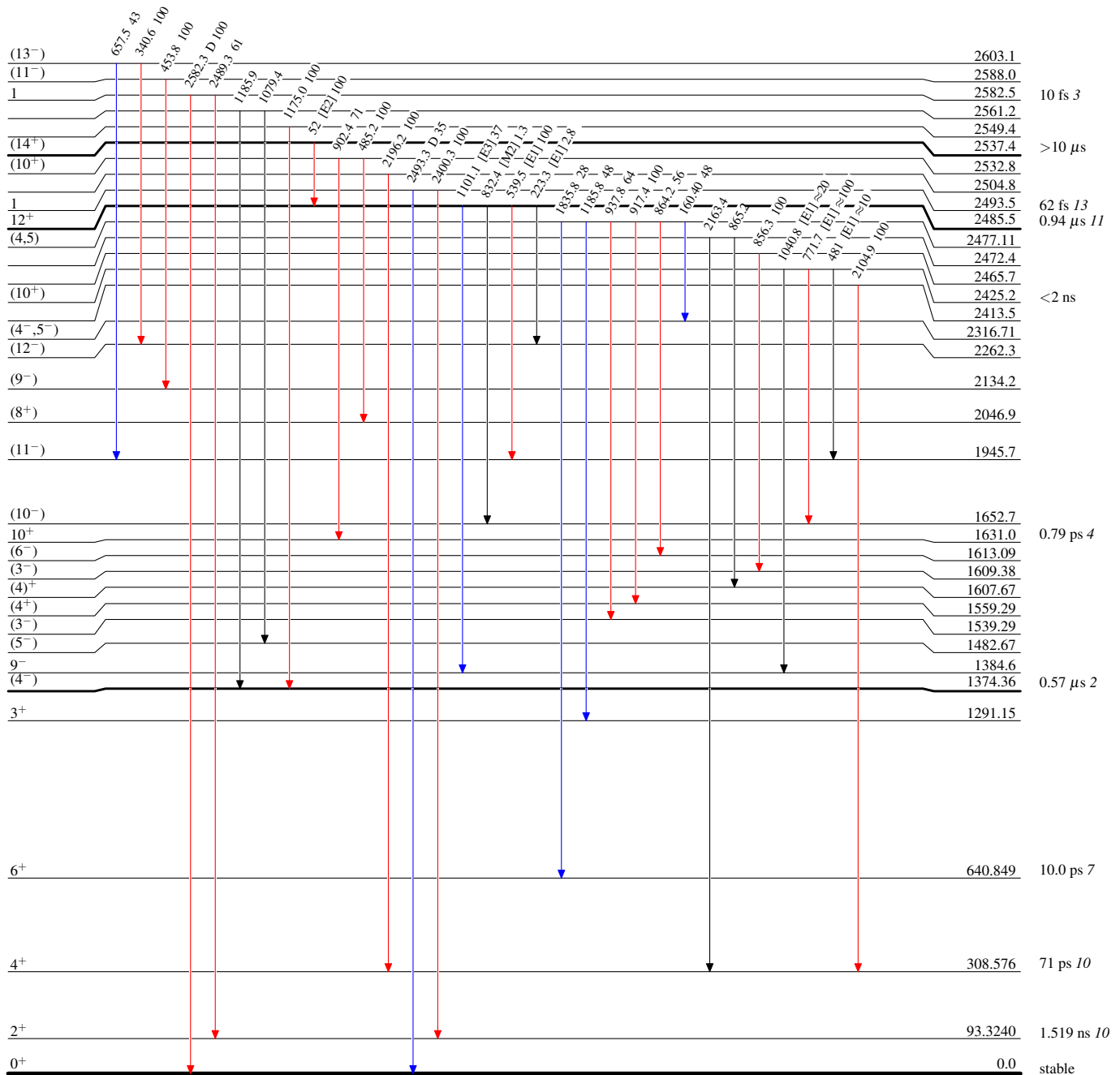
## Adopted Levels, Gammas

## Level Scheme (continued)

Intensities: Type not specified

## Legend




-   $I_\gamma < 2\% \times I_\gamma^{\max}$   
  $I_\gamma < 10\% \times I_\gamma^{\max}$   
  $I_\gamma > 10\% \times I_\gamma^{\max}$

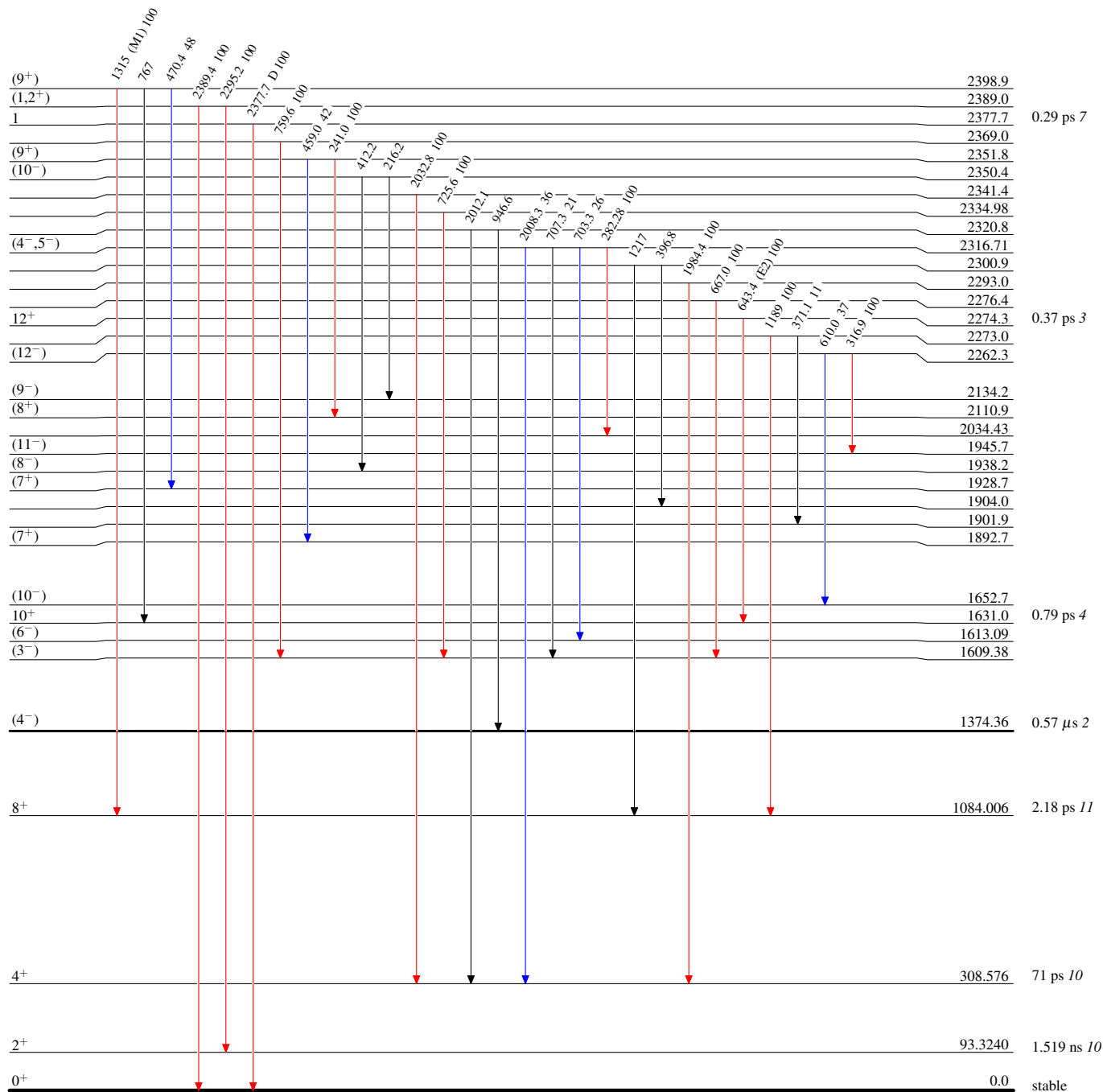


**Adopted Levels, Gammas****Level Scheme (continued)**

Intensities: Type not specified

**Legend**



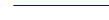
-   $I_\gamma < 2\% \times I_\gamma^{\max}$   
  $I_\gamma < 10\% \times I_\gamma^{\max}$   
  $I_\gamma > 10\% \times I_\gamma^{\max}$

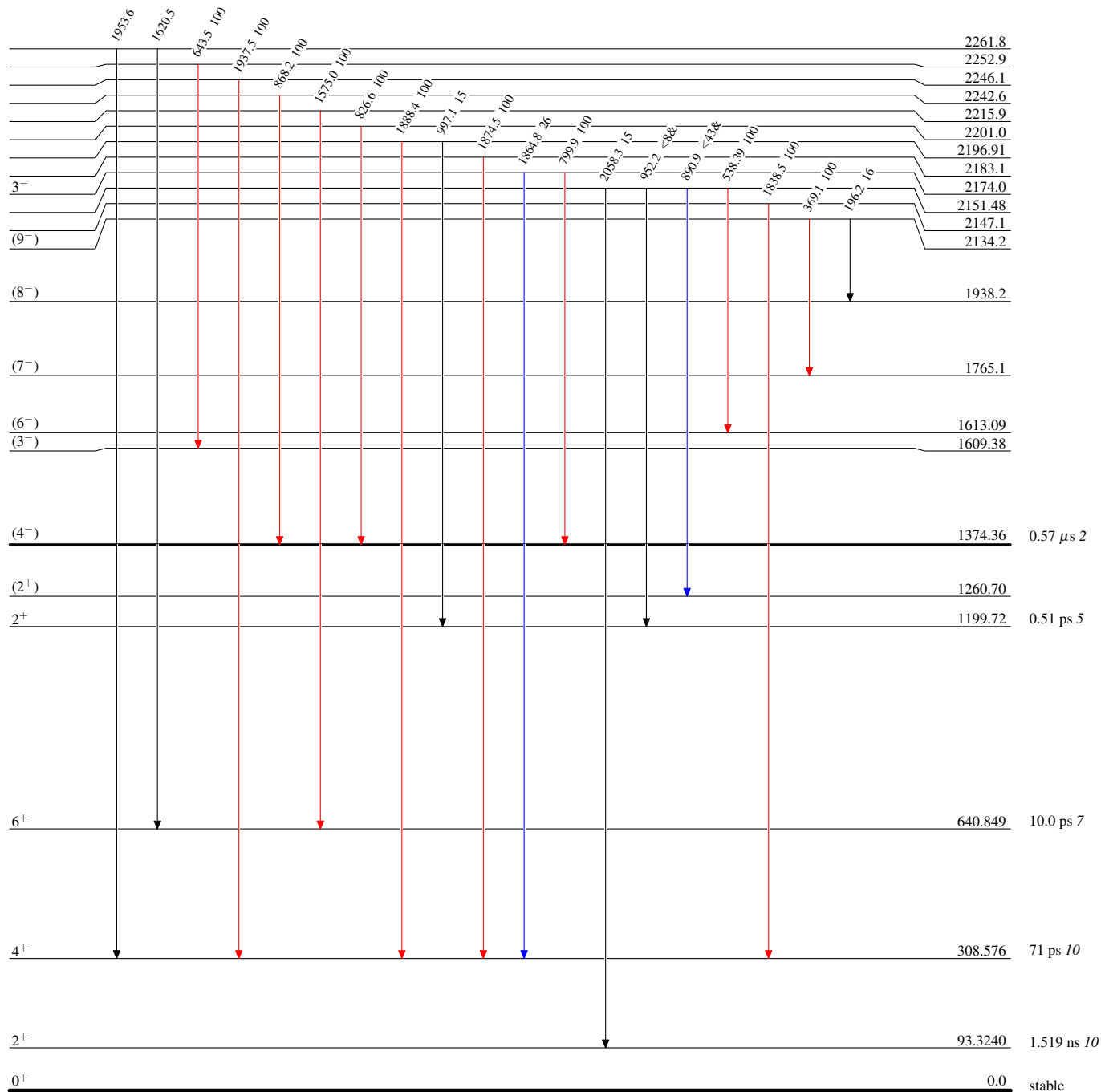


**Adopted Levels, Gammas****Level Scheme (continued)**

Intensities: Type not specified  
& Multiply placed: undivided intensity given

**Legend**

-   $I_\gamma < 2\% \times I_\gamma^{\max}$   
  $I_\gamma < 10\% \times I_\gamma^{\max}$   
  $I_\gamma > 10\% \times I_\gamma^{\max}$



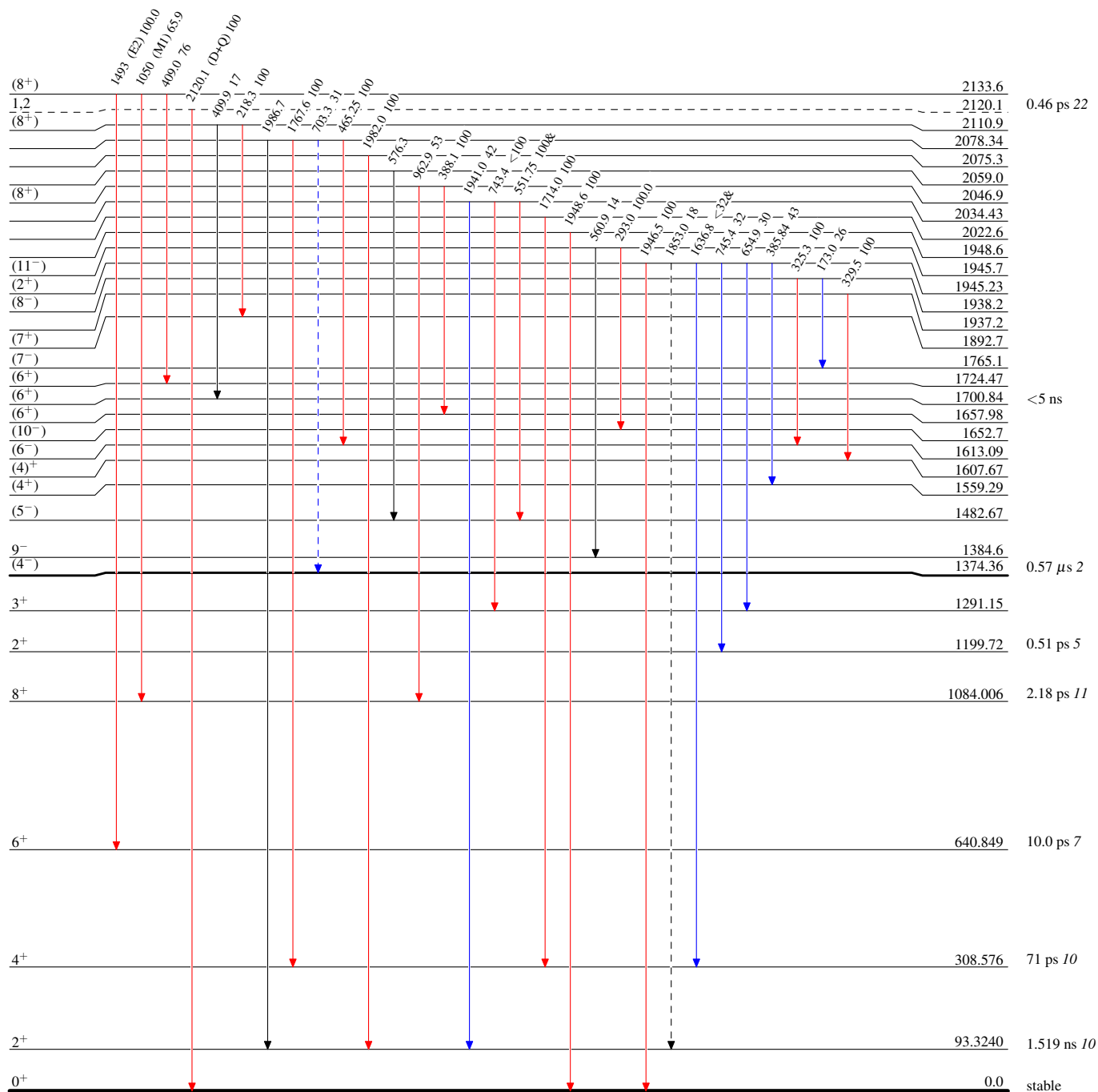
## Adopted Levels, Gammas

## Level Scheme (continued)

Intensities: Type not specified  
& Multiply placed: undivided intensity given

## Legend

- ▶  $I_\gamma < 2\% \times I_\gamma^{\max}$
- ▶  $I_\gamma < 10\% \times I_\gamma^{\max}$
- ▶  $I_\gamma > 10\% \times I_\gamma^{\max}$
- - -▶  $\gamma$  Decay (Uncertain)



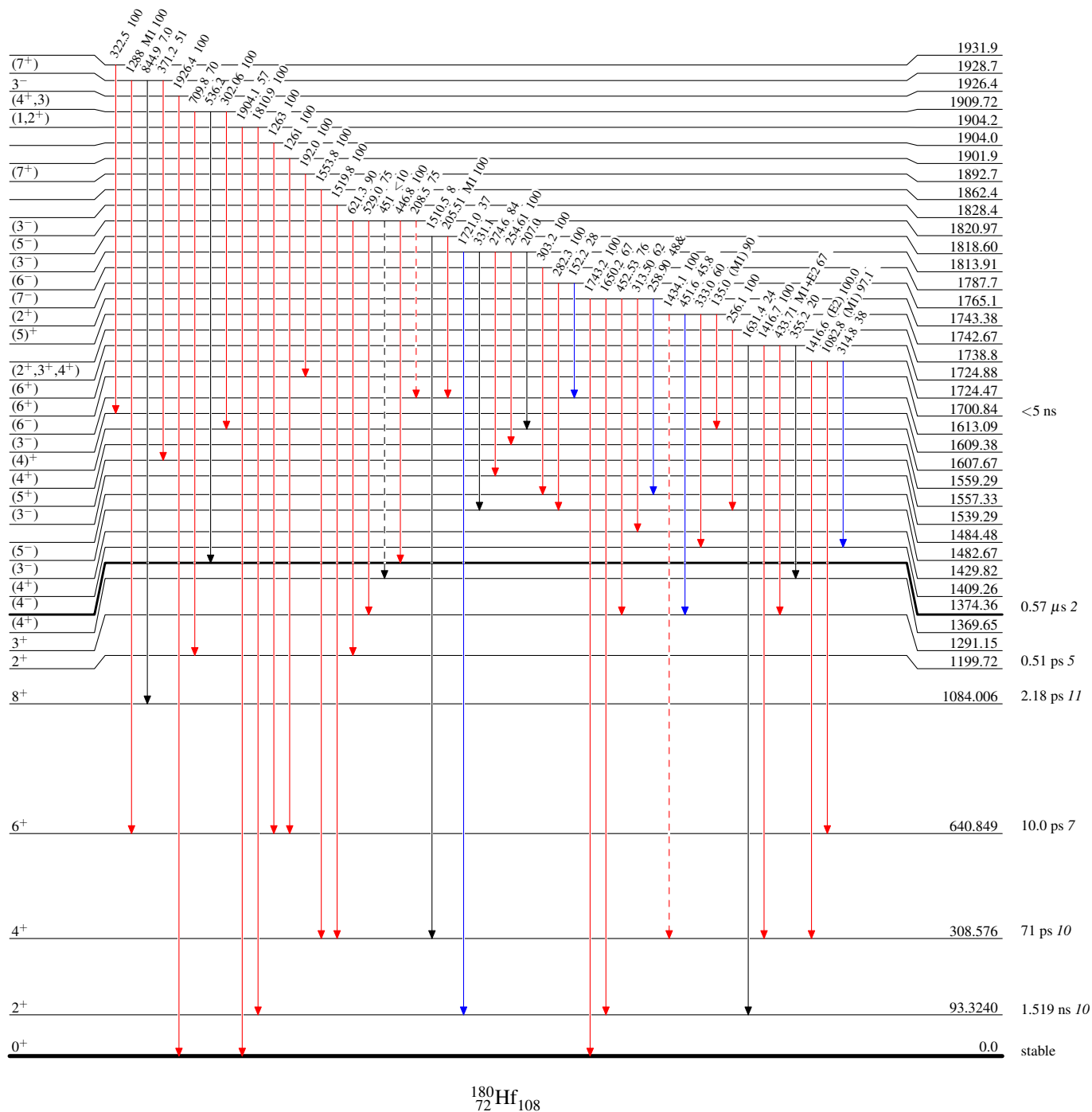
## Adopted Levels, Gammas

## Level Scheme (continued)

Intensities: Type not specified  
& Multiply placed: undivided intensity given

## Legend

- ▶  $I_\gamma < 2\% \times I_\gamma^{\max}$
- ▶  $I_\gamma < 10\% \times I_\gamma^{\max}$
- ▶  $I_\gamma > 10\% \times I_\gamma^{\max}$
- - - -▶  $\gamma$  Decay (Uncertain)



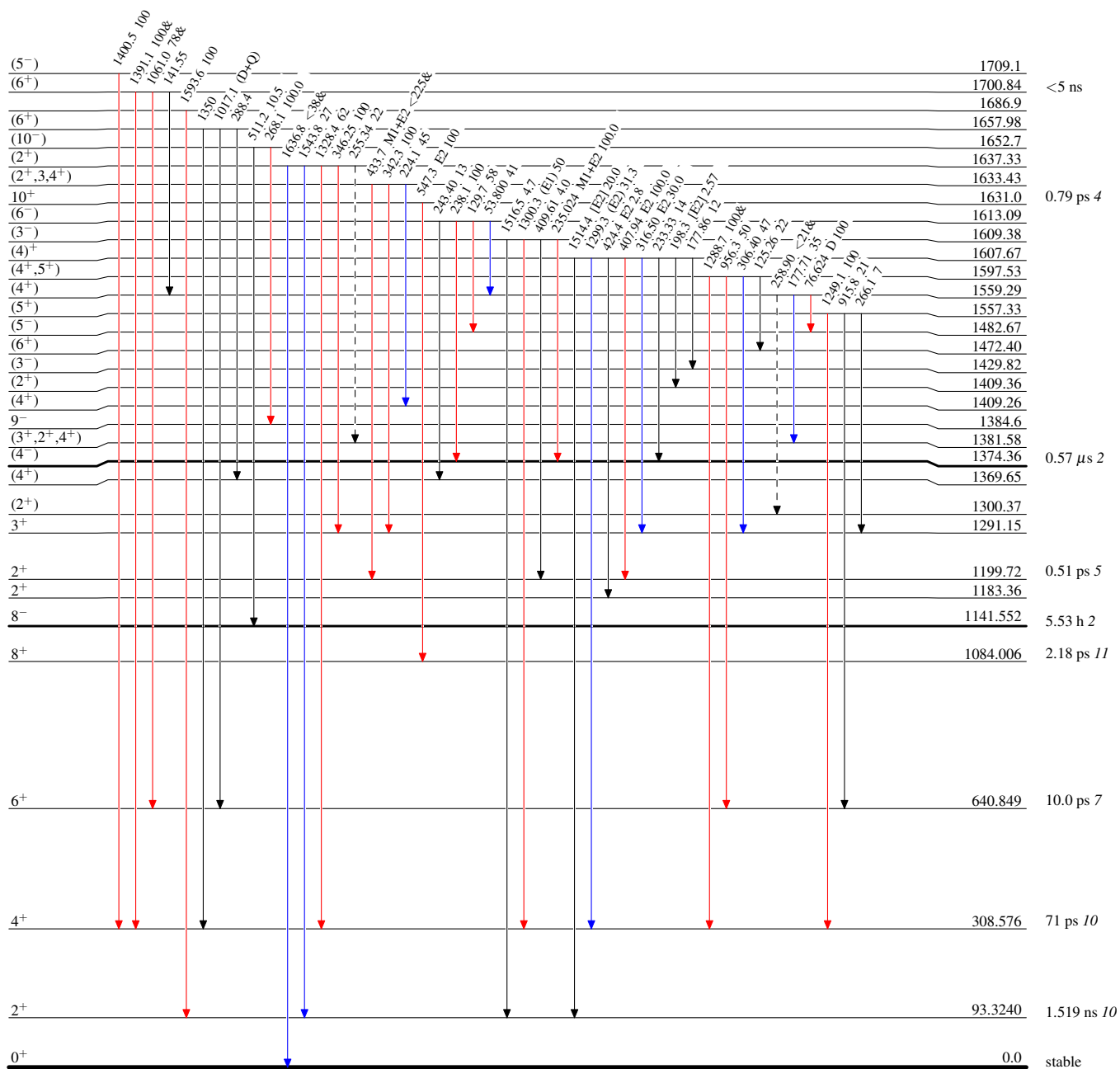
## Adopted Levels, Gammas

## Level Scheme (continued)

Intensities: Type not specified  
& Multiply placed: undivided intensity given

## Legend

- $I_\gamma < 2\% \times I_\gamma^{\max}$
- $I_\gamma < 10\% \times I_\gamma^{\max}$
- $I_\gamma > 10\% \times I_\gamma^{\max}$
- →  $\gamma$  Decay (Uncertain)



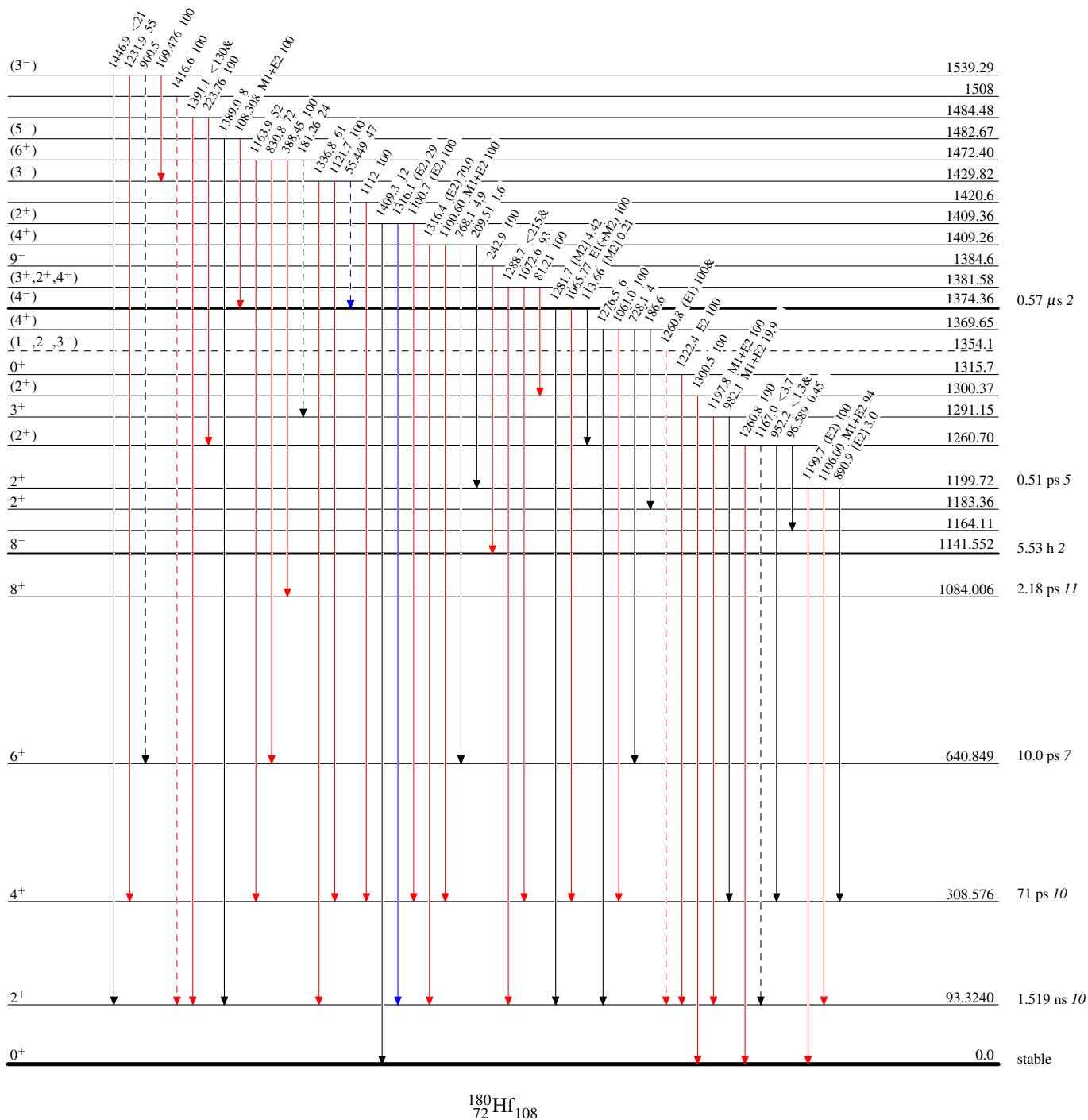
## Adopted Levels, Gammas

## Level Scheme (continued)

Intensities: Type not specified  
& Multiply placed: undivided intensity given

## Legend

- ▶  $I_\gamma < 2\% \times I_\gamma^{\max}$
- ▶  $I_\gamma < 10\% \times I_\gamma^{\max}$
- ▶  $I_\gamma > 10\% \times I_\gamma^{\max}$
- - - -▶  $\gamma$  Decay (Uncertain)



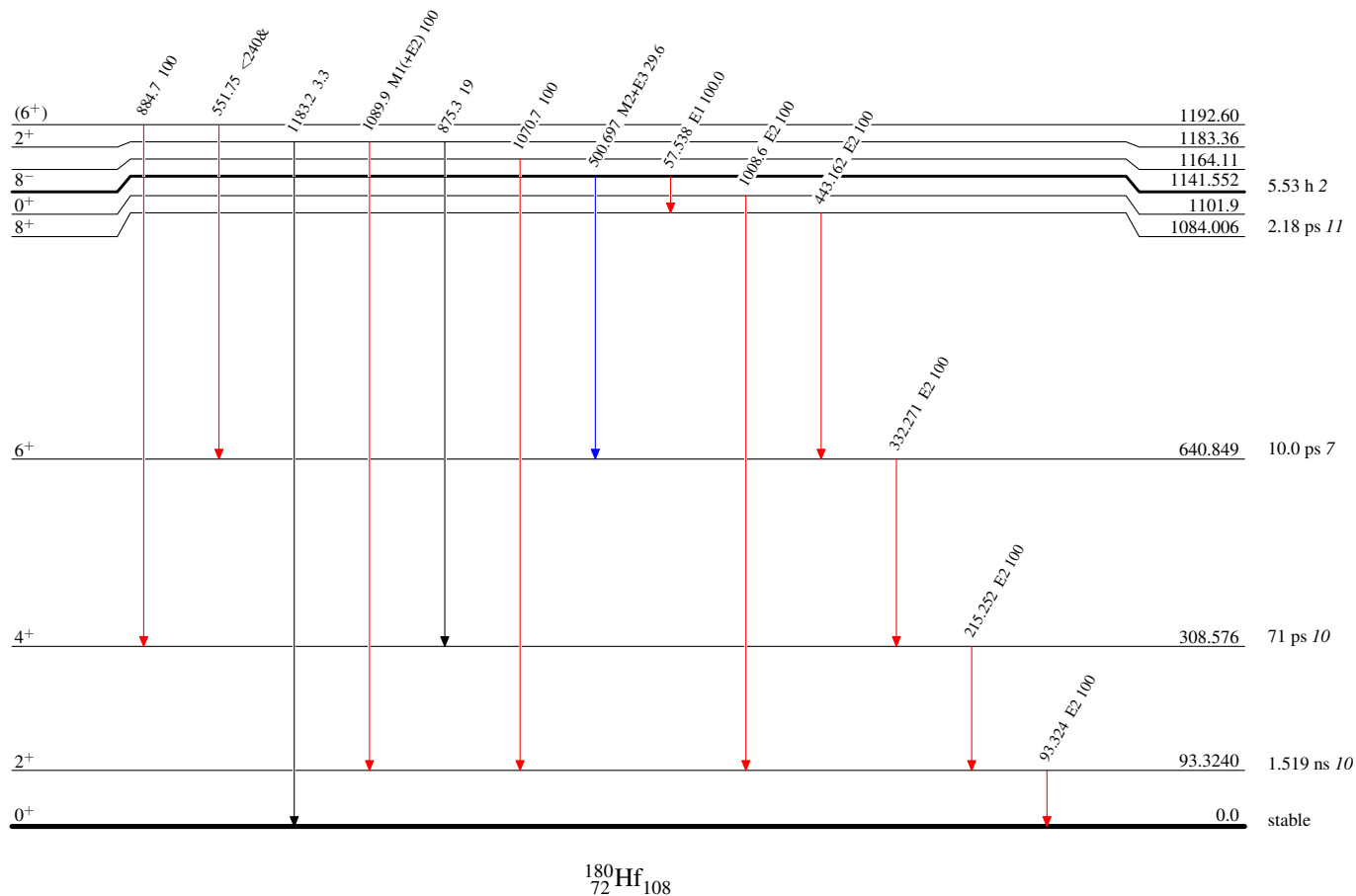
# Adopted Levels, Gammas

## Level Scheme (continued)

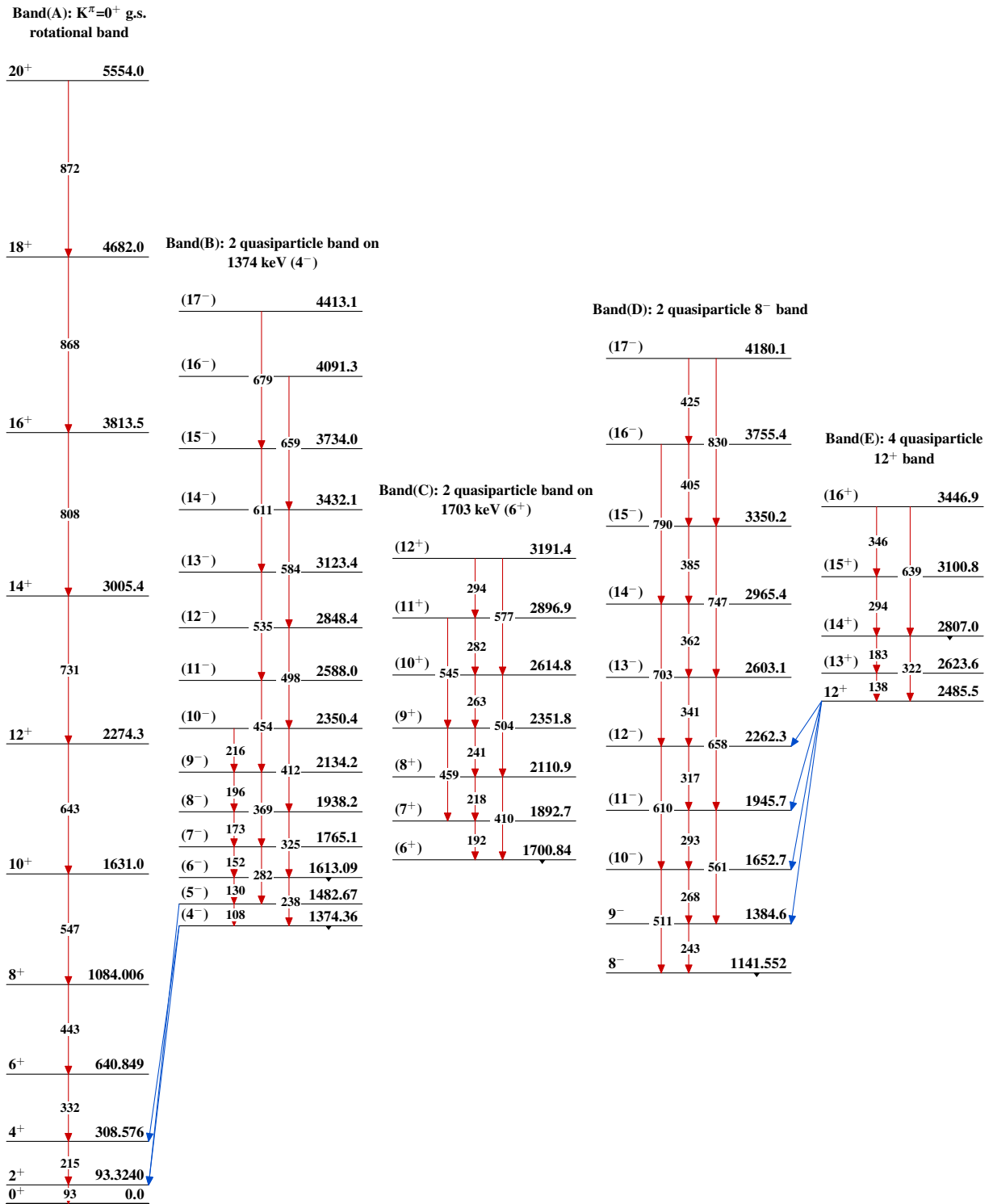
Intensities: Type not specified  
& Multiply placed: undivided intensity given

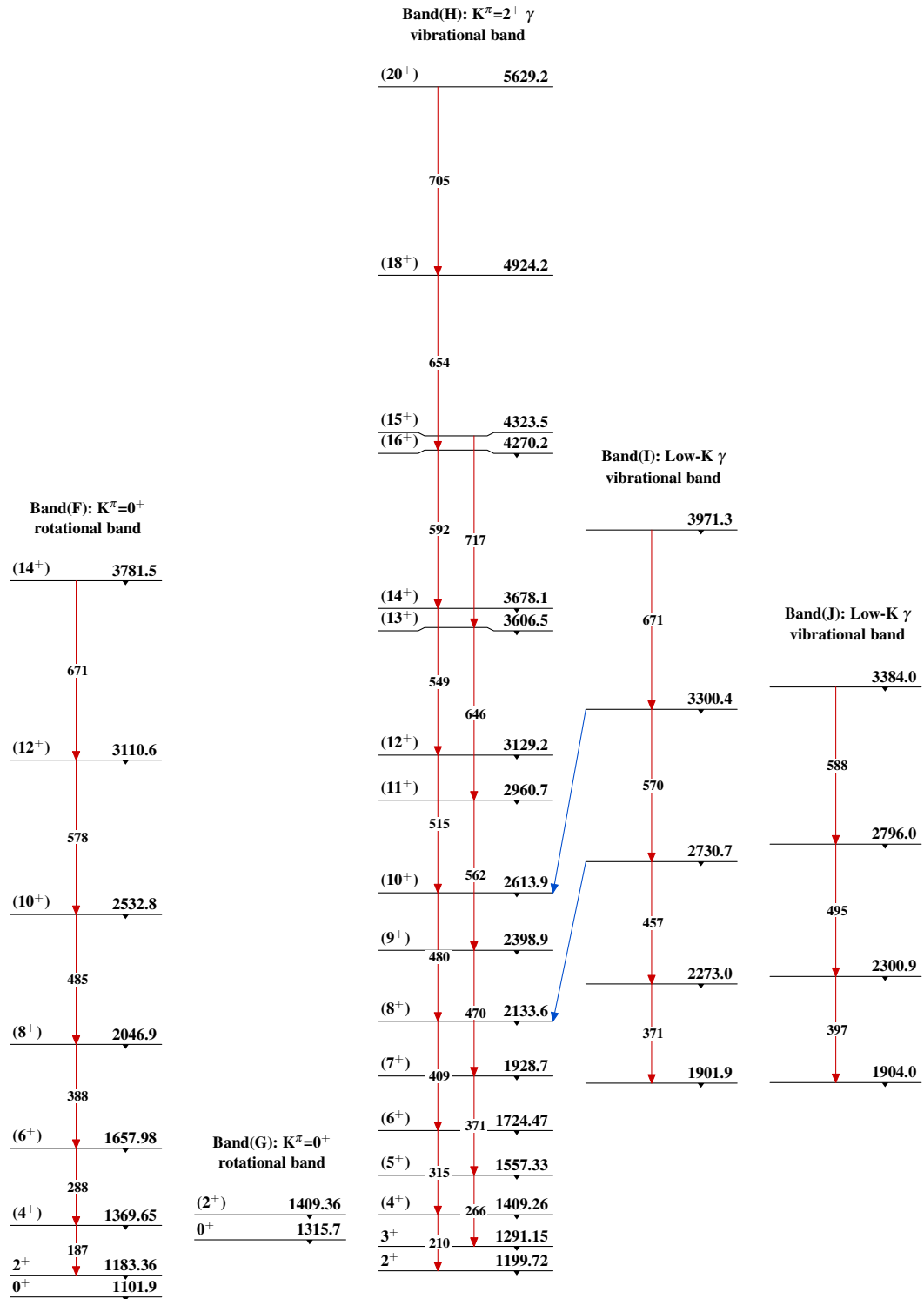
## Legend

- $I_\gamma < 2\% \times I_\gamma^{\max}$
- $I_\gamma < 10\% \times I_\gamma^{\max}$
- $I_\gamma > 10\% \times I_\gamma^{\max}$





Adopted Levels, Gammas

Adopted Levels, Gammas (continued) $^{180}_{72}\text{Hf}_{108}$